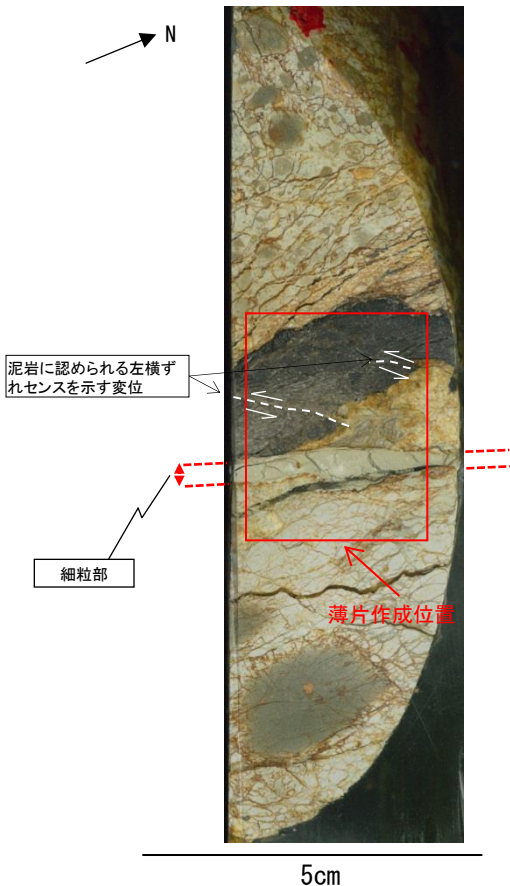


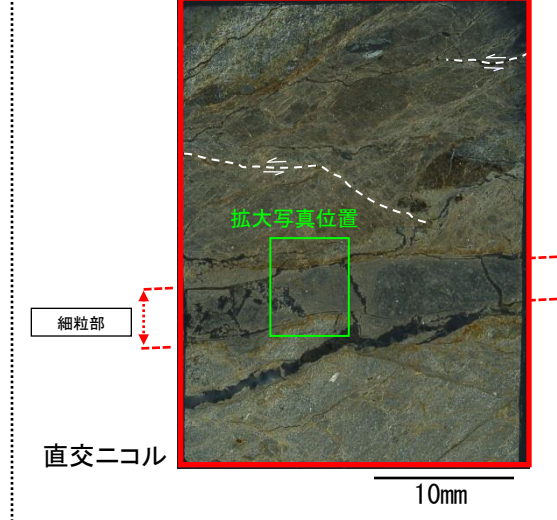
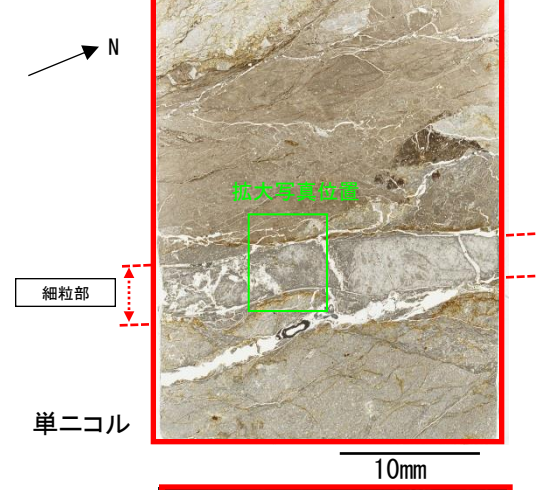
1. 突道断層の評価 (2) 地質調査(突道断層の東側)

森山(研磨片観察及び薄片観察(断層の走向方向))

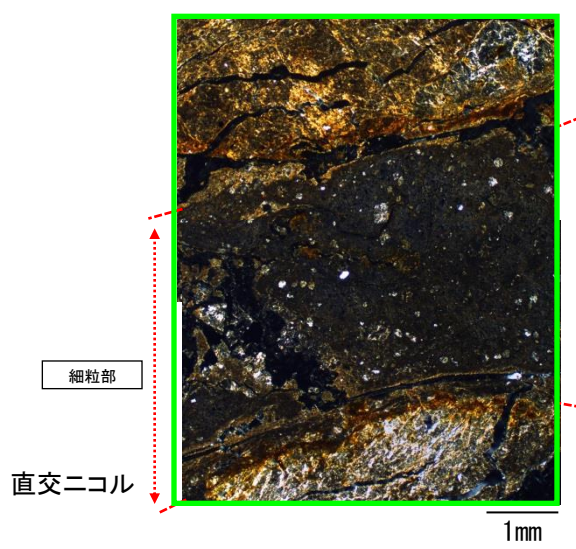
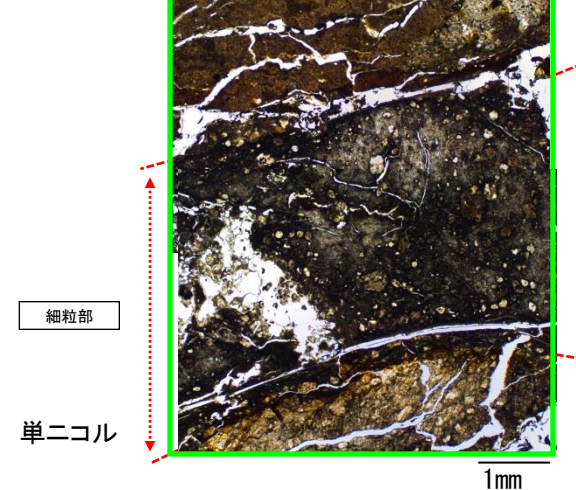
研磨片  
(走向方向)



薄片全体



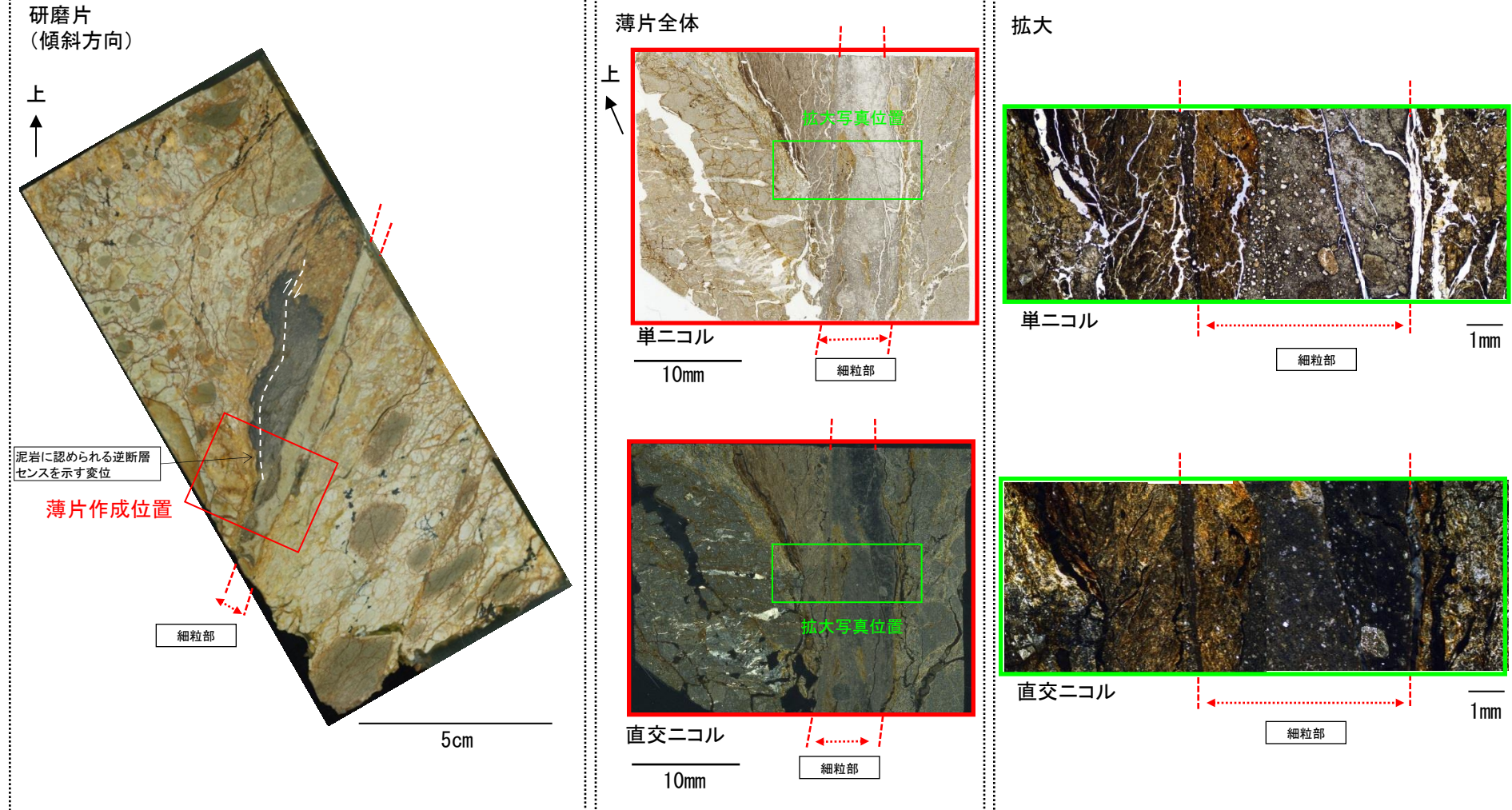
拡大



- ・ 研磨片観察の結果、幅4mm程度の白色を呈する細粒部が認められる。
- ・ 薄片観察の結果、複合面構造は認められない。

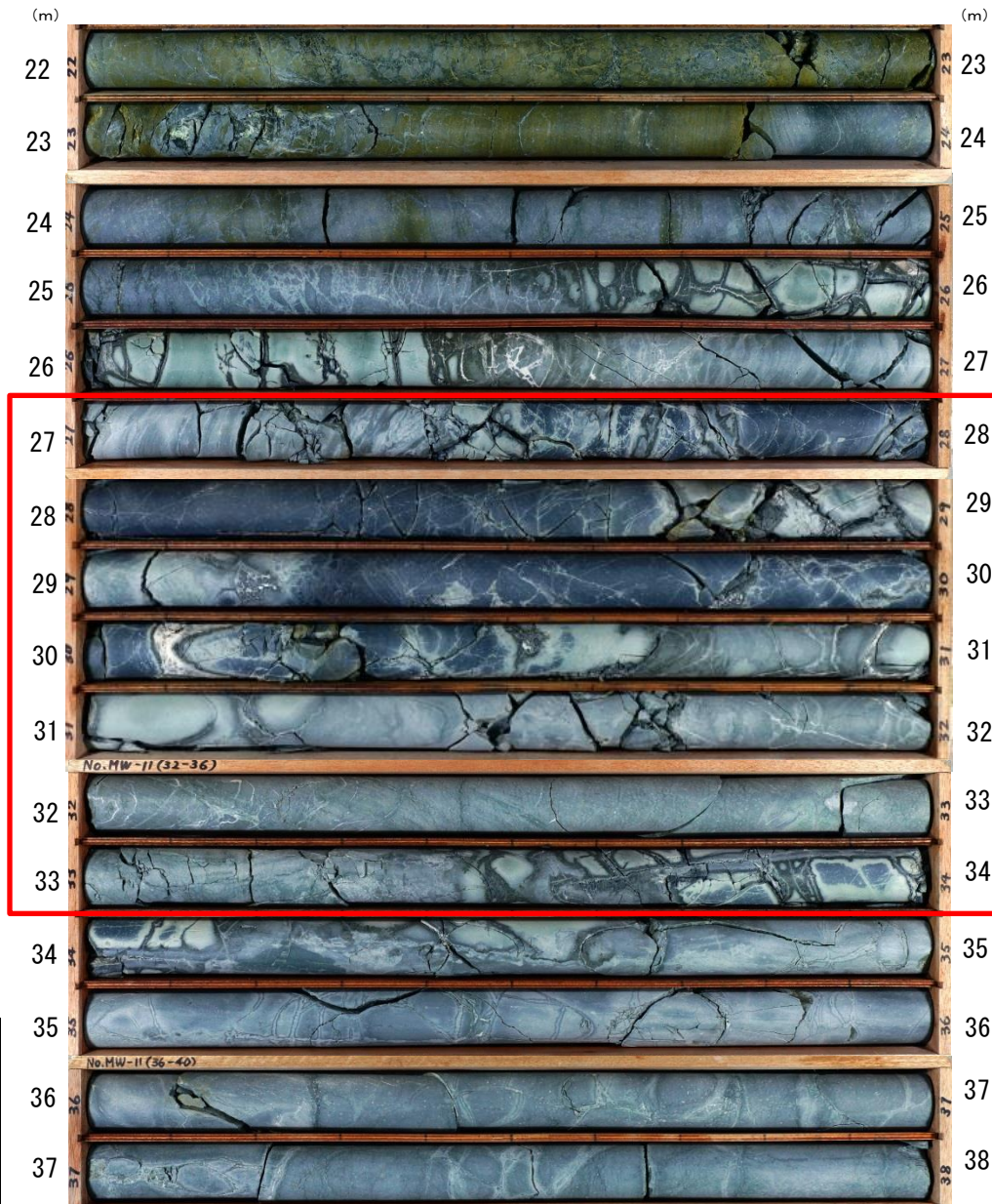
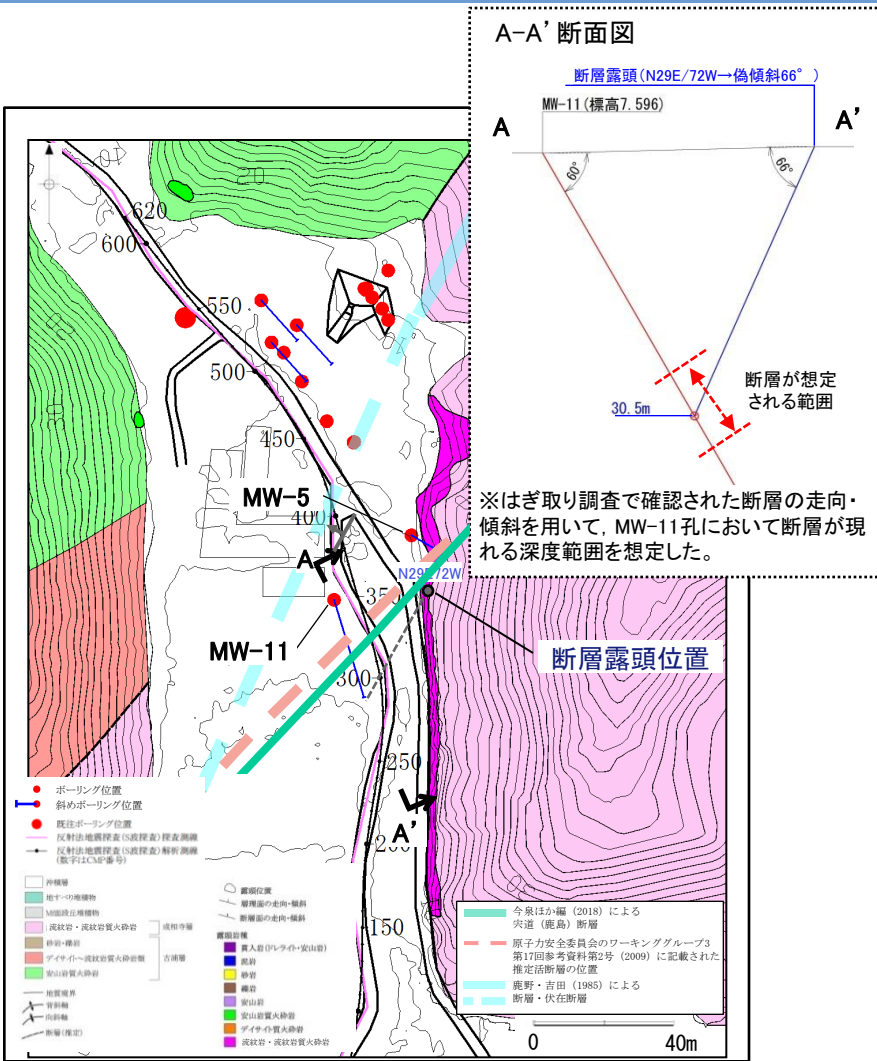
1. 宍道断層の評価 (2) 地質調査(宍道断層の東側)

森山(研磨片観察及び薄片観察(断層の傾斜方向))



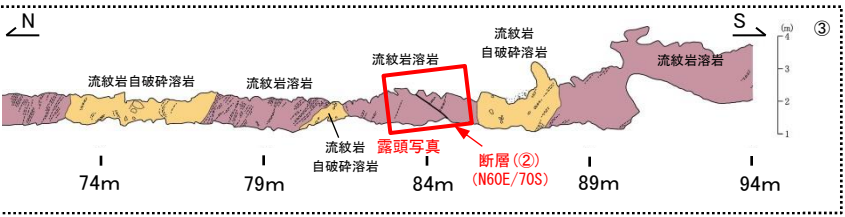
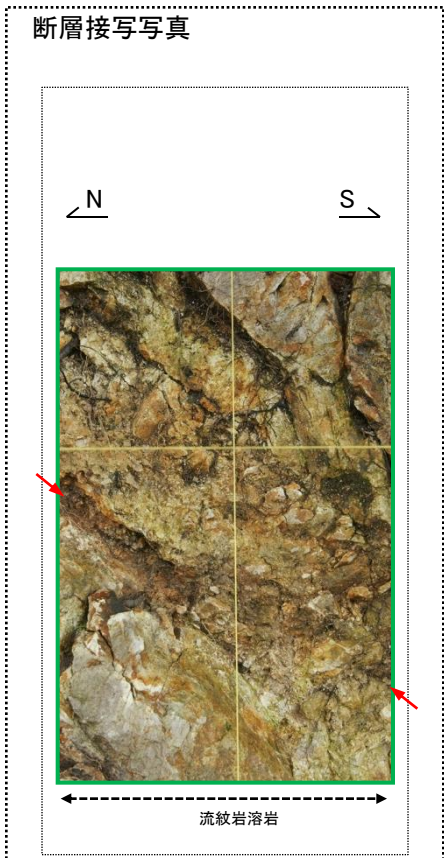
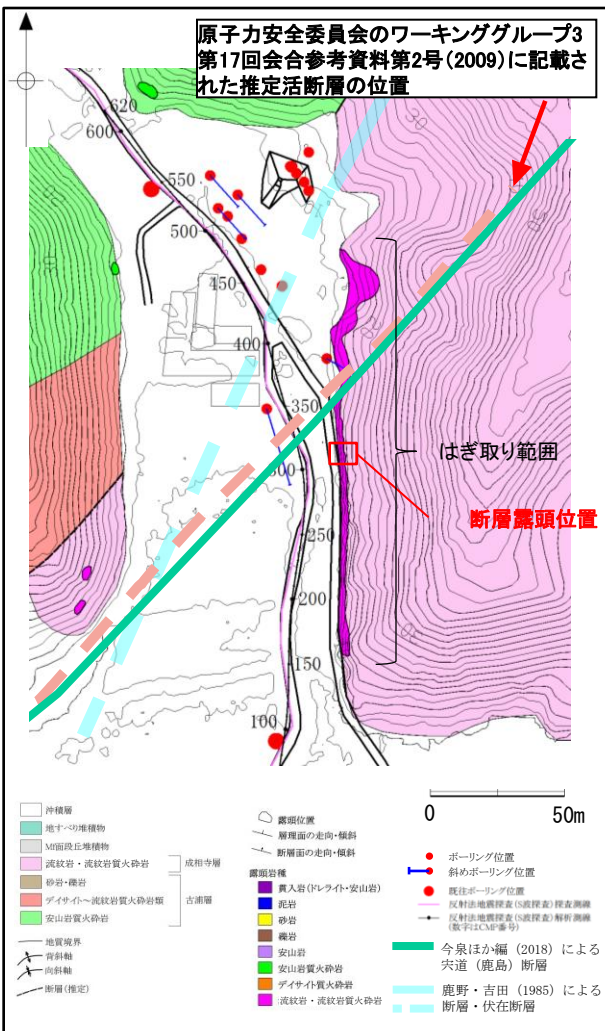
- ・ 研磨片観察の結果、幅4mm程度の白色を呈する細粒部が認められる。
- ・ 薄片観察の結果、複合面構造は認められない。

# 1. 突道断層の評価 (2)地質調査(突道断層の東側) 森山(ボーリング調査(断層①の連続性確認))



- はぎ取り調査で確認された断層の連続性を確認するため、はぎ取り調査の南西側でボーリング調査(MW-11)を実施した。
- ボーリング調査の結果、はぎ取り調査で確認された断層の走向・傾斜の延長付近に明瞭なせん断面は認められないことから、当該断層の連続性は乏しいと考えられる。

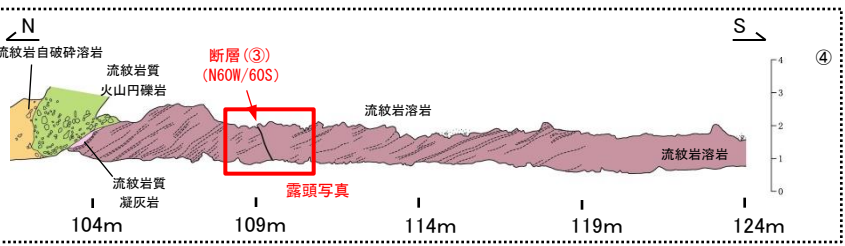
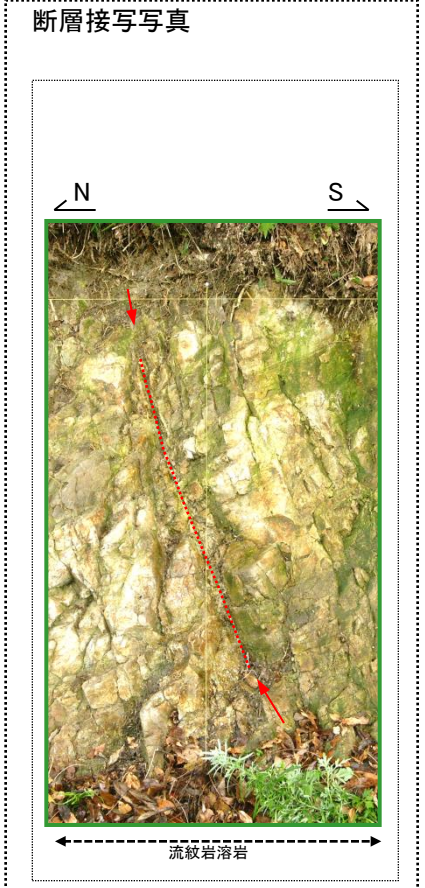
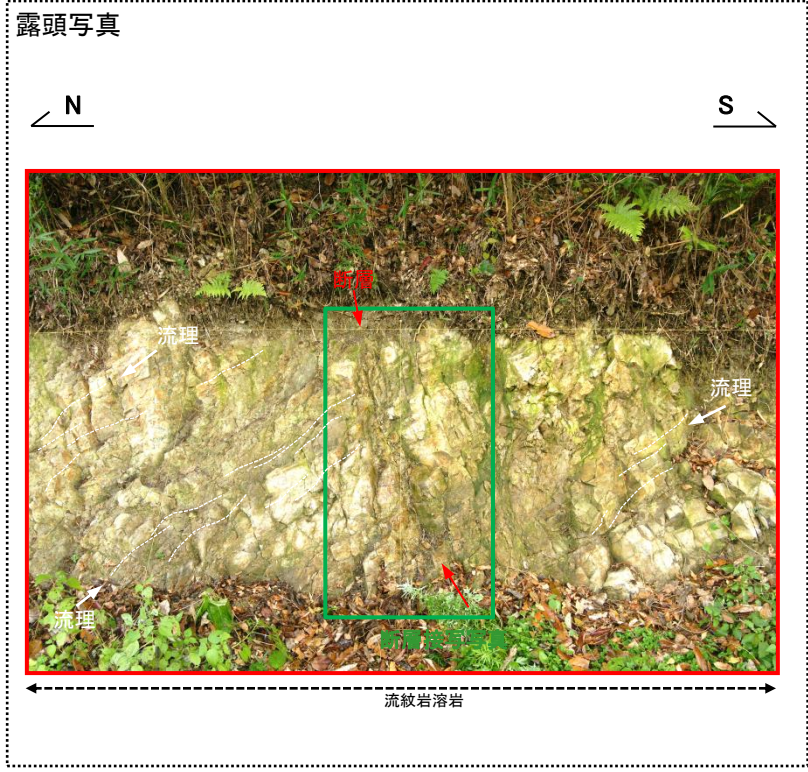
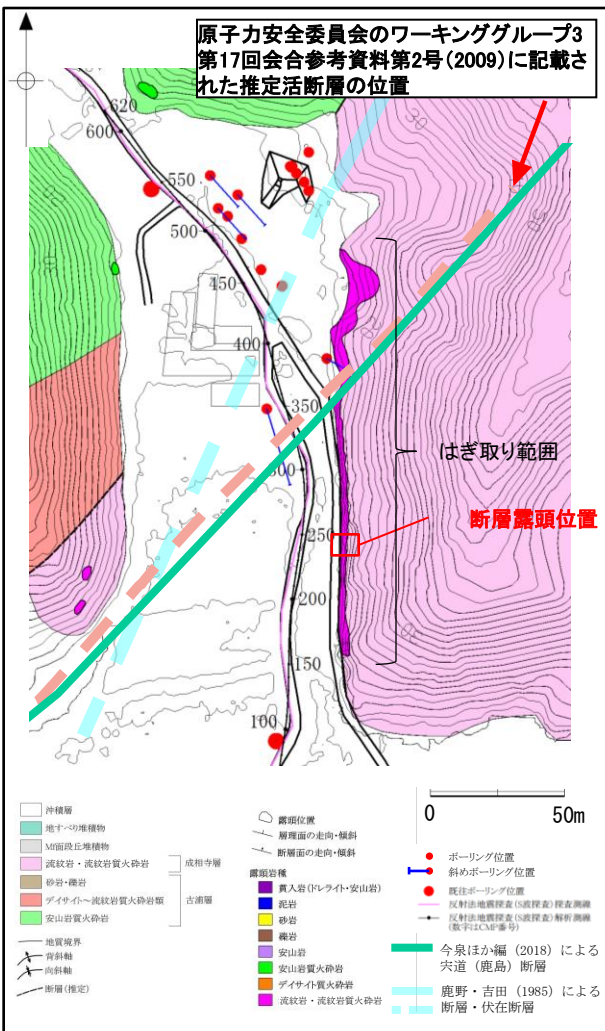
# 1. 突道断層の評価 (2) 地質調査(突道断層の東側) 森山(はぎ取り調査(断層露頭②))



・断層ガウジは認められず、周囲の母岩は破碎を受けていない。

- ・はぎ取り調査の結果、成相寺層の流紋岩溶岩中に断層が認められる。
- ・断層ガウジは認められず、周囲の母岩は破碎を受けていない。

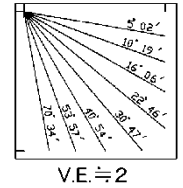
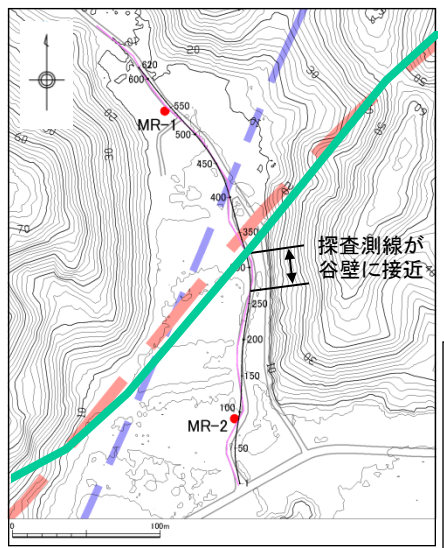
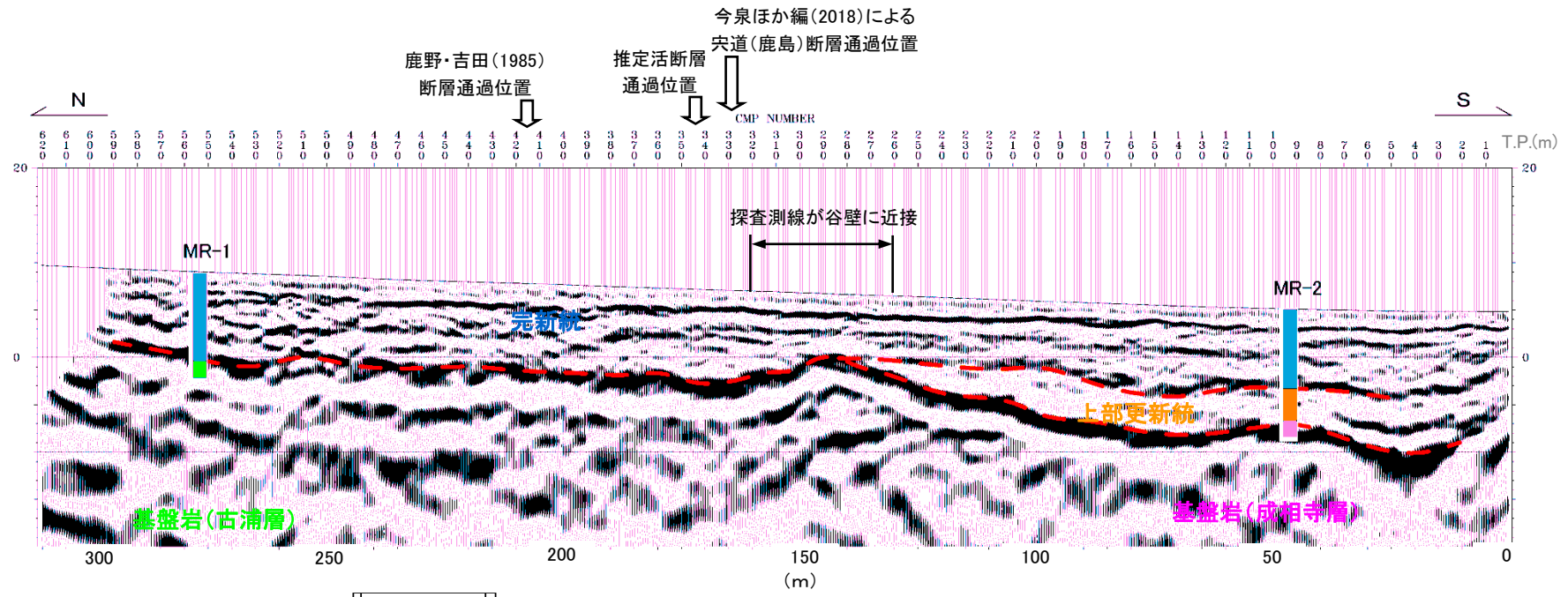
# 1. 突道断層の評価 (2) 地質調査(突道断層の東側) 森山(はぎ取り調査(断層露頭③))



断層ガウジは認められず、周囲の母岩は破碎を受けていない。

- ・はぎ取り調査の結果、成相寺層の流紋岩溶岩中に断層が認められる。
- ・断層ガウジは認められず、周囲の母岩は破碎を受けていない。

# 1. 宍道断層の評価 (2)地質調査(宍道断層の東側) 森山(反射法地震探査(S波探査)の解析断面図)



- ボーリング調査位置
- 反射法地震探査(S波探査)探査測線
- 反射法地震探査(S波探査)解析測線 (数字はCMP番号)
- ▬ 鹿野・吉田(1985)の断層(縮尺:5万分の1) (破線は推定断層)
- ▨ 原子力安全委員会のワーキンググループ3 第17回参考資料第2号(2009)に記載された推定活断層の位置
- 今泉ほか編(2018)による宍道(鹿島)断層

- ・ 反射面の連続性とボーリング調査結果との対比により、下位から基盤岩(古浦層、成相寺層)、上部更新統及び完新統に区分される。
- ・ 基盤岩上面の反射面は緩やかに下流(南)側へ傾斜し、上部更新統及び完新統の反射面は地表面にほぼ平行な成層パターンを示す。
- ・ 基盤岩上面、完新統及び南側に分布する上部更新統には断層活動を示唆する変位・変形は認められない。
- ・ 基盤岩上面は、最終氷期において陸化した際に、河川の流路変更に伴う削りこみにより不陸が生じている。なお、CMP260~320で認められる高まりは、探査測線が東側の谷壁に近接していることも考えられる。

基盤岩上面、完新統及び南側に分布する上部更新統には断層活動を示唆する変位や変形は認められない。

## 1. 宍道断層の評価 (2)地質調査(宍道断層の東側)

## 森山(はぎ取り調査箇所)(まとめ)

## 1. 変動地形学的調査

- ・全ての地形要素を確認した結果、地形要素はいずれも系統的ではないことから、変位地形・リニアメントは認められない。

## 2. はぎ取り調査

- ・はぎ取り調査の結果、成相寺層の流紋岩溶岩と流紋岩質火山円礫岩とを境する、または成相寺層の流紋岩溶岩中に発達する流理構造を切る断層が3条認められるものの、いずれも断層面は不明瞭である。
- ・そのうち断層露頭①では、一部で断層ガウジが認められるため、研磨片観察及び薄片観察を実施した結果、幅4mm程度の白色を呈する細粒部が認められるが、複合面構造は認められない。

## 3. ボーリング調査

- ・断層露頭①の南西側で実施したボーリング調査の結果、断層露頭で得られた走向・傾斜の延長付近に明瞭なせん断面は認められず、断層の連続性は乏しいと考えられる。

## 4. 反射法地震探査(S波探査)

- ・既往調査で実施した反射法地震探査(S波探査)の結果、基盤岩上面、完新統及び南側に分布する上部更新統には断層活動を示唆する変位・変形は認められない。

以上のことから、はぎ取り調査で認められた断層について、後期更新世以降の活動は認められない。

# 1. 宍道断層の評価 (2) 地質調査(宍道断層の東側) 森山(調査の概要(造成地付近))

変位地形・リニアメント(Dランク)

- 中田ほか(2008)による鹿島断層(位置やや不明確)
- - - 同上推定活断層(地表)
- 原子力安全委員会のワーキンググループ3第17回会合参考資料第2号(2009)に記載された推定活断層の位置
- 鹿野・吉田(1985)による断層, 推定断層, 伏在断層
- 今泉ほか編(2018)による宍道(鹿島)断層

□ 沖積層	○ 露頭位置
■ 地すべり堆積物	— 層理面の走向・傾斜
■ M面段丘堆積物	— 断層面の走向・傾斜
■ 流紋岩・流紋岩質火砕岩	露頭岩種
■ 砂岩・礫岩	
■ デイサイト～流紋岩質火砕岩類	■ 砂岩
■ 安山岩質火砕岩	■ 礫岩
— 地質境界	■ 安山岩質火砕岩
— 背斜軸	■ デイサイト質火砕岩
— 断層	■ 流紋岩・流紋岩質火砕岩
— 断層(推定)	

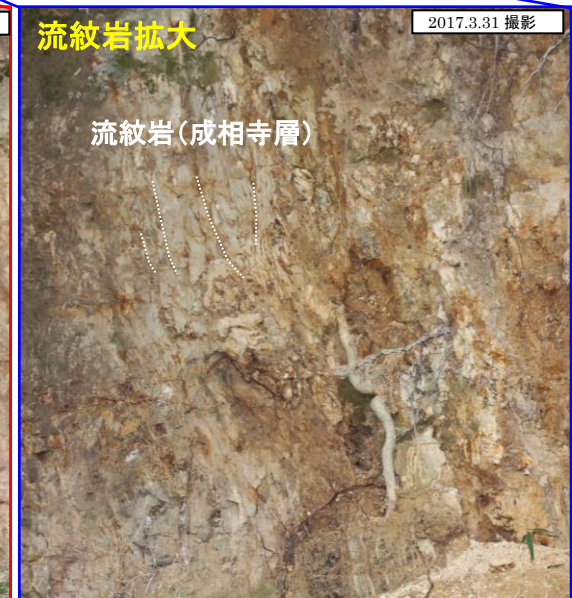
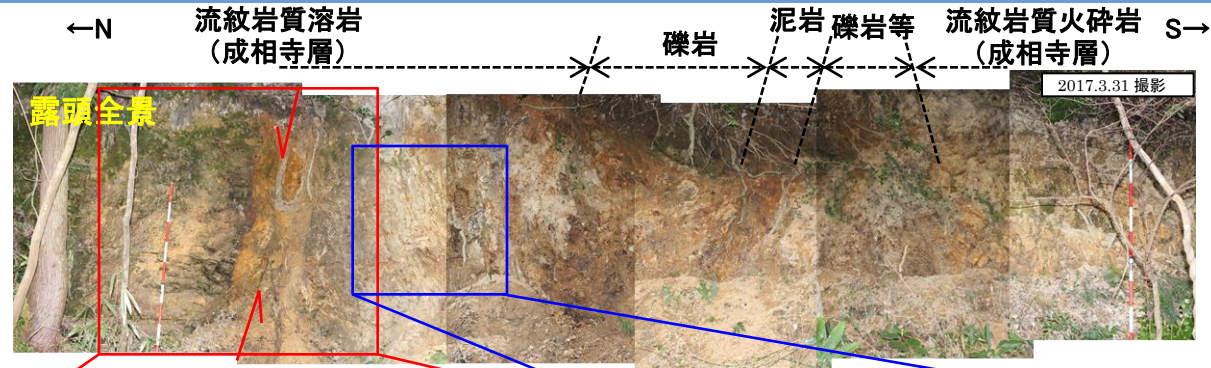
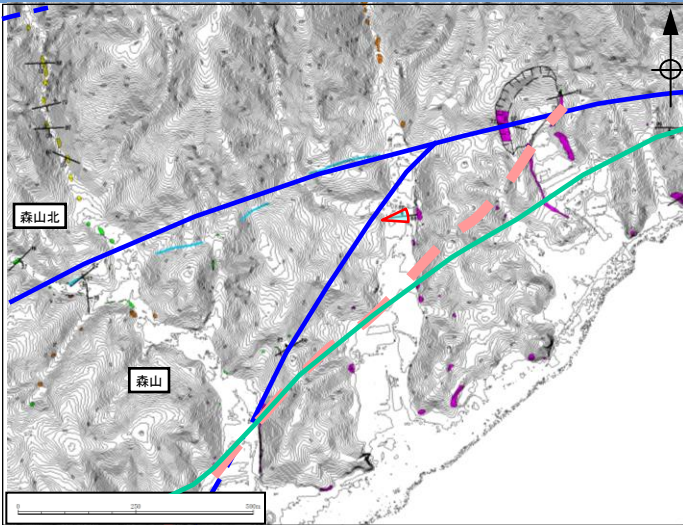
○ 断層露頭

本資料のうち、枠囲みの内容は公開できません。

・森山の造成地付近における地表地質踏査の結果、複数の断層露頭(断層露頭④～⑦)を確認した。  
 ・いずれの断層も鹿野・吉田(1985)の断層通過位置付近に認められ、断層近傍に成相寺層の最下部に分布すると考えられる泥岩を取り込む特徴が確認されること等から、古浦層と成相寺層を境する一連の断層と推定される(詳細は次頁以降参照)。

1. 突道断層の評価 (2) 地質調査(突道断層の東側)

断層露頭④(地表地質踏査)



変位地形・リニアメント(Dランク)

- 原子力安全委員会のワーキンググループ3第17回会合参考資料第2号(2009)に記載された推定活断層の位置
- 鹿野・吉田(1985)による断層, 伏在断層
- 今泉ほか編(2018)による突道(鹿島)断層

露頭位置

層理面の走向・傾斜

断層面の走向・傾斜

露頭岩種

- 泥岩
- 砂岩
- 礫岩
- 安山岩質火砕岩
- デイサイト質火砕岩
- 流紋岩・流紋岩質火砕岩

- ・流紋岩(成相寺層)は比較的高角度の流理を示し, その他の岩相境界も高角度である。
- ・流紋岩中に幅50cm程度の断層(N84E/72Nの走向傾斜)が認められるが, 条線は確認されず, 不明である。

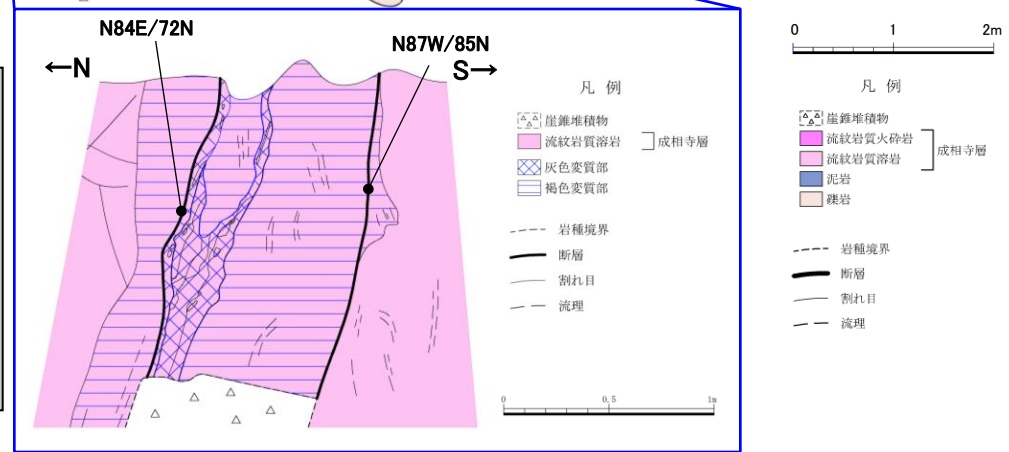
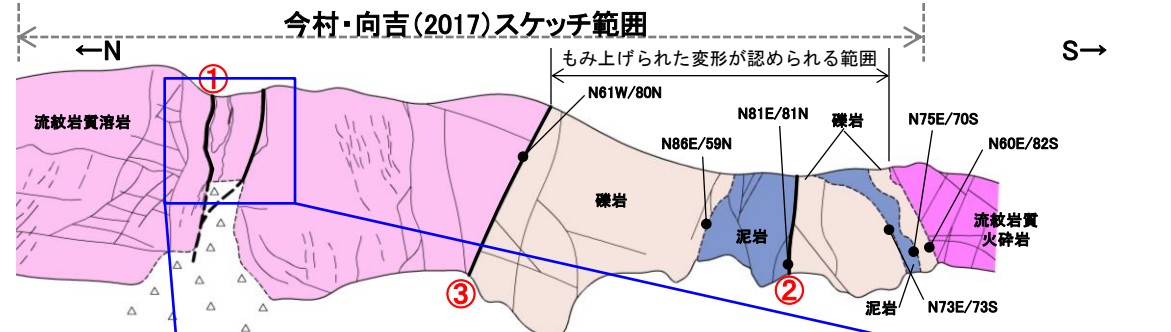
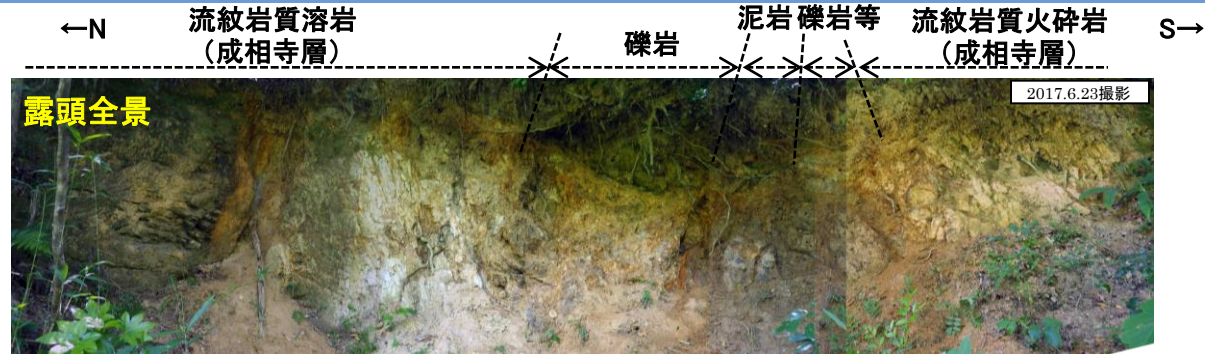
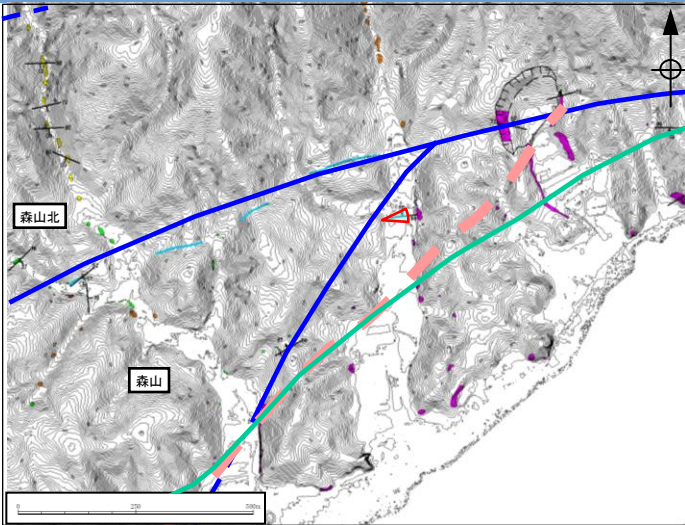
今村・向吉(2017)<sup>(31)</sup> :

- ・流紋岩, 泥岩基質の礫岩層中に断層を確認。
- ・露頭における複合面構造, 条線姿勢より高角の右横ずれを伴う南落ち正断層であることが示唆される。

- ・森山付近において, 鹿野・吉田(1985)による断層通過位置付近の成相寺層の流紋岩中に断層が確認される。この露頭は今村・向吉(2017)の「A」森山南西断層露頭」に対応する。
- ・断層はN84E/72Nの走向傾斜を示し, 破碎幅50cm程度で風化が進み, 直線性に乏しい。
- ・断層露頭④では, 北から成相寺層の流紋岩, 礫岩, 泥岩, 成相寺層の流紋岩質火砕岩が比較的高角度で接し, 露頭は地層境界及び断層沿いで熱水変質とみられる粘土化が進み, 軟質である。

1. 突道断層の評価 (2) 地質調査(突道断層の東側)

断層露頭④(スケッチ図)



変位地形・リニアメント(Dランク)

- 原子力安全委員会のワーキンググループ3第17回会合参考資料第2号(2009)に記載された推定活断層の位置
- 鹿野・吉田(1985)による断層, 伏在断層
- 今泉ほか編(2018)による突道(鹿島)断層

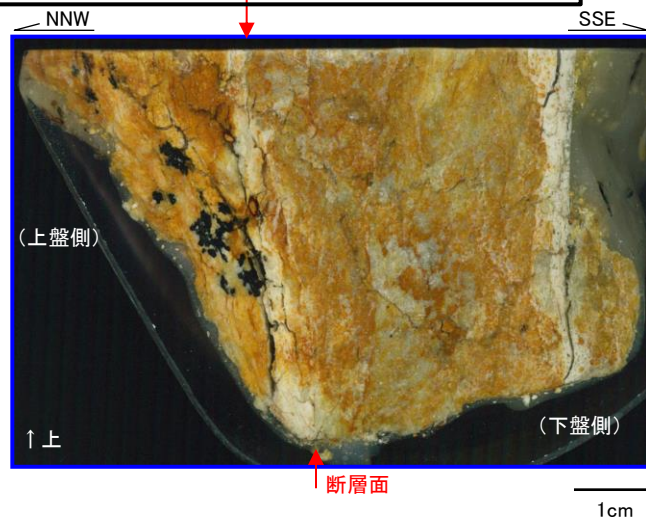
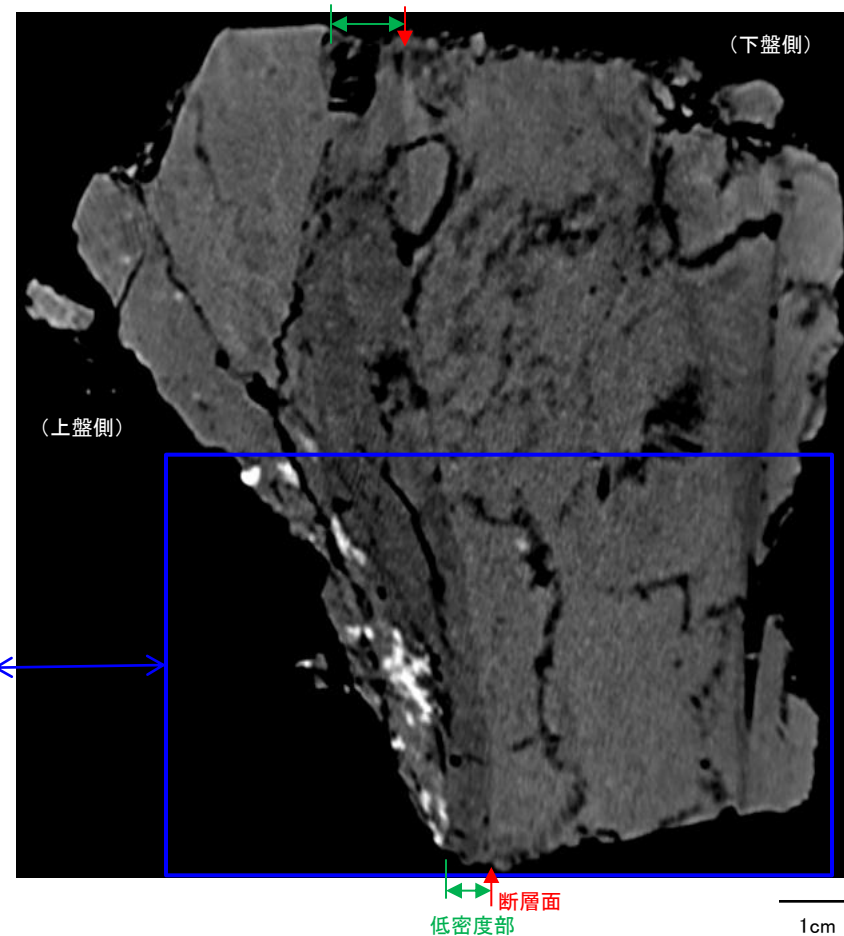
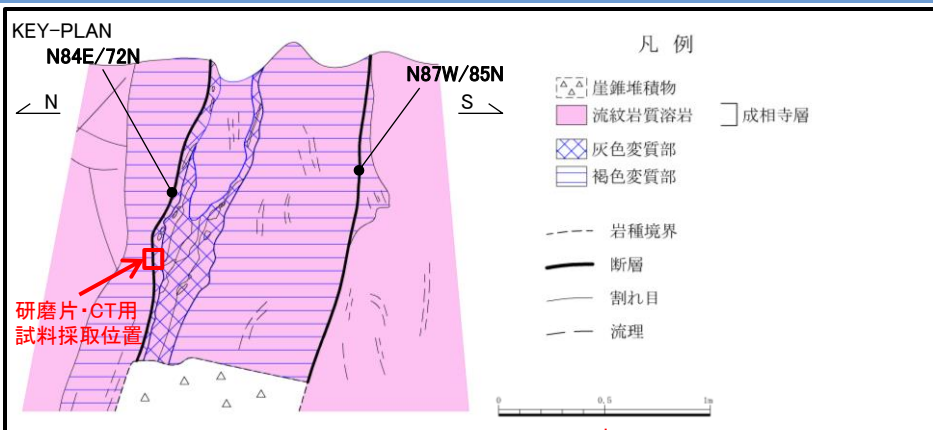
- 露頭位置  
層理面の走向・傾斜  
断層面の走向・傾斜
- 露頭岩種
- 泥岩
  - 砂岩
  - 礫岩
  - 安山岩質火砕岩
  - デイサイト質火砕岩
  - 流紋岩・流紋岩質火砕岩

今村・向吉(2017):  
・流紋岩のガウジ帯中(a)に北落ちの正断層①, 流紋岩と泥岩基質の礫岩層境界中(b)に北落ちの正断層②が確認できる。  
この他に流紋岩と泥岩基質の礫岩層境界に南落ちの断層③を記載している。

- ①の断層に対して当社は, 鹿野・吉田(1985)に示されるせん断面に対応する断層と評価。
- ②及び③の断層に対して当社は, 流紋岩質溶岩及び流紋岩質火砕岩に挟まれた変形帯で認められる小断層と評価。

1. 突道断層の評価 (2) 地質調査(突道断層の東側)

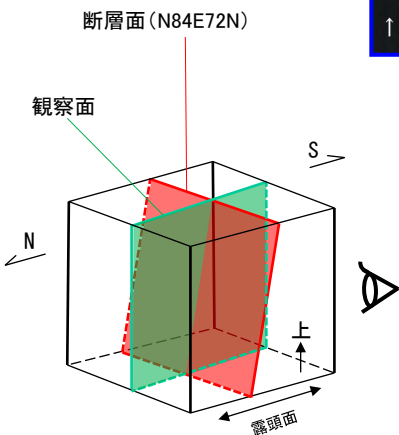
断層露頭④(研磨片観察及びCT画像解析(断層の傾斜方向))



研磨片写真(断層の傾斜方向)

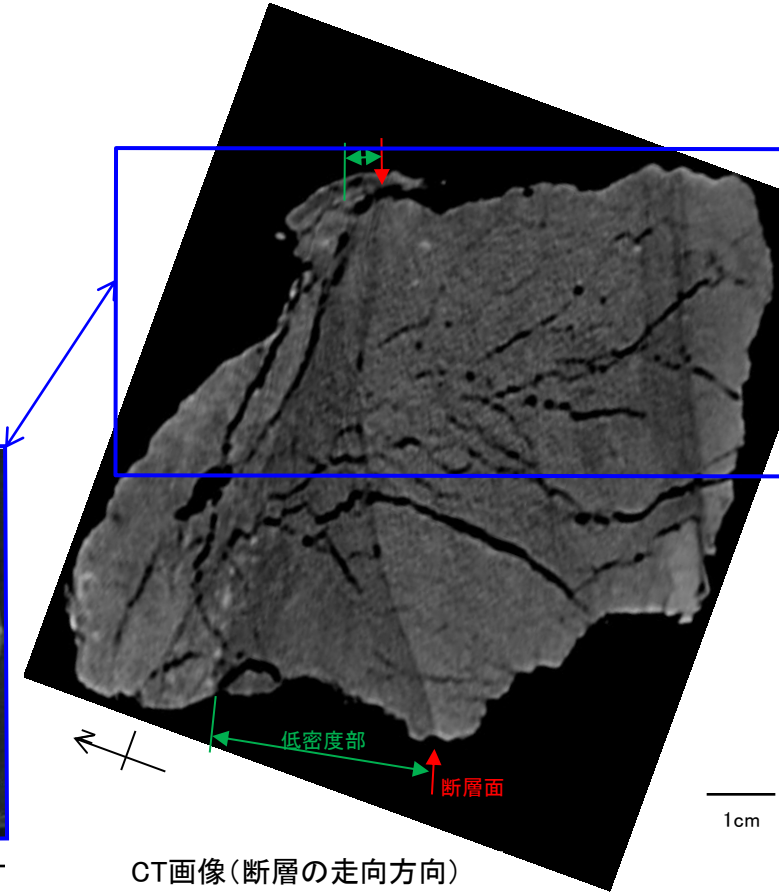
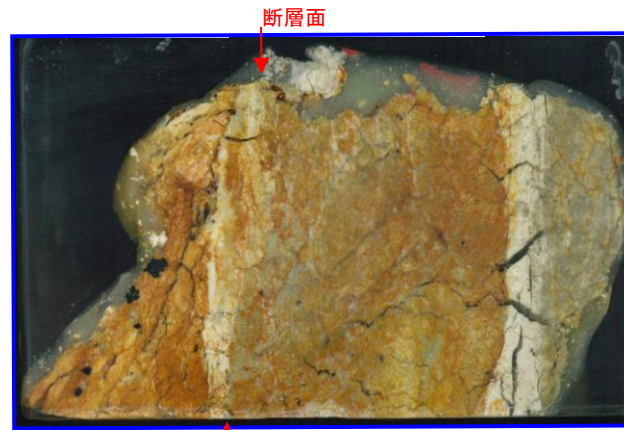
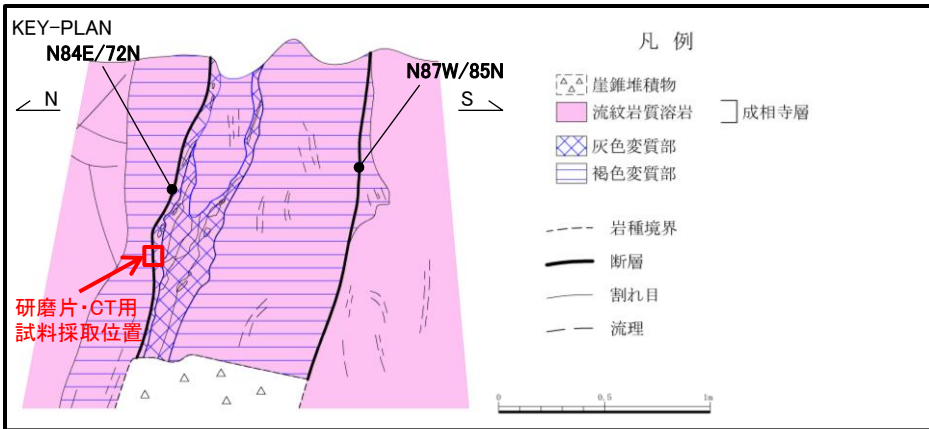
CT画像(断層の傾斜方向)

- 断層の傾斜方向の研磨片観察及びCT観察の結果、幅1cm程度の低密度部が認められ、その境界に断層面が認められる。
- 断層面は湾曲しており、複合面構造は認められない。

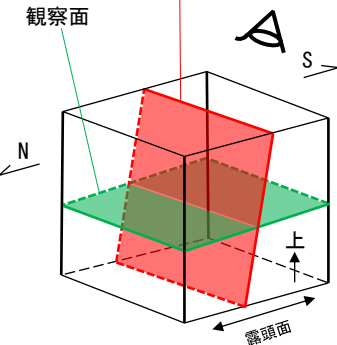


1. 突道断層の評価 (2) 地質調査(突道断層の東側)

断層露頭④(研磨片観察及びCT画像解析(断層の走向方向))

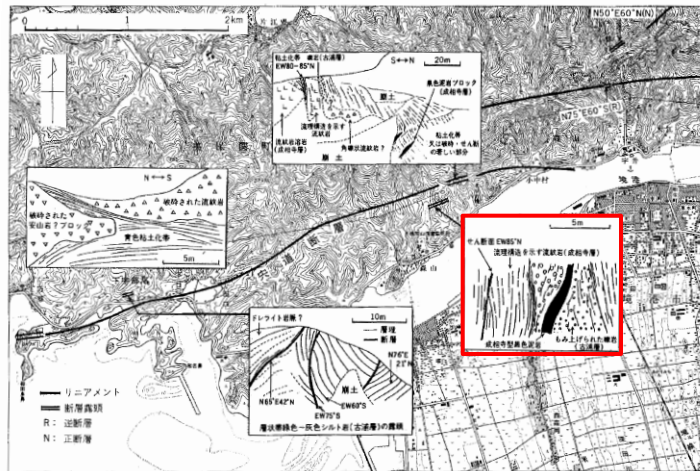


断層面(N84E72N)

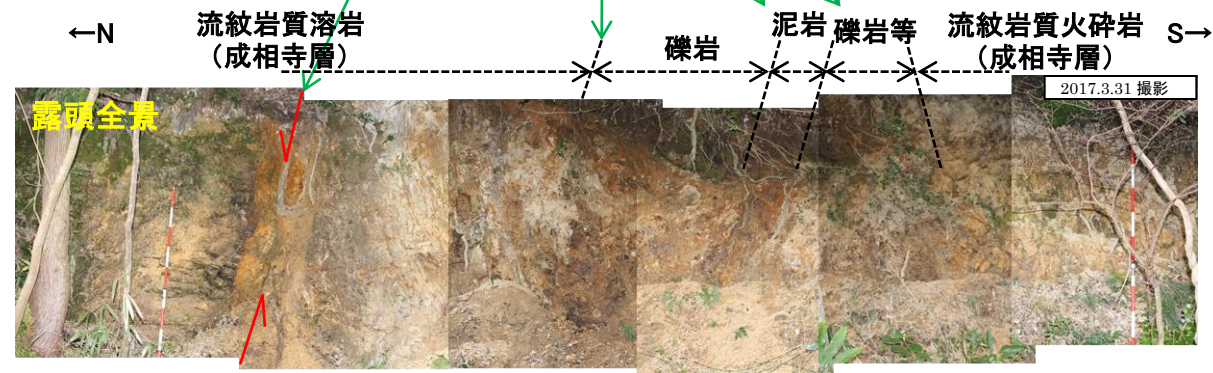
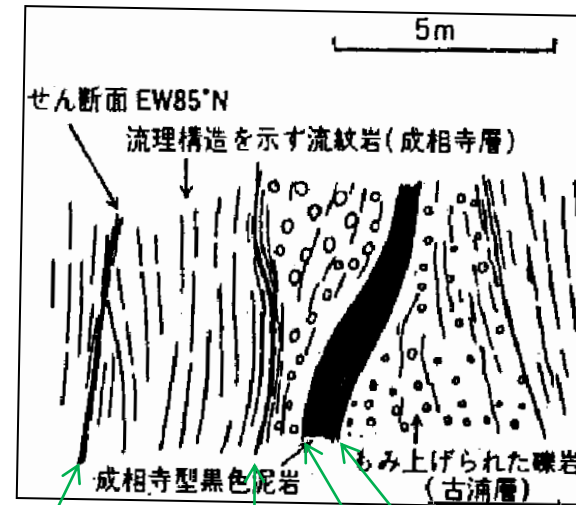


- ・断層の走向方向の研磨片観察及びCT観察の結果、幅1~3cm程度の低密度部が認められ、その境界に断層面が認められる。
- ・断層面は湾曲しており、複合面構造は認められない。

1. 突道断層の評価 (2)地質調査(突道断層の東側)  
(参考)断層露頭④(地表地質踏査)



鹿野・吉田(1985)より引用・加筆



- 断層露頭④は、鹿野・吉田(1985)に示される断層露頭とほぼ同一位置であり、高角度な流理を示す流紋岩(成相寺層)中に断層が認められ、その南側の礫岩及び泥岩の地層境界が高角度であることが、鹿野・吉田(1985)に示される断層露頭のスケッチの特徴と類似することから、鹿野・吉田(1985)に示される断層露頭の地点であると考えられる。

# 断層露頭⑤(地表地質踏査)

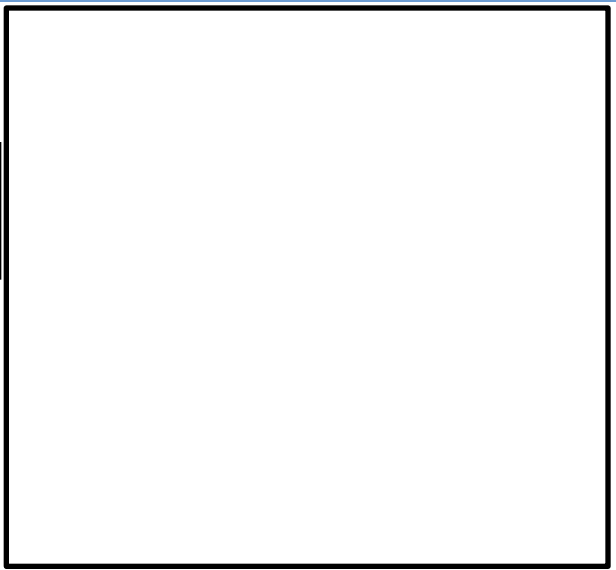
変位地形・リニアメント(Dランク)

- 原子力安全委員会のワーキンググループ3第17回会合参考資料第2号(2009)に記載された推定活断層の位置
- 鹿野・吉田(1985)による断層、伏在断層
- 今泉ほか編(2018)による宍道(鹿島)断層

露頭位置  
層理面の走向・傾斜  
断層面の走向・傾斜

露頭岩種

- 泥岩
- 砂岩
- 礫岩
- 安山岩質火砕岩
- デイサイト質火砕岩
- 流紋岩・流紋岩質火砕岩

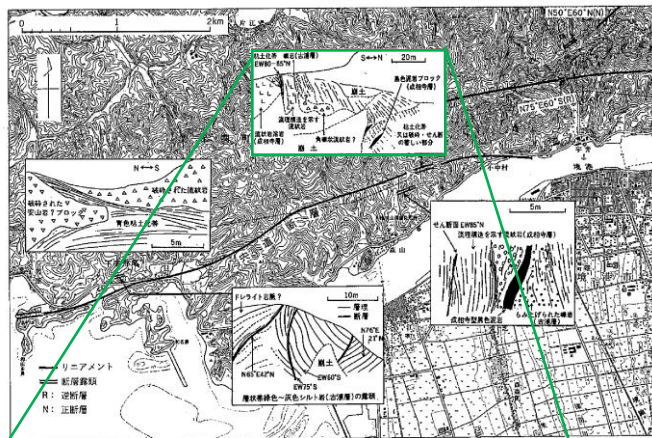


本資料のうち、枠囲みの内容は公開できません。

・森山付近の造成地では、沢奥部の凹型斜面が切土され、延長約250mに及ぶ法面が形成されているが、大半は植生に覆われ、観察ができるのは西側の一部法面のみである。  
・法面の西側には、成相寺層の流紋岩質火砕岩が分布し、断層が認められる(断層露頭⑤)。

1. 突道断層の評価 (2) 地質調査(突道断層の東側)

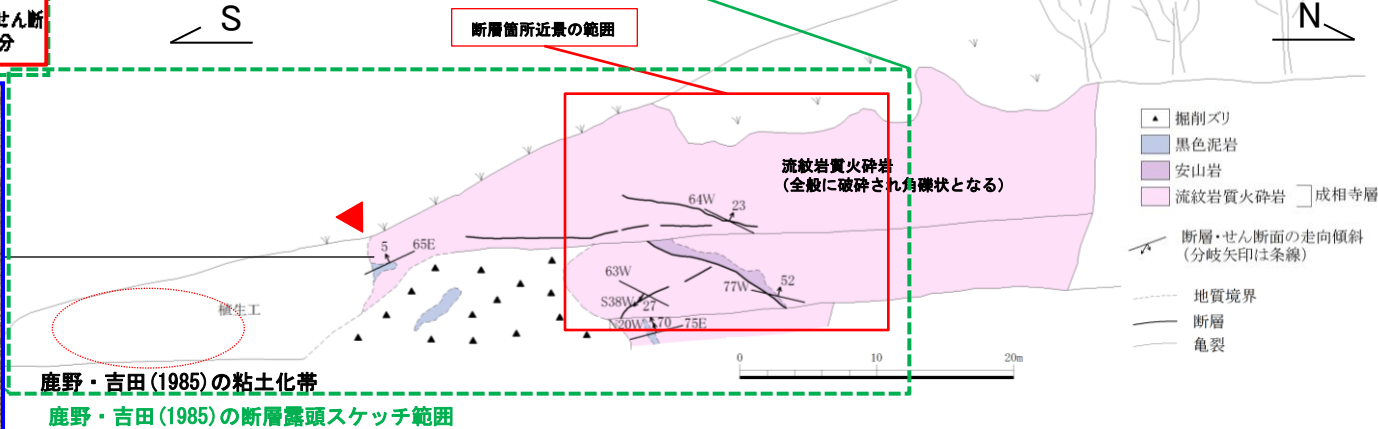
断層露頭⑤(地表地質踏査)



鹿野・吉田(1985)の黒色泥岩ブロックに相当

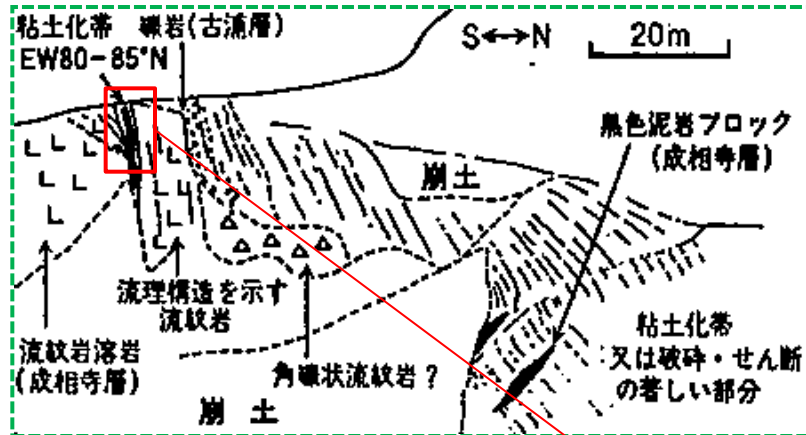
鹿野・吉田(1985)より引用・加筆

本資料のうち、枠囲みの内容は公開できません。



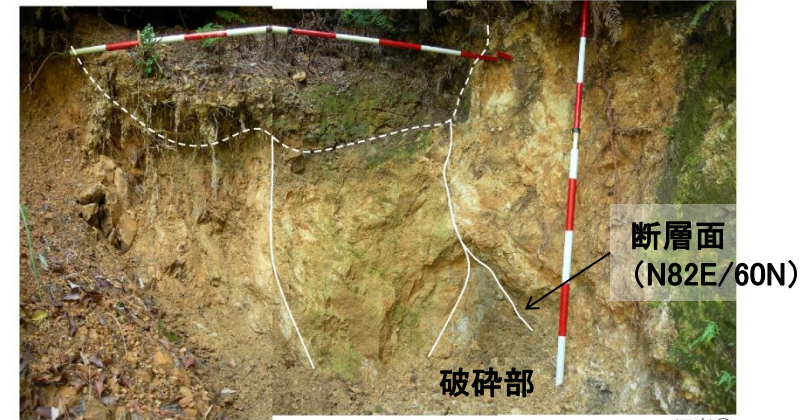
- 鹿野・吉田(1985)に記載されている「粘土化帯 EW80-85°N」に対応する断層(断層露頭⑤-1)は、現在、法面南側の植生工に覆われているが、造成前のこれまでの地表地質踏査(2007年3月)において、これに対応する断層露頭が確認されている(次頁参照)。「粘土化帯または破碎・せん断の著しい部分」は本地点の法面中央部の植生工未施工部(断層露頭⑤-2)に対応すると考えられる。
- 鹿野・吉田(1985)に記載されている「黒色泥岩ブロック(成相寺層)」は、法面に断片的に観察される泥岩と考えられる。

1. 宍道断層の評価 (2) 地質調査(宍道断層の東側)  
断層露頭⑤-1 (地表地質踏査)



鹿野・吉田(1985)より引用・加筆

断層箇所近景(2007年3月)



写真②



写真①

- ・鹿野・吉田(1985)に記載されている「粘土帯EW80-85N」は、現在、法面南側の植生工に覆われているが、造成前のこれまでの地表地質踏査(2007年3月)において、これに対応する断層露頭が確認されている。
- ・断層は、N82E/60Nの走向傾斜を示し、幅0.2m~1m程度の破碎部を伴うが、断層面には連続する粘土は認められない。
- ・また、断層の上部は破碎を受けておらず、断層面は密着している。

1. 宍道断層の評価 (2) 地質調査(宍道断層の東側)  
断層露頭⑤-2(地表地質踏査)

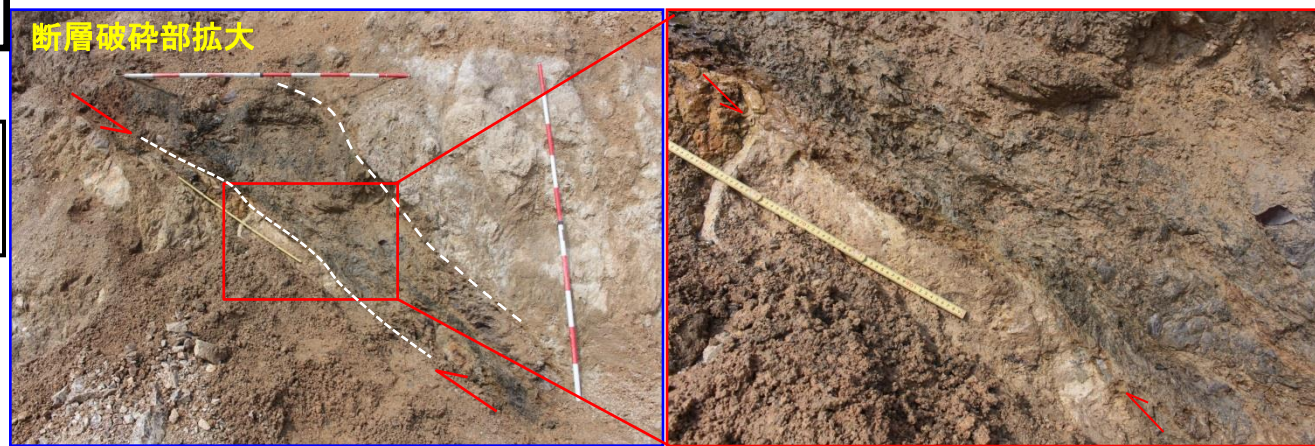


・流紋岩質火砕岩(成相寺層)中に断層(N77W/52Nの走向傾斜)が認められるが、法面上部では認められない。  
・断層露頭⑤-2の法面上部では、低角度傾斜の亀裂が認められるが、法面下部から連続する断層は認められない。

本資料のうち、枠囲みの内容は公開できません。

変位地形・リニアメント(Dランク)

断層破碎部拡大



・破碎幅は最大で70cm程度で、一部、風化は進んでいるが固結・密着している。  
・断層面には、極めて薄い粘土が認められるが連続性に乏しく、法面上部では確認されない。

- 変位地形・リニアメント(Dランク)
- 原子力安全委員会のワーキンググループ3第17回会合参考資料第2号(2009)に記載された推定活断層の位置
- 鹿野・吉田(1985)による断層、伏在断層
- 今泉ほか編(2018)による宍道(鹿島)断層

露頭位置  
層理面の走向・傾斜  
断層面の走向・傾斜

- 露頭岩種
- 泥岩
  - 砂岩
  - 礫岩
  - 安山岩質火砕岩
  - デイサイト質火砕岩
  - 流紋岩・流紋岩質火砕岩

- ・ 森山付近において、地表地質踏査等を追加実施(データ拡充)した結果、鹿野・吉田(1985)による断層通過位置付近に断層が推定される。
- ・ 断層(推定)通過位置の南側に位置する造成地西側法面(植生工の未施工範囲)には、成相寺層の流紋岩質火砕岩中に断層が認められるが、法面上部では不明瞭となる。
- ・ 断層は、N77W/52Nの走向傾斜を示し、破碎幅は最大で70cm程度で一部風化が進んでいるが、固結・密着している。

# 1. 宍道断層の評価 (2) 地質調査(宍道断層の東側) 断層露頭⑥-1 (地表地質踏査)



- ・造成地の東側には、沈砂地を掘り込んだ箇所です新たな露頭が確認される。
- ・断層は2条認められ、N57E/42N (a断層) 及び N80E/55S (b断層) の走向傾斜を示し、造成法面西側の断層露頭⑤と異なっている。



- ・断層露頭⑤と同様に、断層面に沿って安山岩が分布する。
- ・断層面は、固結・密着している。

本資料のうち、枠囲みの内容は公開できません。

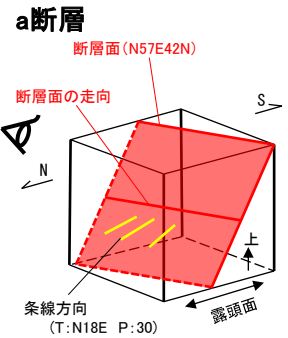
変位地形・リニアメント(Dランク)

- 原子力安全委員会のワーキンググループ3第17回会合参考資料第2号(2009)に記載された推定活断層の位置
- 鹿野・吉田(1985)による断層、伏在断層
- 今泉ほか編(2018)による宍道(鹿島)断層

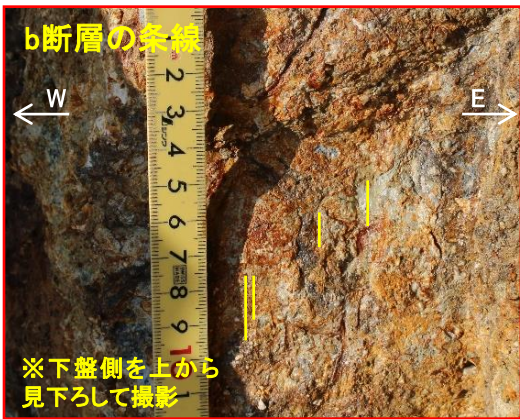
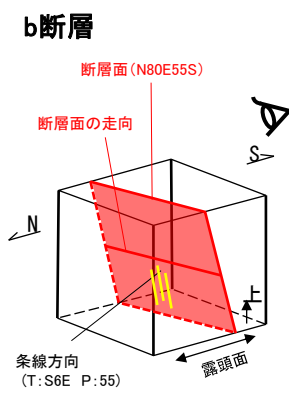
露頭位置  
層理面の走向・傾斜  
断層面の走向・傾斜

露頭岩種

- 泥岩
- 砂岩
- 礫岩
- 安山岩質火砕岩
- デイサイト質火砕岩
- 流紋岩・流紋岩質火砕岩



- ・断層面には、不明瞭な条線(解釈線:白点線)が認められる。
- ・a断層の条線はT:N18E P:30、b断層の条線はT:S6E P:55であり、いずれも南北方向を示す。



- ・断層面には、不明瞭な条線(解釈線:白点線)が認められる。
- ・a断層の条線はT:N18E P:30、b断層の条線はT:S6E P:55であり、いずれも南北方向を示す。

- ・造成地東側の断層露頭⑥-1では、N57E/42N (a断層) 及び N80E/55S (b断層) の断層が認められる。
- ・いずれの断層面にも不明瞭な条線が認められるが、いずれも南北方向を示す。また、断層面は固結・密着している。

# 1. 宍道断層の評価 (2) 地質調査(宍道断層の東側) 断層露頭⑥-2(地表地質踏査)

変位地形・リニアメント(Dランク)

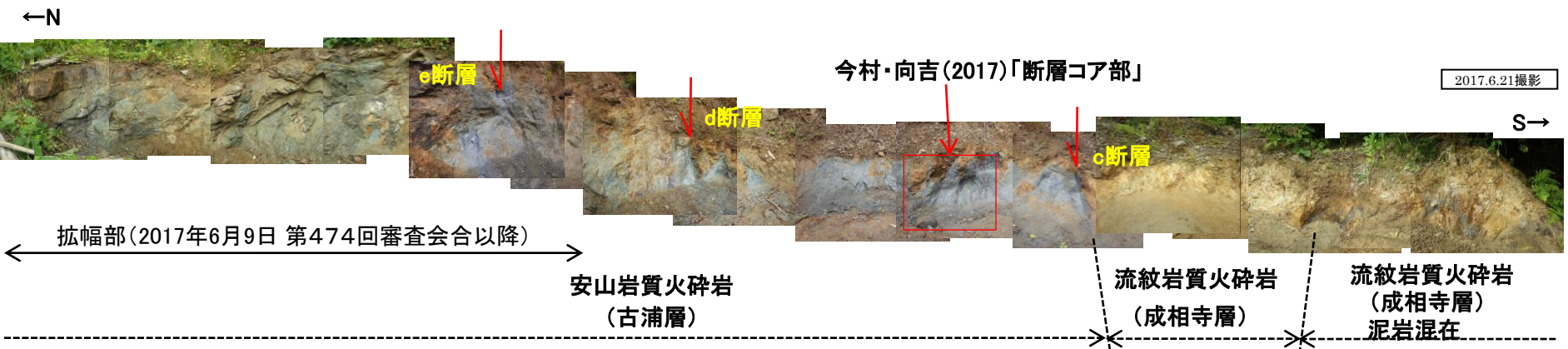
- 原子力安全委員会のワーキンググループ3第17回参考資料第2号(2009)に記載された推定活断層の位置
- 鹿野・吉田(1985)による断層, 伏在断層
- 今泉ほか編(2018)による宍道(鹿島)断層

露頭位置  
層理面の走向・傾斜  
断層面の走向・傾斜

露頭岩種

- 泥岩
- 砂岩
- 礫岩
- 安山岩質火砕岩
- デイサイト質火砕岩
- 流紋岩・流紋岩質火砕岩

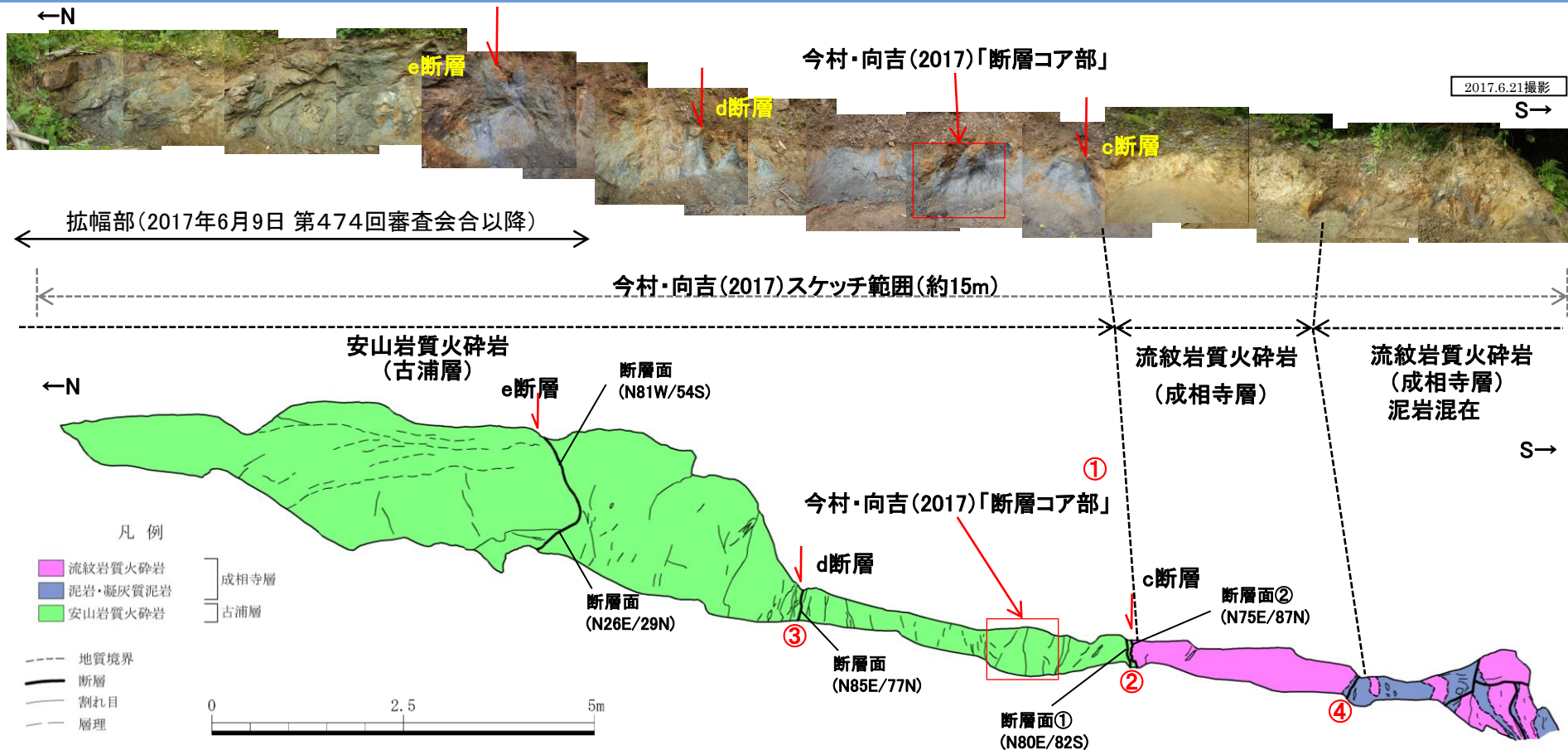
本資料のうち、枠囲みの内容は公開できません。



今村・向吉(2017) :  
・古浦層と成相寺層を隔てる断層で破碎帯(約15m)が確認でき、断層コア部(幅約1m)中では細粒のガウジとともにせん断面を確認。姿勢は東西走向のものが多く、条線の姿勢は水平に限らず垂直に近いものも確認できる。

- ・造成地東側の断層露頭⑥-2では、古浦層の安山岩質火砕岩と成相寺層の流紋岩質火砕岩を境する断層(c断層)及び古浦層の安山岩質火砕岩中の断層(d断層, e断層)が認められる。露頭全体が熱水変質作用を受けており、それに伴う白色脈が認められる。白色脈は露頭中央の熱水変質部付近で多く認められる。この露頭は今村・向吉(2017)の「C)森山断層露頭」に対応する。
- ・南側の流紋岩質火砕岩中には、造成地西側と同様に、泥岩が断片的に観察される。

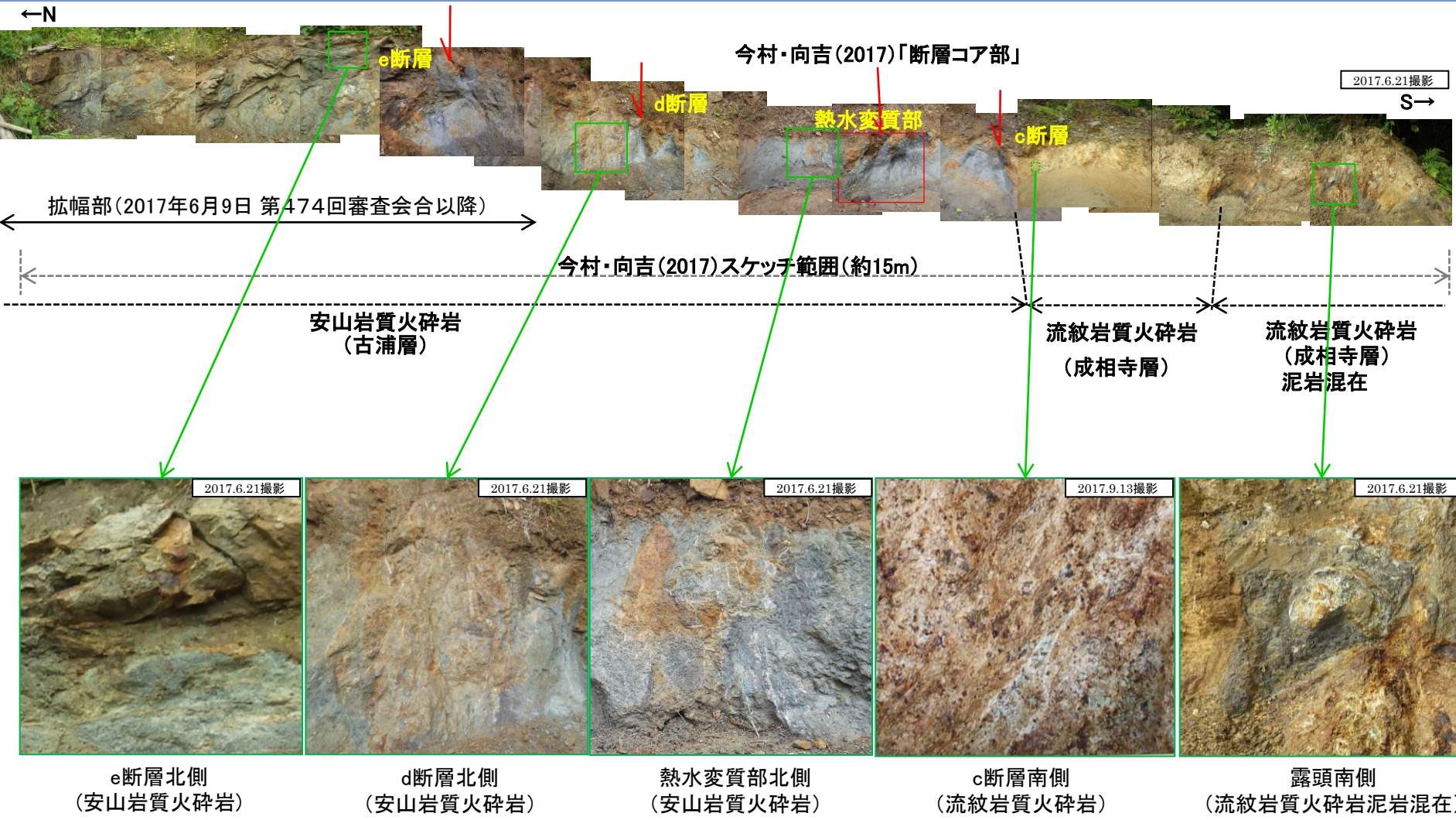
# 1. 突道断層の評価 (2) 地質調査(突道断層の東側) 断層露頭⑥-2(スケッチ図)



今村・向吉(2017)：  
 ・安山岩質火山礫凝灰岩のダメージ帯中には幅約1mのガウジ帯(断層コア部)及びより細粒なガウジを伴うせん断面が観察された(①)。ガウジ帯及びその周辺で4条の断層が認められる。  
 ・古浦層と成相寺層の境界に断層があり(②)，N83E90の断層面にN83E/15の条線が認められる。  
 ・ガウジ帯北約3mに凝灰質泥岩ダメージ帯があり(③)，そこで4条の断層が認められる。  
 ・古浦層と成相寺層の境界から南約3mにシート状泥岩が引き伸ばされた構造が認められる(④)。

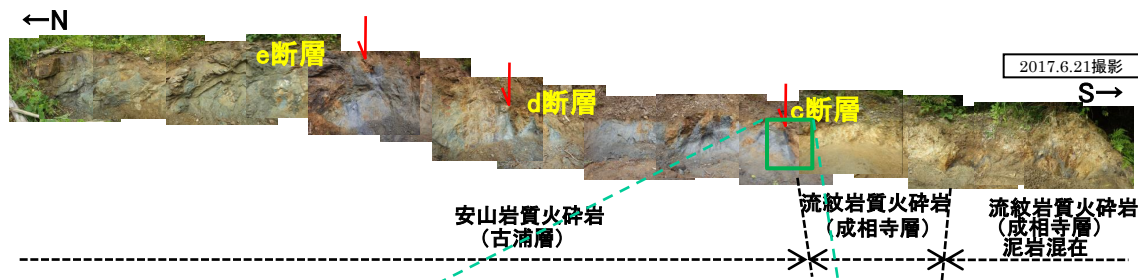
・①の断層に対して当社は、いくつかのゆるく湾曲し連続性に乏しい性状を示す小断層と評価。  
 ・②の断層に対して当社は、今村・向吉(2017)と同様に地質境界の断層(c断層の断層面②)と評価。ただし、主断層は地質境界から数cm北側(古浦層側)に分布する断層面①と評価。  
 ・③の断層に対して当社は、安山岩質の細粒凝灰岩中の断層(d断層)と評価。  
 ・④の断層に対して当社は、泥岩が断片的に観察される箇所ので認められる小断層と評価。

# 1. 中央断層の評価 (2) 地質調査(中央断層の東側) 断層露頭⑥-2(白色脈分布状況)



・露頭全体に白色鉍物脈が分布する。白色脈は露頭中央の熱水変質部付近で多く認められる。  
 ・露頭全体が熱水変質作用を受けていると考えられる。

# 1. 宍道断層の評価 (2) 地質調査(宍道断層の東側) 断層露頭⑥-2(c断層)(地表地質踏査)



本資料のうち、枠囲みの内容は公開できません。

F/D 露頭位置  
層理面の走向・傾斜  
断層面の走向・傾斜

- 露頭岩種
- 泥岩
  - 砂岩
  - 礫岩
  - 安山岩質火砕岩
  - デイサイト質火砕岩
  - 流紋岩・流紋岩質火砕岩

— 変位地形・リニアメント(Dランク)

- 原子力安全委員会のワーキンググループ3第17回参考資料第2号(2009)に記載された推定活断層の位置
- - - 鹿野・吉田(1985)による断層、伏在断層
- 今泉ほか編(2018)による宍道(鹿島)断層

・古浦層の安山岩質火砕岩と、成相寺層の流紋岩質火砕岩を境する断層(c断層)が認められる。断層面としては、地質境界をなす断層面(断層面②)と安山岩質火砕岩中の断層面(断層面①)が確認される。

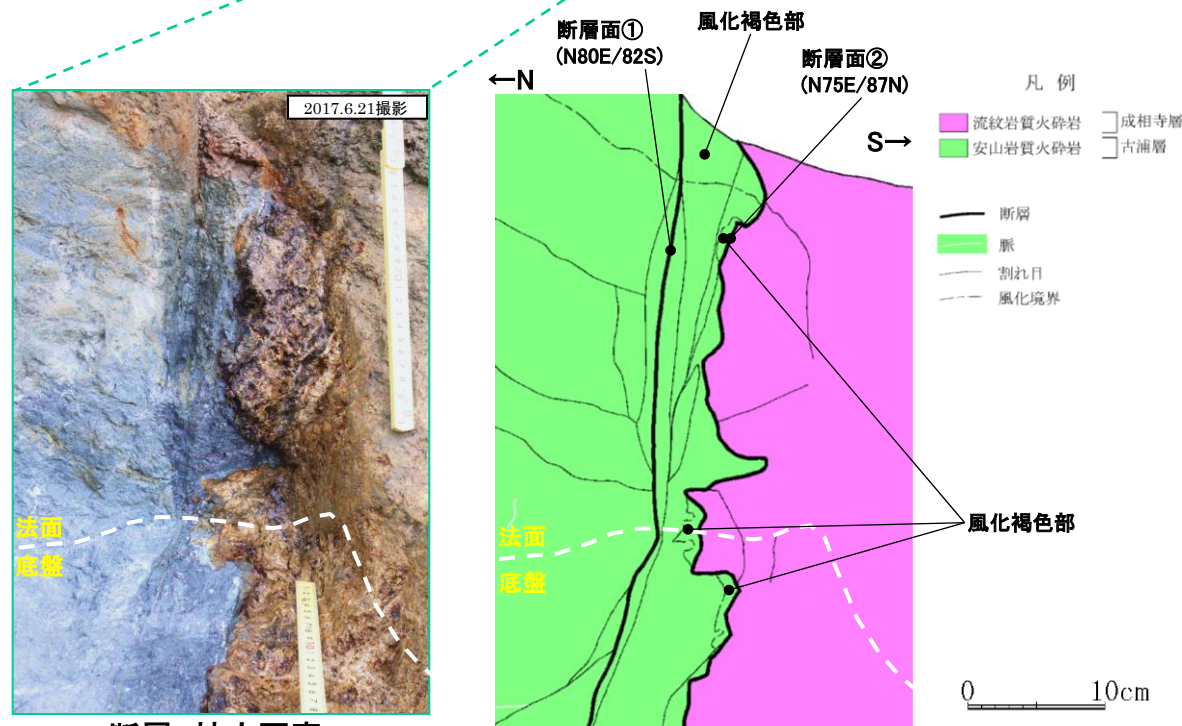
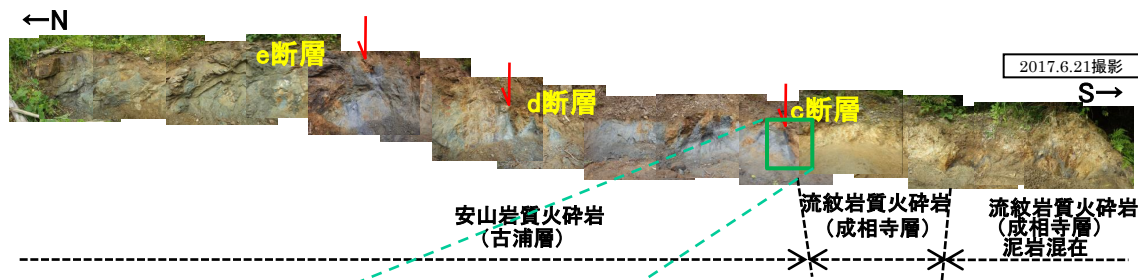
・断層面①は、N80E/82Sの走向傾斜を示し、断層面には粘土が認められる。

・断層面②は、N75E/87Nの走向傾斜を示し、断層面には粘土が認められるものの、断層面は屈曲している。

・断層面①の方が、断層面が直線的であり、断層面沿いの粘土が細粒化している。

1. 突道断層の評価 (2) 地質調査(突道断層の東側)

断層露頭⑥-2(c断層:拡大)(地表地質踏査)



c断層 拡大写真

本資料のうち、枠囲みの内容は公開できません。

変位地形・リニアメント(Dランク)

- 原子力安全委員会のワーキンググループ第3第17回参考資料第2号(2009)に記載された推定活断層の位置
- 鹿野・吉田(1985)による断層, 伏在断層
- 今泉ほか編(2018)による突道(鹿島)断層

露頭位置  
層理面の走向・傾斜  
断層面の走向・傾斜

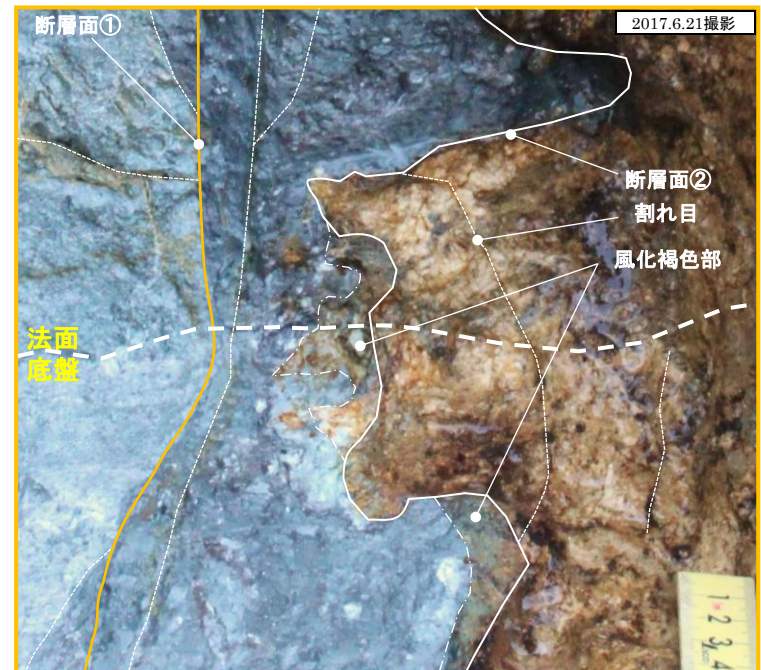
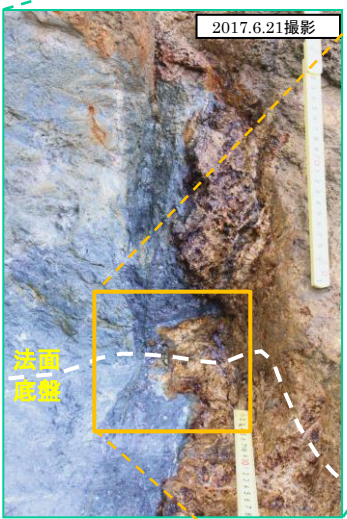
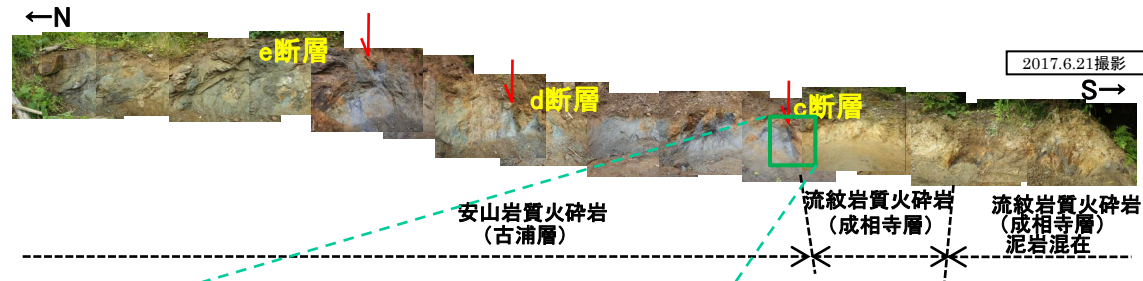
- 露頭岩種
- 泥岩
  - 砂岩
  - 礫岩
  - 安山岩質火砕岩
  - デイサイト質火砕岩
  - 流紋岩・流紋岩質火砕岩

第474回審査会合以降、c断層露頭におけるブロック試料採取に伴い、奥側に掘り込んで観察した結果、以下のことを確認した。

- 断層面①は、断層面に粘土を伴い、平滑に連続する。
- 断層面②は、断層面に部分的に粘土を伴い、断層面は凹凸の著しい面形状をなす。
- 断層面②付近の安山岩質火砕岩側において、流紋岩質火砕岩側から連続する風化褐色部が部分的に認められる。

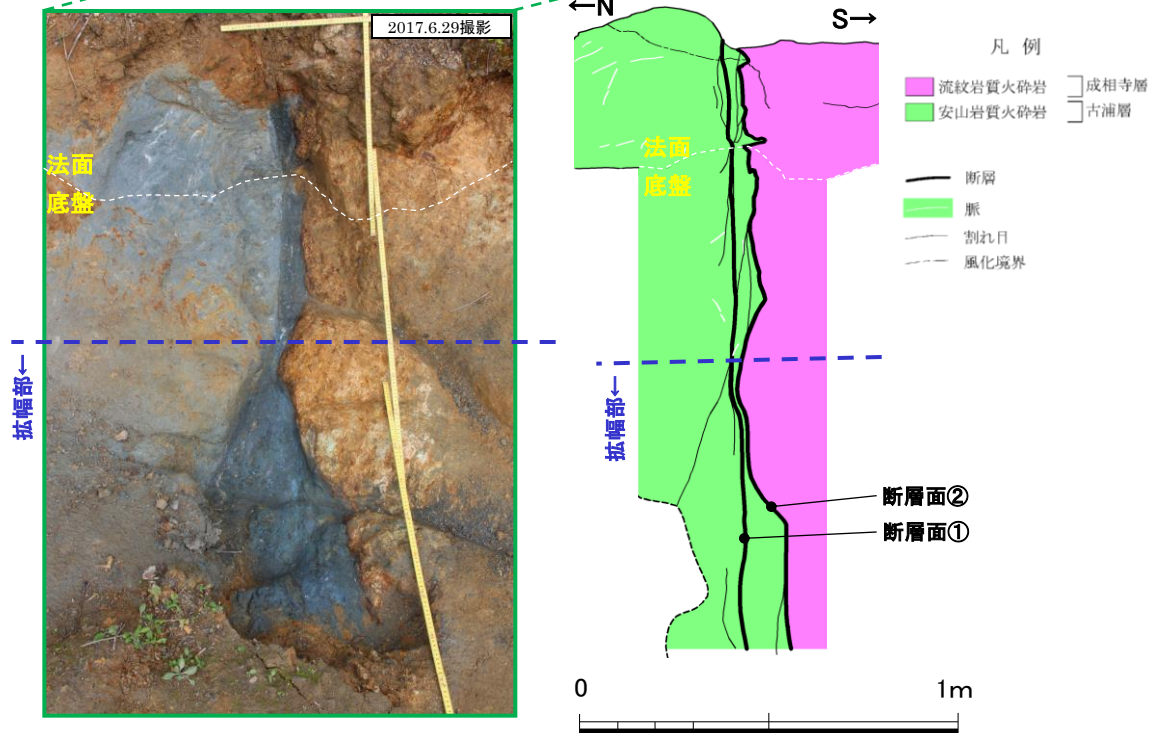
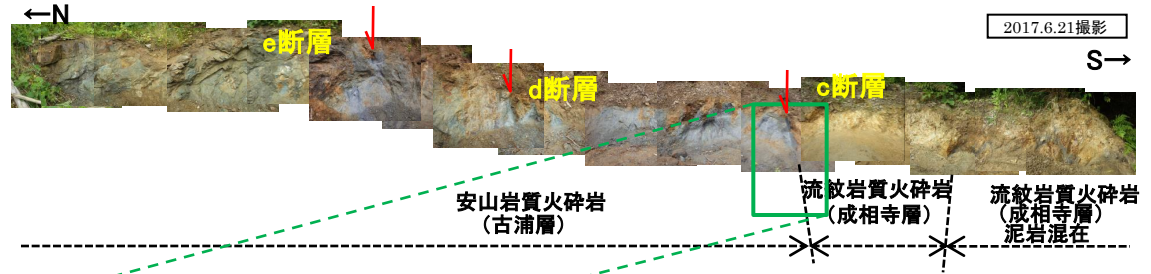
1. 宍道断層の評価 (2) 地質調査(宍道断層の東側)

断層露頭⑥-2(c断層:接写)(地表地質踏査)



1. 宍道断層の評価 (2) 地質調査(宍道断層の東側)

断層露頭⑥-2 (c断層: 拡幅部) (地表地質踏査)



本資料のうち、枠囲みの内容は公開できません。

変位地形・リニアメント(Dランク)

- 原子力安全委員会のワーキンググループ3第17回参考資料第2号(2009)に記載された推定活断層の位置
- 鹿野・吉田(1985)による断層, 伏在断層
- 今泉ほか編(2018)による宍道(鹿島)断層

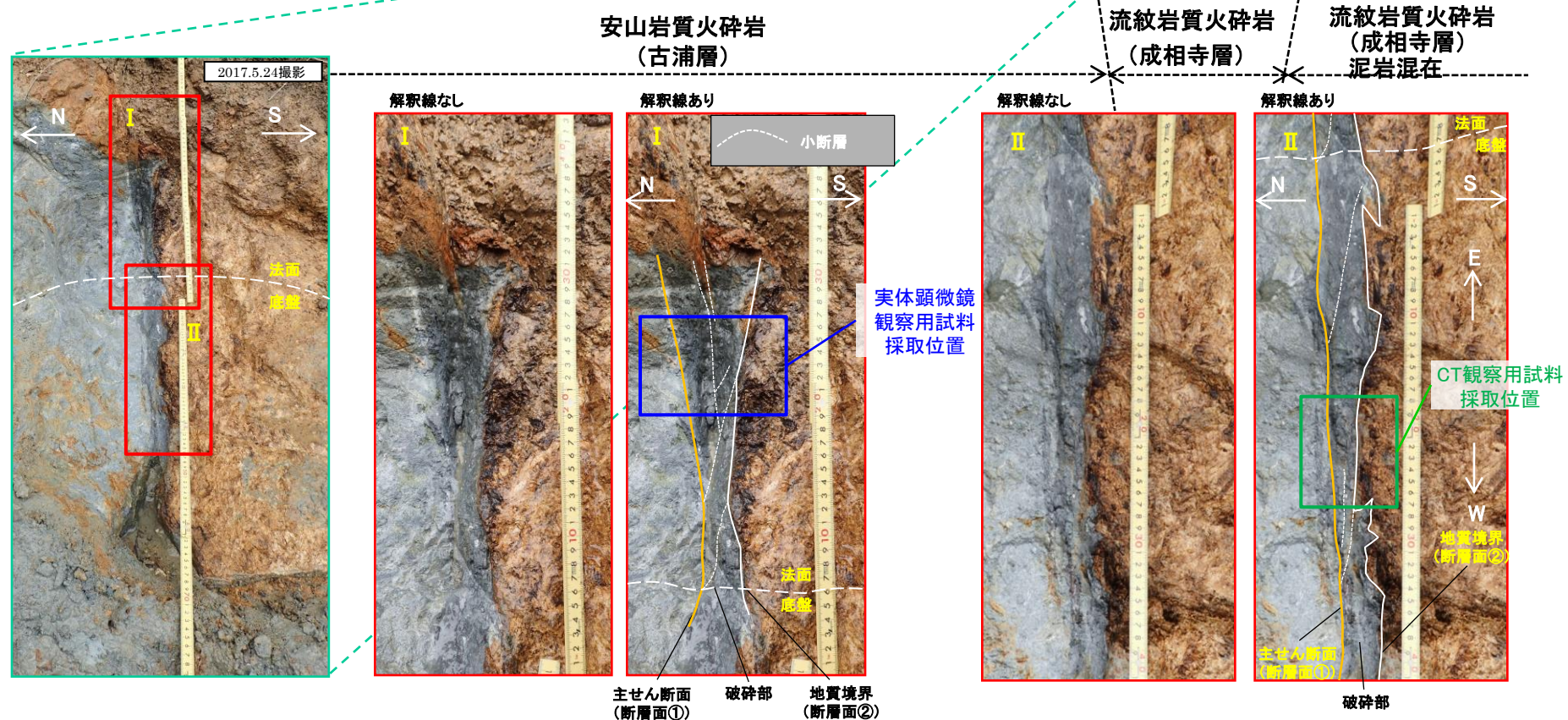
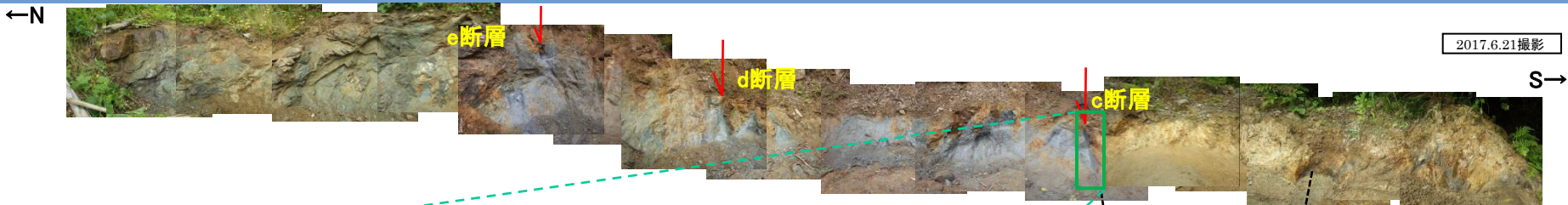
- FD 露頭位置
- ff 層理面の走向・傾斜
- f 断層面の走向・傾斜

- 露頭岩種
- 泥岩
  - 砂岩
  - 礫岩
  - 安山岩質火砕岩
  - デイサイト質火砕岩
  - 流紋岩・流紋岩質火砕岩

第474回審査会合以降, c断層底盤露頭を拡幅した結果, 以下のことを確認した。

- ・断層面①は, 断層面に粘土を伴い, 平滑に連続する。
- ・断層面②は, 断層面に粘土を伴わず, 断層面は屈曲する。
- ・断層面①と断層面②は近接する箇所もみられるが, 一つに収束する様子を確認できなかった。
- ・以上のことから断層面①を最新活動面と判断し, c断層として評価する。

# 1. 突道断層の評価 (2) 地質調査(突道断層の東側) 断層露頭⑥-2(c断層)(地表地質踏査)



・古浦層の安山岩質火砕岩と、成相寺層の流紋岩質火砕岩を境する断層(c断層)が認められる。断層面としては、地質境界をなす断層面(断層面②)と安山岩質火砕岩中の断層面(断層面①)が確認される。断層面①と断層面②の間は、小断層が認められる破碎部からなる。

・断層面①は平滑な面をなすのに対し、断層面②は屈曲する。断層面②の屈曲は断層面①から派生する小断層の影響を受けていると考えられる。

・以上のことから、断層面①を最新活動面と判断し、c断層として評価する。

・c断層の試料を採取し、CT画像撮影、実体顕微鏡観察を実施した。

1. 突道断層の評価 (2) 地質調査(突道断層の東側)

断層露頭⑥-2(c断層底盤拡大)(地表地質踏査)

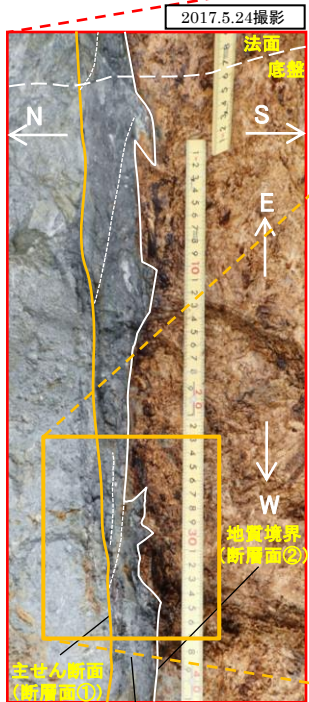


2017.6.21撮影

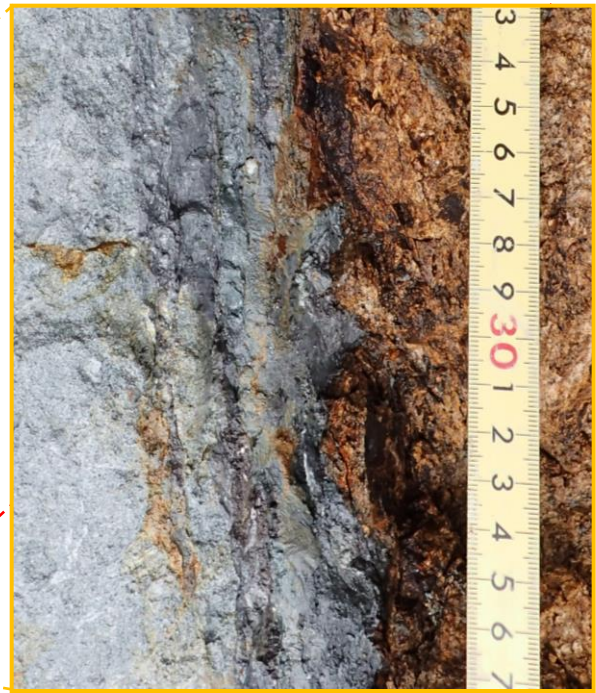
安山岩質火砕岩  
(古浦層)

流紋岩質火砕岩  
(成相寺層)

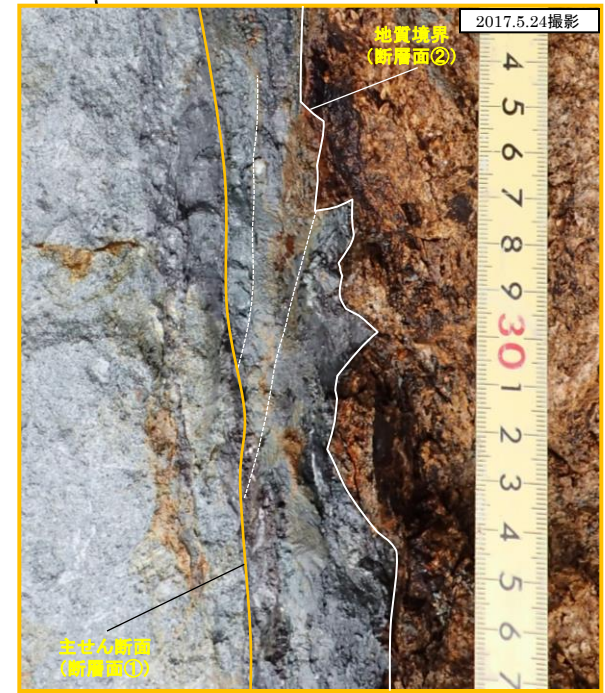
流紋岩質火砕岩  
(成相寺層)  
泥岩混在



破碎部

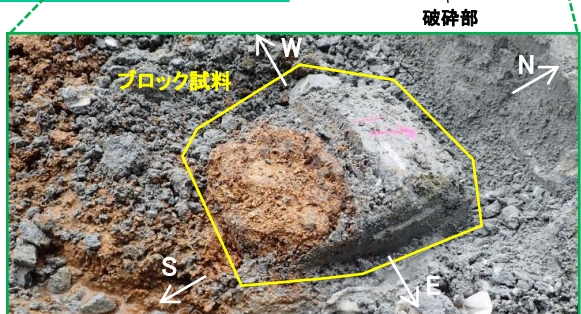
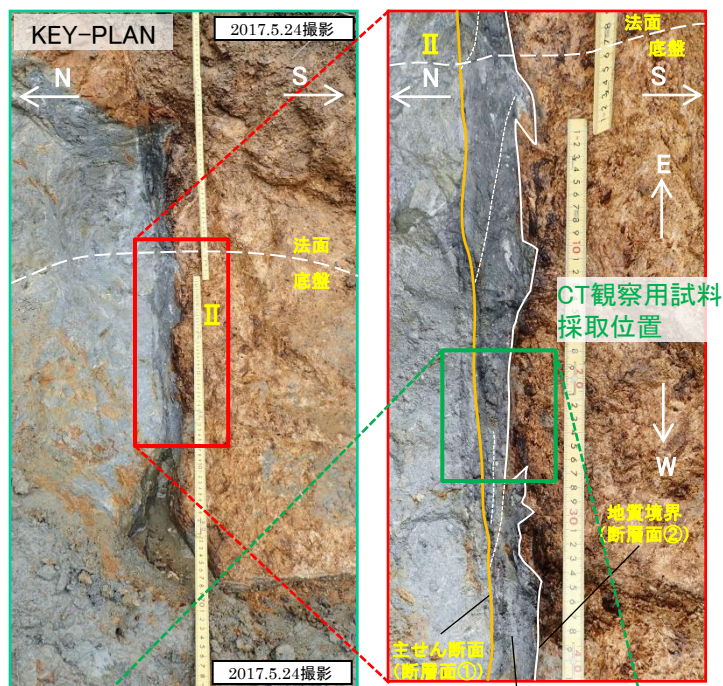


c断層 底盤部 拡大写真

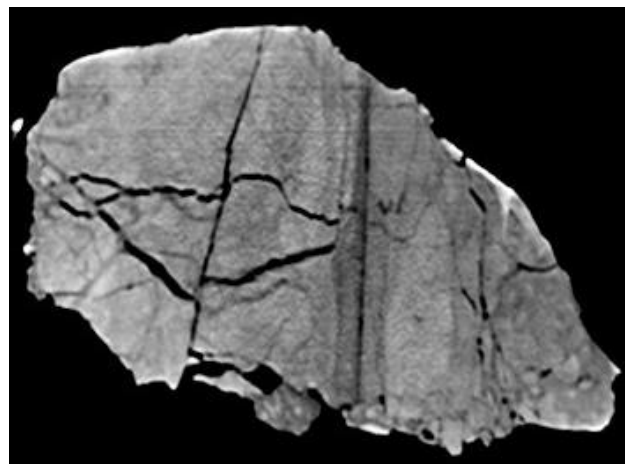


c断層 底盤部 拡大写真(解釈線あり)

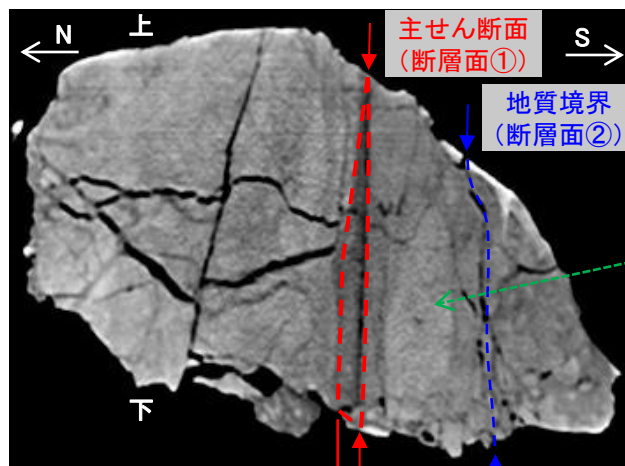
# 断層露頭⑥-2(c断層)(CT画像解析)



CT用ブロック写真(東側から西方向を撮影)



CT画像(解釈線なし)

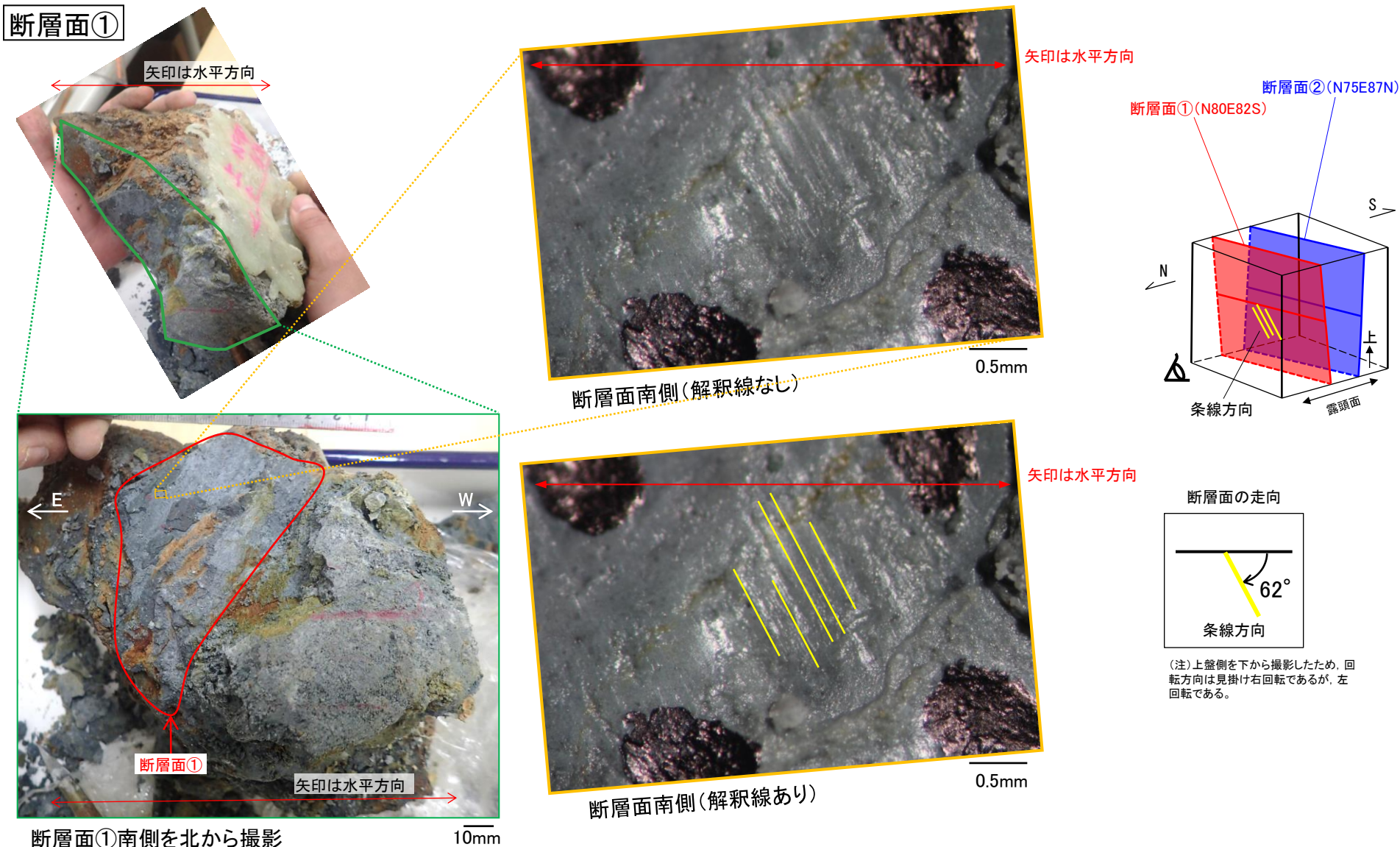


原岩部(変質) 破碎部① 破碎部② 原岩部(変質)  
CT画像(解釈線あり)

- ・CT画像解析の結果, 北から, 原岩部(変質), 破碎部①, 破碎部②, 原岩部(変質)に分帯される。
- ・破碎部①は細粒物質から成る。破碎部②は礫が引き延ばされる等の塑性的な変形が見られる。
- ・破碎部①と②の境界に, 比較的連続性の良いせん断面(断層面①)が認められる。
- ・破碎部②と原岩部(変質)の境界に, 直線性に乏しい地質境界(断層面②)が認められる。

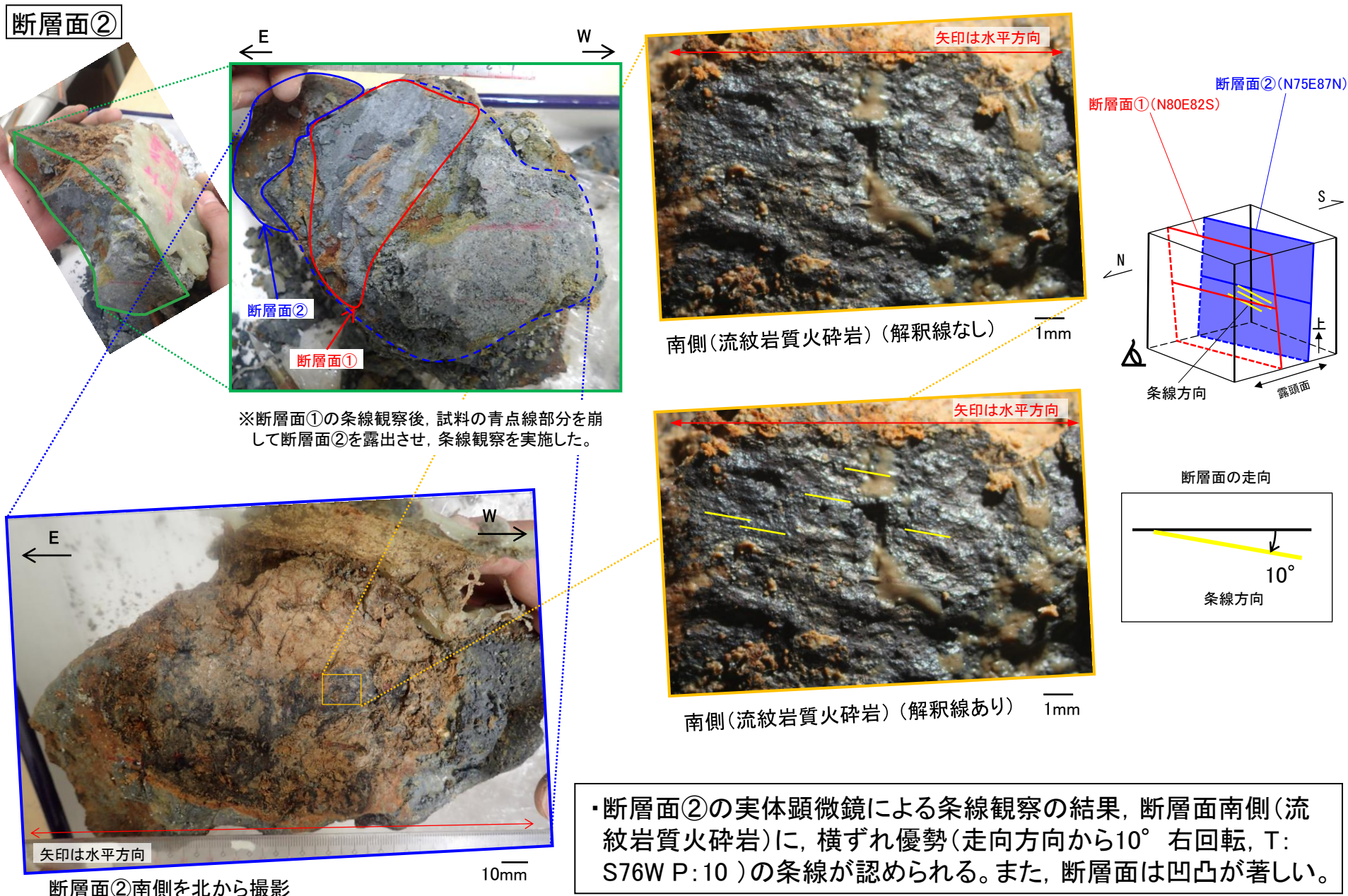
1. 中央断層の評価 (2) 地質調査(中央断層の東側)

断層露頭⑥-2(c断層;断層面①(最新活動面))(実体顕微鏡観察)

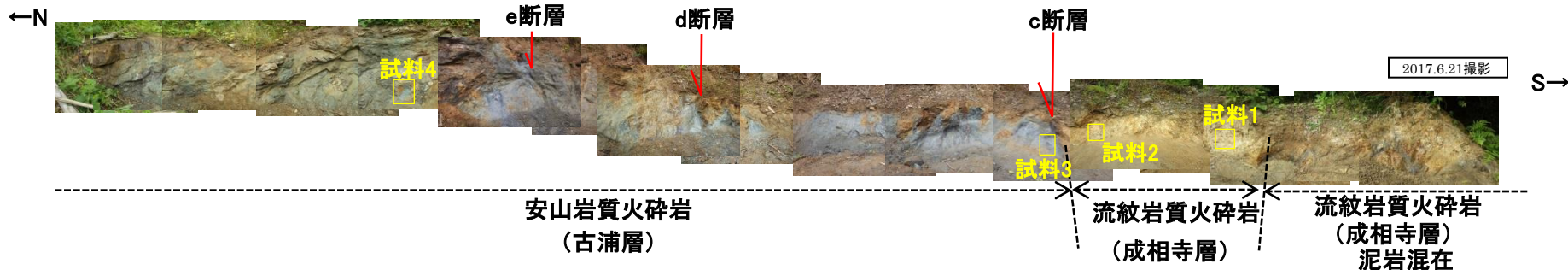


・最新活動面と判断される断層面①の実体顕微鏡による条線観察の結果、断層面南側に、縦ずれ優勢(走向方向から62°左回転, T:S65W P:61)の条線が認められる。また、断層面は平滑である。

1. 突道断層の評価 (2) 地質調査(突道断層の東側)  
断層露頭⑥-2(c断層;断層面②)(実体顕微鏡観察)



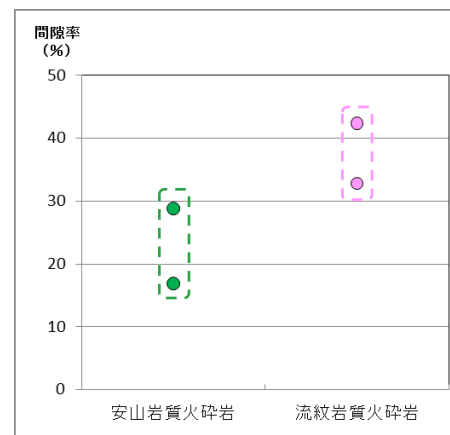
# 1. 宍道断層の評価 (2) 地質調査(宍道断層の東側) 断層露頭⑥-2(c断層)(物理試験)



岩種 試料名	安山岩質火砕岩		流紋岩質火砕岩	
	試料4	試料3	試料2	試料1
試料の状態				
間隙率(%)	16.9	28.8	32.8	42.4

試料 番号	湿潤密度 (g/cm <sup>3</sup> )		含水比 (%)		乾燥密度 (g/cm <sup>3</sup> )		間隙率 (%)	
	試験結果	平均値	試験結果	試験結果	試験結果	平均値	計算値	平均値
1	1.845	1.835	19.9	18.08	1.539	1.555	43.0	42.4
	1.853		15.8		1.600		40.7	
	1.808		18.6		1.525		43.5	
2	2.098	2.046	12.7	12.85	1.862	1.814	31.0	32.8
	2.001		14.9		1.741		35.5	
	2.040		10.9		1.839		31.9	
3	2.190	2.155	11.6	12.18	1.962	1.921	27.3	28.8
	2.159		12.2		1.924		28.7	
	2.115		12.8		1.876		30.5	
4	2.332	2.333	3.6	4.07	2.251	2.242	16.6	16.9
	2.336		4.7		2.232		17.3	
	2.331		3.9		2.243		16.9	

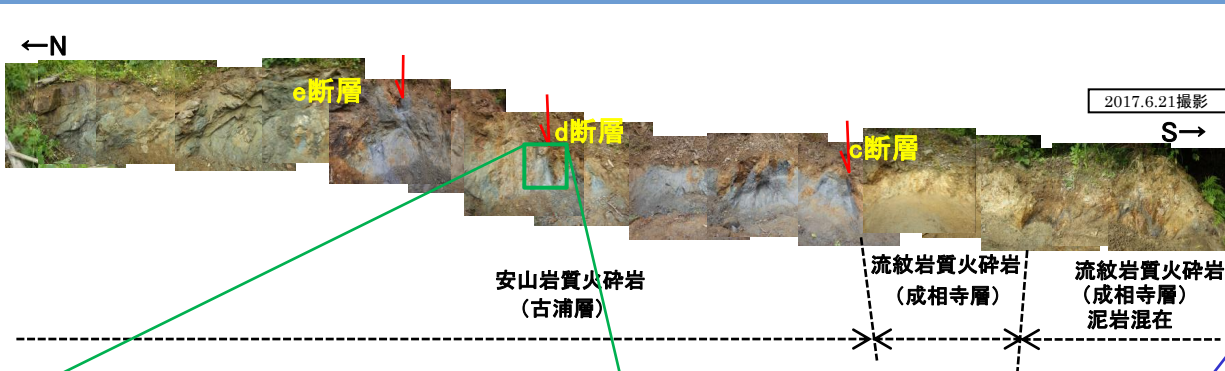
間隙率は土粒子の密度を  
2.7g/cm<sup>3</sup>として求めた。



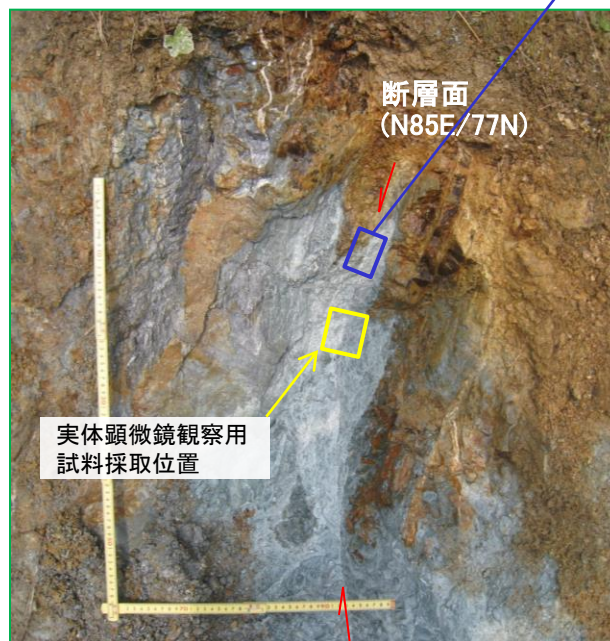
- ・物理試験の結果、流紋岩質火砕岩の間隙率は、安山岩質火砕岩の間隙率より大きい傾向が認められた。
- ・間隙率が高い岩石は、一般に、透水性が高く、風化に伴う黄褐色化が起こりやすい。
- ・c断層付近を境に北側と南側で色調が異なるのは、間隙率の違いによる風化程度の違いと考えられる。

1. 央道断層の評価 (2)地質調査(央道断層の東側)

断層露頭⑥-2(d断層)(地表地質踏査)



d断層 拡大写真(解釈線なし)



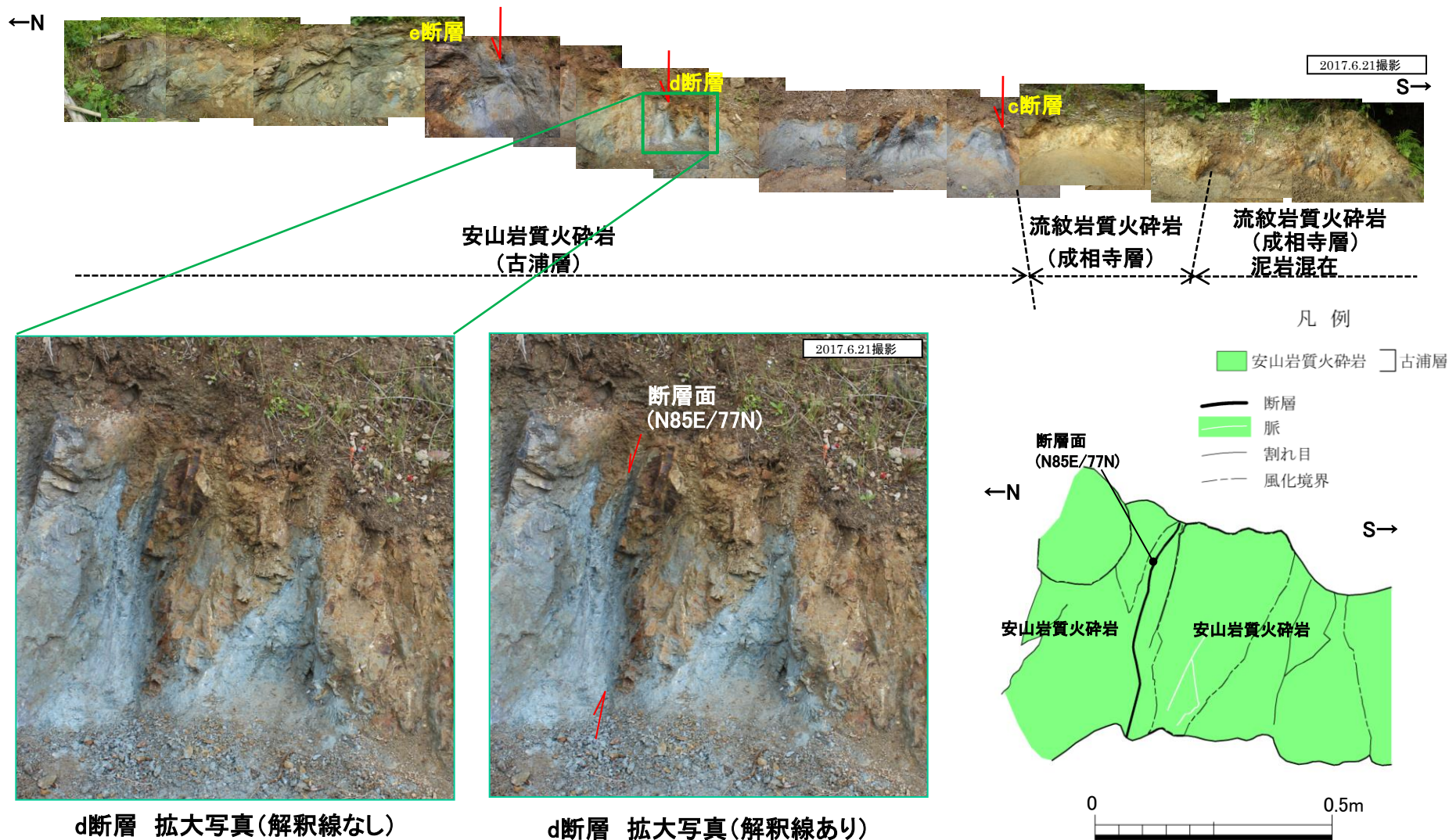
d断層 拡大写真(解釈線あり)



- ・古浦層の安山岩質火砕岩中に、小断層(d断層)が認められる。
- ・断層はN85E/77Nの走向傾斜を示し、縦ずれ(走向方向から88°左回転)の条線が認められる。
- ・実体顕微鏡観察による条線観察の結果、縦ずれ優勢(走向方向から75°左回転)の条線が認められる(次々頁参照)。
- ・断層面付近では、全体的に熱水変質作用を被っており、網目状の白色脈が認められる。

1. 中央断層の評価 (2) 地質調査(中央断層の東側)

断層露頭⑥-2 (d断層) (スケッチ図)



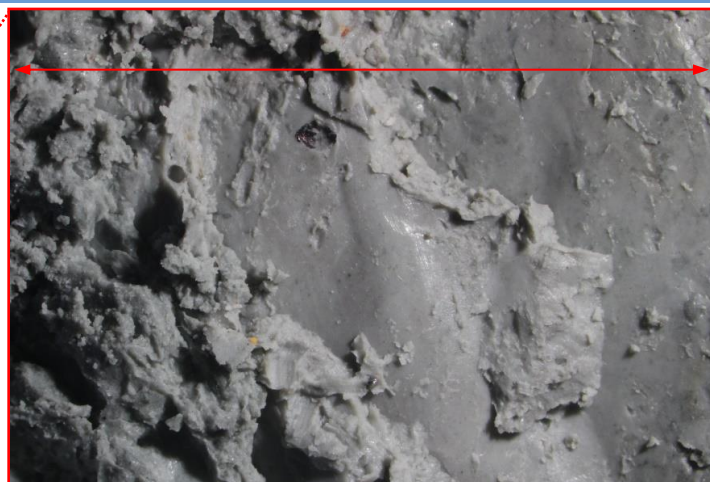
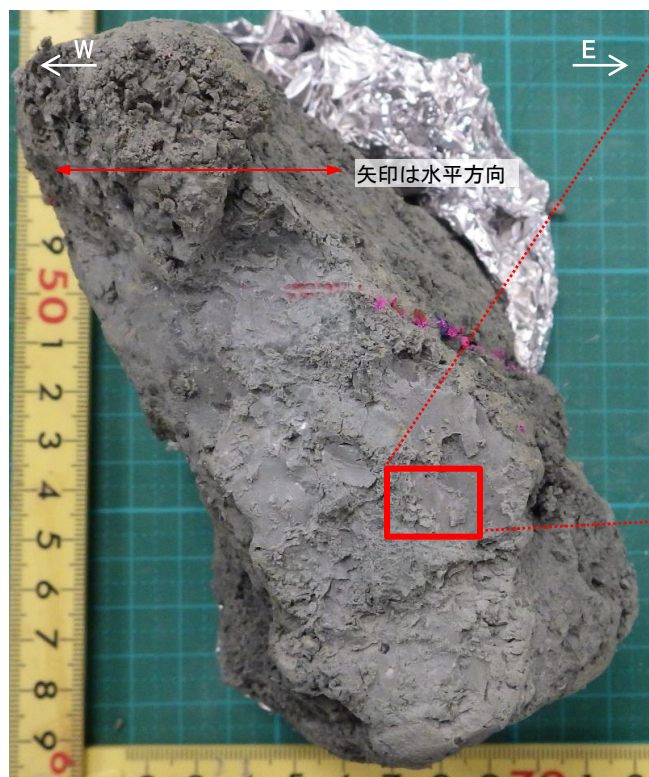
d断層 拡大写真(解釈線なし)

d断層 拡大写真(解釈線あり)

※ ブロック試料採取に伴い、露頭を奥側に掘り込んだ後にスケッチを実施した。

1. 中央断層の評価 (2)地質調査(中央断層の東側)

断層露頭⑥-2(d断層)(実体顕微鏡観察)

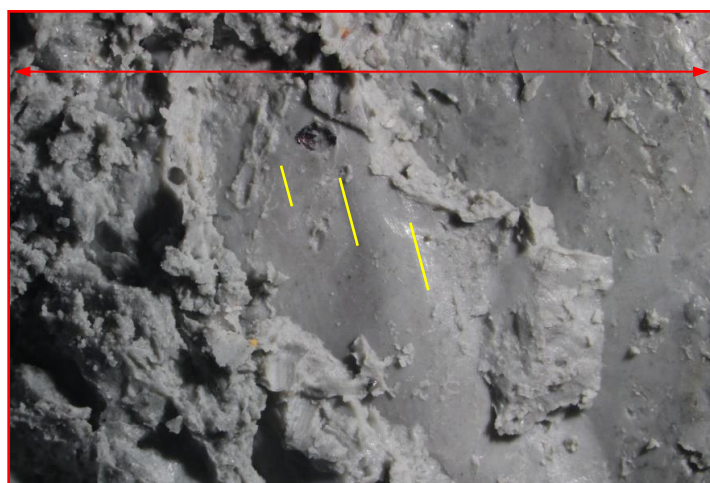
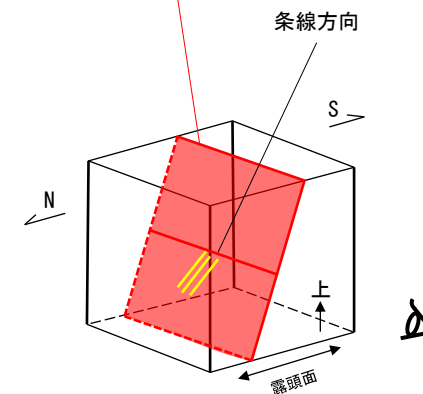


断層面北側(解釈線なし)

1mm

矢印は水平方向

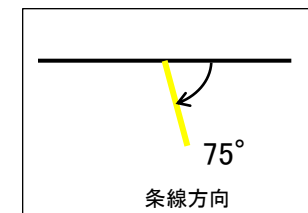
断層面(N85E77N)



断層面北側(解釈線あり)

1mm

断層面の走向



(注)上盤側を下から撮影したため、回転方向は見掛け右回転であるが、左回転である。

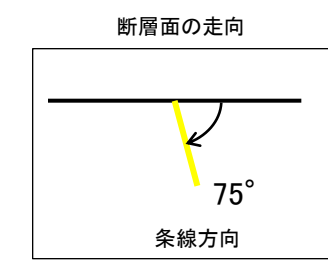
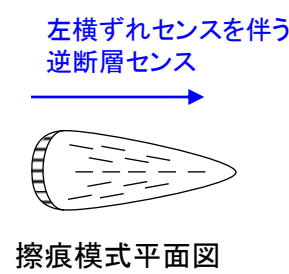
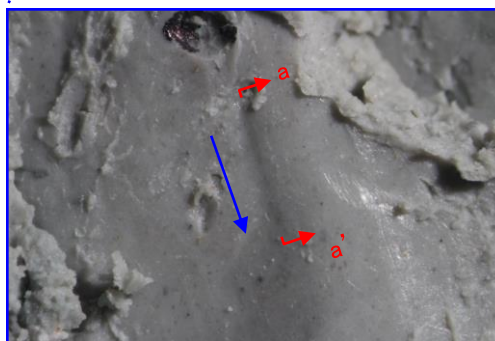
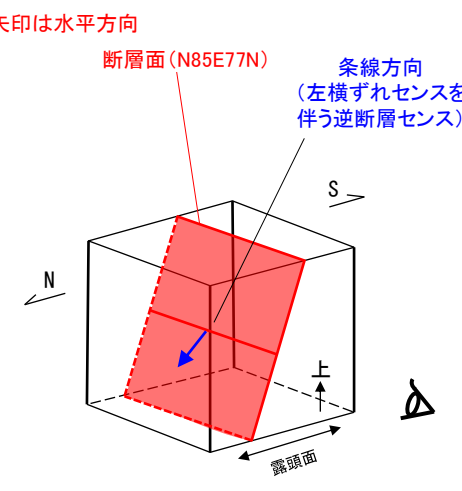
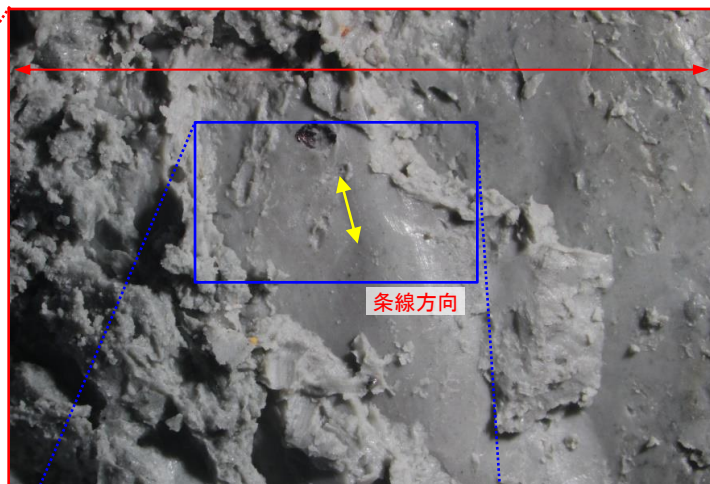
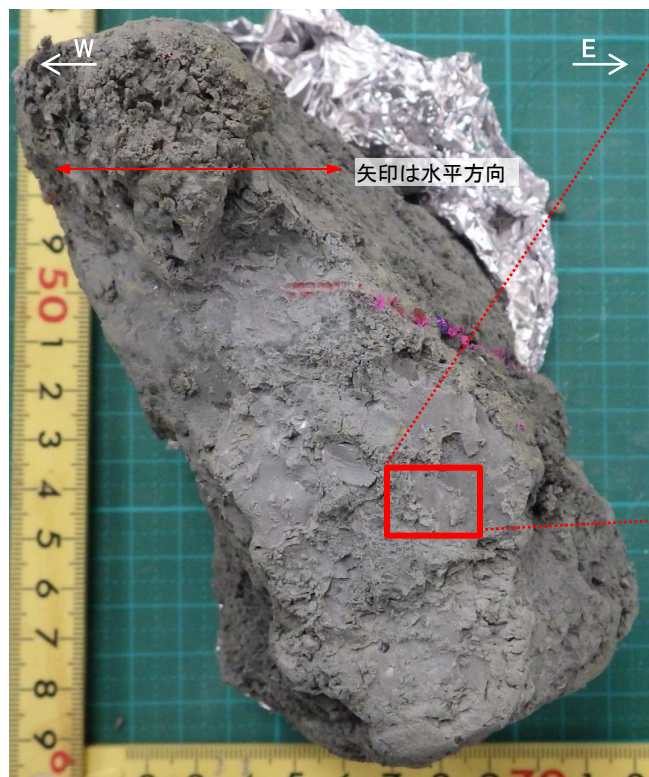
断層面北側を南から撮影

10mm

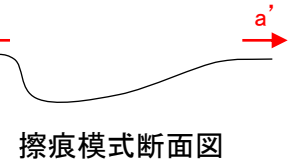
・条線観察の結果、縦ずれ優勢(走向方向から75°左回転, T:N45E P:70)の条線が認められる。

1. 突道断層の評価 (2) 地質調査(突道断層の東側)

断層露頭⑥-2(d断層)(実体顕微鏡観察)



(注) 上盤側を下から撮影したため、回転方向は見掛け右回転であるが、左回転である。



断層面北側を南から撮影

10mm

1mm

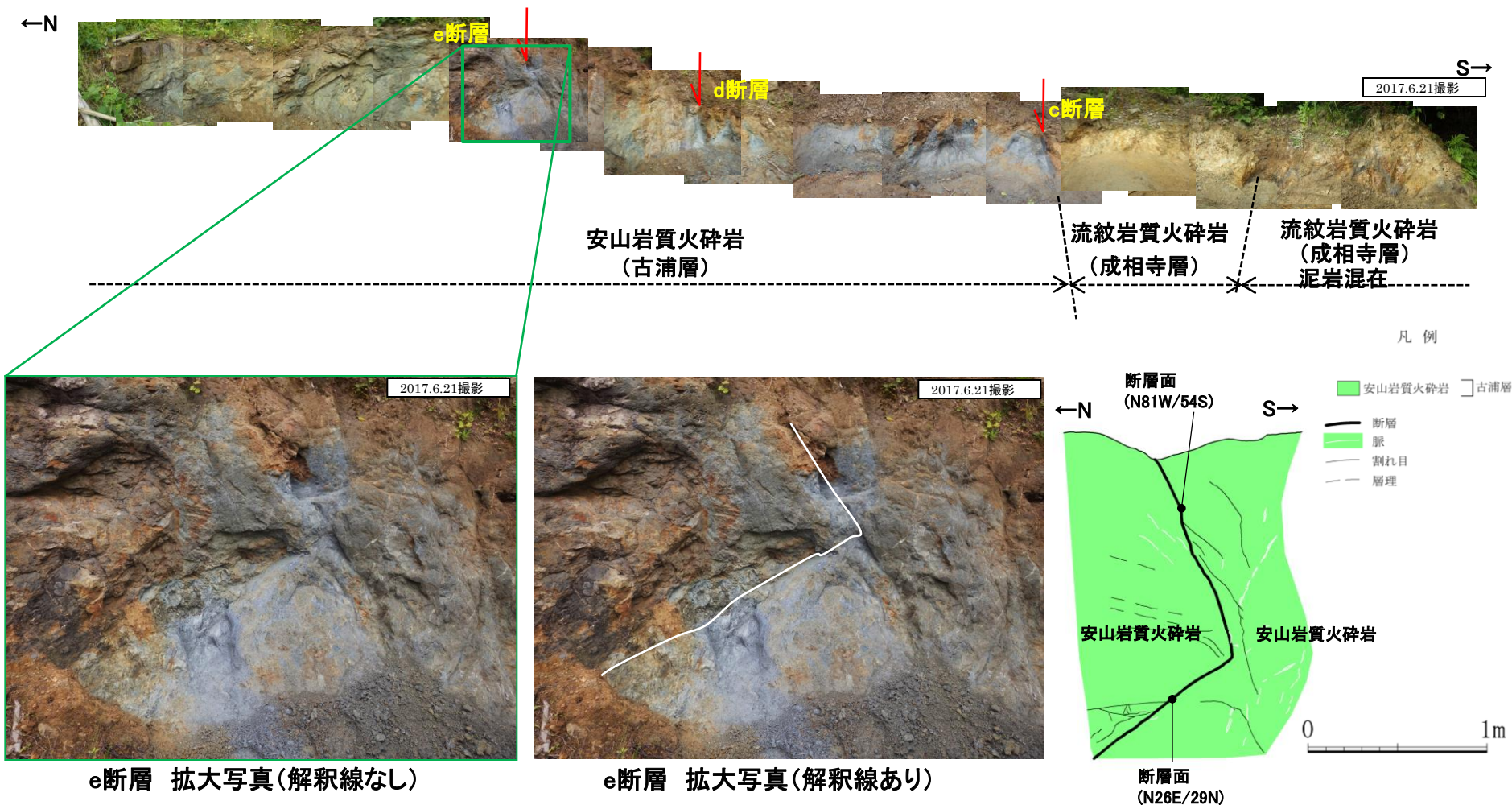
0.5mm

擦痕区分: Crescentic markings ; Gouging / plucking markings (Doblas, 1998)<sup>(32)</sup>

・擦痕より、d断層のせん断センスは左横ずれセンスを伴う逆断層センスである。

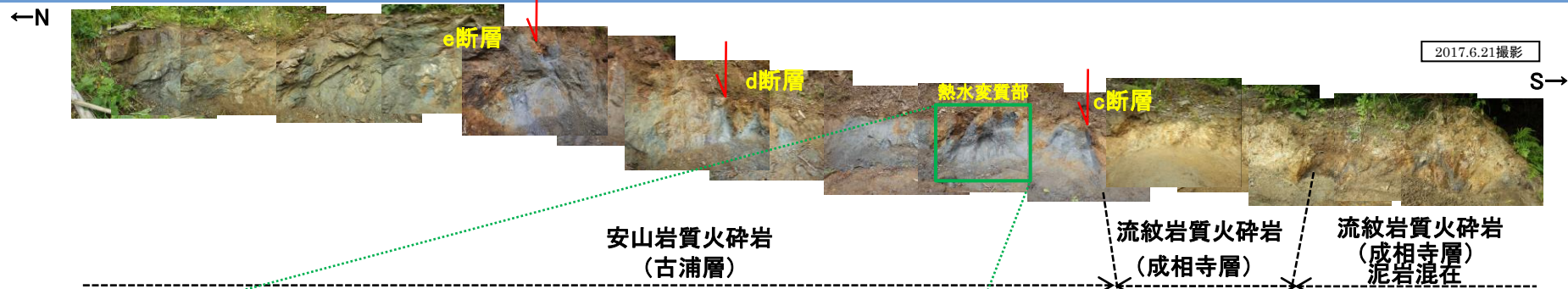
1. 中央断層の評価 (2) 地質調査(中央断層の東側)

断層露頭⑥-2 (e断層) (地表地質踏査)

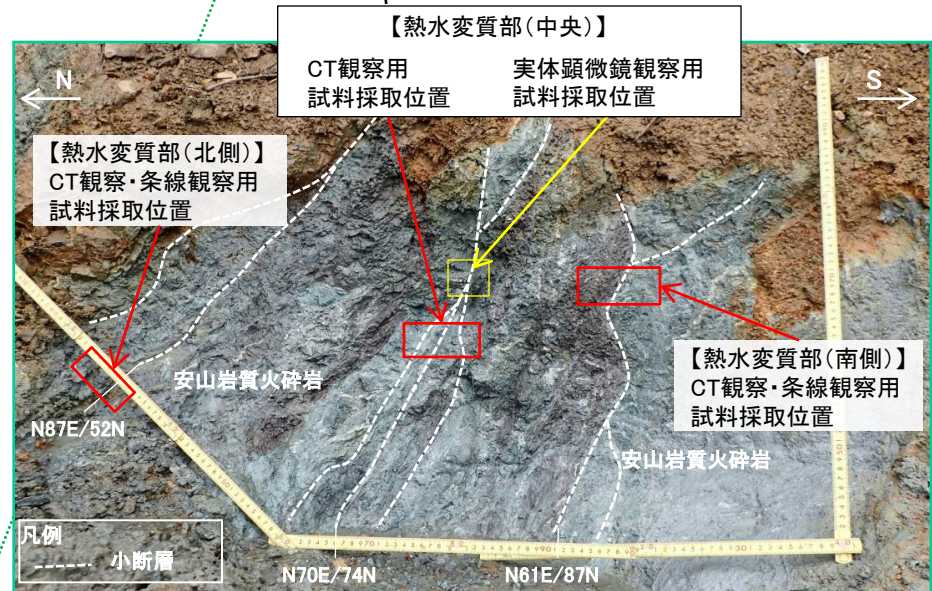


- 古浦層の安山岩質火砕岩中に、大きく屈曲する小断層(e断層)が認められる。断層は上部でN81W/54S, 下部でN26E/29Nを示す。
- 断層を境に南側では高角度の層理面を有するが、北側では水平に近い層理面を有する。

# 断層露頭⑥-2(熱水変質部)



熱水変質部拡大(解釈線なし)



熱水変質部拡大(解釈線あり)

・古浦層の安山岩質火砕岩中において、暗紫灰色の岩石と緑灰色の岩石が斑状に分布する。これら岩石は同じ組織を有し、周囲に青灰色粘土や白色脈を伴うことから、熱水変質の影響を受けていると考えられる。

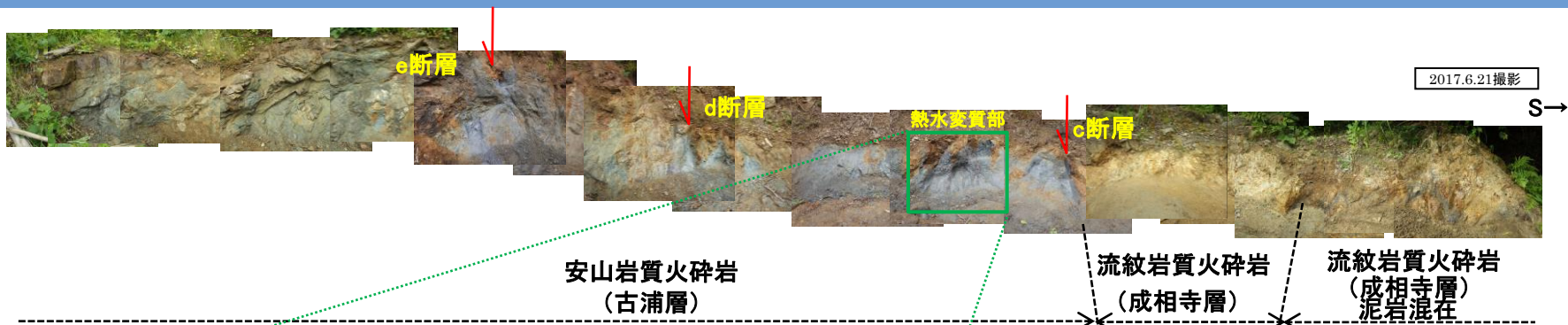
・その中で、ゆるく湾曲し連続性に乏しい性状を示す小断層が見られる箇所(熱水変質部(中央))で試料採取を行い、CT画像撮影、実体顕微鏡観察及びX線回折分析等を実施した。

・また、熱水変質部(中央)と比較してさらにゆるく湾曲し連続性に乏しい性状を示す小断層ではあるが、その他の2箇所(熱水変質部(北側)、(南側))についても試料採取を行い、CT画像撮影、実体顕微鏡観察を実施した。

1. 中央断層の評価 (2) 地質調査(中央断層の東側)

断層露頭⑥-2(熱水変質部)(スケッチ図)

←N



2017.6.21撮影

S→

安山岩質火砕岩  
(古浦層)

流紋岩質火砕岩  
(成相寺層)

流紋岩質火砕岩  
(成相寺層)  
泥岩混在

凡例

- 安山岩質火砕岩
- 古浦層
- 粘土
- 割れ目
- 脈
- 風化境界
- 変質境界



2017.6.21撮影



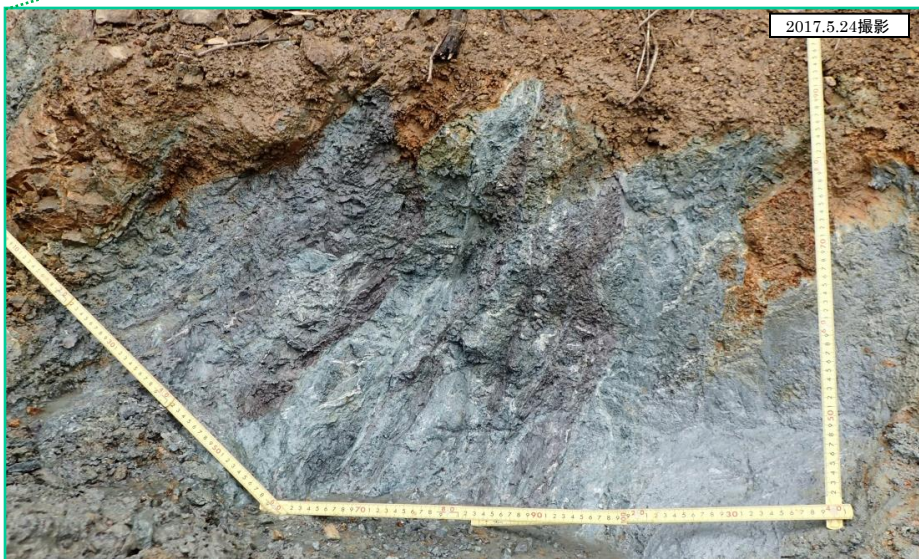
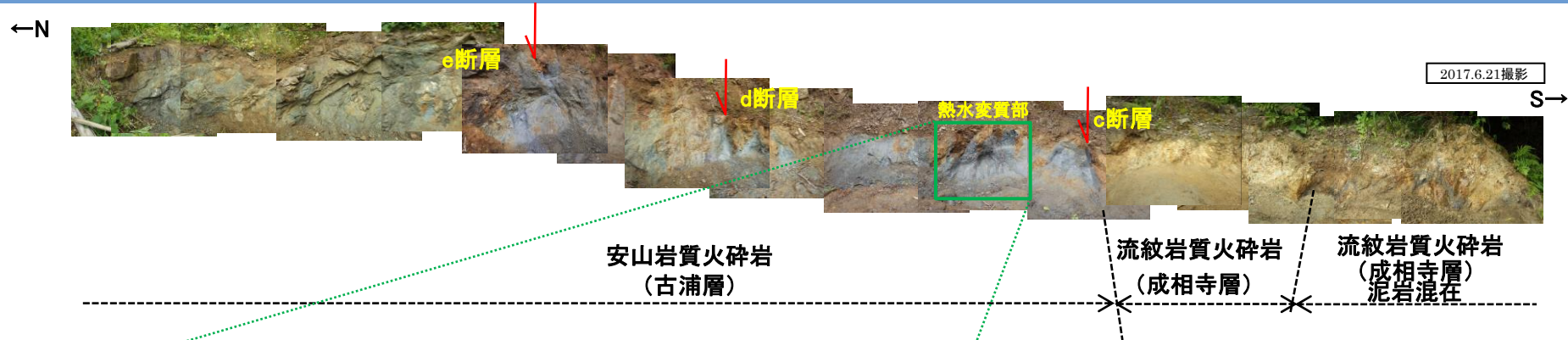
←N

S→



- ・第474回審査会合以降、熱水変質部の観察を再度行い、スケッチにまとめた。
- ・ブロック試料採取後の掘り込まれた観察面では、粘土を伴う小断層の連続性に乏しい。
- ・粘土を伴う小断層はいずれもゆるく湾曲しており、直線的でない。

# 断層露頭⑥-2(熱水変質部(中央))(試料採取位置)



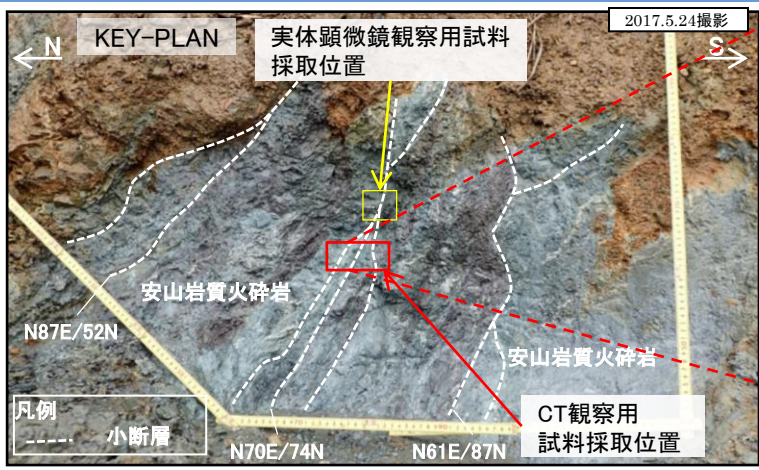
熱水変質部拡大(解釈線なし)



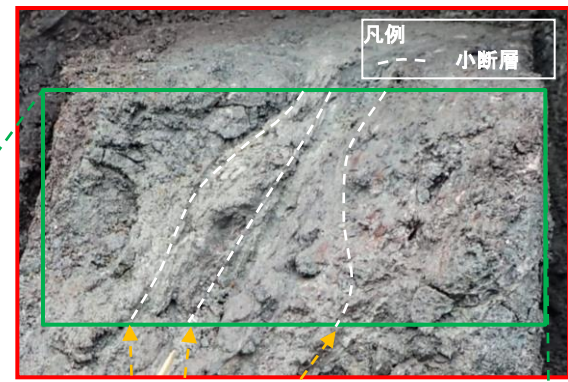
熱水変質部拡大(解釈線あり)

・粘土を伴い、ゆるく湾曲し連続性に乏しい性状を示す小断層が見られる箇所(熱水変質部(中央))で試料採取を行い、CT画像撮影、実体顕微鏡観察及びX線回折分析等を実施した。

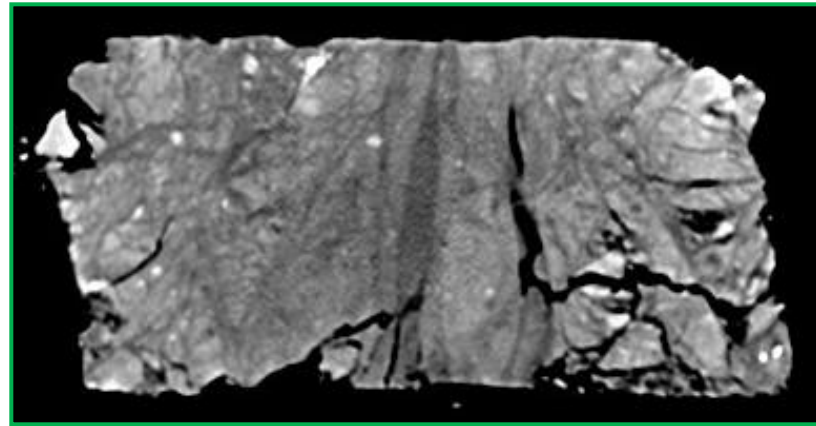
# 断層露頭⑥-2(熱水変質部(中央))(CT画像解析)



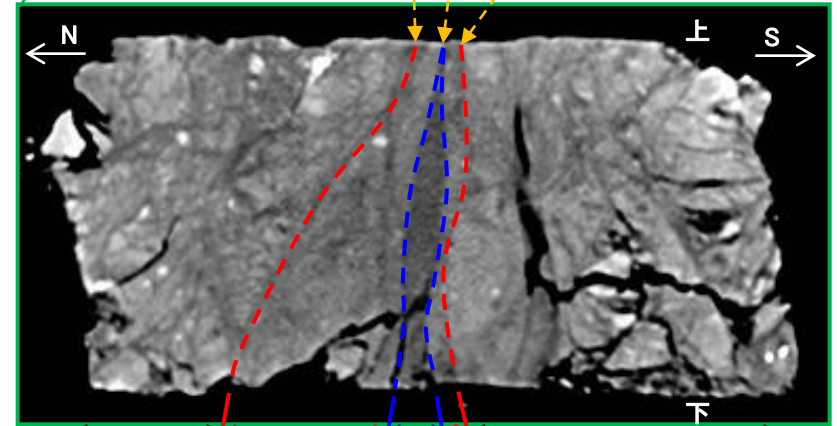
ブロック試料(CT画像撮影)  
解釈線なし



ブロック試料(CT画像撮影)  
解釈線あり



CT画像(解釈線なし)



原岩構造を残す変質部 弱い変形帯 低密度部 原岩構造を残す変質部

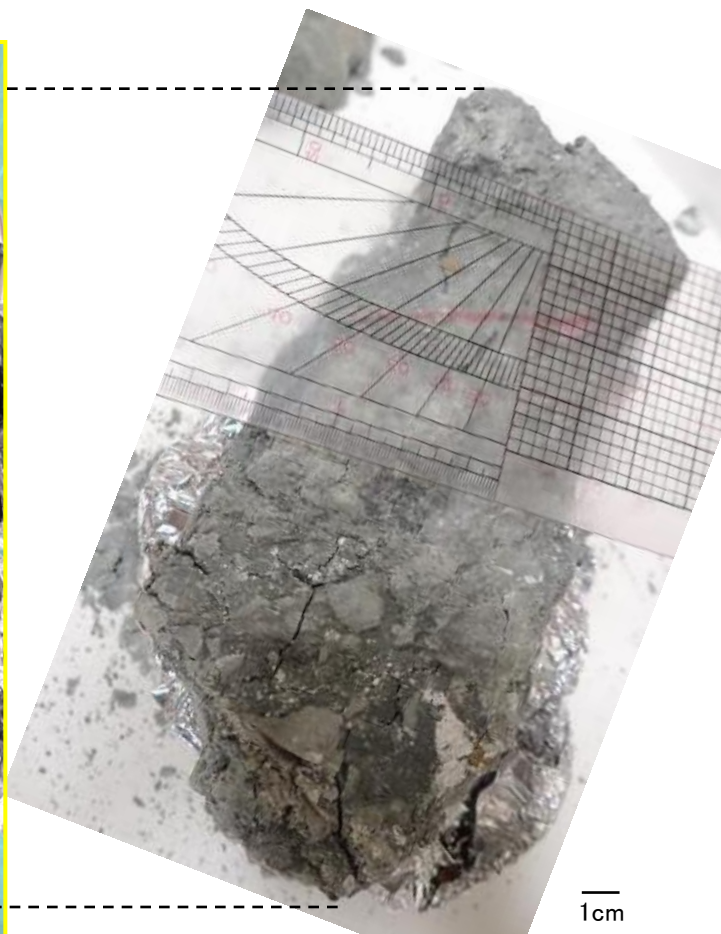
CT画像(解釈線あり)

- ・CT画像解析の結果、幅5mm程度のやや低密度部が認められ、その両側に厚さ2cm程度の膨縮する弱い変形帯が認められる。さらにその外側に、原岩構造を残す変質部が認められる。
- ・ただし、この低密度部には、CT画像解析の結果、明瞭なせん断面及び複合面構造は認められないことから、熱水に伴う粘土脈と考えられる。

# 1. 中央断層の評価 (2) 地質調査(中央断層の東側) 断層露頭⑥-2(熱水変質部(中央))(実体顕微鏡観察)



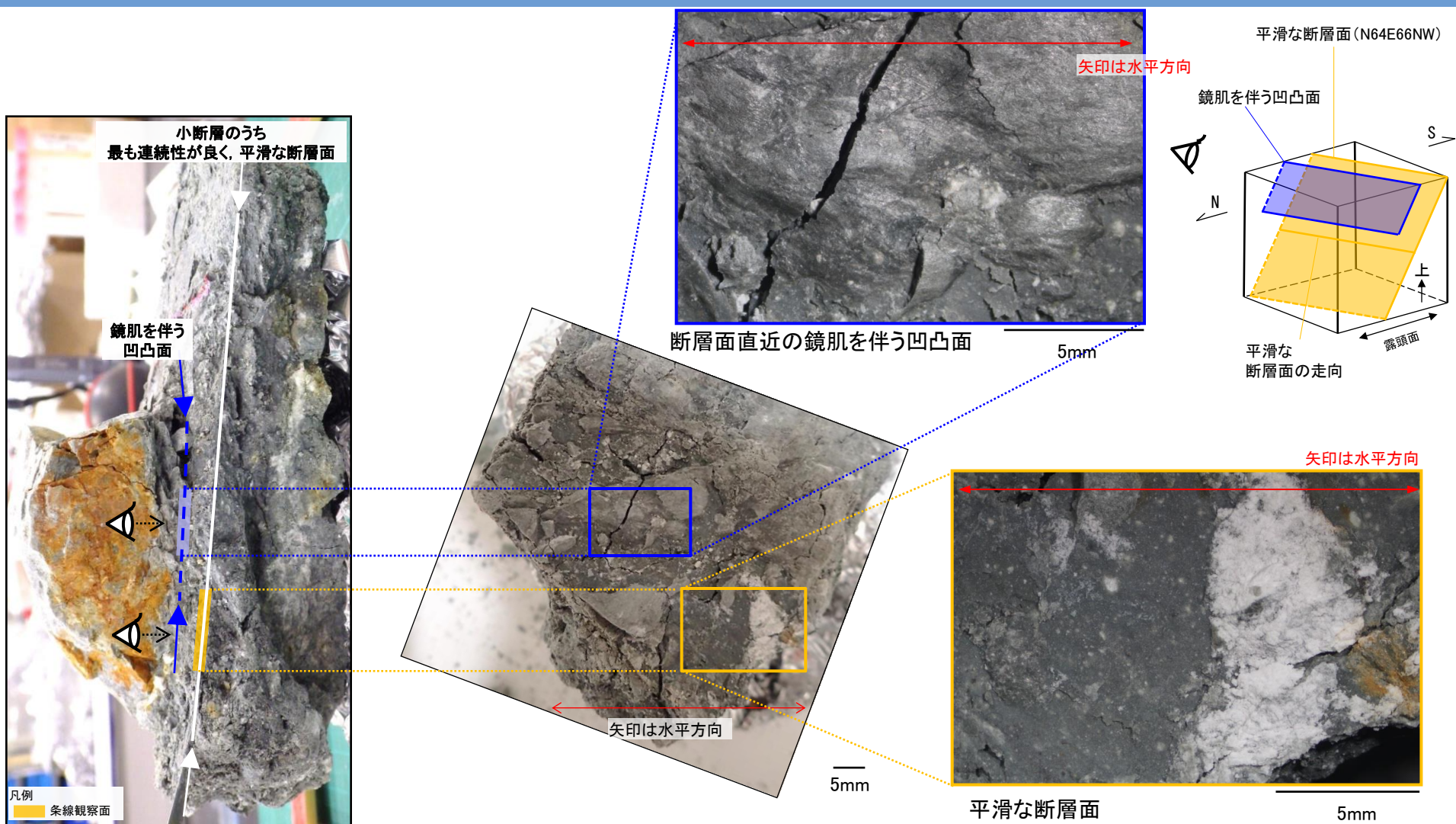
条線観察用ブロック(側面)



条線観察用ブロック(観察面)

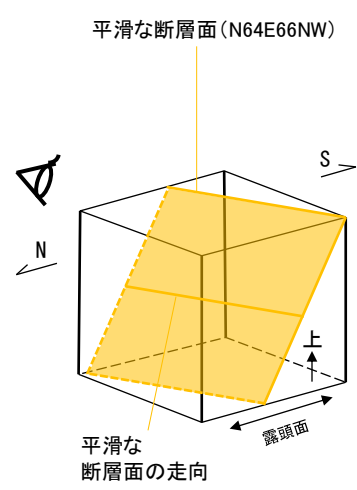
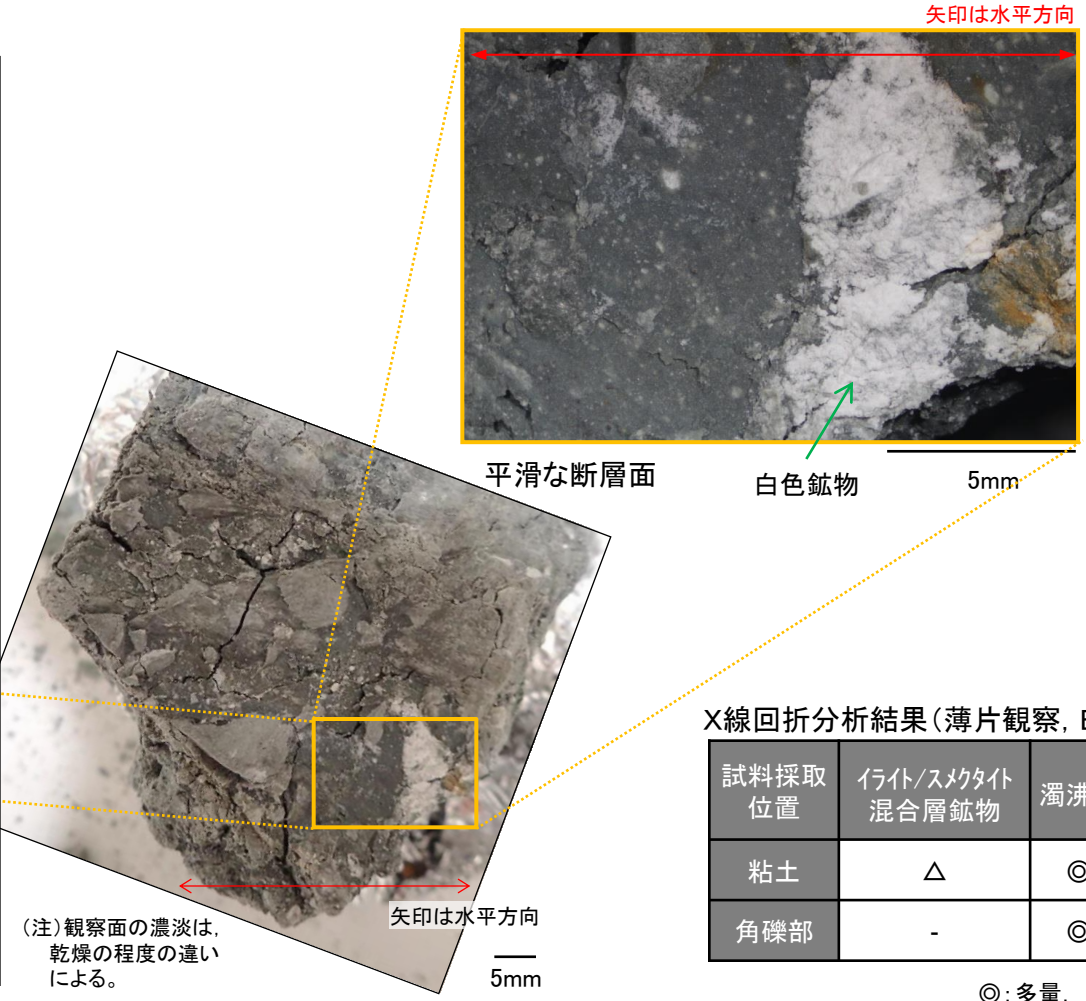
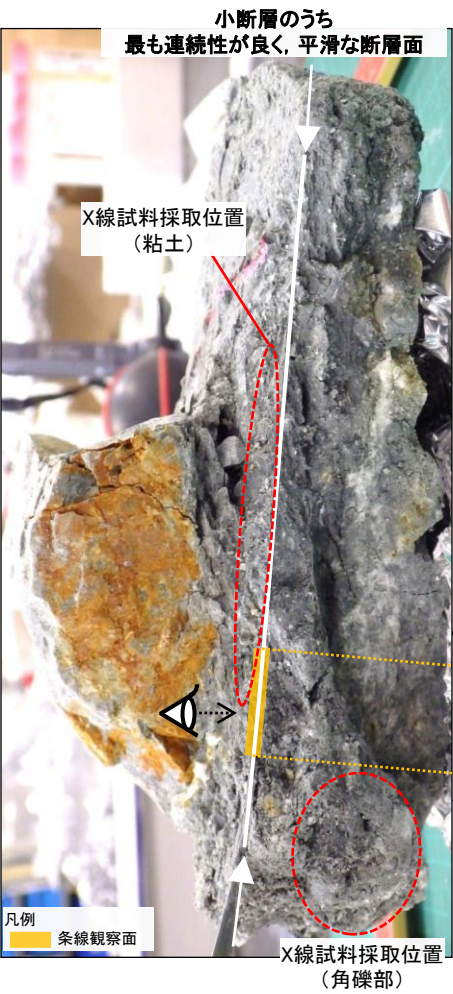
・露頭で確認された粘土を伴う断層面のうち、最も連続性が良く、平滑な断層面から試料を採取し、実体顕微鏡による条線観察を実施した。

# 1. 宍道断層の評価 (2) 地質調査(宍道断層の東側) 断層露頭⑥-2(熱水変質部(中央))(実体顕微鏡観察)



・観察面には、露頭で確認された平滑な断层面に加え、露頭あるいはブロックサンプル(CT画像)レベルでは認識できない鏡肌を伴う凹凸面が断层面直近に認められたことから、両者において実体顕微鏡による条線観察を実施した。

1. 宍道断層の評価 (2) 地質調査(宍道断層の東側)  
断層露頭⑥-2(熱水変質部(中央))(実体顕微鏡観察(平滑な断層面))



X線回折分析結果(薄片観察, EPMA分析等を反映した結果)

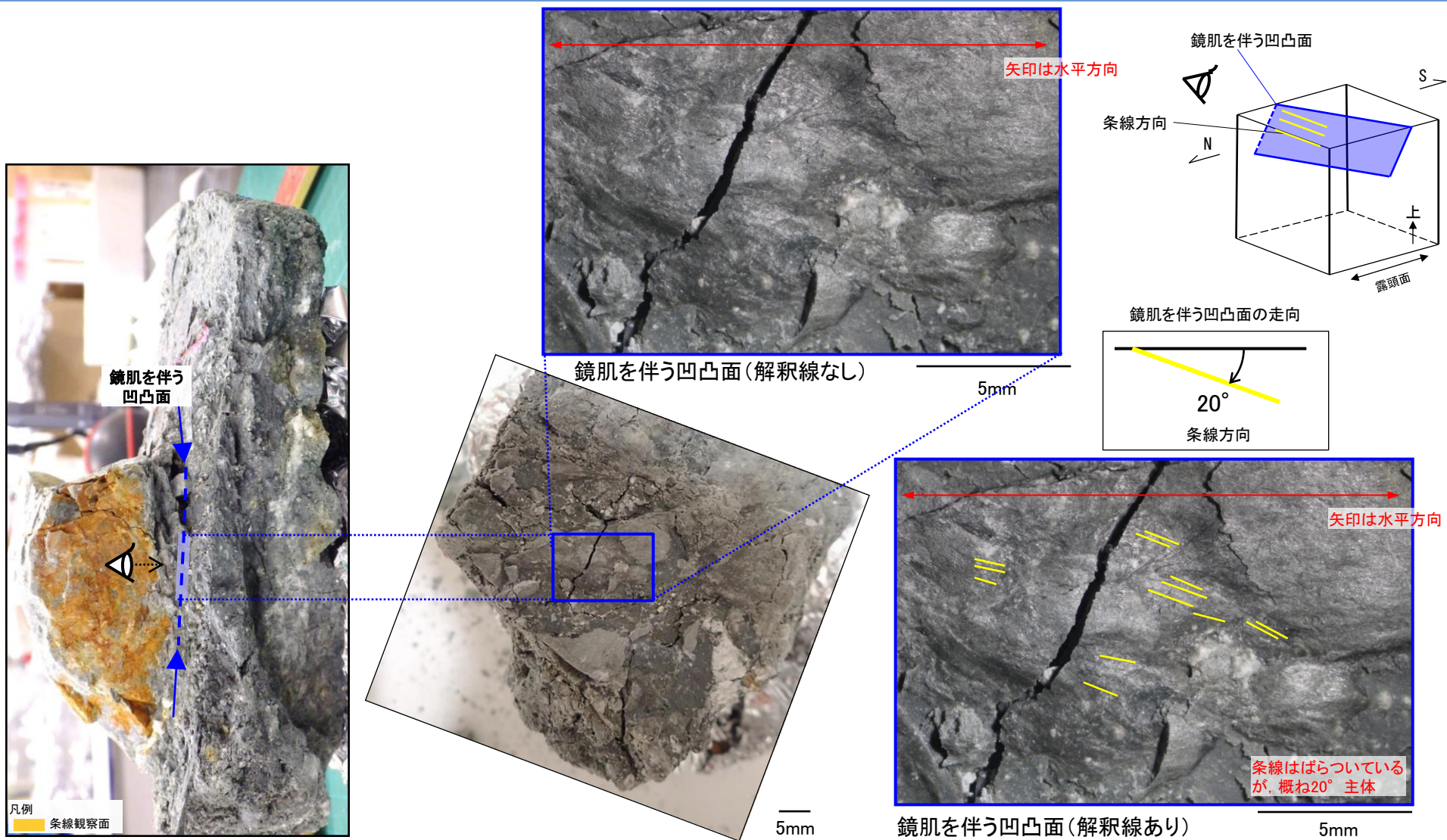
試料採取位置	イライト/スメクタイト混合層鈇物	濁沸石	緑泥石	石英	斜長石(曹長石)
粘土	△	◎	○	△	-
角礫部	-	◎	○	○	-

◎:多量, ○:中量, △:少量, -:微量

- 平滑な断層面の条線観察の結果、条線は認められない。また、白色鈇物が晶出しており、せん断による変位・変形も認められない。
- X線回折分析、薄片観察及びEPMA分析結果から、CT画像解析により低密度部として認められた粘土は、イライト/スメクタイト混合層鈇物、濁沸石、緑泥石、石英及び斜長石が分布することが確認された。
- EPMA分析の結果、斜長石は、Ab成分に富むことから曹長石化していると考えられる。

・以上のことから、露頭やCT画像解析で見られた連続性の良い平滑な断層面は、熱水に伴う粘土脈であることが明らかになった。

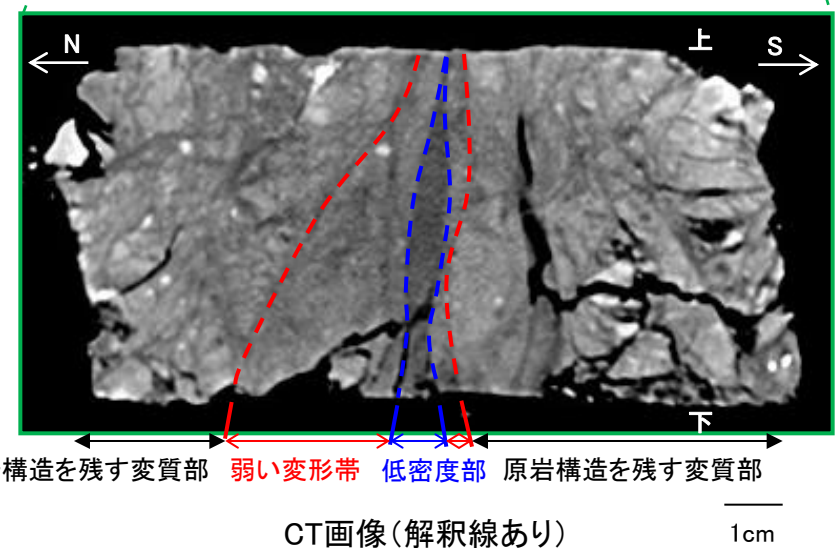
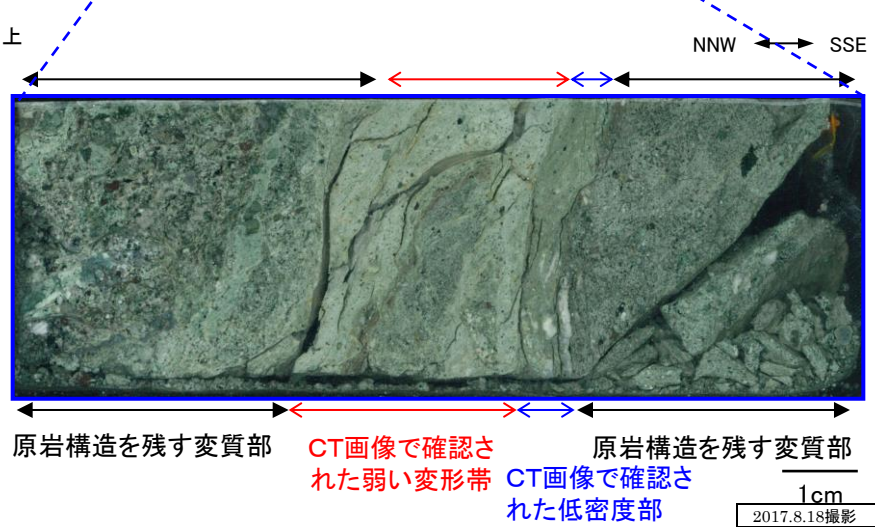
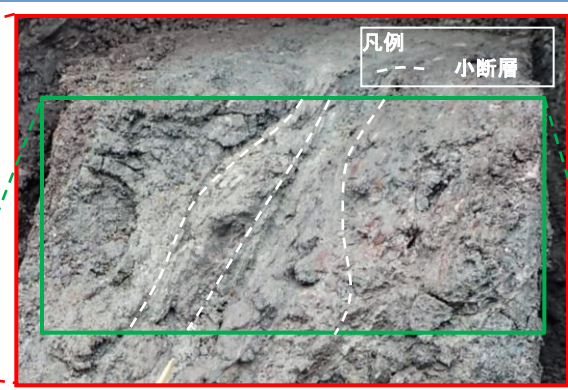
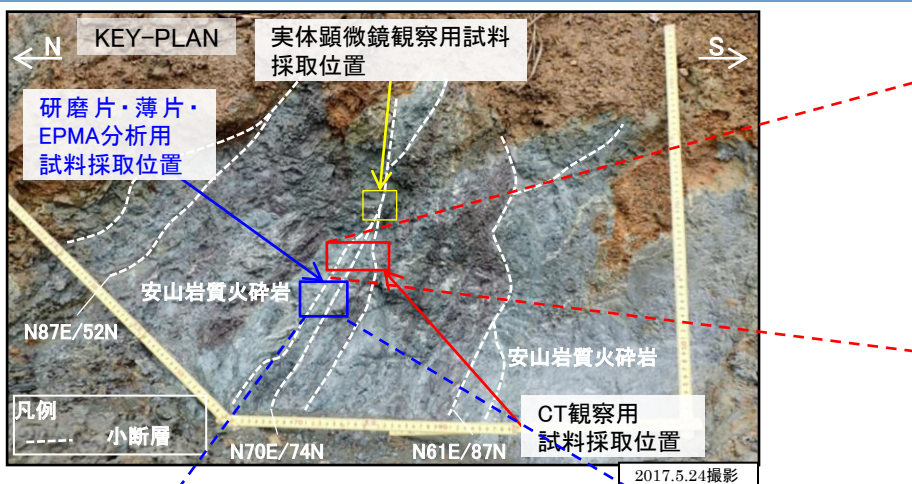
1. 宍道断層の評価 (2)地質調査(宍道断層の東側)  
熱水変質部(中央)の実体顕微鏡観察(断層面直近の鏡肌を伴う凹凸面)



・平滑な断層面直近の鏡肌を伴う凹凸面では、横ずれ優勢(走向方向から20° 右回転)の条線が認められる。  
・ただし、この鏡肌を伴う凹凸面は、連続性に乏しく、露頭あるいはブロックサンプル(CT画像)レベルでは、認識できないことから、平滑な断層面の方が活動時期が新しいと考えられる。

1. 突道断層の評価 (2) 地質調査(突道断層の東側)

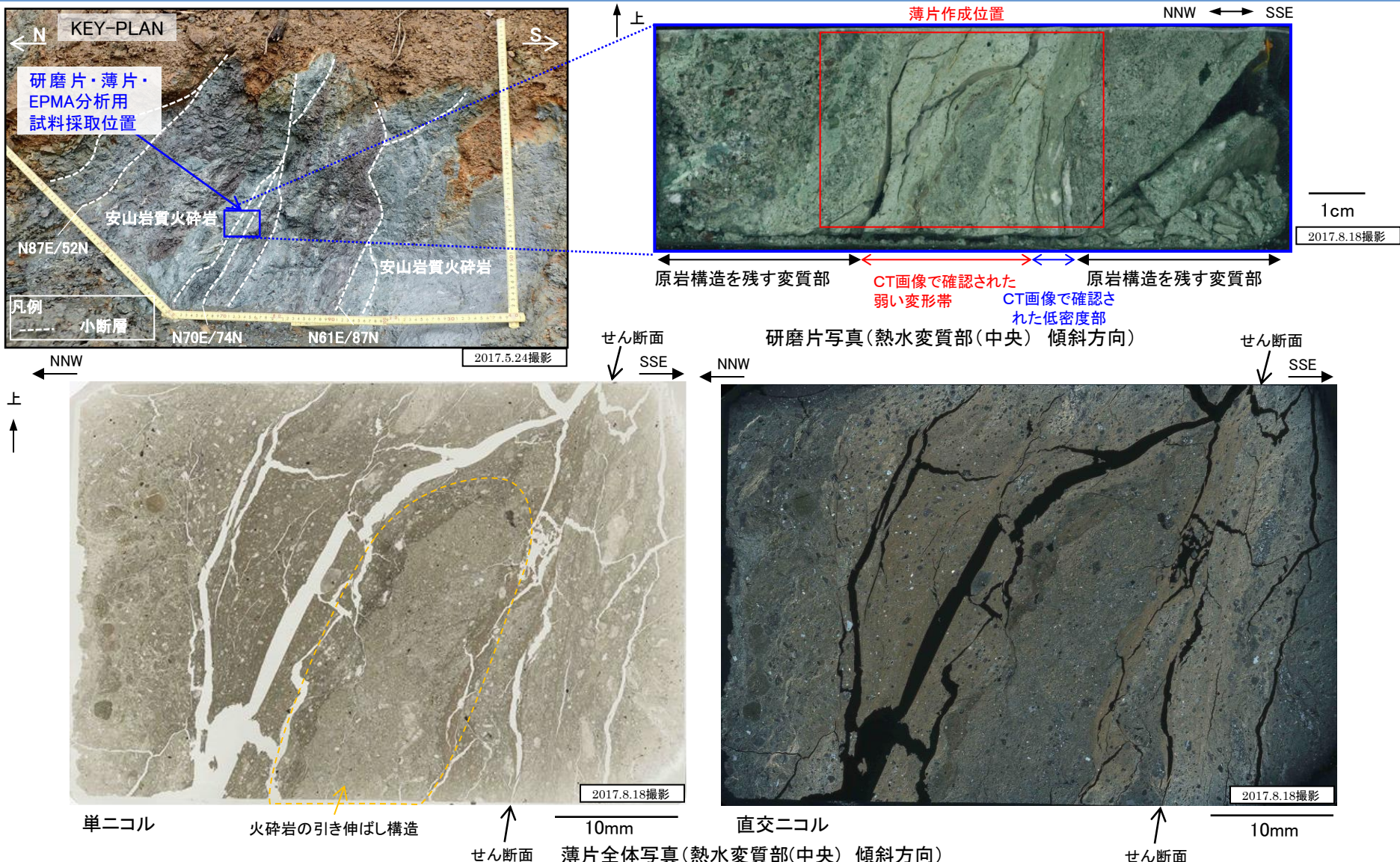
断層露頭⑥-2(熱水変質部(中央))(研磨片観察結果)



研磨片写真 熱水変質部(中央) 傾斜方向

・研磨片観察の結果, CT画像で確認された低密度部及び弱い変形帯に対応する箇所が認められる。

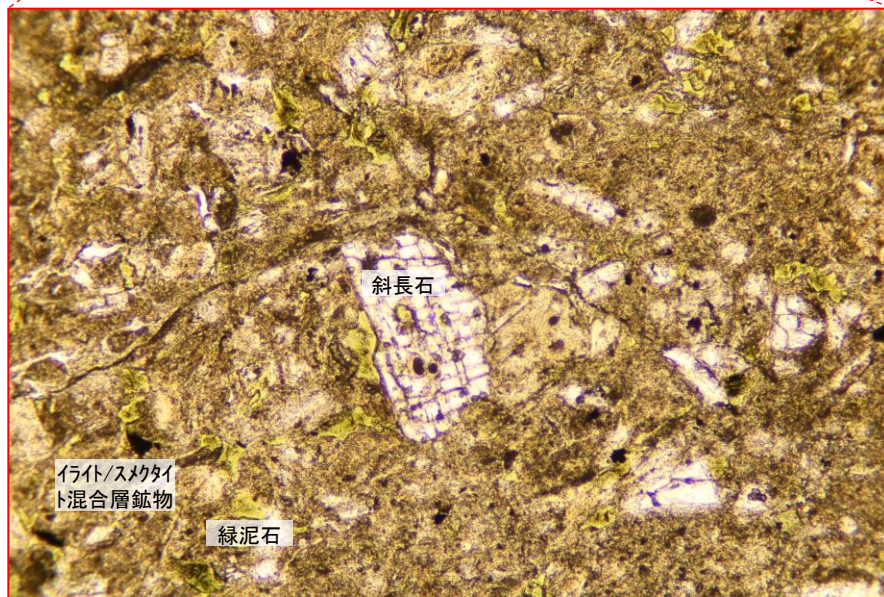
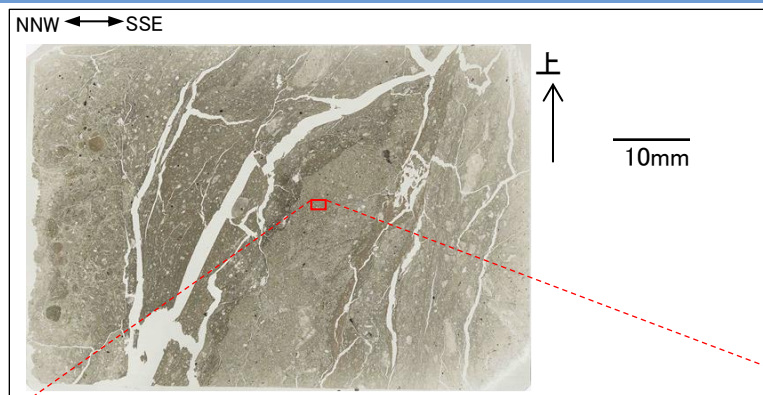
断層露頭⑥-2(熱水変質部(中央))(薄片観察結果)



・薄片観察の結果、直交ニコルで黄褐色～褐色の干渉色を示す粘土鉱物が分布する。粘土鉱物は弱い変形帯及びその周辺で多く認められ、せん断面は不明瞭である。せん断面沿いの変位センスは不明であるが、脈状に分布する火砕岩の引き伸ばし構造から、正断層センスが推定される。

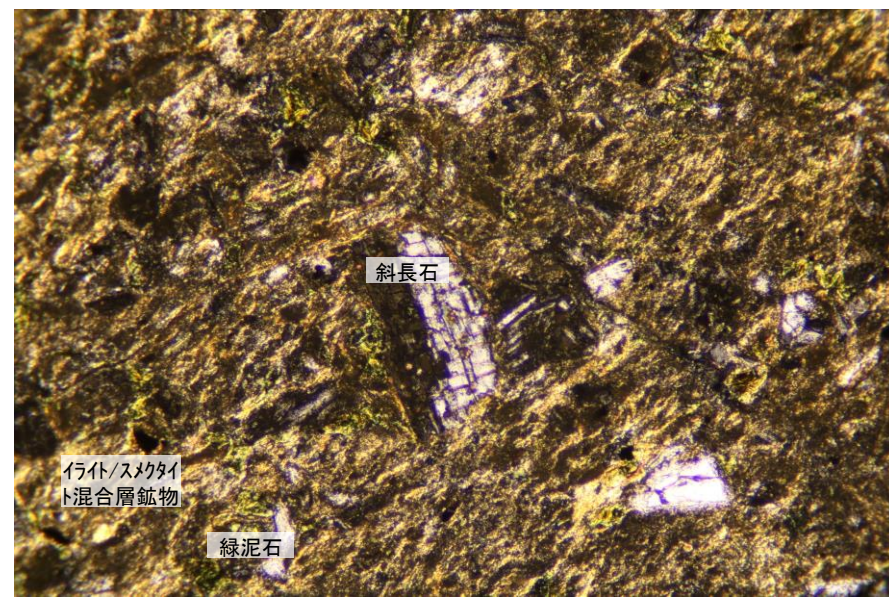
1. 突道断層の評価 (2) 地質調査(突道断層の東側)

断層露頭⑥-2(熱水変質部(中央))(薄片観察結果(詳細))



単ニコル 2017.8.18撮影

0.5mm

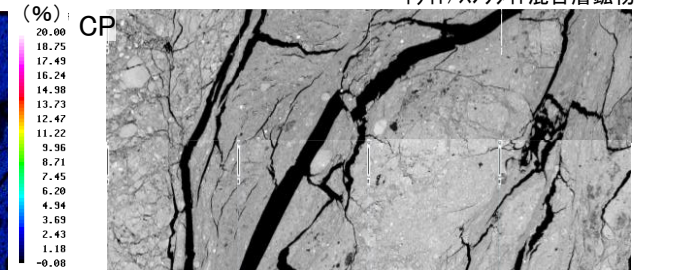
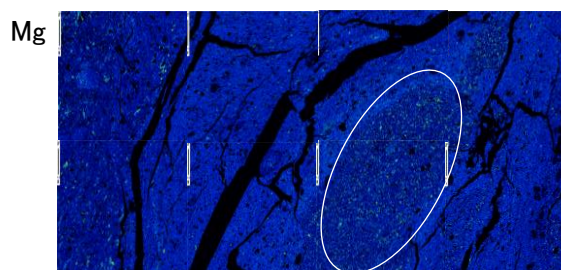
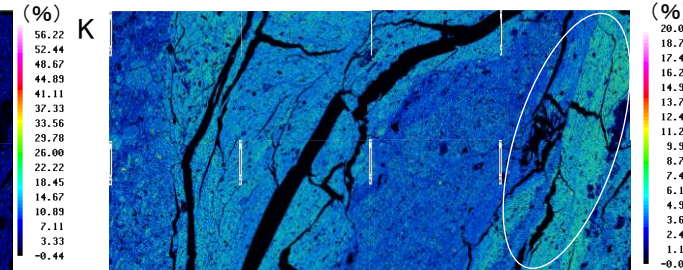
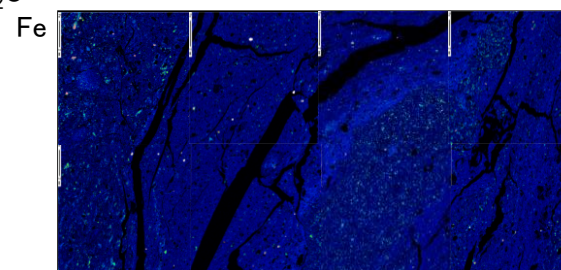
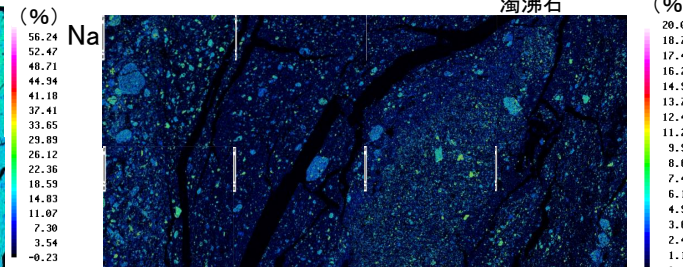
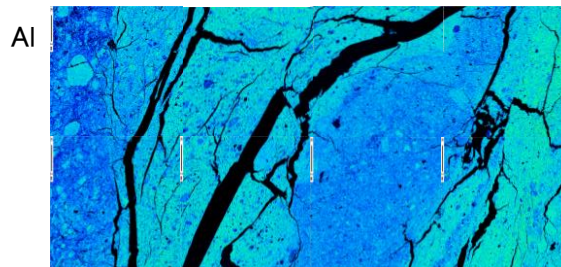
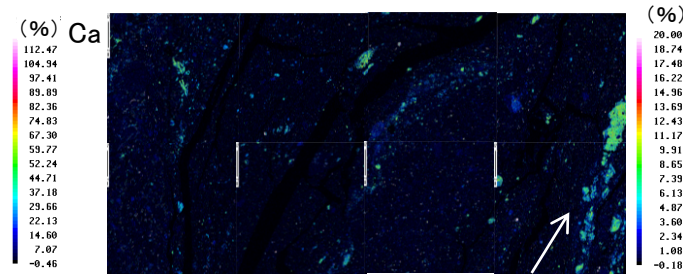
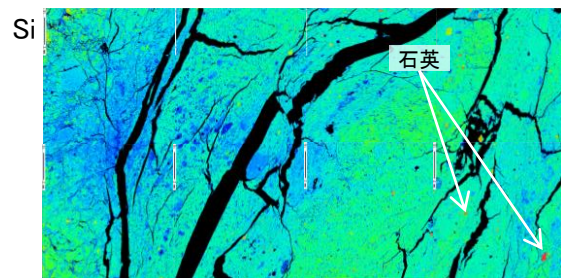
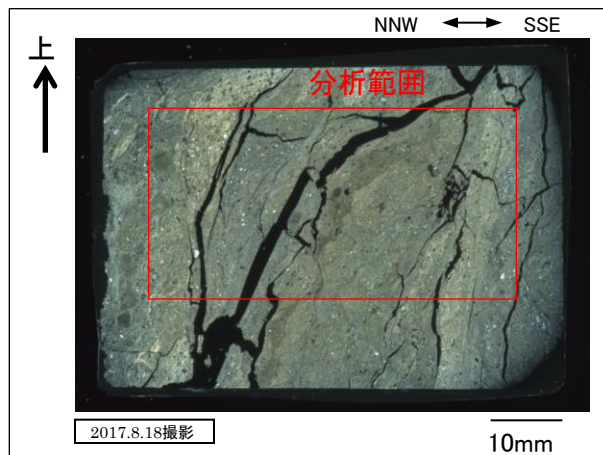


直交ニコル 2017.8.18撮影

0.5mm

- ・短冊状の形態を持ち、単ニコルで無色、直交ニコルで双晶を示す斜長石が複数認められる。斜長石の一部はざらついた様態(斜長石の一部が微細な緑泥石などに置き換わっている状態)を示すことから、熱水変質作用を受けていると考えられる。
- ・なお、普通輝石は認められない。
- ・その他に直交ニコルで黄褐色～褐色を示すイライト/スメクタイト混合層鉱物、緑色～黄色を示す緑泥石が認められる。

1. 突道断層の評価 (2)地質調査(突道断層の東側)  
断層露頭⑥-2(熱水変質部(中央))(EPMA分析結果 元素マッピング)

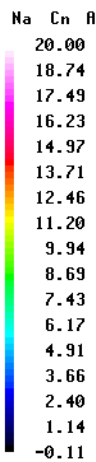
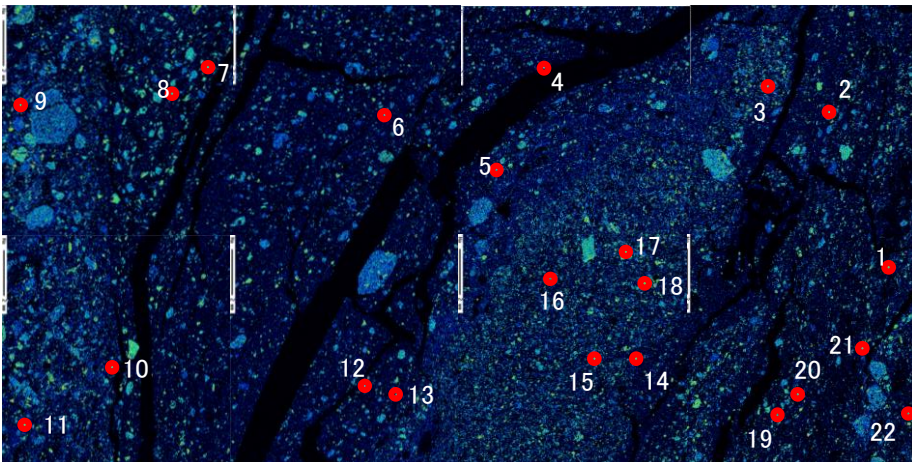


- ※斜長石(曹長石) :  $\text{NaAlSi}_3\text{O}_8$
- イライト :  $\text{K}_{1-1.5}\text{Al}_4(\text{Si}_{7-6.5}\text{Al}_{1-1.5}\text{O}_{20})(\text{OH})_4$
- スメクタイト :  $\text{Na}_{0.7}(\text{Al}_{3.3}\text{Mg}_{0.7})\text{Si}_8\text{O}_{20}(\text{OH})_4 \cdot n\text{H}_2\text{O}$
- 緑泥石 :  $(\text{Mg,Fe,Al})_6(\text{Al,Si})_4\text{O}_{10}(\text{OH})_8$
- 濁沸石 :  $\text{CaAl}_2\text{Si}_4\text{O}_{12} \cdot 4\text{H}_2\text{O}$
- 石英 :  $\text{SiO}_2$

- ・Naにおいて黄色～黄緑色で示される範囲には、斜長石が分布すると考えられる。
- ・Kにおいて水色～黄緑色で示される範囲には、イライト/スメクタイト混合層鉱物が分布すると考えられる。
- ・Mgにおいて黄色、Siにおいて緑色で示される範囲には、緑泥石が分布すると考えられる。
- ・Caにおいて黄色で示される範囲には、濁沸石が分布すると考えられる。
- ・Siにおいて赤色で示される範囲には、石英が分布すると考えられる。

注: 元素マッピングは色合い調整により含有比の高低を明瞭にしたため、目盛に100%以上や負の値が表示されることがある。

2017.8.18撮影



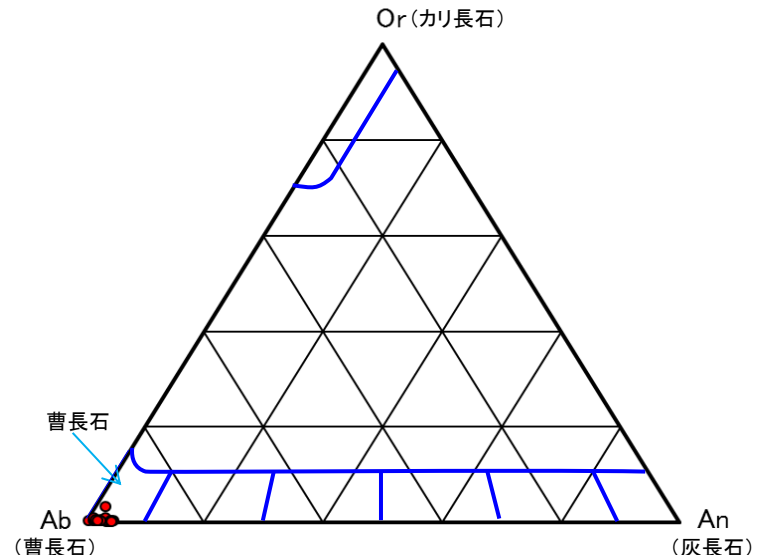
EPMA分析 元素マッピング結果(Na) 2017.8.18撮影

注: 元素マッピングは色合い調整により含有比の高低を明瞭にしたため、目盛に負の値が表示される。

EPMA分析による長石の含有率(mol %)

測定点	An	Ab	Or	測定点	An	Ab	Or
1	2.38	96.99	0.62	12	3.53	96.15	0.32
2	4.01	95.76	0.23	13	2.49	97.08	0.43
3	0.44	99.19	0.37	14	3.54	96.19	0.26
4	1.54	98.08	0.38	15	3.32	96.40	0.28
5	1.40	98.28	0.33	16	2.91	96.06	1.03
6	1.67	97.96	0.38	17	1.04	98.06	0.90
7	1.92	94.86	3.22	18	4.20	95.41	0.38
8	2.15	97.53	0.33	19	2.53	97.16	0.31
9	4.66	95.04	0.30	20	4.44	95.29	0.26
10	2.76	96.82	0.43	21	1.62	97.86	0.52
11	4.26	95.42	0.32	22	2.01	97.59	0.40

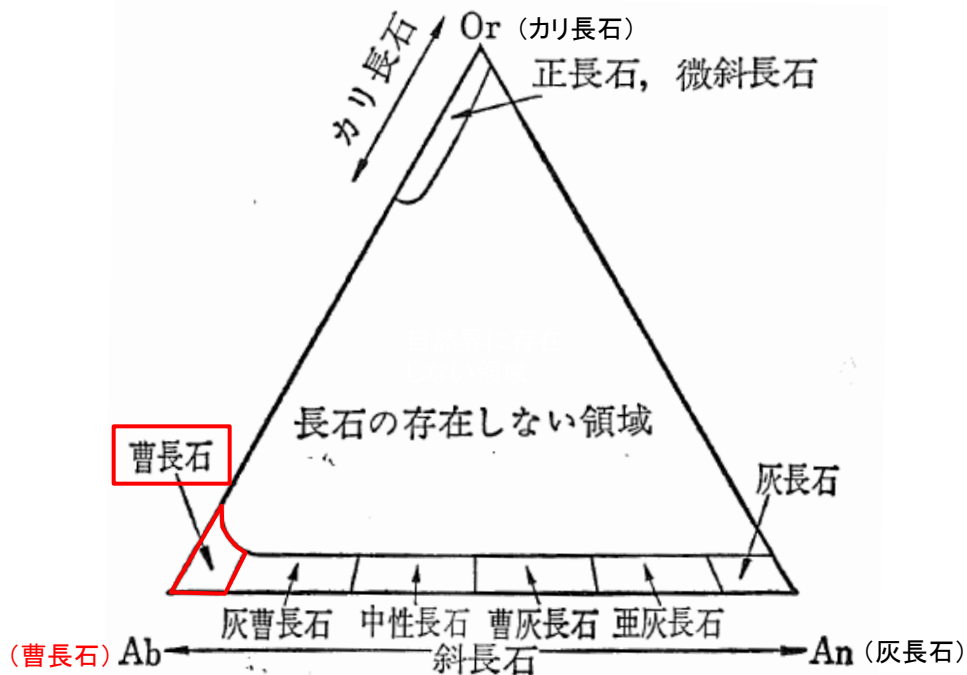
※ Ab: 曹長石 (NaAlSi<sub>3</sub>O<sub>8</sub>), Or: カリ長石 (KAlSi<sub>3</sub>O<sub>8</sub>), An: 灰長石 (CaAl<sub>2</sub>Si<sub>2</sub>O<sub>8</sub>)  
 ※ 3成分の合計は四捨五入の関係により100%とならない場合がある。



EPMA分析による長石の含有率(mol %)

・薄片観察結果及びEPMA分析結果を踏まえ、斜長石の化学組成に基づく三角ダイヤグラムを作成した。  
 ・Ab成分に富むことから、斜長石は曹長石化していると考えられる。

(参考)断層露頭⑥-2(熱水変質部)(文献調査結果)



長石の化学組成と分類

黒田・諏訪(1983)より引用・加筆

- ・黒田・諏訪(1983)<sup>(33)</sup>によると、長石はカリ長石(Or)、曹長石(アルバイト, Ab)、灰長石(An)の3成分が適当に混り合うもので、3成分の含有比率で上図のように細区分されるとされている。
- ・また、Ab-Anの領域は斜長石、Ab-Orの領域はアルカリ長石であり、曹長石は、斜長石の中でも特にアルバイト成分に富むものであるとされている。

1. 央道断層の評価 (2) 地質調査(央道断層の東側)  
断層露頭⑥-2(熱水変質部(中央))(濁沸石の生成温度に係る文献調査)

沸石の生成温度一覧表

	沸石類							
	方沸石 $\text{NaAlSi}_2\text{O}_6 \cdot \text{H}_2\text{O}$	濁沸石(ローモンタイト) $\text{CaAl}_2\text{Si}_4\text{O}_{12} \cdot 4\text{H}_2\text{O}$	斜プチロル沸石 $(\text{Na}, \text{K}, \text{Ca})_{2-3} \text{Al}_3(\text{Al}, \text{Si})_2\text{Si}_{13}\text{O}_{36} \cdot 12\text{H}_2\text{O}$	束沸石 $(\text{Ca}, \text{Na}_2, \text{K}_2)\text{Al}_2\text{Si}_7\text{O}_{18} \cdot 7\text{H}_2\text{O}$	菱沸石 $\text{CaAl}_2\text{Si}_4\text{O}_{12} \cdot 6\text{H}_2\text{O}$	モルデン沸石 $(\text{Na}_2, \text{K}_2, \text{Ca})\text{Al}_2\text{Si}_{10}\text{O}_{24} \cdot 7\text{H}_2\text{O}$	輝沸石 $(\text{Ca}, \text{Na}_2)\text{Al}_2\text{Si}_7\text{O}_{18} \cdot 6\text{H}_2\text{O}$	ワイラケ沸石 $\text{CaAl}_2\text{Si}_4\text{O}_{12} \cdot 2\text{H}_2\text{O}$
井沢(1996) <sup>(39)</sup>	—	140°C-210°C	140°C以下	140°C以下	—	80°C-140°C	—	210°C以上
歌田(1997) <sup>(40)</sup>	84°C-123°C	100°C-150°C	44°C-84°C	—	—	—	—	—
吉村(2001) <sup>(41)</sup>	120°C-220°C	200°C-260°C	—	70°C以下	70°C以下	120°C以下	100°C-200°C	250°C以上
吉村(2003) <sup>(42)</sup>	70°C以下	100°C-170°C	100°C以下	—	—	—	100°C以下	—
星ほか(1992) <sup>(43)</sup>	80°C-110°C	138°C-150°C	—	—	—	—	—	—
IJIMA(1978) <sup>(44)</sup>	84°C-124°C	120°C以上	124°C以下	—	—	124°C以下	84°C-124°C	—

・濁沸石の生成温度については文献によってばらつきがあるが、最低でも100°C程度であることから、小断層を含む周辺の網目状に分布する白色鉱物は、100°C以上の熱水変質作用等により生成されたと考えられる。

# 1. 央道断層の評価 (2) 地質調査(央道断層の東側) 断層露頭⑥-2(熱水変質部(中央))(小断層の活動性評価)

## 山陰地域における応力場の変遷(新第三紀中新世~第四紀)

松江地域の地質総括表

地質時代	層序		主要岩相	火成活動	堆積環境	構造運動	放射年代及び化石等・群集
	鳥根半島	央道低地帯 中国山地北縁					
完新世	三角州、扇状地、泥濘沼、砂州及び海岸砂丘堆積物及び中海層(<50m)		砂、泥及び礫(泥炭を挟む)		内湾-潟湖と海岸平野		汽水-海生動物化石
第四紀	低位段丘堆積物		礫、砂及び泥				
	差海層(<50m)	中位II段丘堆積物 古扇状地堆積物	泥、砂及び礫(泥炭及び火山灰を挟む)	後期更新世以降に火成活動は認められない。			
		中位I段丘堆積物	泥、礫及び砂				
		大根島玄武岩	アルカリ玄武岩溶岩及びスコリア		内陸-扇状地 海岸平野		
第三紀		高位III段丘堆積物	礫、砂及び泥		湖と海岸平野		
		高位II段丘堆積物	礫、砂及び泥		湖と海岸平野		
		高位I段丘堆積物	礫、砂及び泥		湖と海岸平野		
		和久羅山デイスイト質溶岩			内陸	1Ma(K-Ar)	
前期更新世		野呂玄武岩	アルカリ玄武岩溶岩				
鮮新世							
後期中新世		和久羅山安山岩	角閃石含有安山岩溶岩		海岸平野		5-6Ma(K-Ar)
中新世	松江層 <1100m		砂岩、シルト岩、アルカリ玄武岩-粗面安山岩溶岩・火砕岩など		海岸平野		海-汽水生動物化石 植物化石
	古江層(450-900m)	布志名層(500m)	泥岩及びシルト岩		内湾-潟湖		11-12Ma(K-Ar) N10-11*
	牛切層(<300m)	大森層(<500m)	流紋岩凝灰岩凝灰質砂岩泥質岩互層		浅海		N9*
		久利層(200-800m)	泥質岩、流紋岩溶岩、流紋岩火砕岩など		浅海		N8-9* 15Ma(FT,K-Ar)
	成相寺層(>1200m)	川合層(0-400m)	デイスイト火砕岩、安山岩溶岩、火山岩層堆積物、砂岩、礫岩など		半深海		
	古浦層(>800m)(伏在)	波多層(<800m)	砂岩、礫岩、泥質岩、安山岩溶岩・火砕岩及び流紋岩火砕岩		浅海		20Ma(FT) 23-26Ma(FT) 台島層植物群 淡水-汽水生貝化石
古第三紀					島根半島 扇状地		
		下久野花崗岩	細粒黒雲母花崗岩		中国山地北縁		36Ma(K-Ar) 36-53Ma(K-Ar)**
		布部花崗岩 糖花崗岩	粗-中粒黒雲母花崗岩				54Ma(K-Ar) 43-60Ma(K-Ar)**
晩新世		大東花崗閃緑岩	中-粗粒黒雲母角閃石花崗閃緑岩	火成活動			44-63Ma(K-Ar)**
		八雲火山岩類(>800m)	流紋岩-デイスイト火砕岩(主として溶結)及び流紋岩溶岩		内陸		
白堊紀後期		上倉東変成岩 鳥屋郷変成岩	スカルン及び角閃石ホルンフェルス(砂岩、泥岩及び礫岩起源)		浅海		

**【露頭観察結果, 室内試験結果, 文献調査結果】**

- 露頭観察の結果, 網目状の白色脈で特徴付けられる熱水変質が全体的に認められ, その中にゆるく湾曲し連続性に乏しい性状を示す小断層が確認される。
- 小断層付近のCT画像解析の結果, 明瞭なせん断面及び複合面構造は認められない。
- 実体顕微鏡観察及びX線回折分析の結果, 露頭で確認された小断層に対応する平滑な断層面が認められる。  
平滑な断層面には条線は認められず, また断層面沿いに濁沸石が晶出しており, せん断による変位・変形も認められない。
- 文献調査の結果, 敷地周辺では後期更新世以降に火成活動は認められない。



**【まとめ】**

- 平滑な断層面には条線は認められず, また断層面沿いに, 後期更新世より古い時代に晶出したものと考えられる濁沸石が晶出しており, せん断による変位・変形も認められない。
- 以上のことから, 熱水変質部に認められる小断層に, 後期更新世以降の活動性はないと考えられる。

\*: Blow(1969)の浮遊性有孔虫化石帯 K-Ar: K-Ar年代 FT: フィッシュトラック年代 \*\*: 対比可能な周辺地域の貫入岩体の年代を合む。

1. 宍道断層の評価 (2) 地質調査(宍道断層の東側)  
断層露頭⑥-2(熱水変質部(北側))(試料採取位置)



ブロック試料 解釈線なし



ブロック試料 解釈線あり



ブロック試料 観察面(小断層下盤)



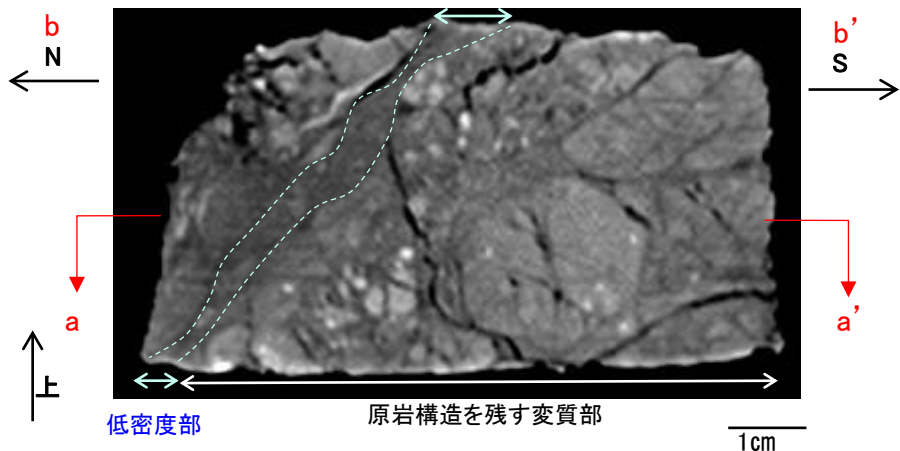
ブロック試料 上面

・露頭で確認されたゆるく湾曲し連続性に乏しい性状を示す小断層から試料を採取し、CT画像解析及び実体顕微鏡による条線観察を実施した。

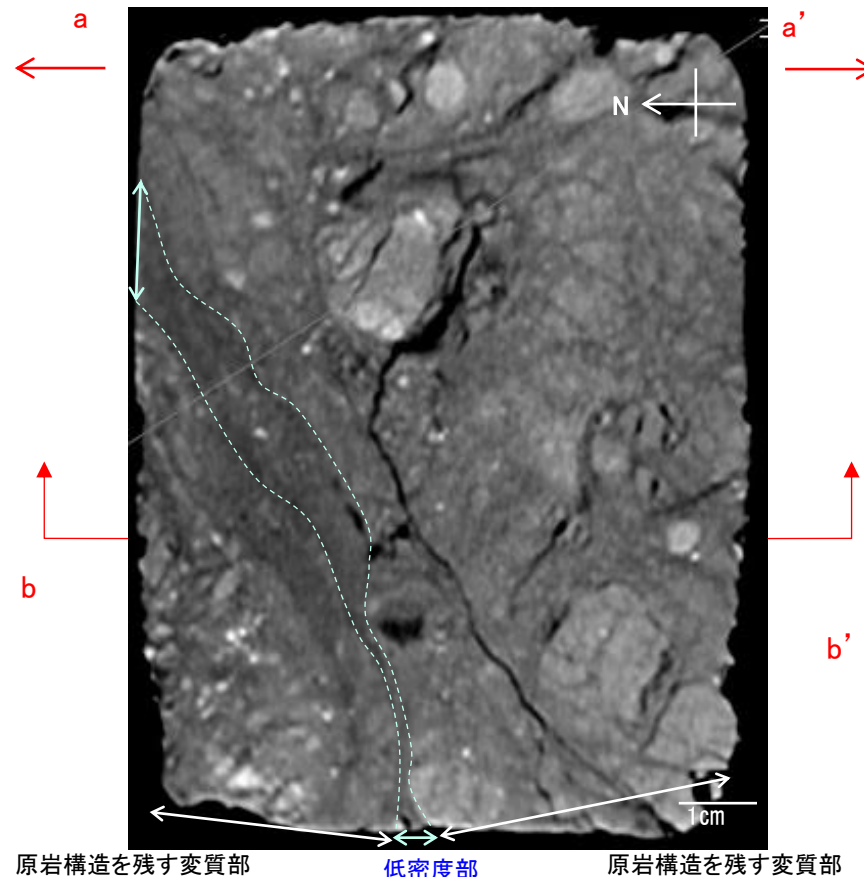
1. 宍道断層の評価 (2) 地質調査(宍道断層の東側)  
断層露頭⑥-2(熱水変質部(北側))(CT画像解析)



ブロック試料 上面



CT画像(b-b', ブロック中央部の鉛直面を撮影)



CT画像(a-a', ブロック中央部の水平面を撮影)

- ・CT画像解析の結果、幅2cm程度の膨縮する低密度部が認められ、その外側に原岩部が認められる。
- ・ただし、この低密度部には、CT画像解析の結果、明瞭なせん断面及び複合面構造は認められないことから、熱水に伴う粘土脈と考えられる。

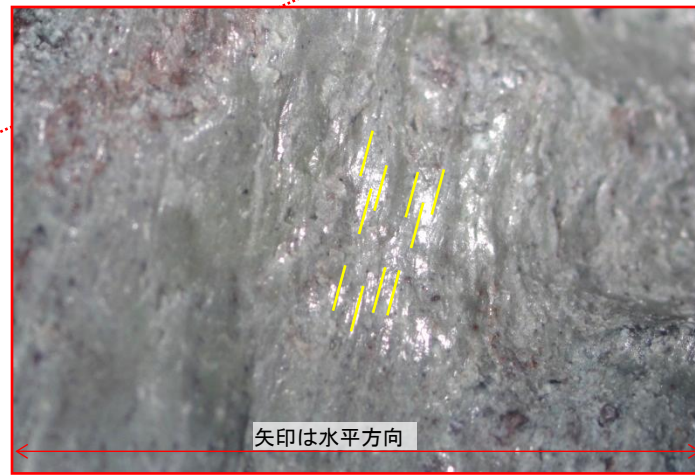
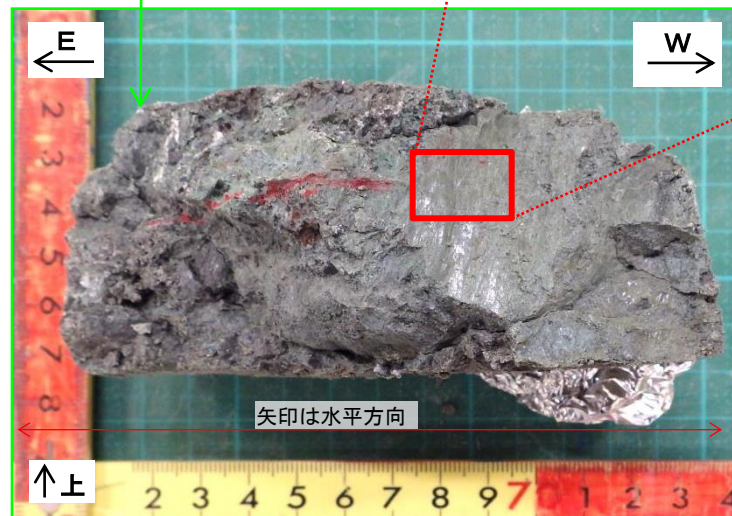
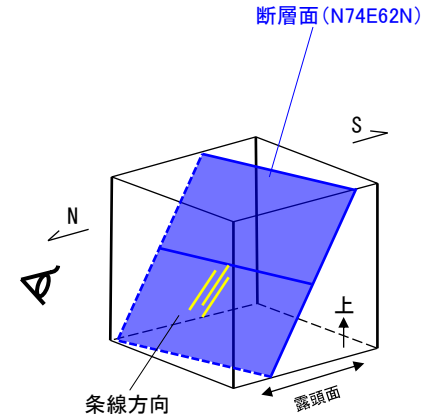
・熱水変質部(北側)について、明瞭なせん断面及び複合面構造は認められず、熱水変質部(中央)と同様の結果が得られた。

1. 中央断層の評価 (2) 地質調査(中央断層の東側)  
断層露頭⑥-2(熱水変質部(北側))(実体顕微鏡観察)



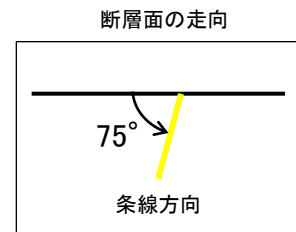
断層面下盤(解釈線なし)

5mm



断層面下盤(解釈線あり)

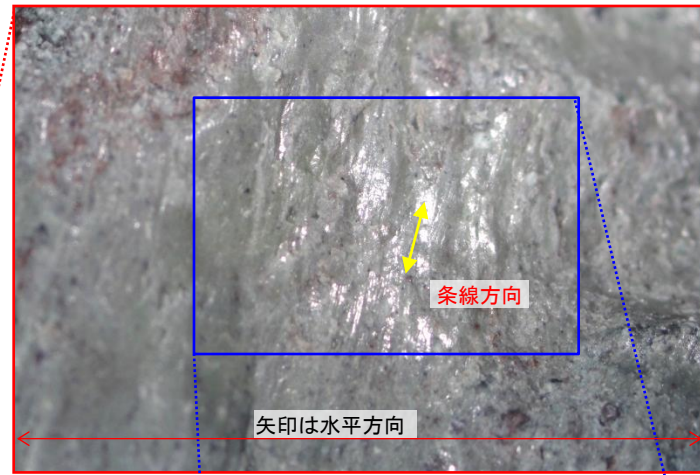
5mm



ブロック試料 観察面(断層面下盤)

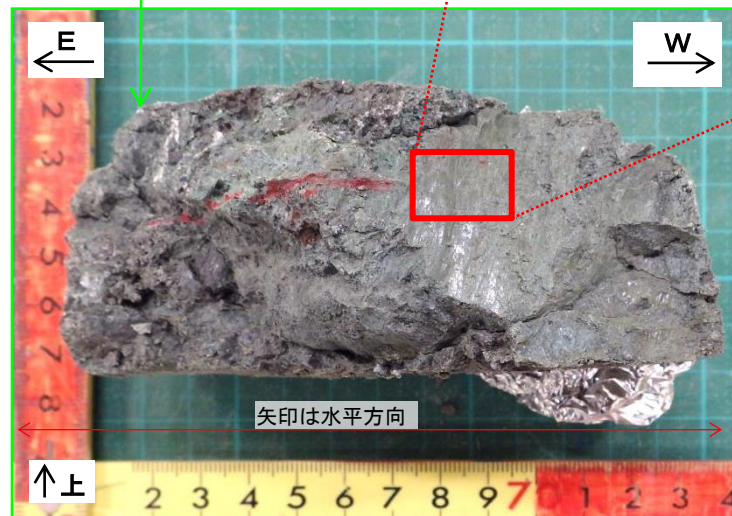
・実体顕微鏡観察の結果, 縦ずれ優勢(走向方向から75° 左回転, T:N14E P:59)の条線が認められる。

1. 中央断層の評価 (2) 地質調査(中央断層の東側)  
断層露頭⑥-2(熱水変質部(北側))(実体顕微鏡観察)

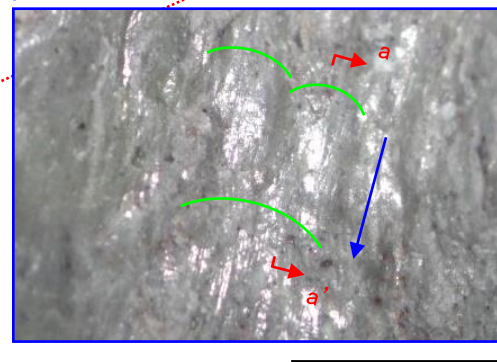


断層面下盤(解釈線あり)

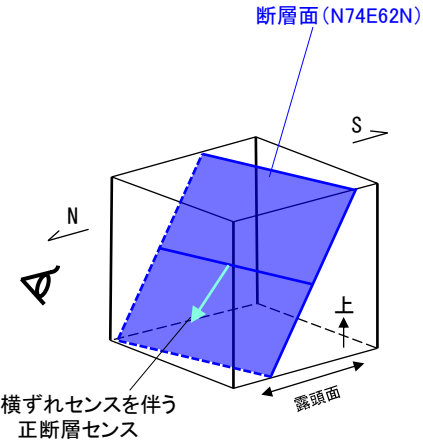
5mm



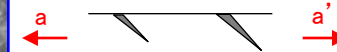
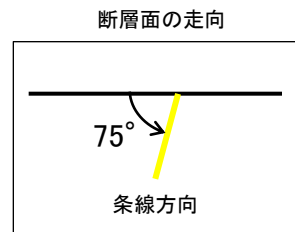
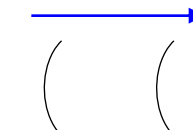
ブロック試料 観察面(断層面下盤)



5mm



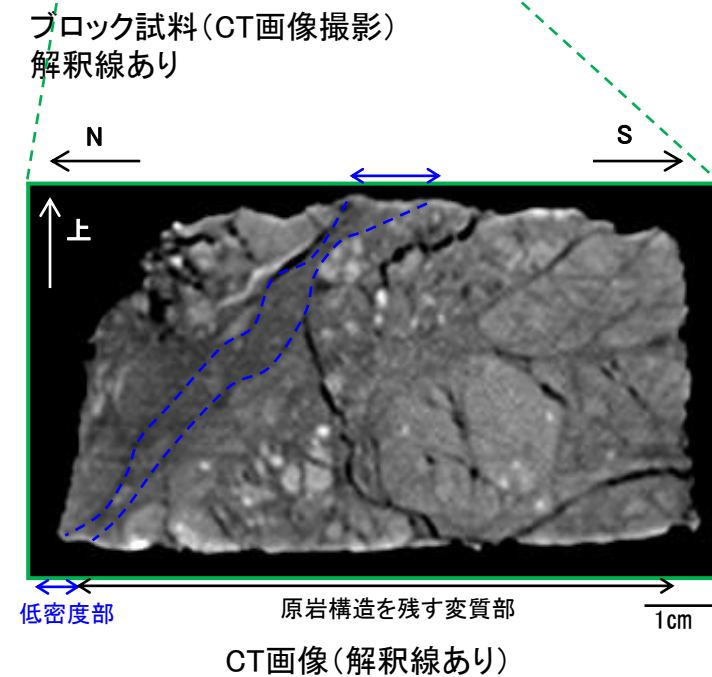
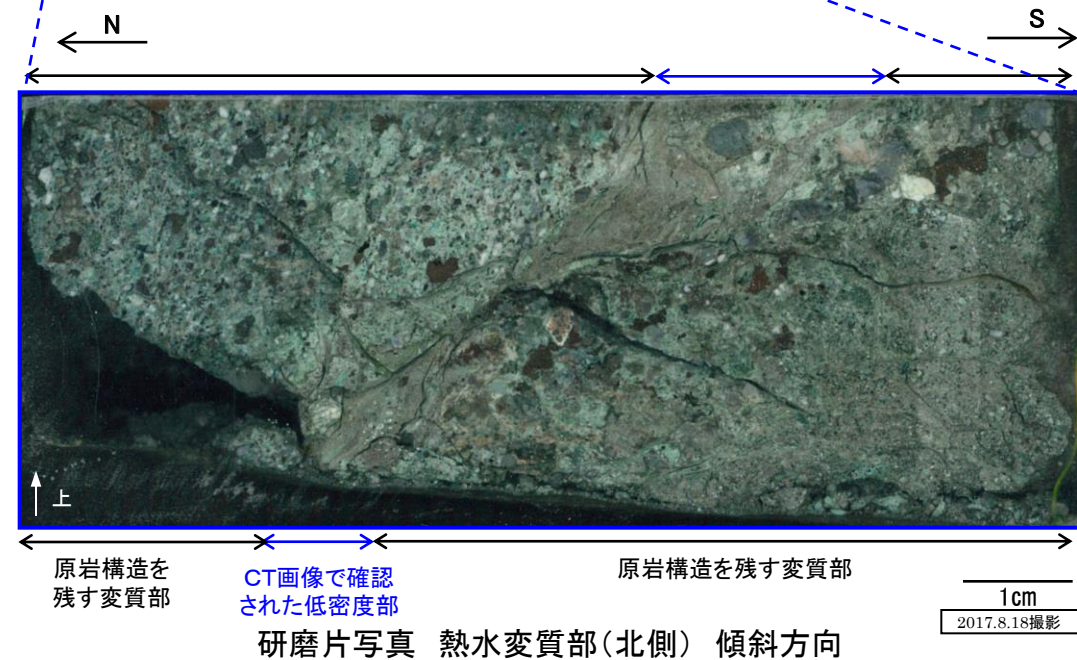
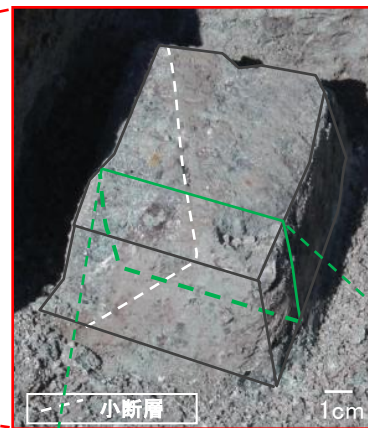
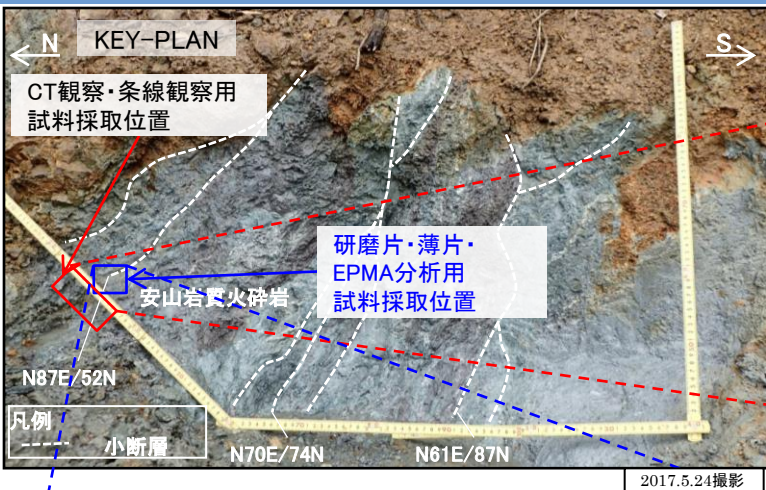
右横ずれセンスを伴う正断層センス



擦痕区分: Crescentic markings ; Tension gashes (Doblas, 1998)

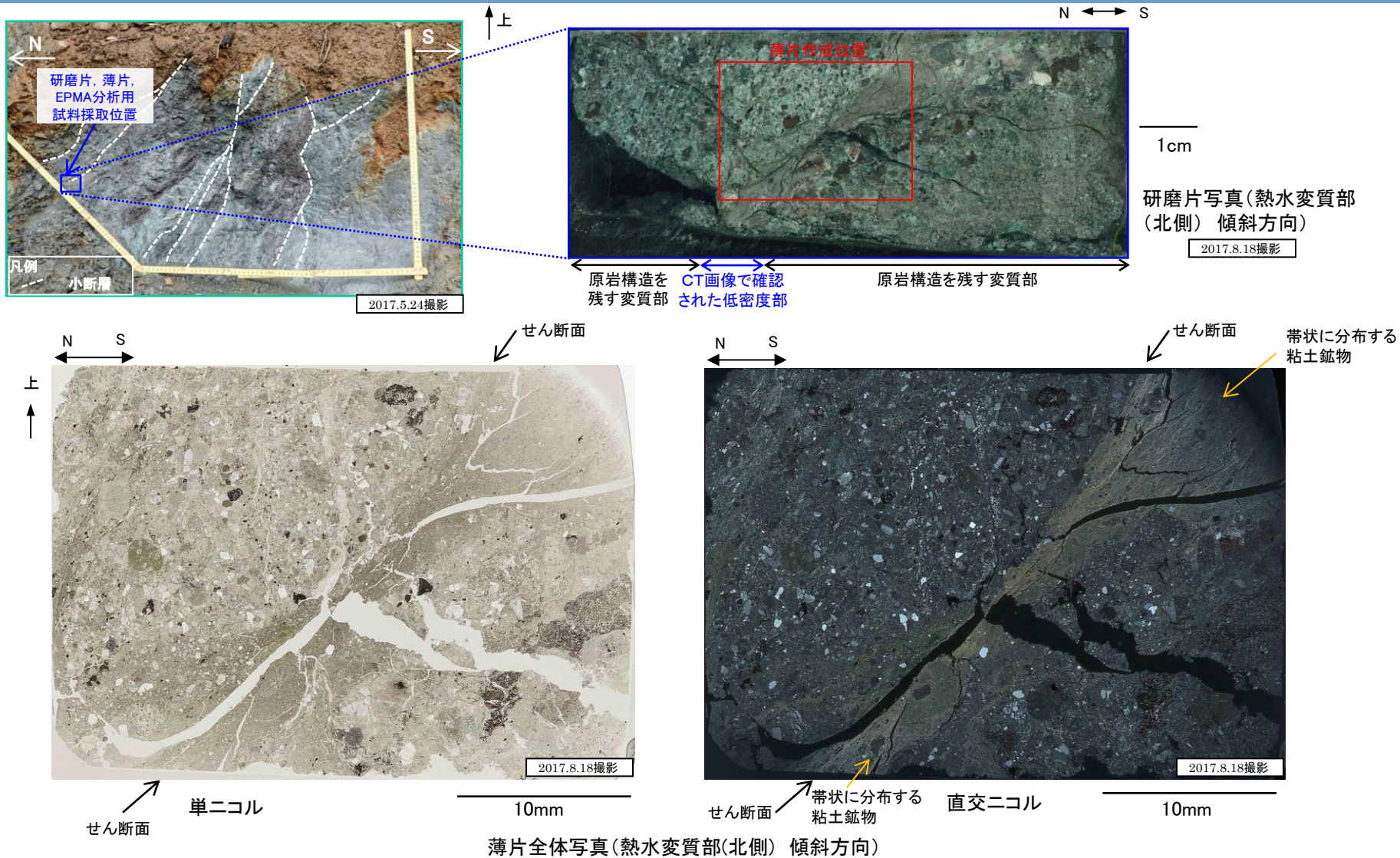
・擦痕より、熱水変質部に認められる断層面のせん断センスは右横ずれセンスを伴う正断層センスである。

1. 突道断層の評価 (2) 地質調査(突道断層の東側)  
断層露頭⑥-2(熱水変質部(北側))(研磨片観察結果)



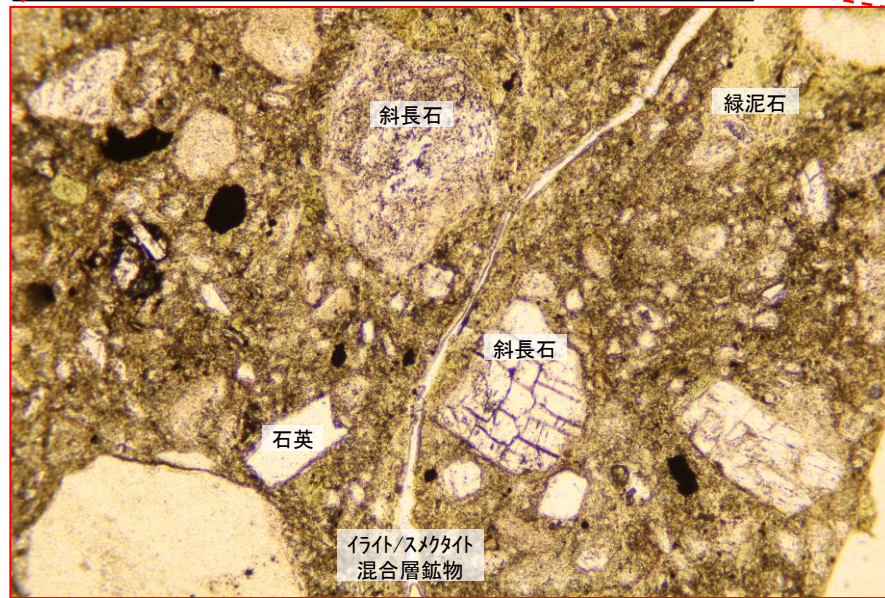
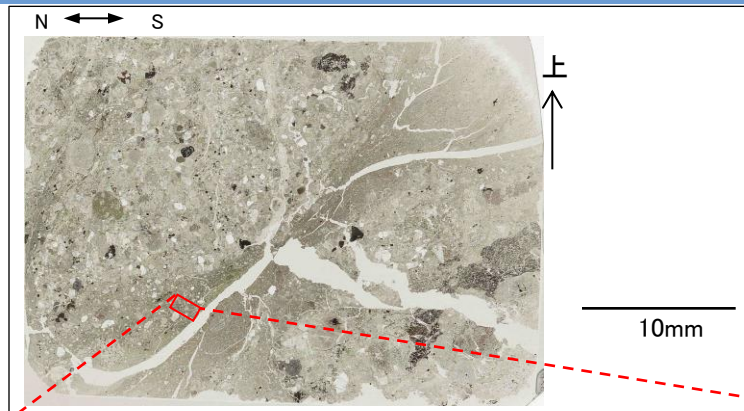
・研磨片観察の結果, CT画像で確認された低密度部に対応する箇所が認められる。

1. 突道断層の評価 (2) 地質調査(突道断層の東側)  
断層露頭⑥-2(熱水変質部(北側))(薄片観察結果)



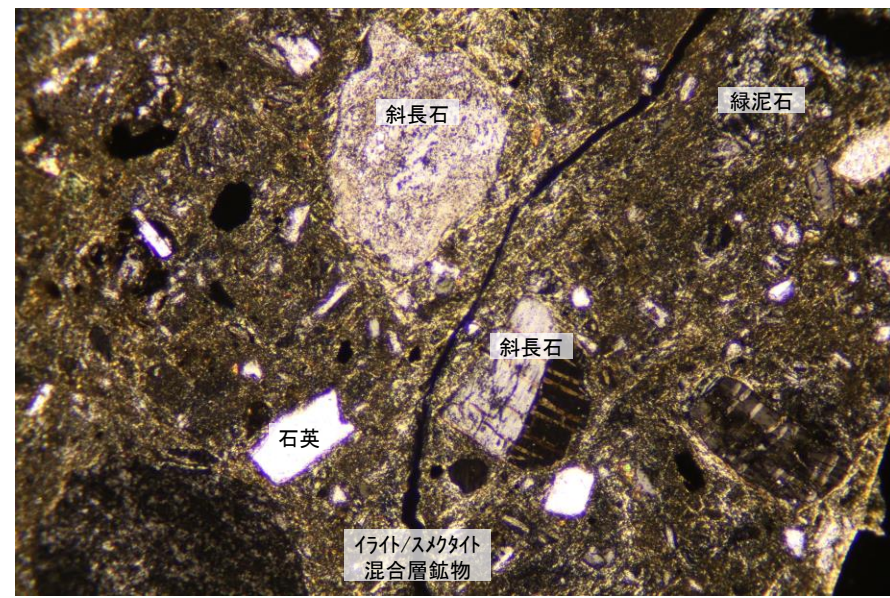
・薄片観察の結果、直交ニ科尔で黄褐色～褐色の干渉色を示す粘土鉱物が分布する。粘土鉱物は、薄片中央部のせん断面に沿って幅2mm～10mmの間で膨縮しながら帯状に分布する。粘土鉱物の分布によって、せん断面は不明瞭となり、変位センス等の指標は認められない。周辺の原因部には変形構造が認められず、わずかに割れ目沿いに粘土鉱物が確認されるのみである。

1. 突道断層の評価 (2) 地質調査(突道断層の東側)  
断層露頭⑥-2(熱水変質部(北側))(薄片観察結果(詳細))



単ニコル 2017.8.18撮影

0.5mm



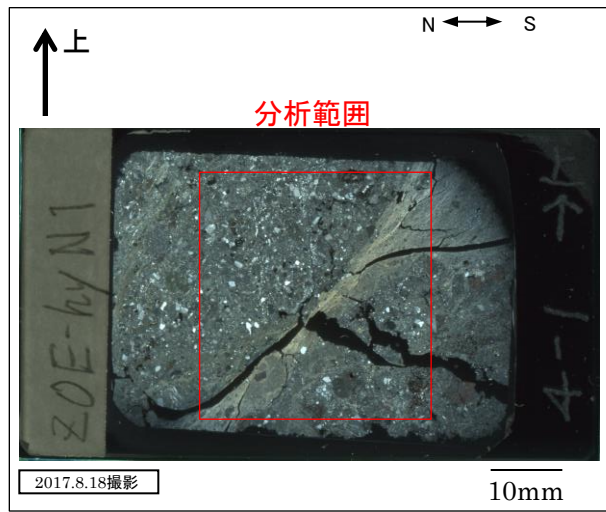
直交ニコル 2017.8.18撮影

0.5mm

- ・単ニコルで無色，直交ニコルで双晶を示す斜長石が複数認められる。斜長石はざらついた様態(ごく微細な変質鉱物に置き換わっている状態)を示すことから，熱水変質作用を受けていると考えられる。
- ・なお，普通輝石は認められない。
- ・その他に直交ニコルで黄褐色～褐色を示す伊ライト/スメクタイト混合層鉱物，緑色～黄色を示す緑泥石や石英が認められる。

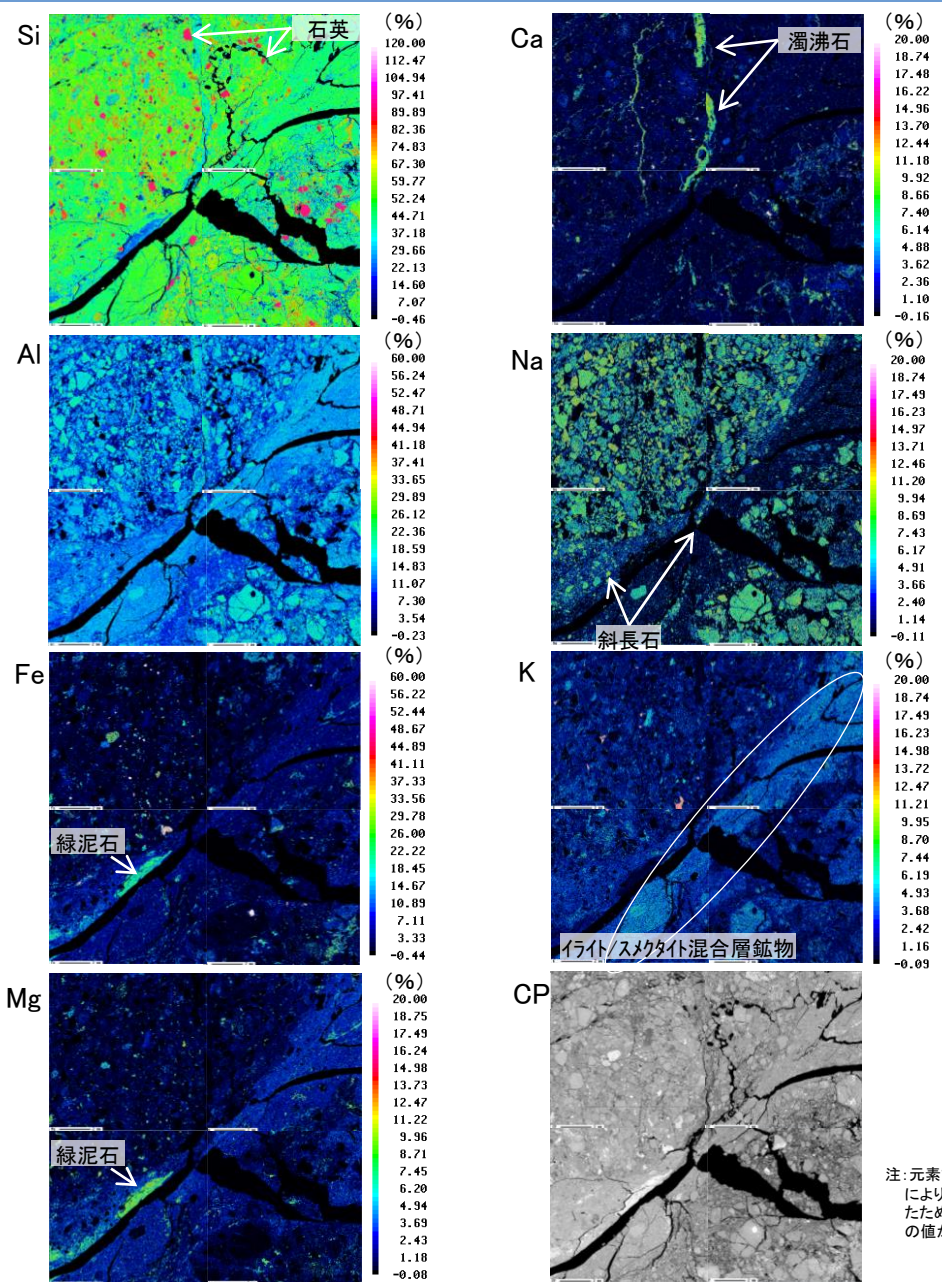
1. 突道断層の評価 (2)地質調査(突道断層の東側)

断層露頭⑥-2(熱水変質部(北側))(EPMA分析結果 元素マッピング)



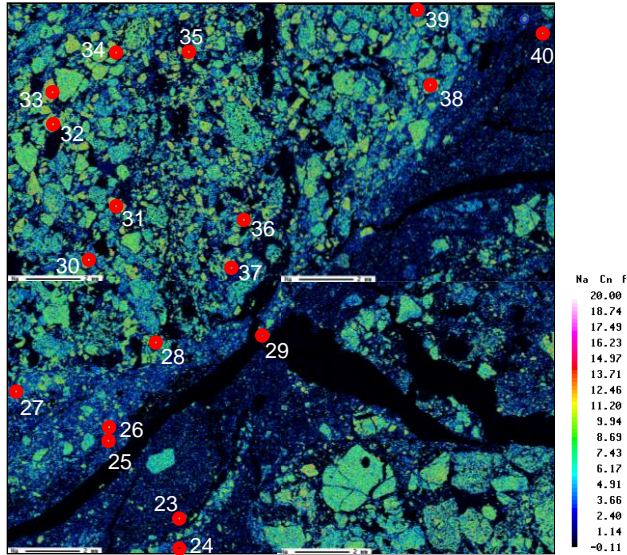
- ※斜長石(曹長石) :  $\text{NaAlSi}_3\text{O}_8$
- イライト :  $\text{K}_{1-1.5}\text{Al}(\text{Si}_{7-6.5}\text{Al}_{1-1.5}\text{O}_{20})(\text{OH})_4$
- スメクタイト :  $\text{Na}_{0.7}(\text{Al}_{3.3}\text{Mg}_{0.7})\text{Si}_8\text{O}_{20}(\text{OH})_4 \cdot n\text{H}_2\text{O}$
- 緑泥石 :  $(\text{Mg,Fe,Al})_6(\text{Al,Si})_4\text{O}_{10}(\text{OH})_8$
- 濁沸石 :  $\text{CaAl}_2\text{Si}_4\text{O}_{12} \cdot 4\text{H}_2\text{O}$
- 石英 :  $\text{SiO}_2$

- ・Naにおいて黄色～黄緑色で示される範囲には、斜長石が分布すると考えられる。
- ・Kにおいて水色～黄緑色で示される範囲には、イライト/スメクタイト混合層鉱物が分布すると考えられる。
- ・Mgにおいて黄緑色で示される範囲には、緑泥石が分布すると考えられる。
- ・Caにおいて黄緑色で示される範囲には、濁沸石が分布すると考えられる。
- ・Siにおいて赤色で示される範囲には、石英が分布すると考えられる。



注: 元素マッピングは色合い調整により含有比の高低を明瞭にしたため、目盛に100%以上や負の値が表示されることがある。

1. 突道断層の評価 (2)地質調査(突道断層の東側)  
断層露頭⑥-2(熱水変質部(北側))(EPMA分析結果 定量分析)



EPMA分析 元素マッピング結果(Na) 2017.8.18撮影

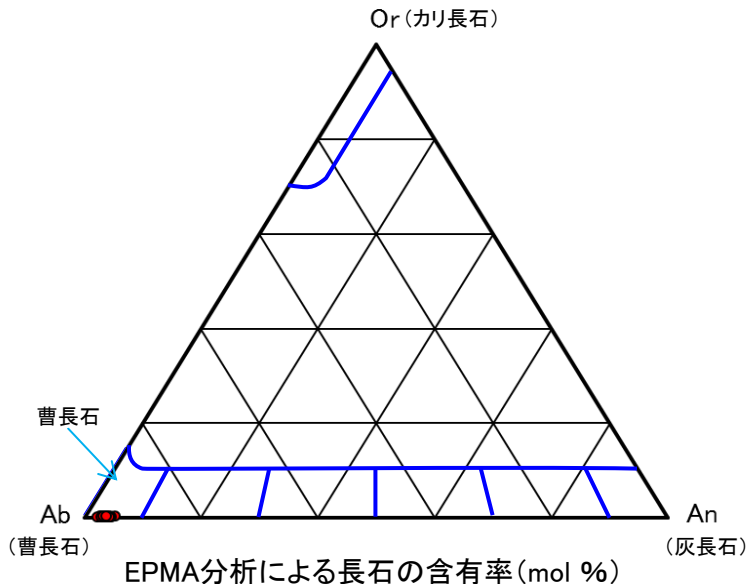
注: 元素マッピングは色合い調整により含有比の高低を明瞭にしたため、目盛に負の値が表示される。

EPMA分析による長石の含有率(mol %)

測定点	An	Ab	Or	測定点	An	Ab	Or
23	2.62	96.99	0.40	32	3.58	96.16	0.26
24	5.10	94.57	0.33	33	2.22	97.51	0.26
25	3.75	95.98	0.27	34	4.25	95.53	0.21
26	2.63	97.08	0.29	35	2.97	96.82	0.21
27	3.64	96.09	0.27	36	3.13	96.59	0.27
28	2.98	96.81	0.21	37	4.35	95.22	0.43
29	4.06	95.71	0.23	38	4.07	95.60	0.33
30	4.58	95.16	0.27	39	4.23	95.61	0.16
31	3.19	96.49	0.32	40	3.72	95.96	0.32

※ Ab: 曹長石 ( $\text{NaAlSi}_3\text{O}_8$ ), Or: カリ長石 ( $\text{KAlSi}_3\text{O}_8$ ), An: 灰長石 ( $\text{CaAl}_2\text{Si}_2\text{O}_8$ )

※ 3成分の合計は四捨五入の関係により100%とならない場合がある。

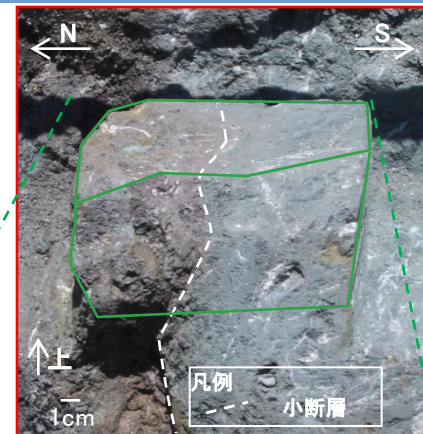


- ・薄片観察結果及びEPMA分析結果を踏まえ、斜長石の化学組成に基づく三角ダイアグラムを作成した。
- ・Ab成分に富むことから、斜長石は曹長石化していると考えられる。

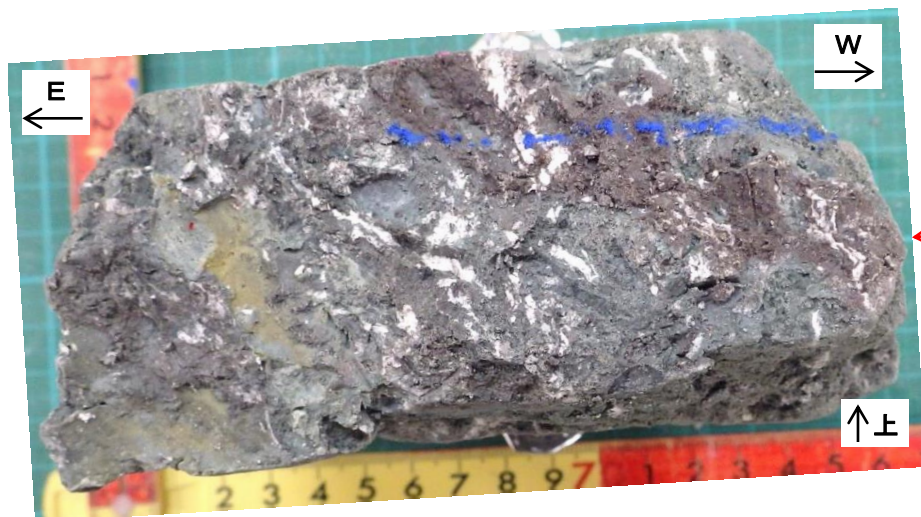
1. 宍道断層の評価 (2) 地質調査(宍道断層の東側)  
断層露頭⑥-2(熱水変質部(南側))(試料採取位置)



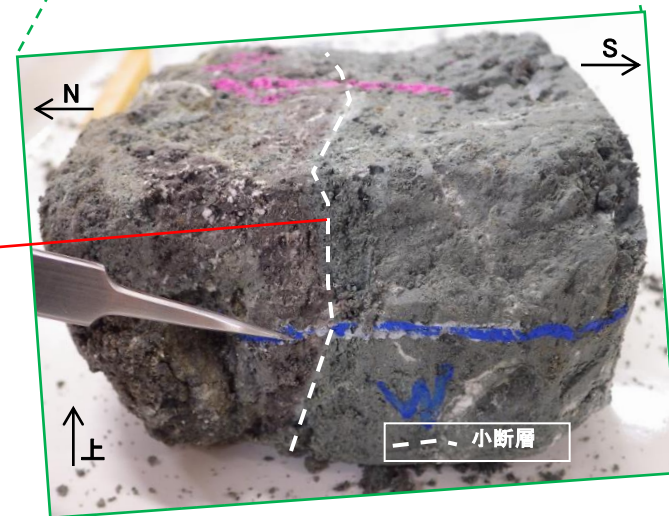
ブロック試料 解釈線なし



ブロック試料 解釈線あり



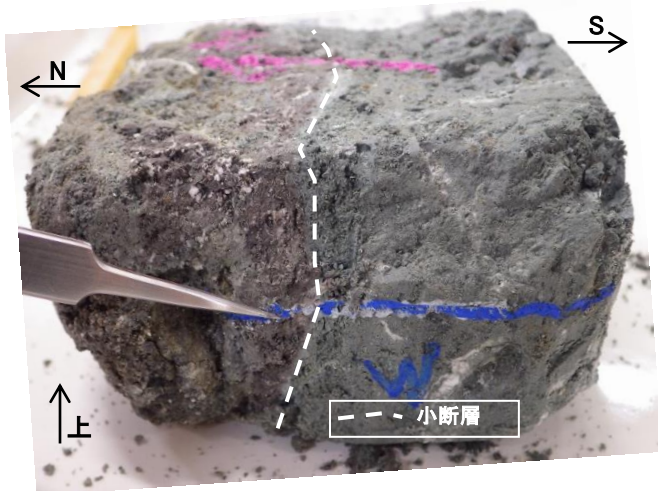
ブロック試料 観察面(断層面下盤)



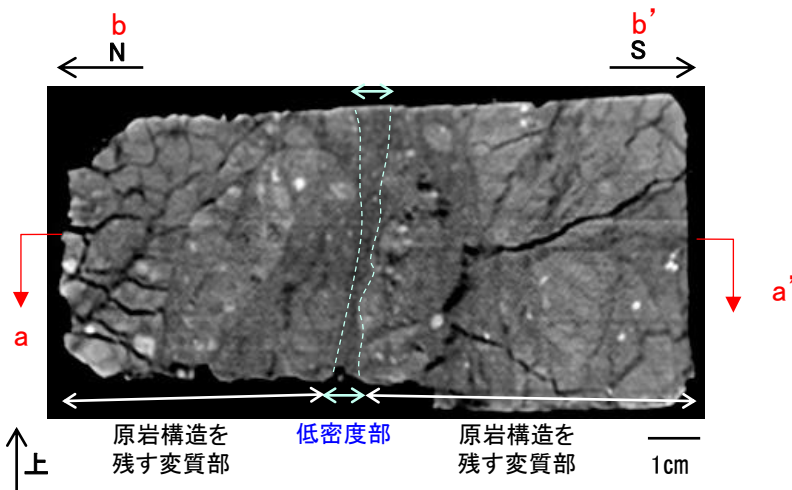
ブロック試料 西側側面(露頭面)

- ・ブロック試料では、暗紫灰色の岩石と緑灰色の岩石が斑状に認められる。これら岩石は同じ組織を有し、周囲に青灰色粘土や白色脈を伴うことから、熱水変質の影響を受けていると考えられる。
- ・露頭で確認されたゆるく湾曲し連続性に乏しい性状を示す小断層から試料を採取し、CT画像解析及び実体顕微鏡による条線観察を実施した。

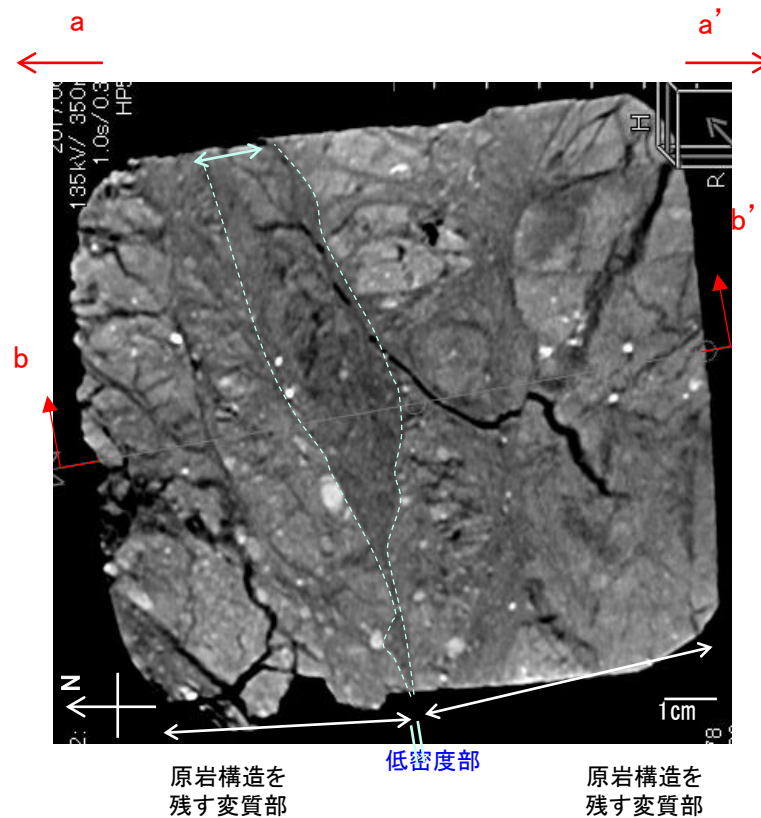
1. 突道断層の評価 (2) 地質調査(突道断層の東側)  
断層露頭⑥-2(熱水変質部(南側))(CT画像解析)



ブロック試料 西側側面(露頭面)



CT画像(ブロック中央部の鉛直面を撮影)

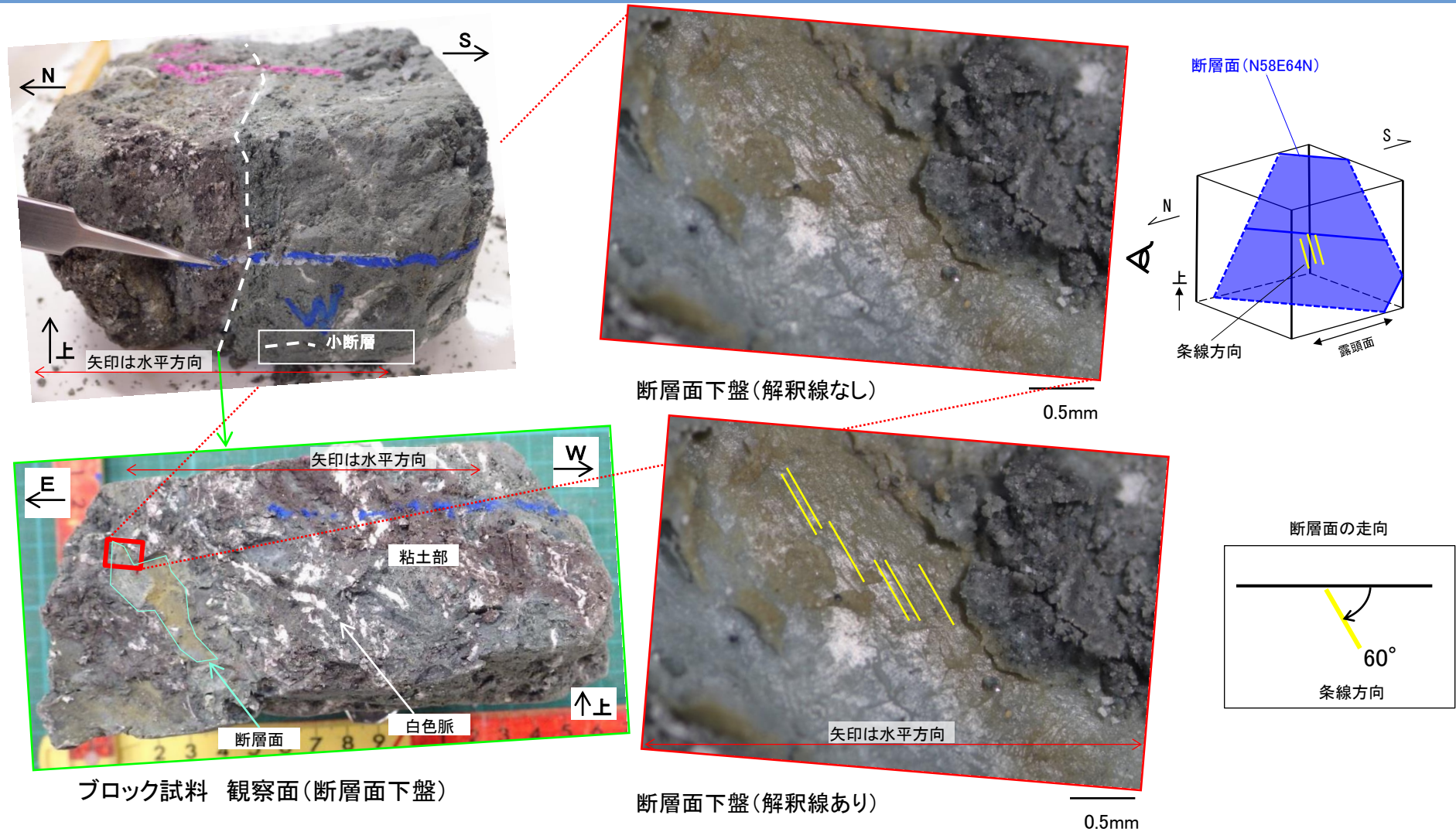


CT画像(ブロック中央部の水平面を撮影)

- ・CT画像解析の結果、幅2cm程度の膨縮する低密度部が認められ、その外側に原岩部が認められる。
- ・ただし、この低密度部には、CT画像解析の結果、明瞭なせん断面及び複合面構造は認められないことから、熱水に伴う粘土脈と考えられる。

・熱水変質部(南側)について、明瞭なせん断面及び複合面構造は認められず、熱水変質部(中央)と同様の結果が得られた。

1. 突道断層の評価 (2) 地質調査(突道断層の東側)  
断層露頭⑥-2(熱水変質部(南側))(実体顕微鏡観察)



断層面下盤(解釈線なし)

0.5mm

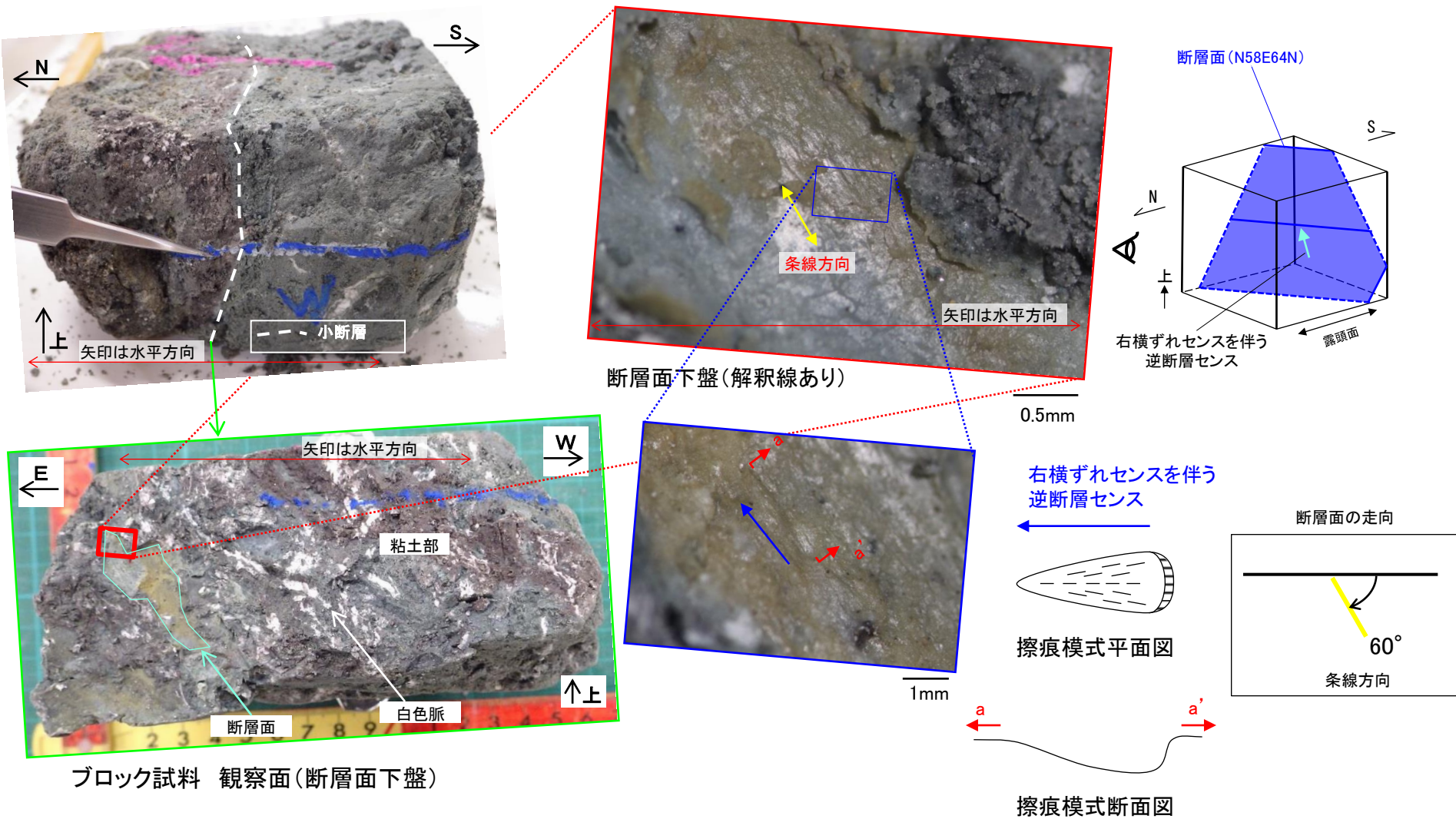
断層面下盤(解釈線あり)

0.5mm

ブロック試料 観察面(断層面下盤)

- ・実体顕微鏡観察の結果, 縦ずれ優勢(走向方向から60° 右回転, T:N85W P:51)の条線が認められる。
- ・粘土部には, 熱水変質により生成されたと考えられる白色脈が複数認められる。

1. 突道断層の評価 (2) 地質調査(突道断層の東側)  
断層露頭⑥-2(熱水変質部(南側))(実体顕微鏡観察)

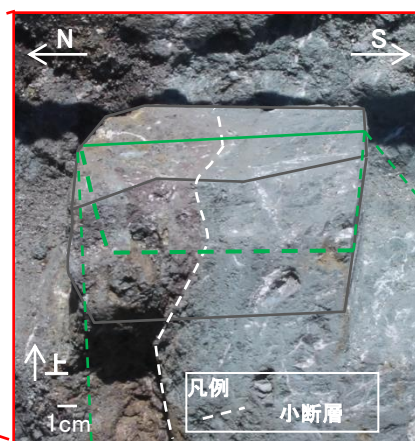
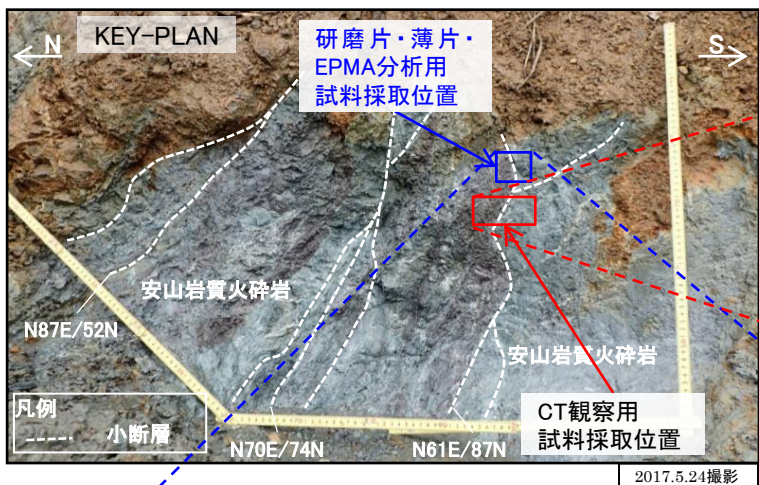


擦痕区分: Crescentic markings ; Gouging / plucking markings (Doblas, 1998)

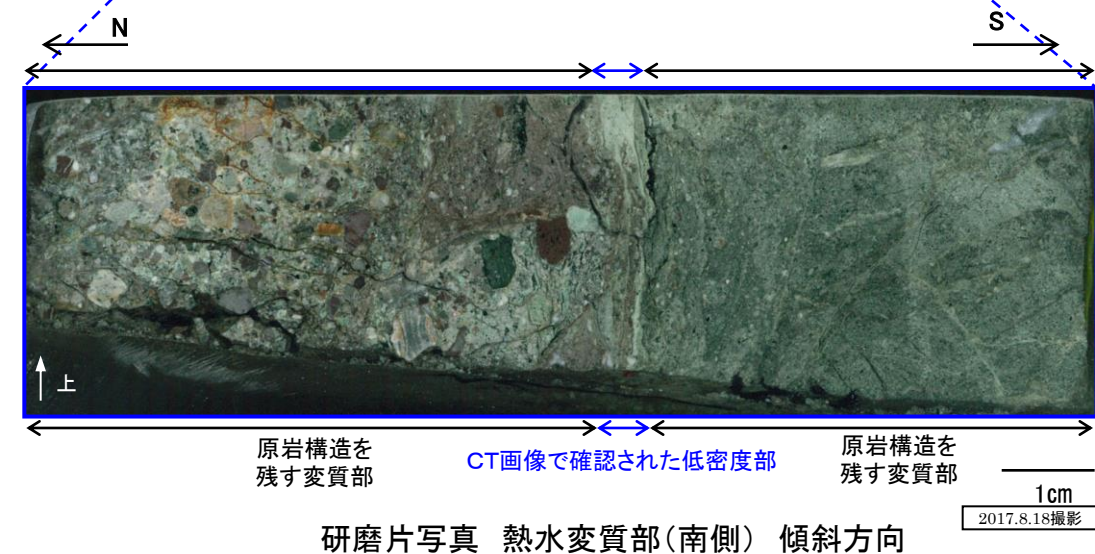
・擦痕より、熱水変質部に認められる断層面のせん断センスは右横ずれセンスを伴う逆断層センスである。

1. 突道断層の評価 (2) 地質調査(突道断層の東側)

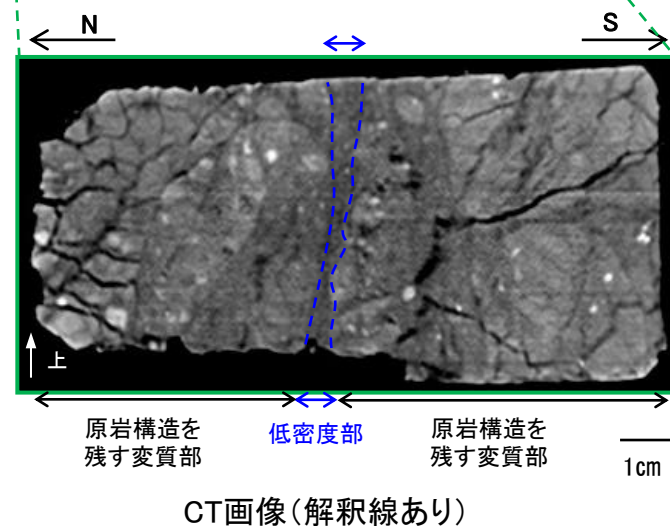
断層露頭⑥-2(熱水変質部(南側))(研磨片観察結果)



ブロック試料 解釈線あり



研磨片写真 熱水変質部(南側) 傾斜方向

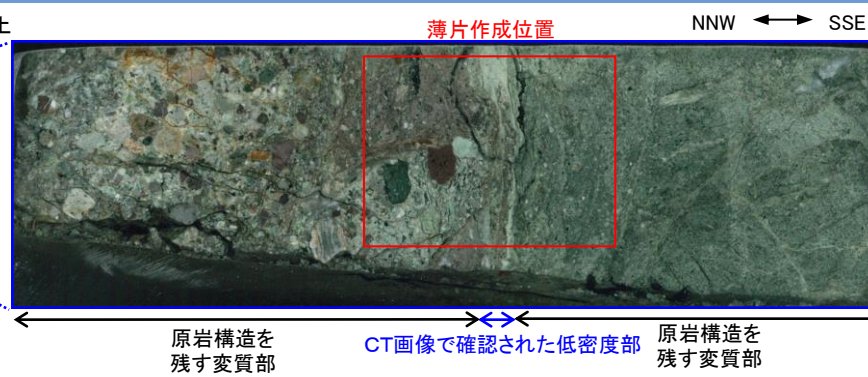


CT画像(解釈線あり)

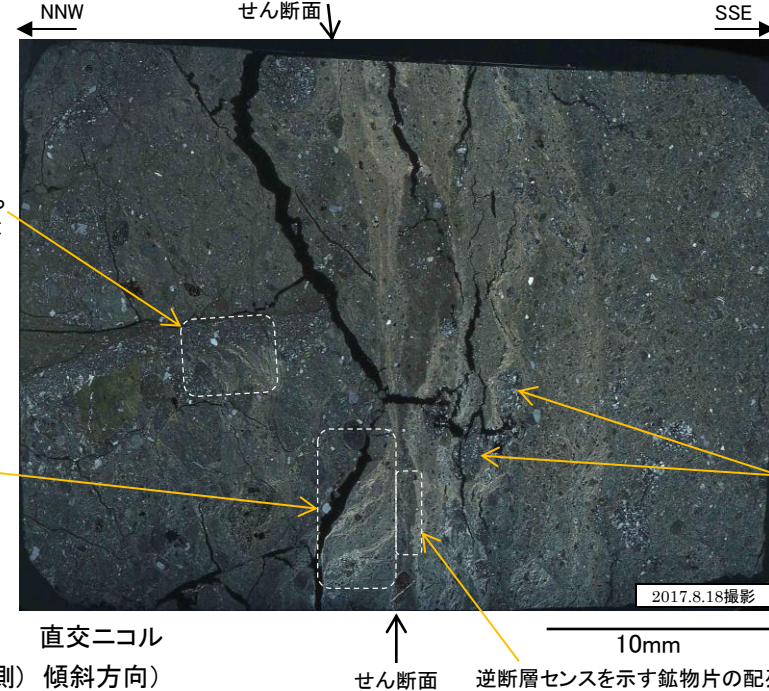
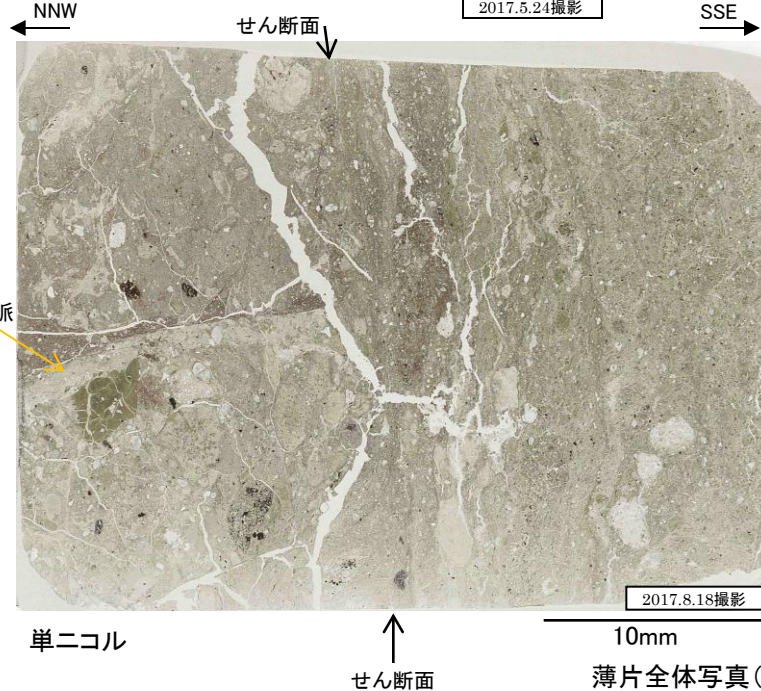
・研磨片観察の結果, CT画像で確認された低密度部に対応する箇所が認められる。

1. 突道断層の評価 (2)地質調査(突道断層の東側)

断層露頭⑥-2(熱水変質部(南側))(薄片観察結果)



研磨片写真(熱水変質部(南側) 傾斜方向)  
2017.8.18撮影



・薄片観察の結果、直交ニコルで黄褐色～褐色の干渉色を示す粘土鉱物が分布する。

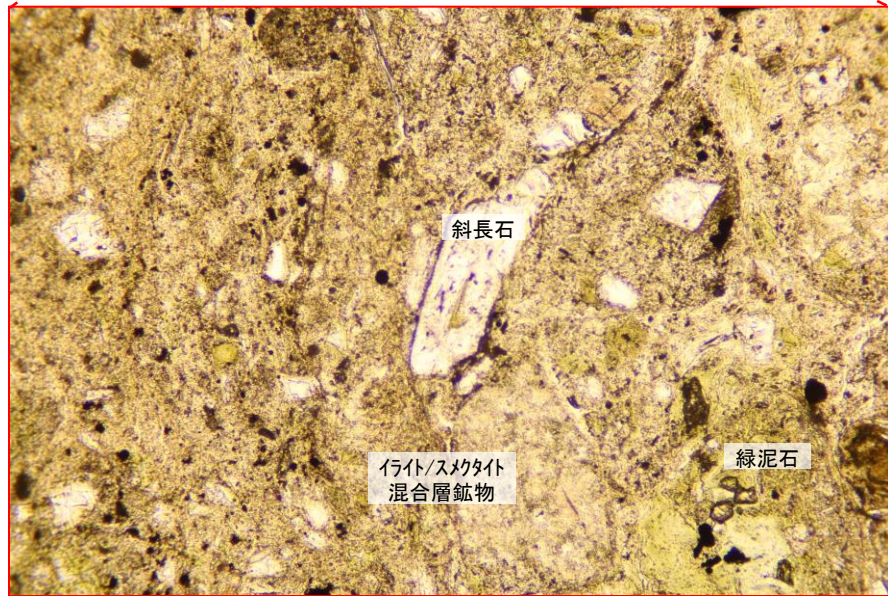
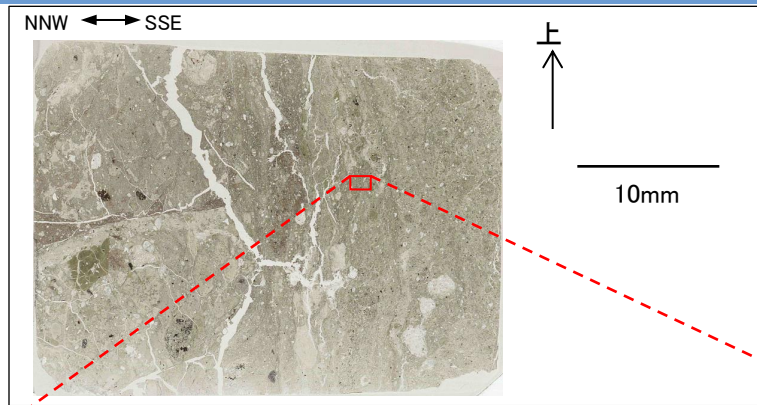
・薄片中央にせん断面が認められ、薄片下部では正断層センスを示す引きずり構造と逆断層センスを示す鉱物片の配列が認められる。写真左中央の不明瞭な引きずり構造は、写真左から中央付近に伸びる濁沸石脈※に切られる。

・粘土鉱物の分布が引きずり構造を呈し、濁沸石のフラグメントが認められる一方で、濁沸石脈に切られる引きずり構造が認められることから、これらの変形構造や濁沸石脈はほぼ同時期に形成したものと考えられる。

※:EPMA分析及びX線回折分析の結果も踏まえ濁沸石と判断した。

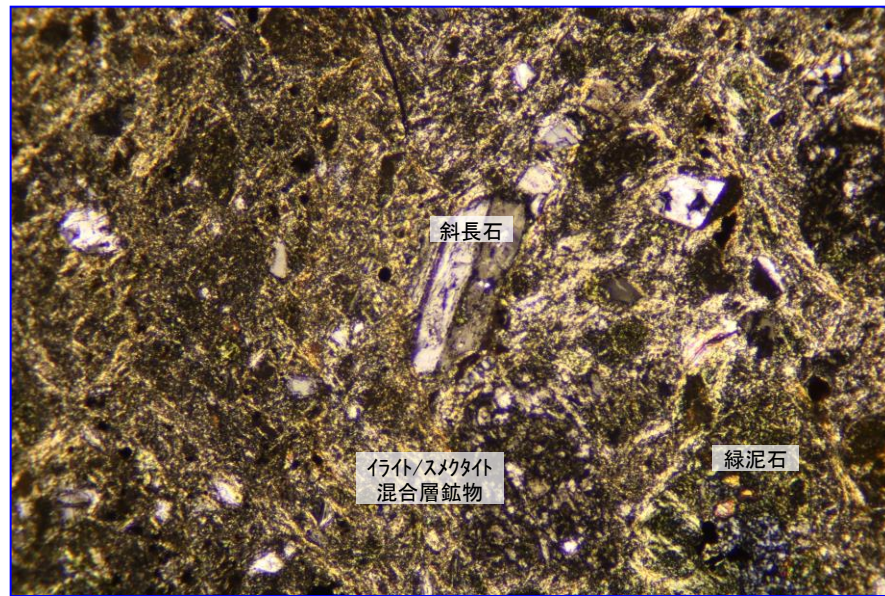
1. 突道断層の評価 (2) 地質調査(突道断層の東側)

断層露頭⑥-2(熱水変質部(南側))(薄片観察結果(詳細))



単ニコル 2017.8.18撮影

0.5mm



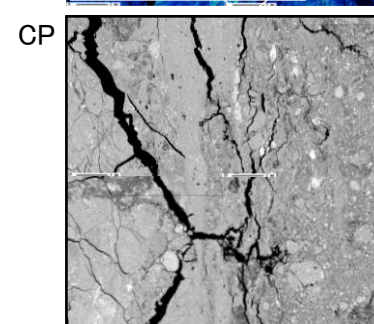
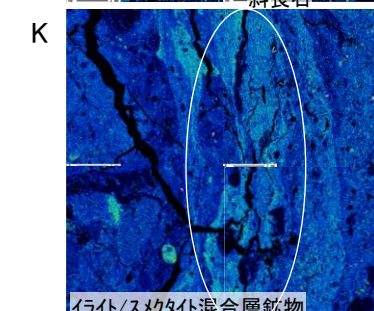
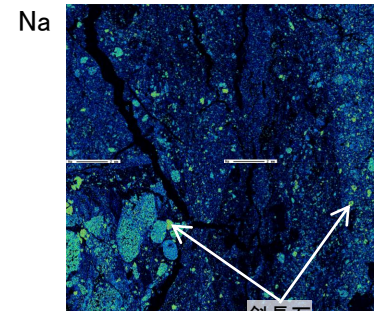
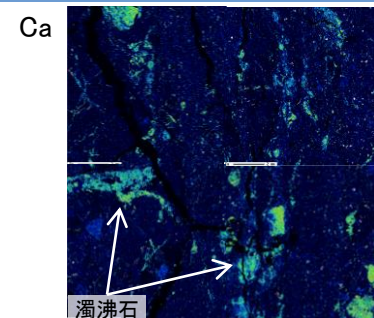
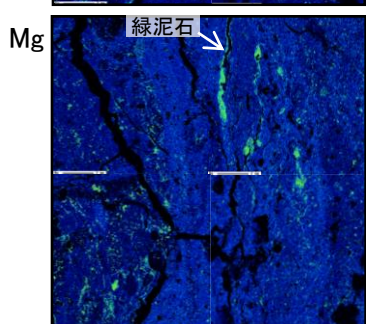
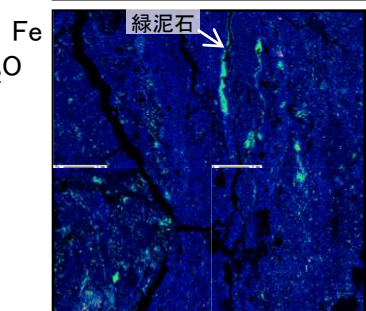
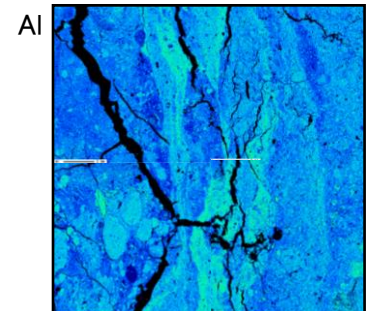
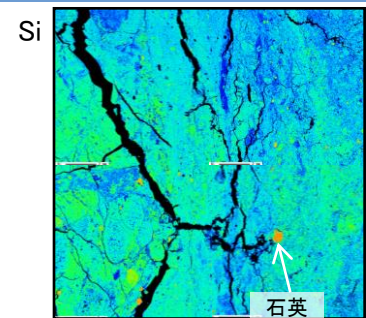
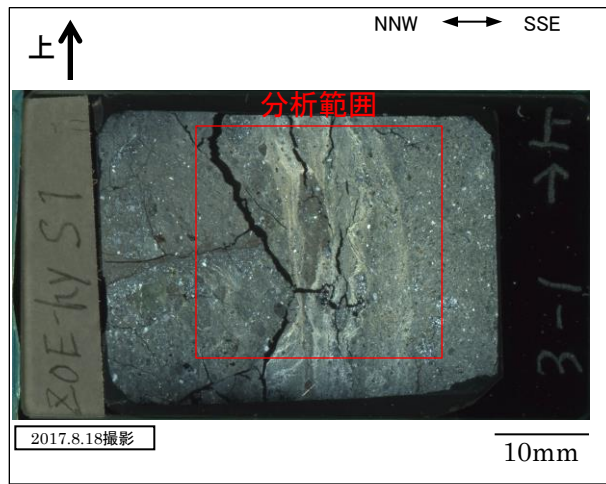
直交ニコル 2017.8.18撮影

0.5mm

- ・短冊状の形態を持ち、単ニコルで無色、直交ニコルで双晶を示す斜長石が複数認められる。斜長石の一部はざらついた様態(斜長石の一部が微細な緑泥石などに置き換わっている状態)を示すことから、熱水変質作用を受けていると考えられる。
- ・なお、普通輝石は認められない。
- ・その他に直交ニコルで黄褐色～褐色を示すイライト/スメクタイト混合層鉱物、緑色～黄色を示す緑泥石が認められる。

1. 突道断層の評価 (2)地質調査(突道断層の東側)

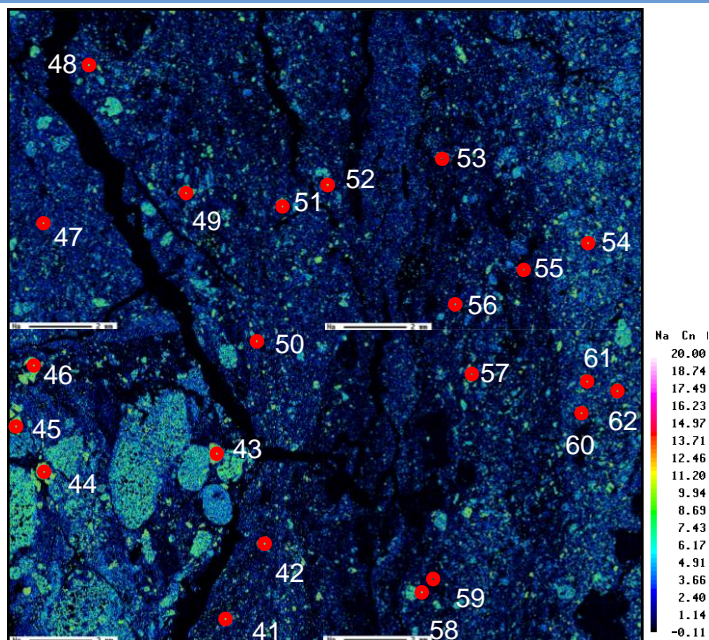
断層露頭⑥-2(熱水変質部(南側))(EPMA分析結果 元素マッピング)



- 斜長石(曹長石) :  $\text{NaAlSi}_3\text{O}_8$
- イライト :  $\text{K}_{1-1.5}\text{Al}_4(\text{Si}_{7-6.5}\text{Al}_{1-1.5}\text{O}_{20})(\text{OH})_4$
- スメクタイト :  $\text{Na}_{0.7}(\text{Al}_{3.3}\text{Mg}_{0.7})\text{Si}_8\text{O}_{20}(\text{OH})_4 \cdot n\text{H}_2\text{O}$
- 緑泥石 :  $(\text{Mg,Fe,Al})_6(\text{Al,Si})_4\text{O}_{10}(\text{OH})_8$
- 濁沸石 :  $\text{CaAl}_2\text{Si}_4\text{O}_{12} \cdot 4\text{H}_2\text{O}$
- 石英 :  $\text{SiO}_2$

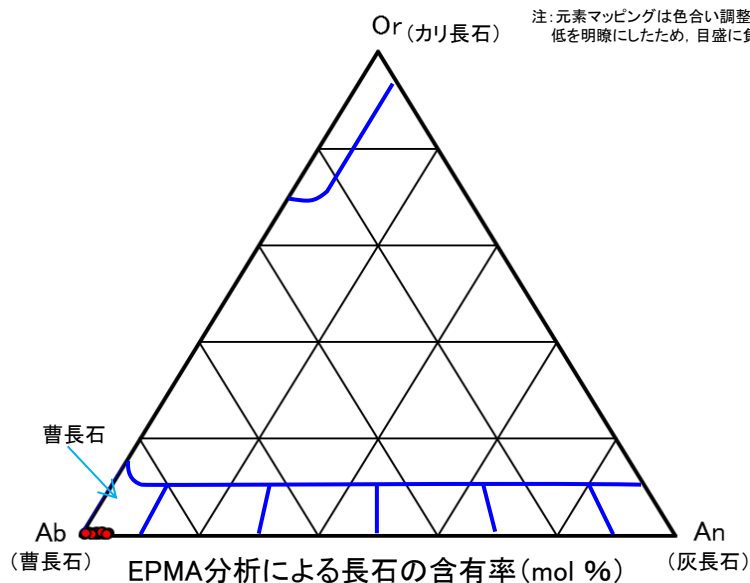
- ・Naにおいて黄色～黄緑色で示される範囲には、斜長石が分布すると考えられる。
- ・Kにおいて水色～黄緑色で示される範囲には、ライト/スマクタイト混合層鉱物が分布すると考えられる。
- ・Mgにおいて黄色で示される範囲には、緑泥石が分布すると考えられる。
- ・Caにおいて黄緑色で示される範囲には、濁沸石が分布すると考えられる。
- ・Siにおいて赤色で示される範囲には、石英が分布すると考えられる。

注: 元素マッピングは色合い調整により含有比の高低を明瞭にしたため、目盛に100%以上や負の値が表示されることがある。



EPMA分析 元素マッピング結果(Na) 2017.8.18撮影

注: 元素マッピングは色合い調整により含有比の高低を明瞭にしたため、目盛に負の値が表示される。



EPMA分析による長石の含有率(mol %)

測定点	An	Ab	Or	測定点	An	Ab	Or
41	2.27	97.36	0.37	52	3.62	95.80	0.58
42	2.30	97.33	0.37	53	1.91	97.85	0.24
43	3.07	96.78	0.15	54	2.77	97.00	0.23
44	0.88	98.78	0.34	55	2.49	97.00	0.51
45	4.70	94.98	0.32	56	2.48	97.08	0.44
46	4.33	95.40	0.27	57	1.65	98.00	0.35
47	4.06	95.66	0.28	58	3.43	96.01	0.57
48	1.25	98.22	0.53	59	0.68	99.07	0.25
49	4.10	95.67	0.23	60	4.41	95.38	0.21
50	3.87	95.77	0.36	61	1.91	97.87	0.22
51	2.87	96.75	0.38	62	0.83	98.69	0.49

※ Ab: 曹長石 ( $\text{NaAlSi}_3\text{O}_8$ ), Or: カリ長石 ( $\text{KAlSi}_3\text{O}_8$ ), An: 灰長石 ( $\text{CaAl}_2\text{Si}_2\text{O}_8$ )  
 ※ 3成分の合計は四捨五入の関係により100%とならない場合がある。

・薄片観察結果及びEPMA分析結果を踏まえ、斜長石の化学組成に基づく三角ダイヤグラムを作成した。  
 ・Ab成分に富むことから、斜長石は曹長石化していると考えられる。

## 断層露頭⑥-2(熱水変質部)まとめ

熱水変質部(中央), 熱水変質部(北側)及び熱水変質部(南側)を対象に, 研磨片観察, 薄片観察及びEPMA分析(元素マッピング及び定量分析)を実施した。

## 1. 研磨片観察

- ・CT画像で確認された低密度部等に対応する箇所が認められる。

## 2. 薄片観察

- ・斜長石はざらついた様態(斜長石の一部が微細な緑泥石などに置き換わっている状態)を示すことから, 熱水変質作用を受けていると考えられる。
- ・鏡下では, 普通輝石は認められない。

## 3. EPMA分析(元素マッピング及び定量分析)

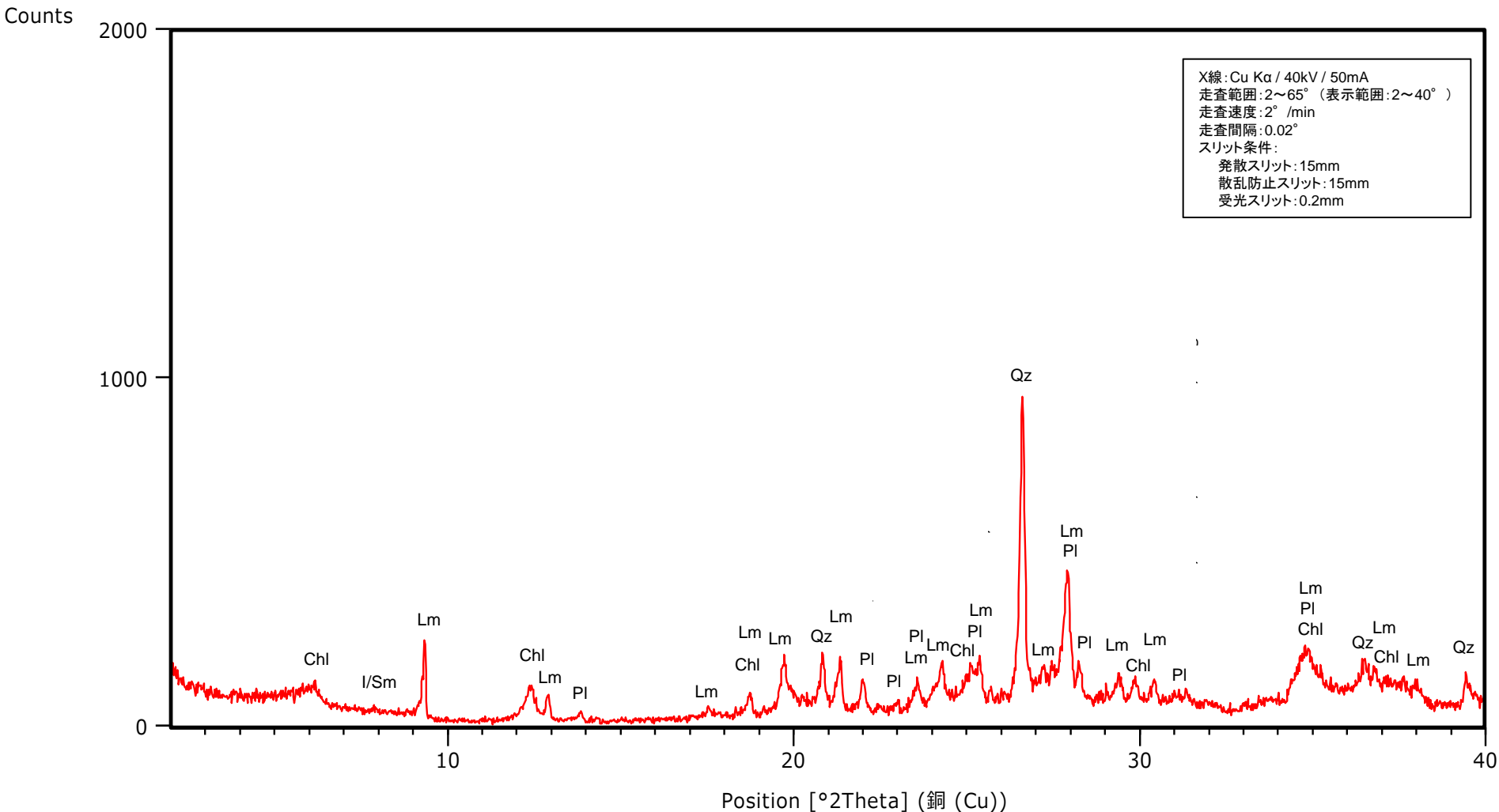
- ・Naにおいて黄色～黄緑色で示される範囲には, 斜長石が分布すると考えられる。また, 斜長石の鋳物組成に基づく三角ダイヤグラムの検討の結果, Ab成分に富むことから, 斜長石は曹長石化していると考えられる。
- ・Kにおいて水色～黄緑色で示される範囲には, イライト/スメクタイト混合層鋳物が分布すると考えられる。
- ・Mgにおいて黄色, Siが緑色で示される範囲には, 緑泥石が分布すると考えられる。
- ・Caにおいて黄緑色で示される範囲には, 濁沸石が分布すると考えられる。
- ・Siにおいて赤色で示される範囲には, 石英が分布すると考えられる。

以上のことから, 熱水変質部に認められる鋳物は, 薄片観察, EPMA分析等の追加分析の結果から, 熱水変質作用を被っていると考えられる。

次頁以降に, 追加分析結果を反映したX線回折分析結果及びX線チャートを示す。

(参考) X線チャート

断層露頭⑥-2の熱水変質部(中央) 平滑な断層面 粘土 不定方位



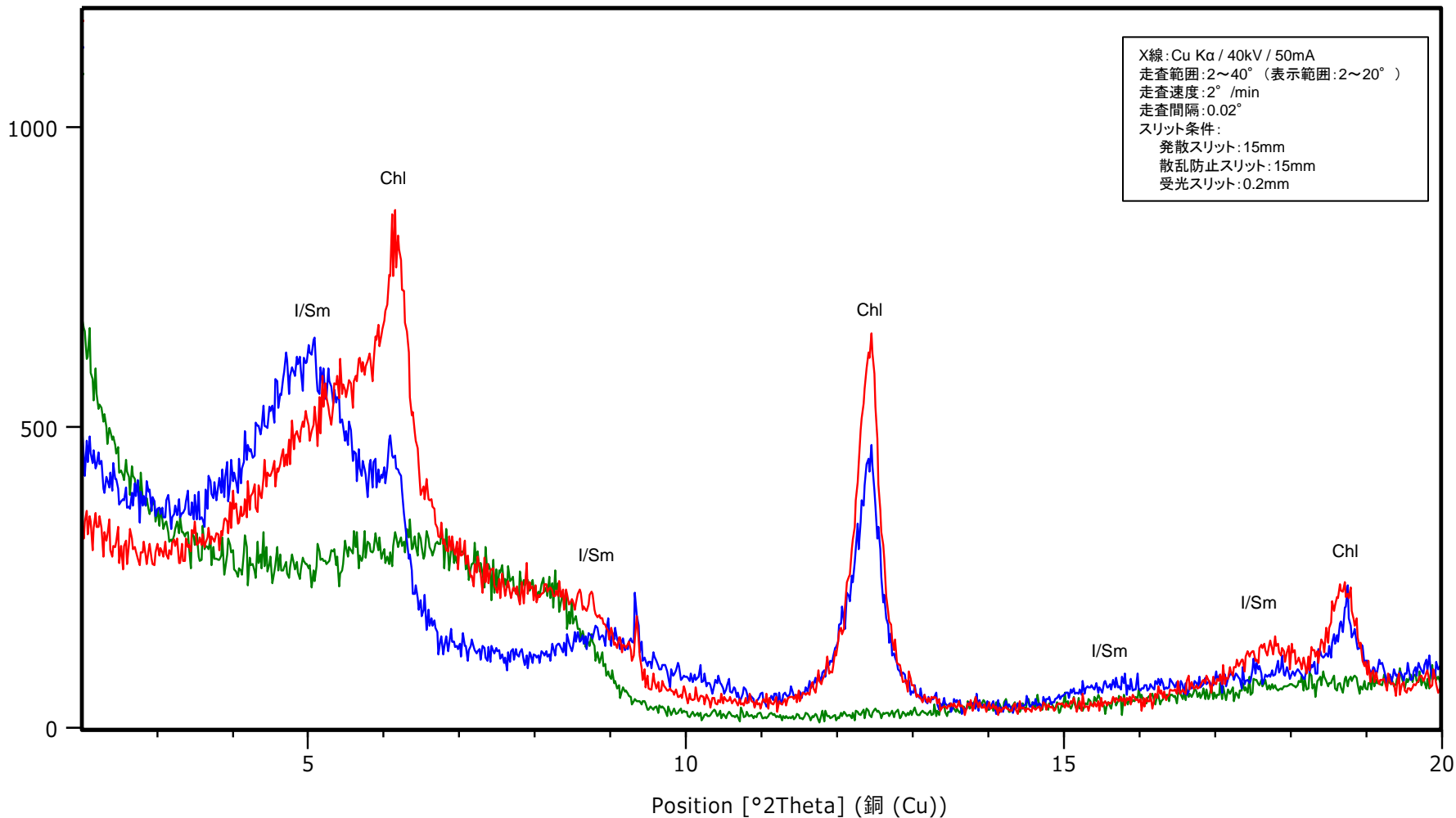
凡例

I/Sm: イライト/スマクタイト混合層鉱物, Lm: 濁沸石, Chl: 緑泥石, Qz: 石英, Pl: 斜長石(曹長石)

(参考) X線チャート

断層露頭⑥-2の熱水変質部(中央) 平滑な断層面 粘土 定方位

Counts



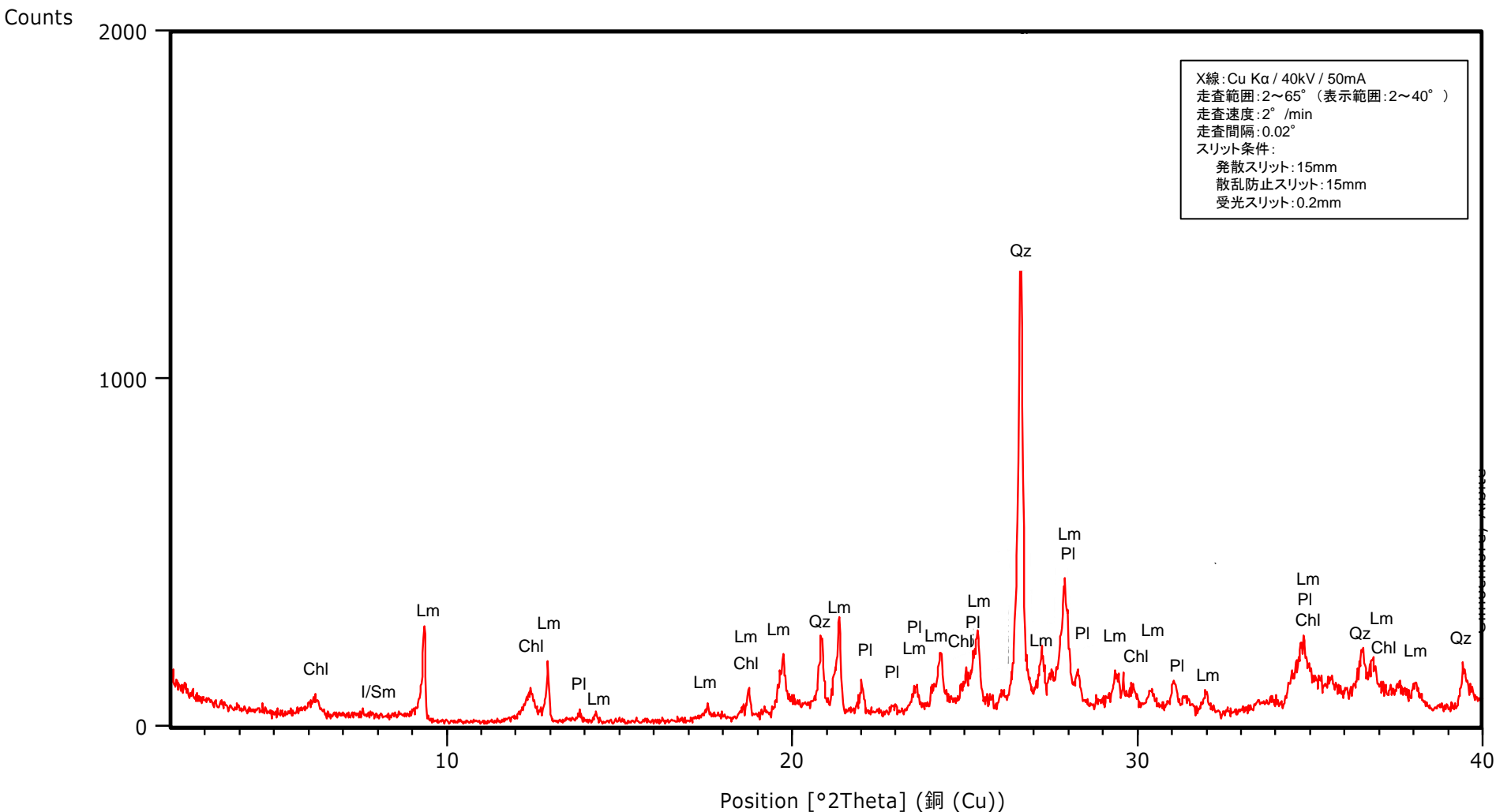
凡例

—: 定方位(水ひ), —: 定方位(塩酸処理), —: 定方位(エチレングリコール処理)

I/Sm: イリト/スメクタイト混合層鉱物, Chl: 緑泥石

(参考) X線チャート

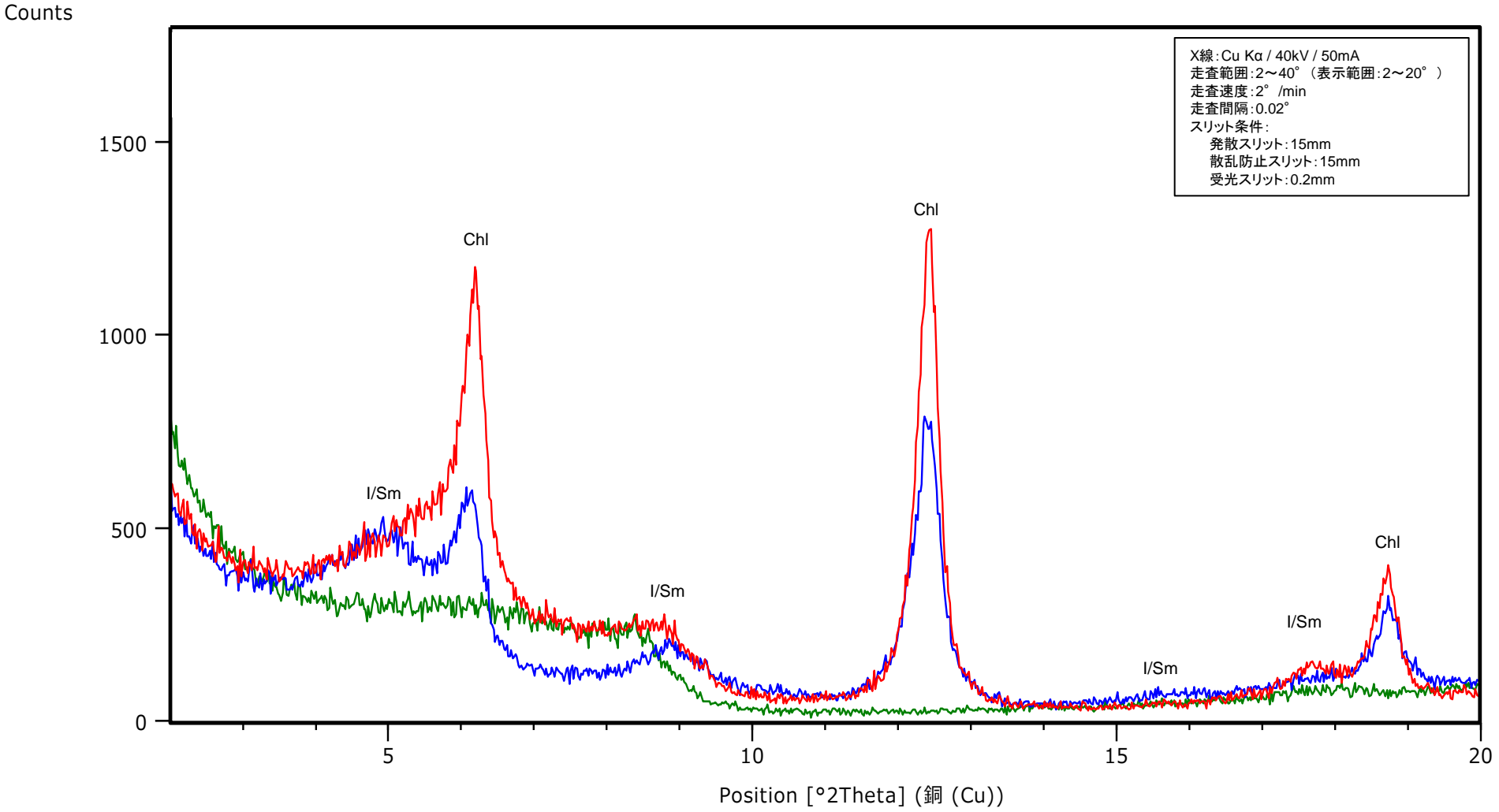
断層露頭⑥-2の熱水変質部(中央) 平滑な断層面 角礫部 不定方位



凡例  
Lm: 濁沸石, Chl: 緑泥石, Qz: 石英, Pl: 斜長石(曹長石)

# (参考) X線チャート

断層露頭⑥-2の熱水変質部(中央) 平滑な断層面 角礫部 定方位

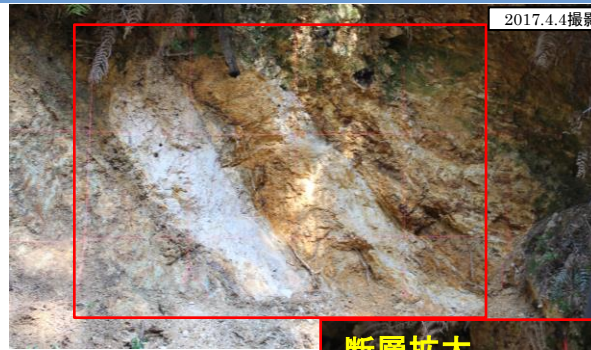
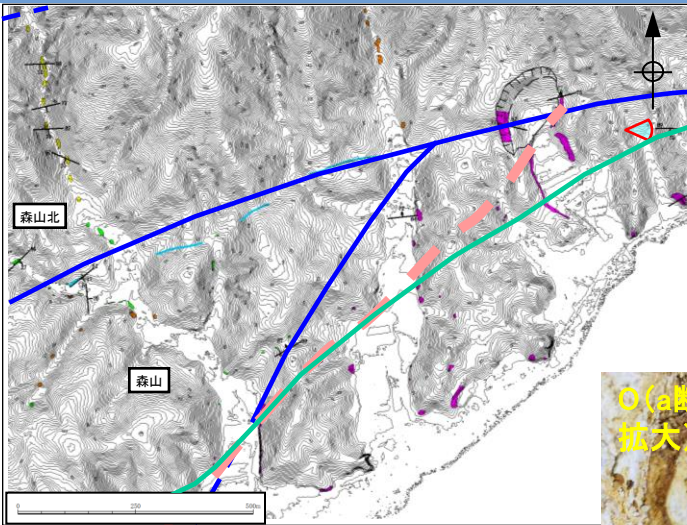


X線: Cu K $\alpha$  / 40kV / 50mA  
 走査範囲: 2~40 $^{\circ}$  (表示範囲: 2~20 $^{\circ}$ )  
 走査速度: 2 $^{\circ}$  /min  
 走査間隔: 0.02 $^{\circ}$   
 スリット条件:  
 発散スリット: 15mm  
 散乱防止スリット: 15mm  
 受光スリット: 0.2mm

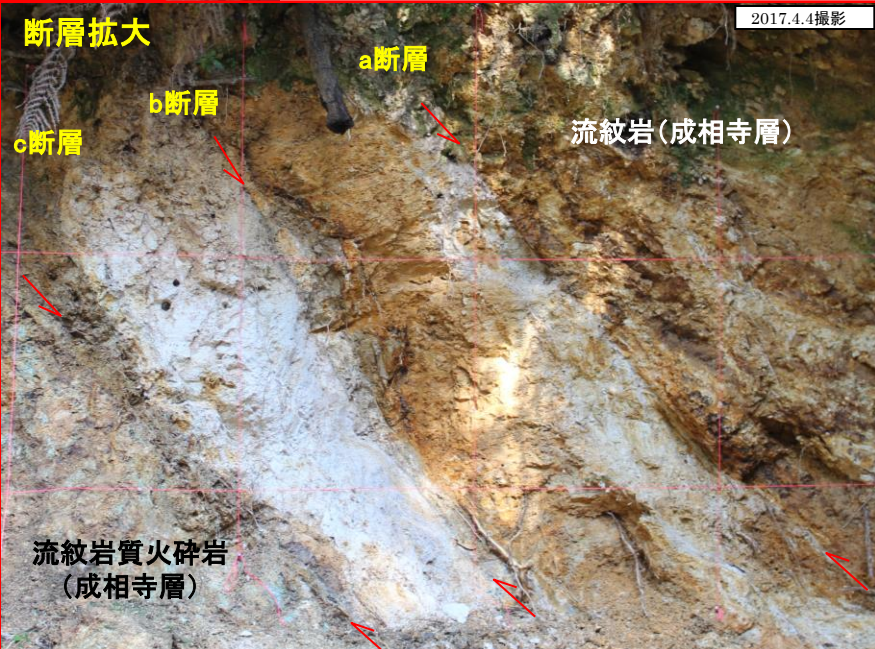
凡例  
 —: 定方位(水ひ), —: 定方位(塩酸処理), —: 定方位(エチレングリコール処理)  
 I/Sm: イライト/スメクタイト混合層鉱物, Chl: 緑泥石

1. 宍道断層の評価 (2) 地質調査(宍道断層の東側)

断層露頭⑦(地表地質踏査)



断層箇所近景



- 変位地形・リニアメント(Dランク)
- 原子力安全委員会のワーキンググループ第3第17回会合参考資料第2号(2009)に記載された推定活断層の位置
- 鹿野・吉田(1985)による断層, 伏在断層
- 今泉ほか編(2018)による宍道(鹿島)断層

- 露頭位置  
層理面の走向・傾斜  
断層面の走向・傾斜
- 露頭岩種
- 泥岩
  - 砂岩
  - 礫岩
  - 安山岩質火砕岩
  - デイサイト質火砕岩
  - 流紋岩・流紋岩質火砕岩

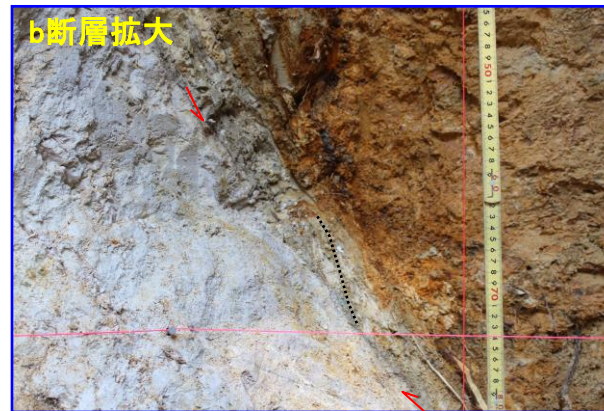
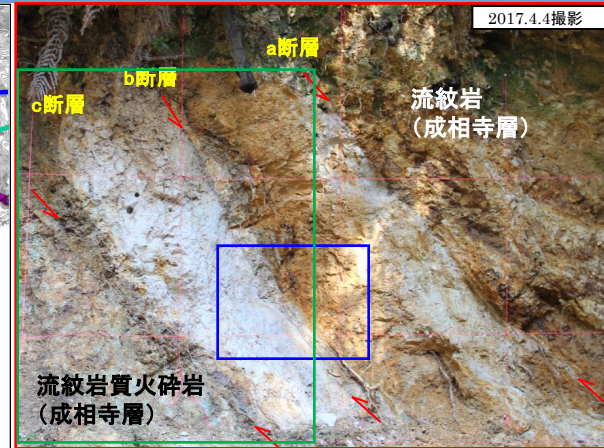
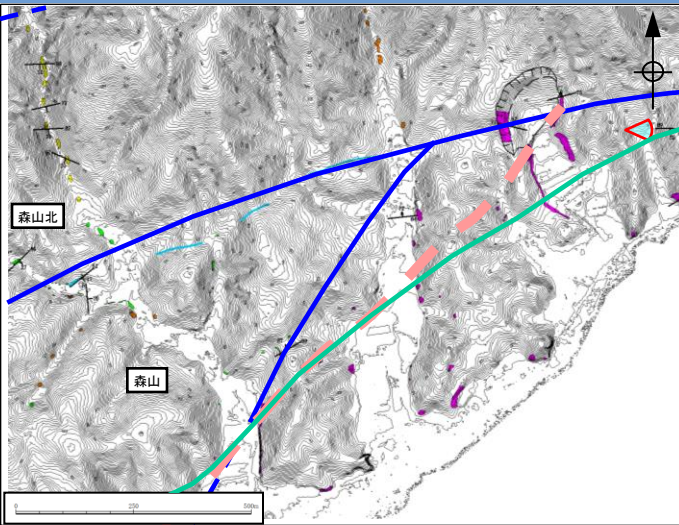
今村・向吉(2017) :  
・流紋岩(成相寺層)中に南落ちの低角な正断層を確認。  
・室内観察の結果, 正断層, 逆断層センスの断層が伏在していることが確認できる。

・断層aで認められる条線は最急勾配方向(折尺に平行な方向, T:S1W P:59)を示す。

・流紋岩中の断層(a・b断層)及び成相寺層の流紋岩と流紋岩質火砕岩を境する断層(c断層)が認められる。  
・a断層はN89W/59S, b断層はN60E/64S, c断層はN44E/68Sを示す。  
・主に断層沿いで熱水変質とみられる粘土化が進み, 軟質となる。

- ・森山付近において, 地表地質踏査等を追加実施(データ拡充)した結果, 鹿野・吉田(1985)による断層通過位置付近に成相寺層の流紋岩中及び流紋岩と流紋岩質火砕岩を境する断層が認められる。この露頭は今村・向吉(2017)の「B」森山南東断層露頭」に対応する。
- ・主に断層沿いで熱水変質とみられる粘土化が進み, 軟質となる。また, 断層aの上盤側に正断層変位を示唆する引きずり構造が認められる。
- ・条線観察の結果, 上盤側に, 縦ずれ(走向方向から90°回転)の条線が認められる。

# 1. 宍道断層の評価 (2) 地質調査(宍道断層の東側) 断層露頭⑦(地表地質踏査)



・b断層では逆断層変位を示唆する粒子の配列(解釈線: 黒点線)が認められる。

・c断層では逆断層変位を示唆する引きずり構造(解釈線: 黒点線)が認められる。

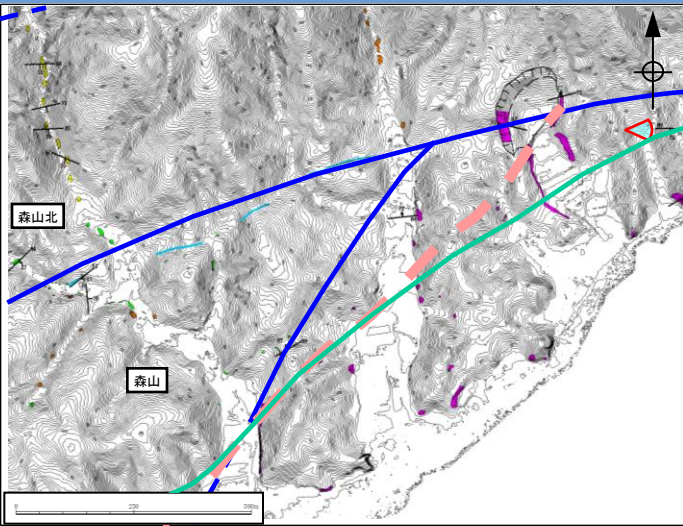
- 変位地形・リニアメント(Dランク)
- 原子力安全委員会のワーキンググループ3第17回会合参考資料第2号(2009)に記載された推定活断層の位置
- 鹿野・吉田(1985)による断層, 伏在断層
- 今泉ほか編(2018)による宍道(鹿島)断層

露頭位置	露頭岩種
FFD	泥岩
層理面の走向・傾斜	砂岩
F/D	礫岩
断層面の走向・傾斜	安山岩質火砕岩
	デイサイト質火砕岩
	流紋岩・流紋岩質火砕岩

・ b断層及びc断層では、いずれも逆断層変位を示唆する構造が認められる。  
・ 本地点で確認された断層は熱水変質とみられる粘土化が進み、軟質となるものの、いずれも縦ずれ変位を示す(条線観察は次頁参照)。

・ 山陰地域における応力場の変遷(新第三紀中新世～第四紀)を踏まえると、断層露頭⑦の最新活動面は、逆断層変位を示すb断層, c断層と考えられる。

# 1. 央道断層の評価 (2)地質調査(央道断層の東側) 断層露頭⑦(地表地質踏査)



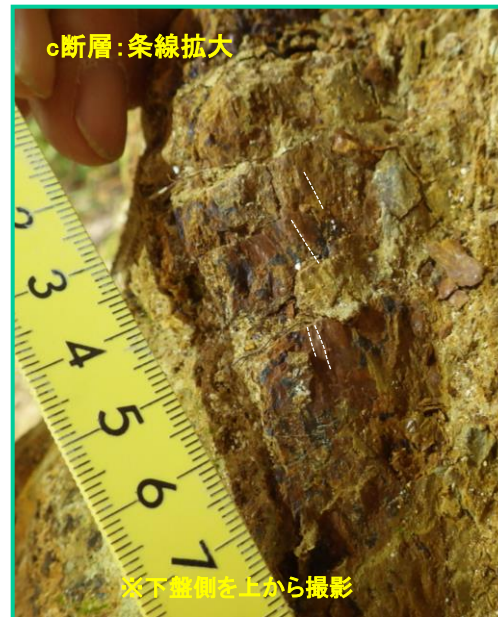
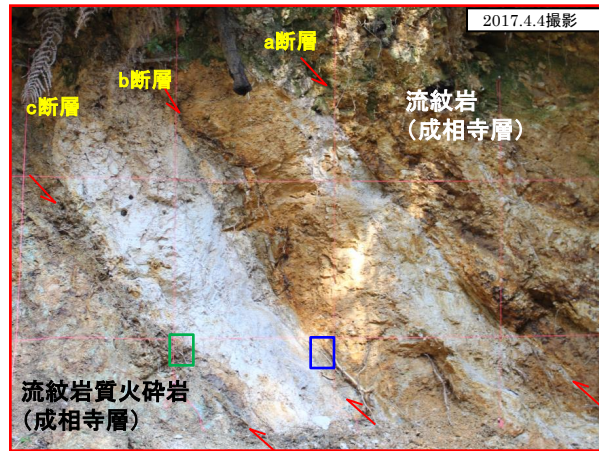
変位地形・リニアメント(Dランク)

- 原子力安全委員会のワーキンググループ3第17回会合参考資料第2号(2009)に記載された推定活断層の位置
- 鹿野・吉田(1985)による断層, 伏在断層
- 今泉ほか編(2018)による央道(鹿島)断層

露頭位置  
層理面の走向・傾斜  
断層面の走向・傾斜

露頭岩種

- 泥岩
- 砂岩
- 礫岩
- 安山岩質火砕岩
- デイサイト質火砕岩
- 流紋岩・流紋岩質火砕岩



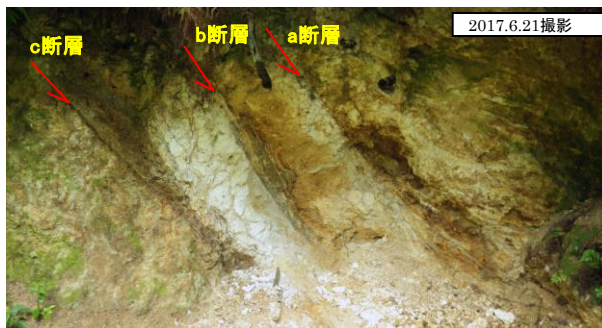
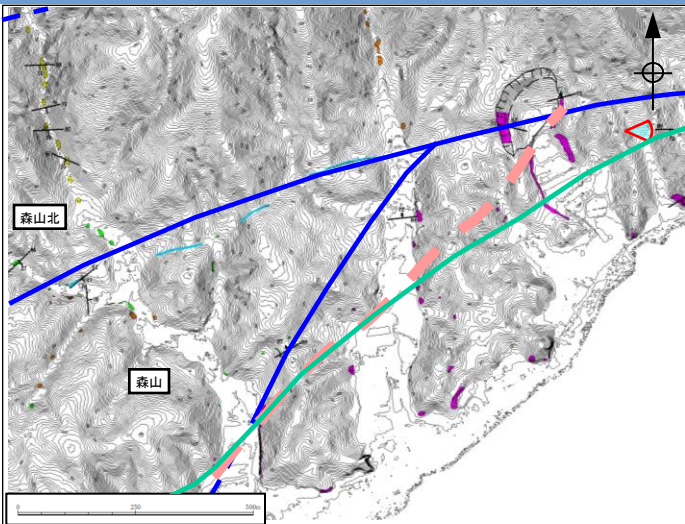
・条線是最急勾配方向であり, T:S46E P:68を示す。



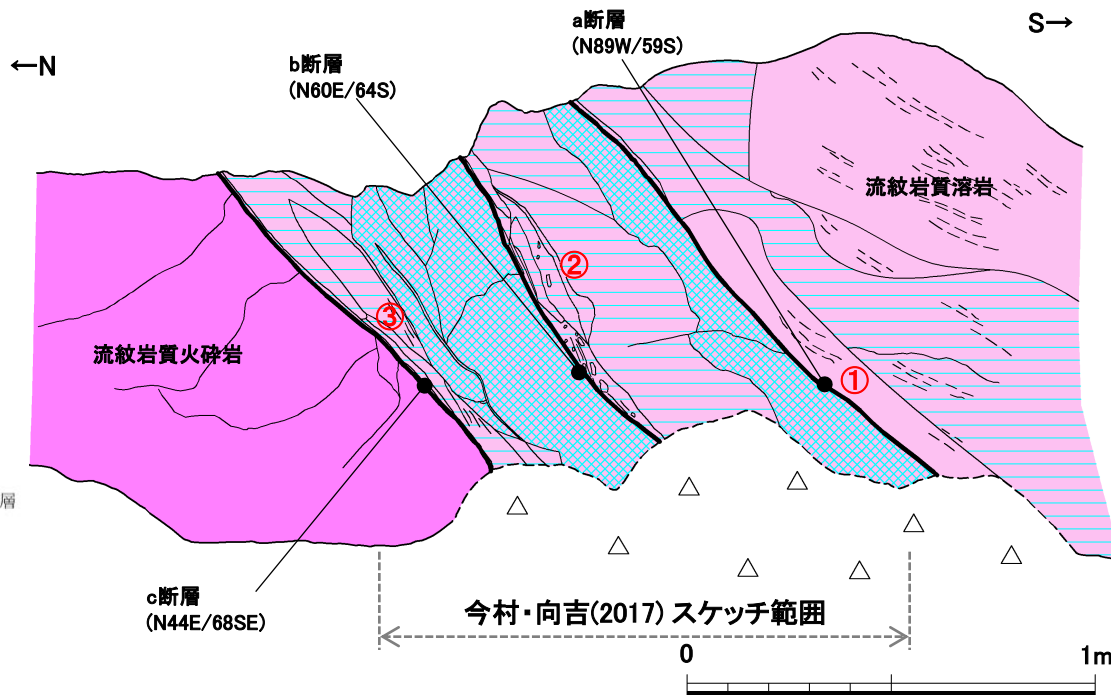
・条線是最急勾配方向に斜交し, T:S8E P:62を示す。

1. 突道断層の評価 (2)地質調査(突道断層の東側)

断層露頭⑦(スケッチ図)



断層箇所近景



- 変位地形・リニアメント(Dランク)
- 原子力安全委員会のワーキンググループ3第17回会合参考資料第2号(2009)に記載された推定活断層の位置
- 鹿野・吉田(1985)による断層, 伏在断層
- 今泉ほか編(2018)による突道(鹿島)断層

- 凡例
- 露頭位置
  - 層理面の走向・傾斜
  - 断層面の走向・傾斜
  - 露頭岩種
    - 泥岩
    - 砂岩
    - 礫岩
    - 安山岩質火砕岩
    - デイサイト質火砕岩
    - 流紋岩・流紋岩質火砕岩
  - 崖錐堆積物
  - 流紋岩質火砕岩
  - 流紋岩質溶岩
  - 白色変質部
  - 褐色変質部
  - 地質境界
  - 断層
  - 割れ目
  - 流理

今村・向吉(2017) :

- ・南落ちの正断層(a)①中には, 周囲のガウジに比べ, より細粒なガウジを伴う構造が確認でき, せん断面はシャープなものである。
- ・室内における研磨片観察では複合面構造より正断層(b)②が確認できる。
- ・室内における研磨片観察では複合面構造より逆断層(c)③が確認できる。

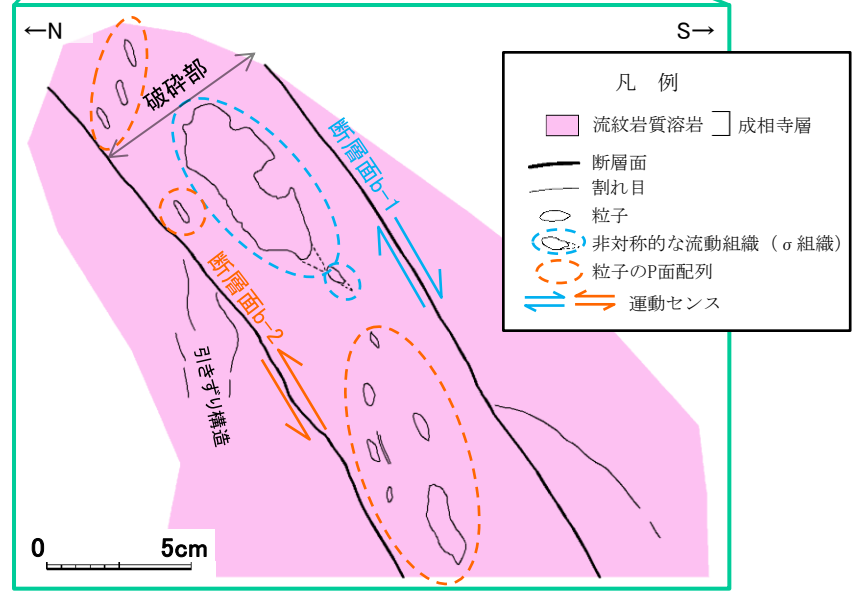
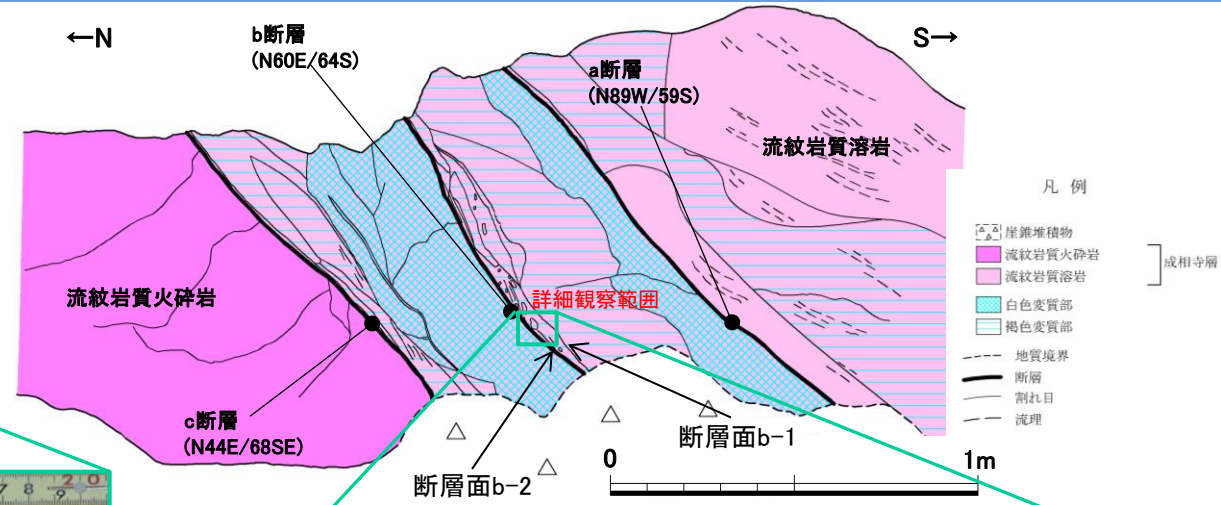
第474回審査会合以降, ブロック試料採取によって掘り込まれた露頭のスケッチを実施した。

○当社の調査結果

- ・①の断層に対して当社は, 正断層(a断層)と評価。
- ・②の断層に対して当社は, 逆断層(b断層)と評価。
- ・③の断層に対して当社は, 逆断層(c断層)と評価。

1. 突道断層の評価 (2)地質調査(突道断層の東側)

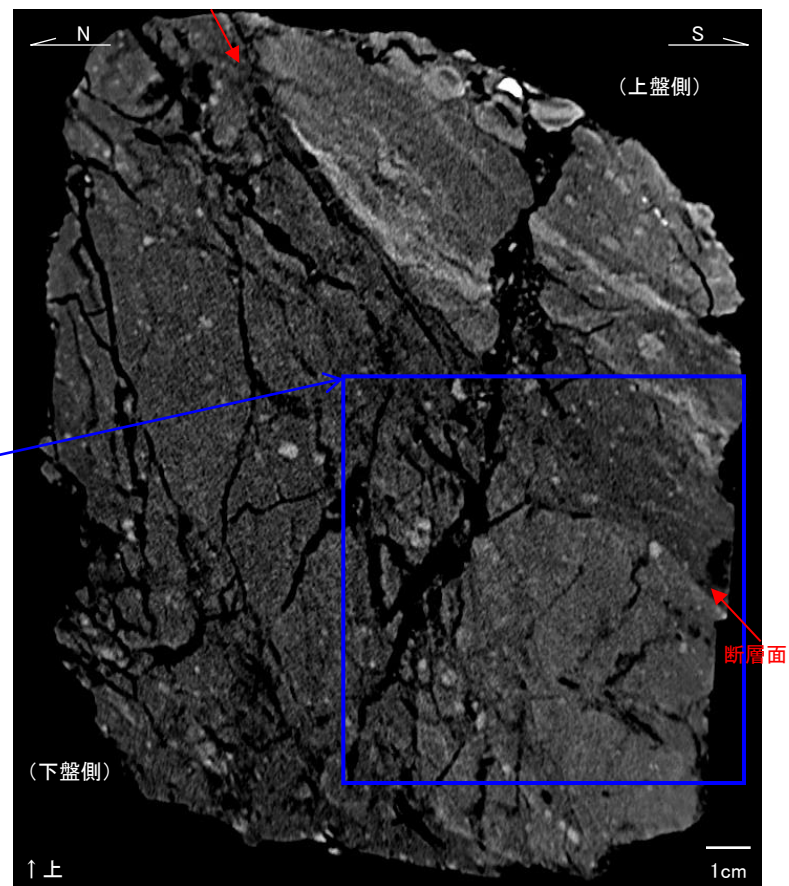
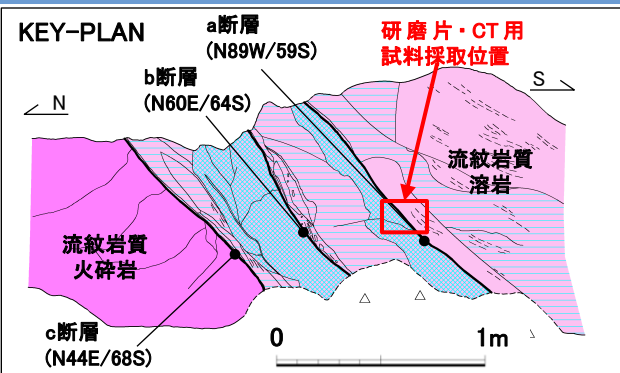
断層露頭⑦ b断層(詳細観察)



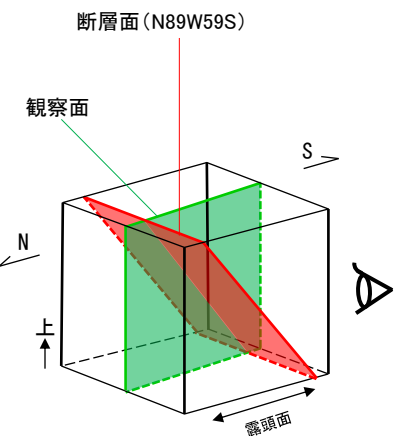
- ・b断層は厚さ5~10cm程度の破碎部を伴い、破碎部の上盤側に平滑性が悪い断層面b-1、下盤側に平滑性の良い断層面b-2が認められる。
- ・断層面b-1に近い箇所では、下盤側の粒子に非対称な流動組織(σ組織)といった正断層変位を示唆する構造が認められる。断層面b-2に近い箇所では、上盤側に粒子のP面配列と下盤側に引きずり構造といった逆断層変位を示唆する構造が認められる。
- ・断層面b-2が平滑な面をなすことから、これをb断層の最新活動面と判断し、b断層として評価する。

1. 突道断層の評価 (2)地質調査(突道断層の東側)

断層露頭⑦(研磨片観察及びCT画像解析(a断層の傾斜方向))



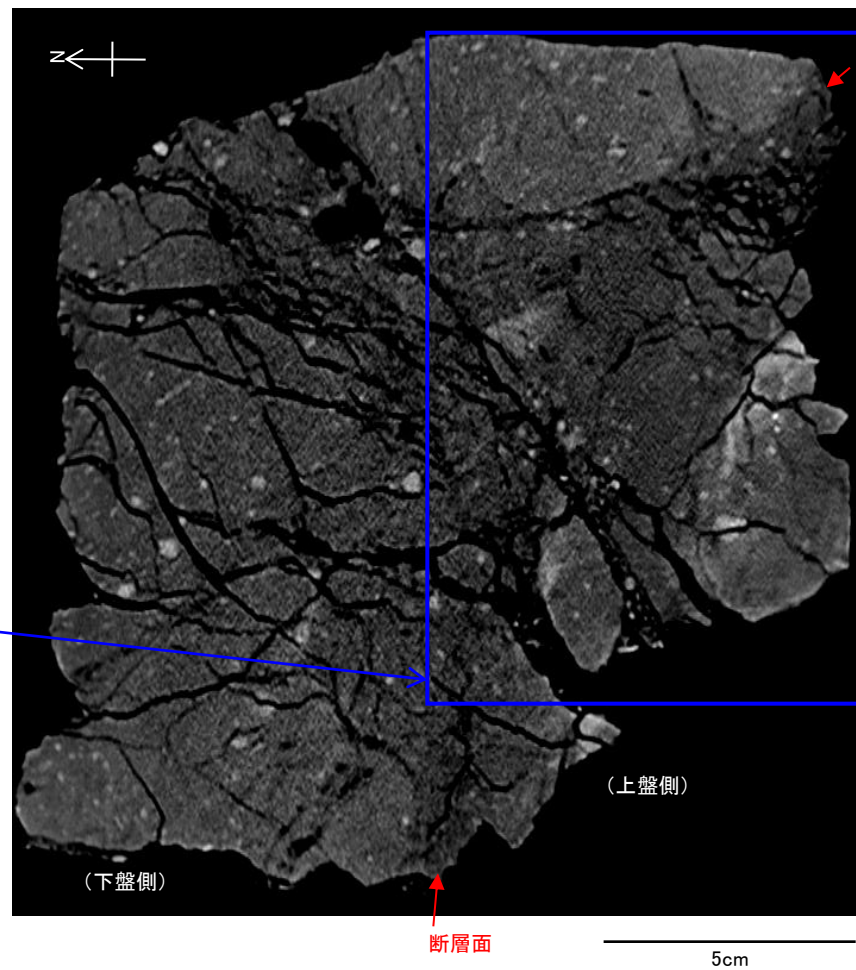
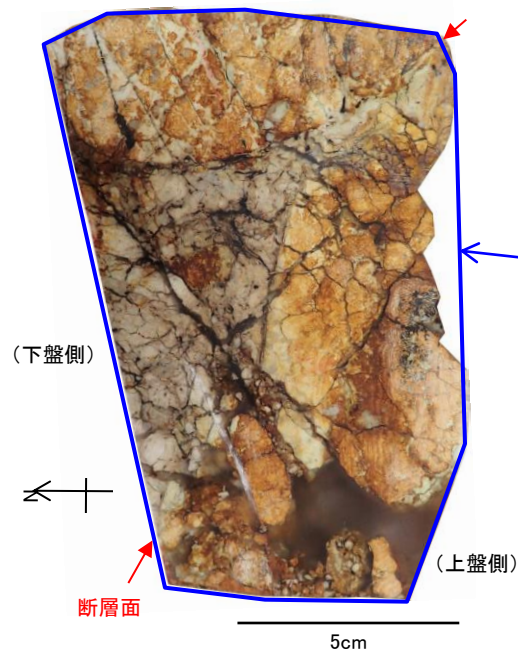
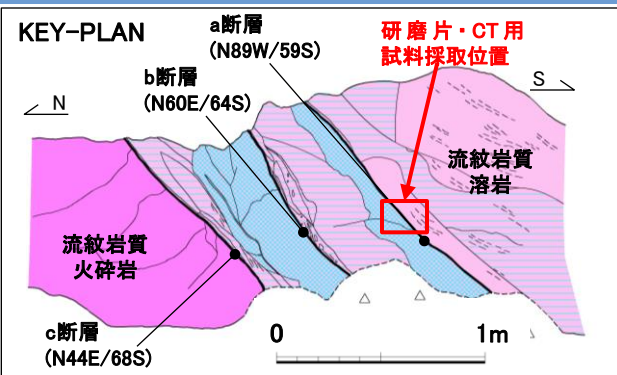
CT画像(断層の傾斜方向)



- ・a断層の傾斜方向の研磨片観察の結果、断層面は部分的に凹凸があり、複合面構造は認められない。
- ・a断層の傾斜方向のCT画像解析の結果、わずかに密度低下が見られるものの断層面は不明瞭である。また、一部の引きずり構造を除き、明瞭な複合面構造は認められない。

1. 突道断層の評価 (2) 地質調査(突道断層の東側)

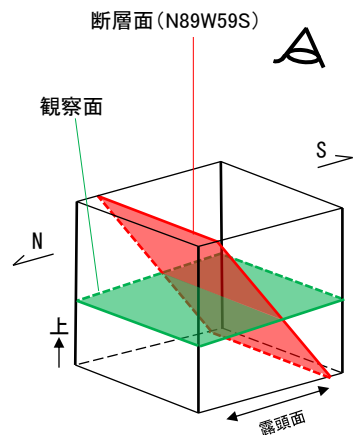
断層露頭⑦(研磨片観察及びCT画像解析(a断層の走向方向))



CT画像(断層の走向方向)

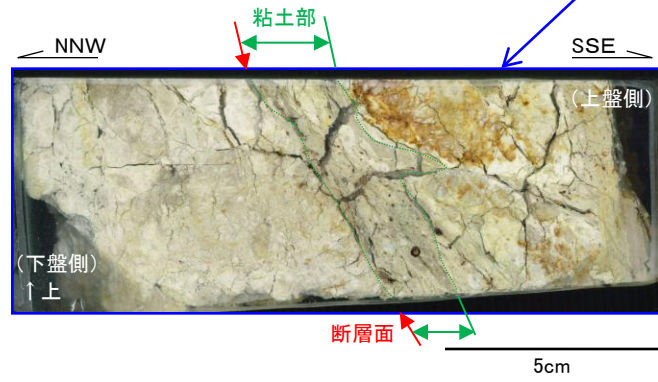
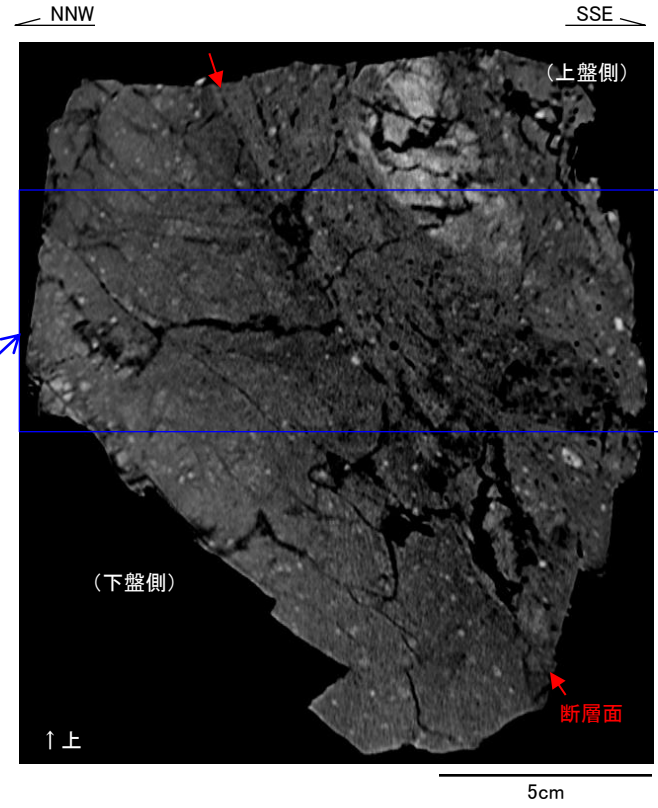
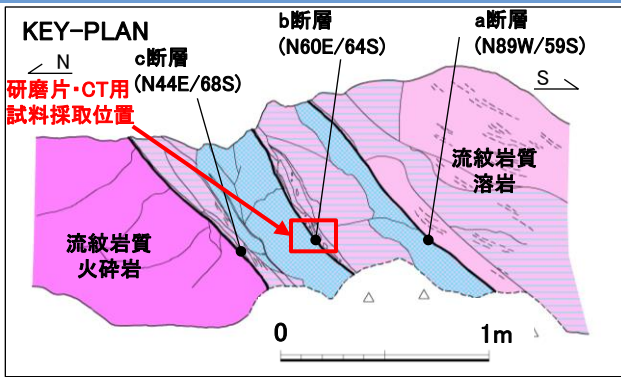
研磨片写真(断層の走向方向)

- ・a断層の走向方向の研磨片観察の結果、断層面は湾曲しており、複合面構造は認められない。
- ・a断層の走向方向のCT画像解析の結果、わずかに密度低下が見られるものの断層面は不明瞭である。また、複合面構造は認められない。



1. 宍道断層の評価 (2) 地質調査(宍道断層の東側)

断層露頭⑦(研磨片観察及びCT画像解析(b断層の傾斜方向))

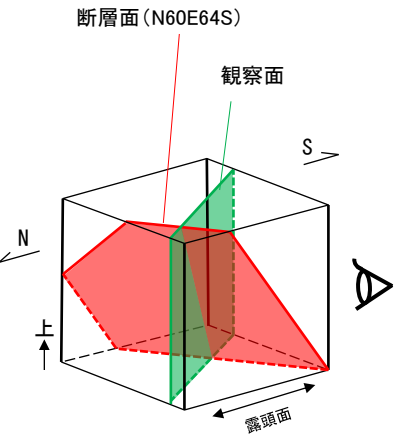


CT画像(断層の傾斜方向)

研磨片写真(断層の傾斜方向)

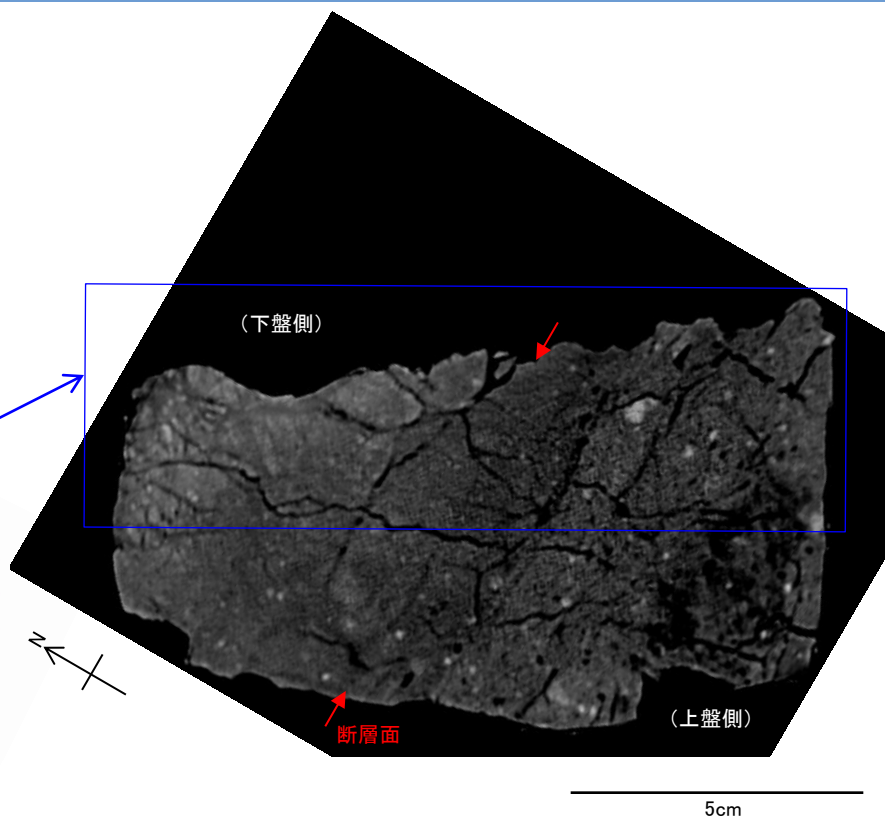
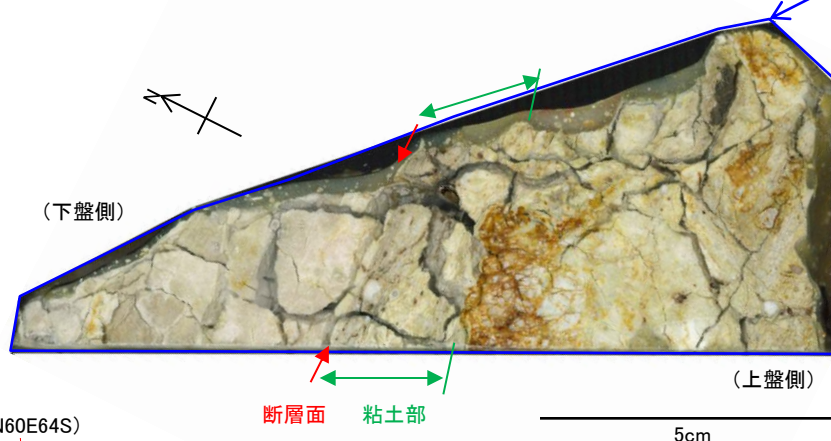
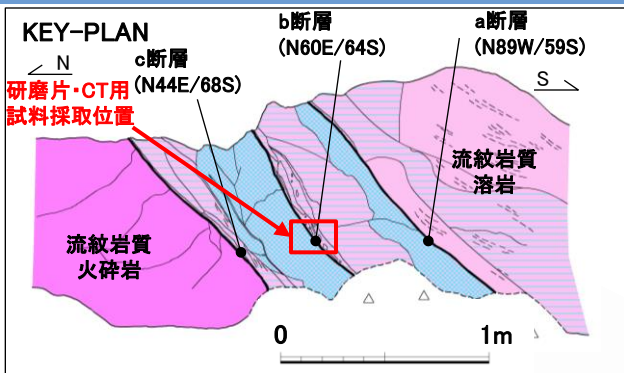
・b断層の傾斜方向の研磨片観察の結果、1~2cm程度の粘土部が認められ、下盤と粘土部の境界に断層面が認められる。断層面は直線性に乏しく、複合面構造は認められない。

・b断層の傾斜方向のCT観察の結果、全体的に熱水変質による粘土化が著しく、断層面付近のみわずかに密度低下が認められる。また、複合面構造は認められない。



1. 宍道断層の評価 (2) 地質調査(宍道断層の東側)

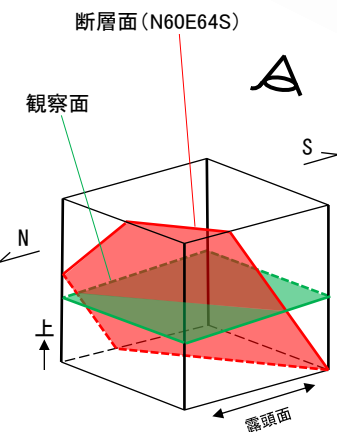
断層露頭⑦(研磨片観察及びCT画像解析(b断層の走向方向))



研磨片写真(断層の走向方向)

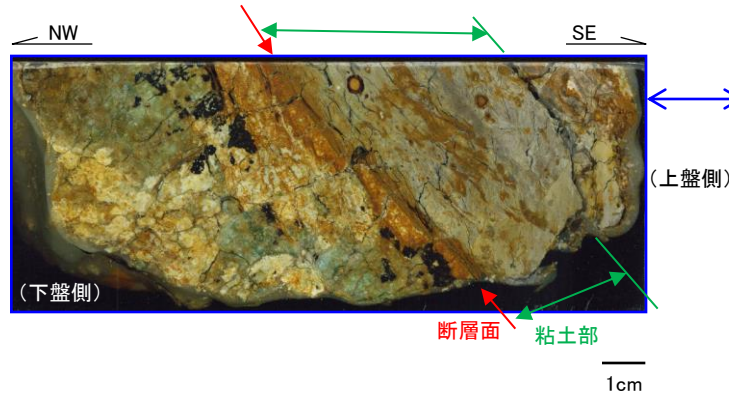
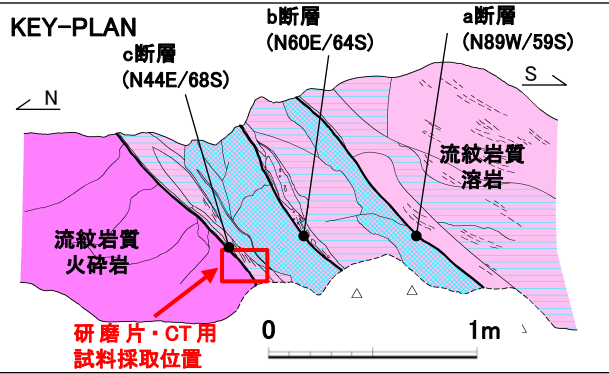
CT画像(断層の走向方向)

- ・b断層の走向方向の研磨片観察の結果、2cm程度の粘土部が認められ、下盤と粘土部の境界に断層面が認められる。断層面は直線性に乏しく、複合面構造は認められない。
- ・b断層の走向方向のCT観察の結果、全体的に熱水変質による粘土化が著しく、断層面付近にわずかに密度低下が認められる。また、複合面構造は認められない。

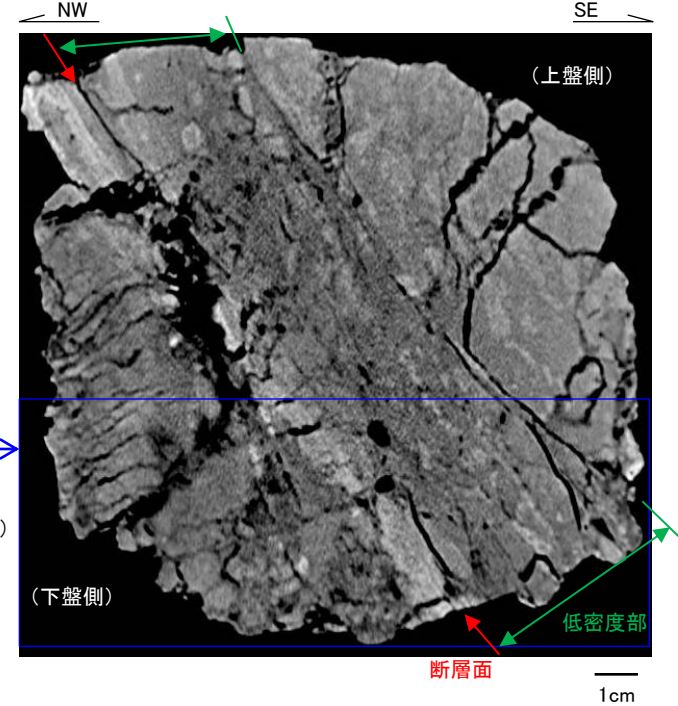


1. 宍道断層の評価 (2) 地質調査(宍道断層の東側)

断層露頭⑦(研磨片観察及びCT画像解析(c断層の傾斜方向))



研磨片写真(断層の傾斜方向)



CT画像(断層の傾斜方向)

断層面(N44E68S)

観察面

S

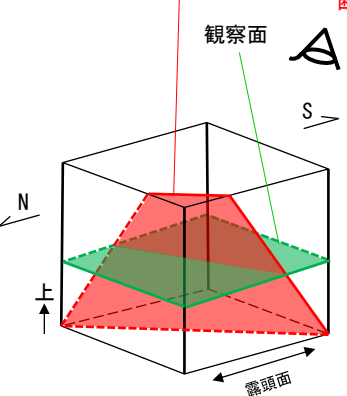
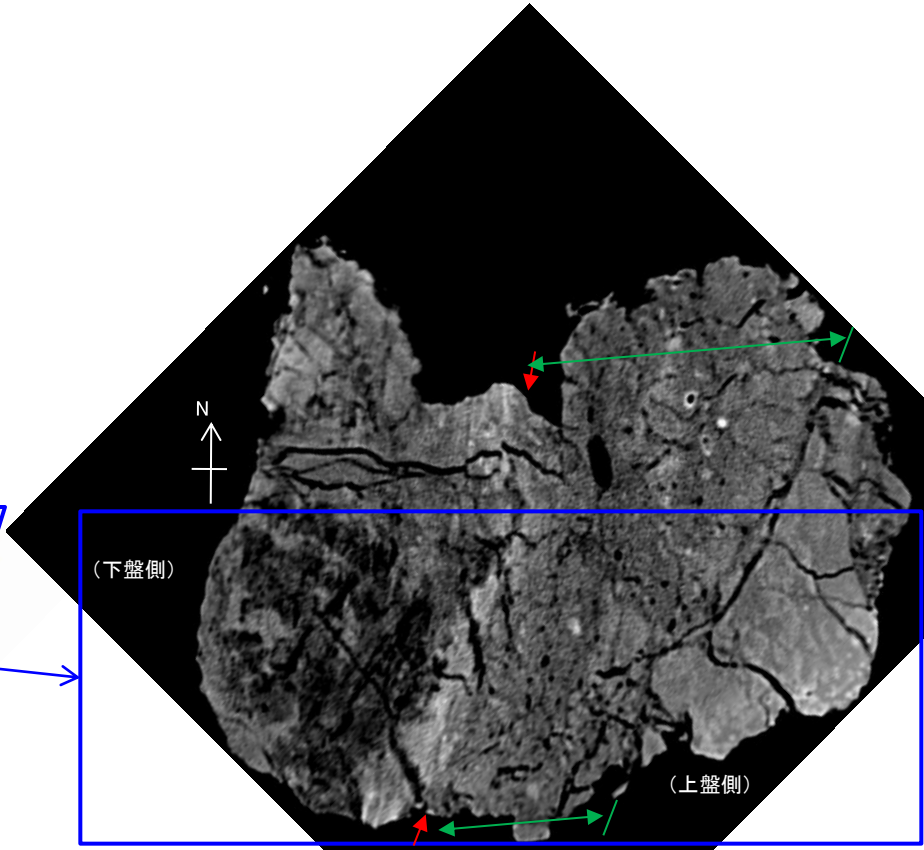
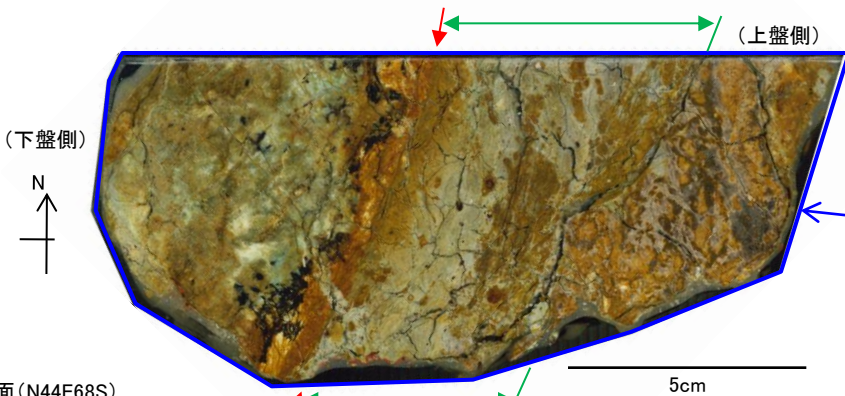
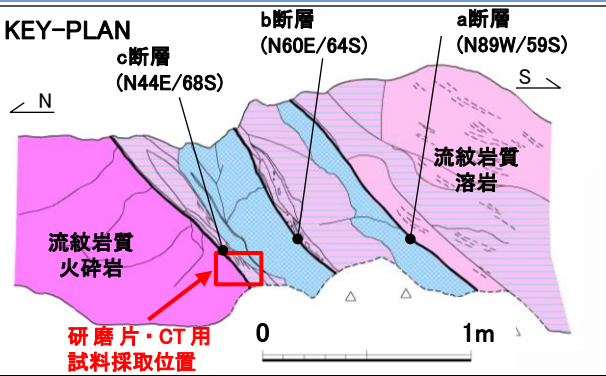
A

露頭面

- ・c断層の傾斜方向の研磨片観察の結果、5cm程度の粘土部が認められ、下盤と粘土部の境界が断層面と考えられるが、直線性に乏しく、不明瞭である。また、複合面構造は認められない。
- ・c断層の傾斜方向のCT観察の結果、研磨片観察で認められた粘土部に対応する低密度部が認められるが、断層面は不明瞭である。また、一部の引きずり構造を除き、明瞭な複合面構造は認められない。

1. 宍道断層の評価 (2) 地質調査(宍道断層の東側)

断層露頭⑦(研磨片観察及びCT画像解析(c断層の走向方向))



研磨片写真(断層の走向方向)

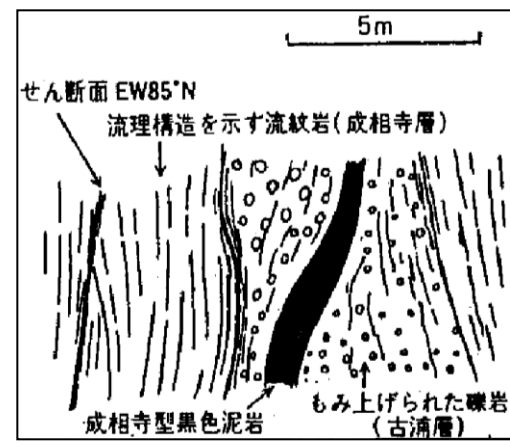
CT画像(断層の走向方向)

- ・c断層の走向方向の研磨片観察の結果、5cm程度の粘土部が認められ、下盤と粘土部の境界が断層面と考えられるが、直線性に乏しく、不明瞭である。また、複合面構造は認められない。
- ・c断層の走向方向のCT観察の結果、研磨片観察で認められた粘土部に対応する低密度部が認められるが、断層面は不明瞭である。複合面構造は認められない。

・a～c断層は、いずれの断層面も直線性が乏しく、複合面構造は認められない。

1. 宍道断層の評価 (2)地質調査(宍道断層の東側)

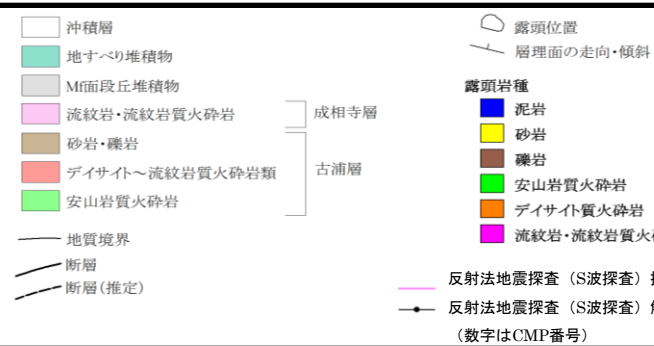
森山付近で確認された断層露頭の連続性・活動性評価



鹿野・吉田(1985)より引用

上図:断層露頭⑤に対応  
下図:断層露頭④に対応

本資料のうち、枠囲みの内容は公開できません。



変位地形・リニアメント(Dランク)

- 原子力安全委員会のワーキンググループ第3第17回会合 参考資料第2号(2009)に記載された推定活断層の位置
- 今泉ほか編(2018)による宍道(鹿島)断層
- 鹿野・吉田(1985)による断層, 推定断層, 伏在断層

「断層露頭④, 断層露頭⑤及び断層露頭⑥」と、「森山ボーリング調査, 森山トレンチ調査及び断層露頭調査により確認された断層」について, 鹿野・吉田(1985)に示されている断層に対応する破碎幅が数m～数10m程度, 破碎部に泥岩が取り込まれている, 地質境界付近に位置する等の共通的特徴が認められることから, 鹿野・吉田(1985)による断層に対応する断層と考えられる。森山トレンチ調査等の結果, 後期更新世以降の断層活動は認められない。「森山北(ピット調査)」では, 鹿野・吉田(1985)の宍道断層の通過位置に対応するが, 後期更新世以降の断層活動は認められない。

## 1. 宍道断層の評価 (2)地質調査(宍道断層の東側)

## 森山付近(まとめ)

## 1. 地表地質踏査

- ・造成地付近の地表地質踏査の結果、複数の断層露頭(断層露頭④～⑦)を確認している。
- ・森山(造成地付近)における今村・向吉(2017)(断層露頭④, 断層露頭⑥-2及び断層露頭⑦)を踏まえ、データ拡充を実施した。
- ・データ拡充結果を踏まえた各断層露頭の性状は、以下のとおりである(第474回審査会合以降のデータ拡充部は下線部)。

## (1)断層露頭④(造成地の南西側の露頭)

- ・今村・向吉(2017)によると、「流紋岩、泥岩基質の礫層中に断層を確認。露頭における複合面構造、条線姿勢より高角の右横ずれを伴う南落ち正断層であることが示唆される。」とされている。
- ・鹿野・吉田(1985)による断層通過位置付近に断層が確認される。断層は破碎幅50cm程度で風化が進み、直線性に乏しい。
- ・研磨片観察及びCT画像解析の結果、断層面は湾曲しており、複合面構造は認められない。

## (2)断層露頭⑤(造成地の西側法面の露頭)

鹿野・吉田(1985)による断層通過位置付近に断層が確認される。

## ・断層露頭⑤-1

断層は、幅0.2m～1m程度の破碎部を伴うが、断層面には連続する粘土は認められない。また、断層の上部は破碎を受けておらず、断層面は密着している。

## ・断層露頭⑤-2

断層は、破碎幅は最大で70cm程度で一部風化が進んでいるが、固結・密着している。

## 1. 宍道断層の評価 (2)地質調査(宍道断層の東側)

## 森山付近(まとめ)

## (3)断層露頭⑥(造成地の東側法面の露頭)

鹿野・吉田(1985)による断層通過位置付近に断層が確認される。

## ・断層露頭⑥-1

断層は、固結・密着している。

## ・断層露頭⑥-2

## ・今村・向吉(2017)

「古浦層と成相寺層を隔てる断層で破碎帯(約15m)が確認でき、断層コア部(幅約1m)中では細粒のガウジとともにせん断面を確認。姿勢は東西走向のものが多く、条線の姿勢は水平に限らず垂直に近いものも確認できる。」とされている。

## ・c断層

古浦層の安山岩質火砕岩と、成相寺層の流紋岩質火砕岩を境する断層(c断層)が認められる。最新活動面と判断される断層面①には、縦ずれ優勢の条線が認められる。なお、断層面②では、横ずれ優勢の条線が認められる。また、c断層付近を境に北側と南側で色調が異なるのは、間隙率の違いによる風化程度の違いと考えられる。

## ・d断層

古浦層の安山岩質火砕岩中に、小断層(d断層)が認められる。断層面には、縦ずれ優勢の条線(逆断層センス)が認められる。断層面付近では、全体的に熱水変質作用を被っており、網目状の白色脈が認められる。

## ・e断層

古浦層の安山岩質火砕岩中に、大きく屈曲する小断層(e断層)が認められる。

## ・熱水変質部

## ・熱水変質部(中央)

古浦層の安山岩質火砕岩中に、網目状の白色脈で特徴付けられる熱水変質が全体的に認められる。その中で、ゆるく湾曲し連続性に乏しい性状を示す小断層が見られる箇所では試料採取を行い、各種分析を実施した結果、断層面には、濁沸石が晶出しており、それに変位・変形が認められないことから、後期更新世以降の活動性はないと考えられる。

## ・熱水変質部(北側、南側)

CT画像解析の結果、明瞭なせん断面及び複合面構造は認められないことから、熱水に伴う粘土脈と考えられる。  
また、実体顕微鏡観察の結果、縦ずれ優勢の条線(正断層センスあるいは逆断層センス)である。

## 1. 宍道断層の評価 (2)地質調査(宍道断層の東側)

## 森山付近(まとめ)

## (4)断層露頭⑦(造成地の南東側の露頭)

- ・今村・向吉(2017)によると、「流紋岩(成相寺層)中に南落ちの低角な正断層を確認。室内観察の結果、正断層、逆断層センスの断層が伏在していることが確認できる。」とされている。
- ・鹿野・吉田(1985)による断層通過位置付近に、3条の断層が確認され、南より正断層変位を示すa断層、逆断層変位を示すb断層、逆断層変位を示すc断層である。本地点で確認された断層は熱水変質とみられる粘土化が進み、軟質となるものの、いずれも縦ずれ変位を示す。  
山陰地域における応力場の変遷を踏まえると、最新活動面は、逆断層変位を示すb断層、c断層と考えられる。
- ・a~c断層の研磨片観察及びCT画像解析の結果、いずれの断層面も直線性に乏しく、複合面構造は認められない。

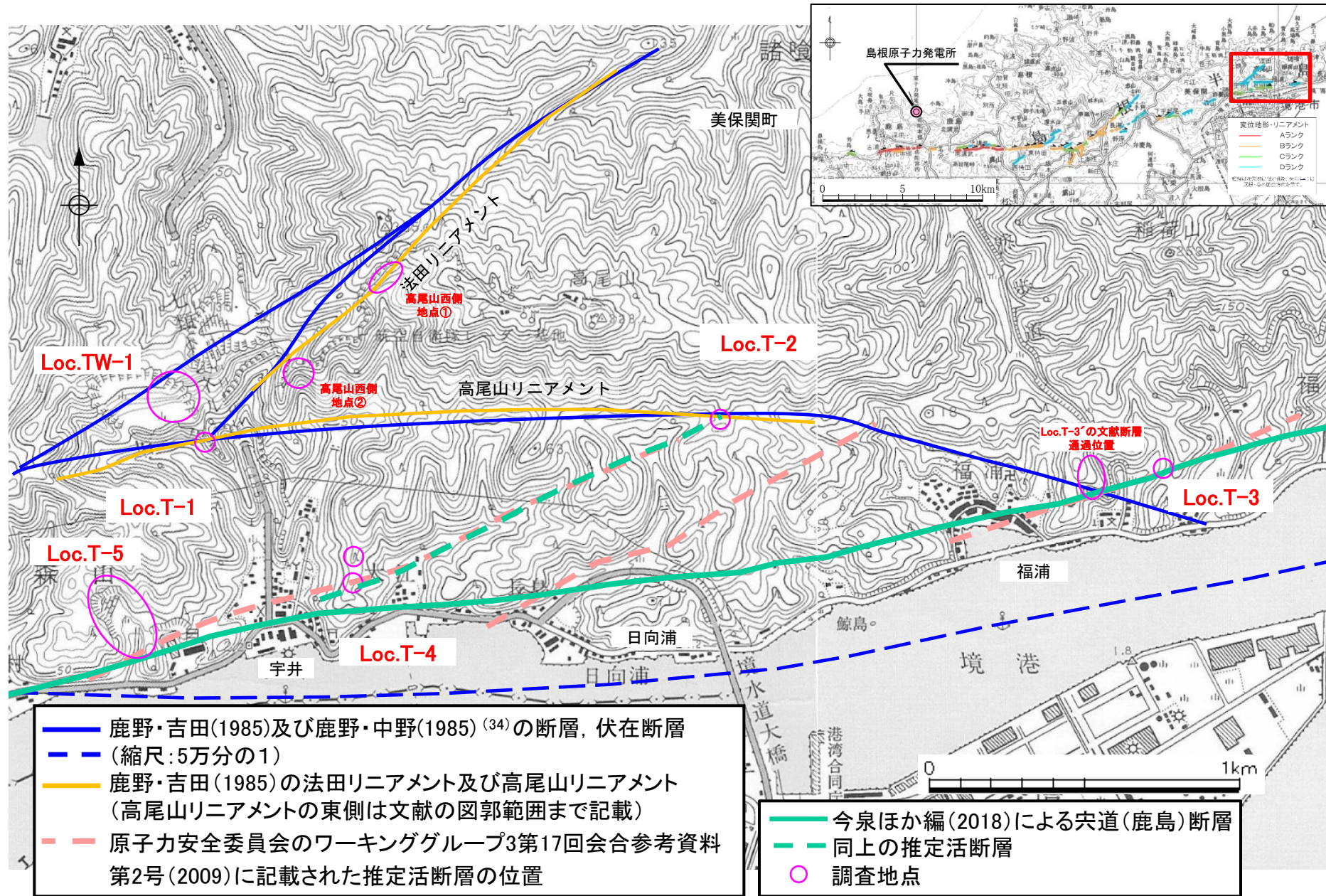
## 2. 断層露頭の連続性・活動性評価

- ・森山の造成地付近で確認された断層露頭の連続性確認の結果、「断層露頭④、断層露頭⑤及び断層露頭⑥」と、「森山ボーリング調査、森山トレンチ調査及び断層露頭調査により確認された断層」については、破碎幅が数m~数10m程度、破碎部に泥岩が取り込まれている、地質境界付近に位置する等の共通的な特徴が認められることから、鹿野・吉田(1985)に示されている断層に対応する断層と考えられる。
- ・上記断層について、森山トレンチ調査等の結果、後期更新世以降の断層活動は認められない。

## 3. まとめ

地表地質踏査(造成地付近)で確認された断層露頭について、上載地層(後期更新世の地層)が存在しないため、上載地層による評価ができないが、個別地点の露頭観察及び室内試験の結果及び断層露頭の連続性・活動性評価の結果を踏まえると、後期更新世以降の活動は認められないと考えられる。

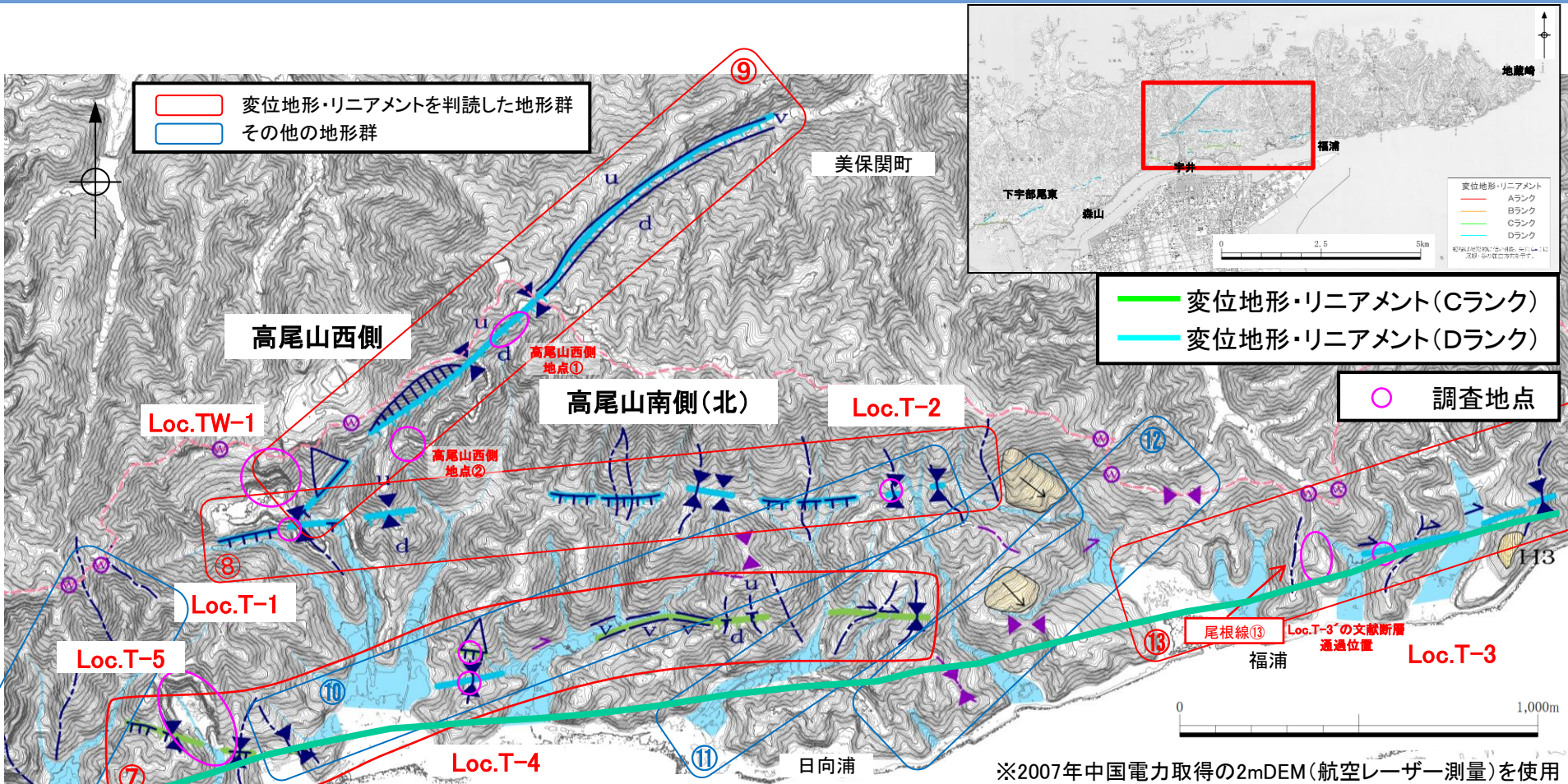
# 宇井～福浦(文献調査)



— 鹿野・吉田(1985)及び鹿野・中野(1985)<sup>(34)</sup>の断層, 伏在断層  
 - - (縮尺: 5万分の1)  
 — 鹿野・吉田(1985)の法田リニアメント及び高尾山リニアメント  
 (高尾山リニアメントの東側は文献の図郭範囲まで記載)  
 - - 原子力安全委員会のワーキンググループ3第17回会合参考資料  
 第2号(2009)に記載された推定活断層の位置

— 今泉ほか編(2018)による宍道(鹿島)断層  
 - - 同上の推定活断層  
 ○ 調査地点

# 1. 宍道断層の評価 (2) 地質調査(宍道断層の東側) 宇井～福浦(変動地形学的調査)



変位地形・リニアメント(Cランク)  
変位地形・リニアメント(Dランク)

○ 調査地点

・美保関町宇井から福浦の間では、変位地形は不明瞭であるが、北側には鞍部列を境に南側の山地高度が低く、崖地形が断続的に認められる。また、南側には、尾根・谷の屈曲、鞍部、直線谷が断続的に認められる。

・高尾山西側には、直線谷と鞍部が認められ、山地高度は北西側がやや高い。

※2007年中国電力取得の2mDEM(航空レーザー測量)を使用

地形要素 (変位地形・リニアメントを判読したもの)		地形要素 (その他の地形群)		地形面	
	崖		崖		H13面
	急斜面		谷線(▲は屈曲の方向を示す)		高位面群
	三角末端面		尾根線(▲は屈曲の方向を示す)		地すべり
	高度不連続		鞍部		
	谷線(▲は屈曲の方向を示す)		風隙		
	尾根線(▲は屈曲の方向を示す)				
	鞍部				
	直線状の谷				
					分水界(風隙・截頭谷の谷頭含む)

1. 宍道断層の評価 (2)地質調査(宍道断層の東側)

判読内容(変位地形・リニアメント, その他の地形群)

変位地形・リニアメント及びその他の地形群一覧表(宇井～福浦)

番号	変位地形・リニアメント及びその他の地形群の判読内容			活断層研究会編(1991), 中田ほか(2008), 原安委WG3(2009)及び今泉ほか編(2018)との対比
	変位地形・リニアメントのランク	地形要素	理由	
⑥ (再掲)	—	2箇所 <sup>①</sup> の崖, 7本の尾根, 2箇所 <sup>②</sup> の風隙からなり, 山地高度は北西が高い。しかし, 地形群は連続性, 鮮明さに欠ける。また, 尾根・谷に明瞭な屈曲は認められない。	系統的な屈曲地形は認められず, 地形群が同一方向に横ずれしたと解釈できない。また, 高度差も系統的ではない。地形群は連続性に乏しく, 鮮明さに欠け, 長さは短いことから変動地形の可能性はない。	—
⑦	C, D(高尾山南側(南))	5箇所 <sup>③</sup> の鞍部, 7箇所 <sup>④</sup> の崖, 各1箇所 <sup>⑤</sup> の三角末端面, 直線状谷による北上がりの高度不連続。2本の谷の右屈曲, 1本の尾根の右屈曲。しかし, その他の尾根・谷に明瞭な屈曲は認められない。	谷と尾根の屈曲があり, 地形群にある程度の連続性を持つが, 系統性が顕著でないことからC, Dランクとした。Cランクの部分は鞍部地形が鮮明な箇所である。	・今泉ほか編(2018)の活断層に対応
⑧	D(高尾山南側(北))	北上がりの山地高度不連続, 斜面基部に6箇所 <sup>⑥</sup> の鞍部, 6箇所 <sup>⑦</sup> の崖。谷の屈曲はなく縦ずれの可能性有。しかし, 新期地形面に新しい変位を示唆する低断層崖等は無い。	山地高度不連続をなし, 山麓に鞍部が多数あり, 地形群にある程度の長さがあるが, 新期の活動を示唆する地形がないことからDランクとした。	・活断層研究会編(1991)の高尾山(確実度Ⅲ)に対応
⑨	D(法田)	北上がりの山地高度不連続, 直線状谷, 急斜面, 崖, 三角末端面, 2箇所 <sup>⑧</sup> の鞍部。しかし, 新期地形面に新しい変位を示唆する低断層崖等は無い。	山地高度不連続の山麓に鞍部等があり, 地形群にある程度の長さがあるが, 新期の活動を示唆する地形がないことからDランクとした。	・活断層研究会編(1991)の法田(確実度Ⅲ)に対応
⑩	—	5箇所 <sup>⑨</sup> の鞍部, 1本の谷の右屈曲, 各1箇所 <sup>⑩</sup> の三角末端面, 直線状谷による北上がりの高度不連続。しかし, その他の尾根・谷に明瞭な屈曲は認められない。	番号⑦と重複し, 東半分で位置が北にずれる。東半分には屈曲地形が認められないことから, 番号⑦のトレースが妥当と判断する。	・原安委WG(2009)及び今泉ほか編(2018)の推定活断層に対応
⑪	—	1箇所 <sup>⑪</sup> の鞍部, 1本の尾根の右屈曲, 1本の谷の右屈曲。しかし, その他の尾根・谷に明瞭な屈曲は認められず, 連続性が悪く, 明瞭な地形要素が認められない。山地高度に顕著な差がない。	番号⑦と斜交し, 北東へ延びる。連続性は悪く, 明瞭な地形要素はなく, 系統的な屈曲地形及び高度差も認められないことから, 番号⑦のトレースが妥当と判断する。	・原安委WG(2009)の推定活断層に対応

(注)原安委WG3(2009):原子力安全委員会ワーキンググループ3第17回会合参考資料第2号(2009)

下線部:縦ずれ変位に起因する地形に関する記載箇所

新期地形面:扇状地堆積物, 崖錐堆積物等からなる地形面

1. 宍道断層の評価 (2)地質調査(宍道断層の東側)

判読内容(変位地形・リニアメント, その他の地形群)

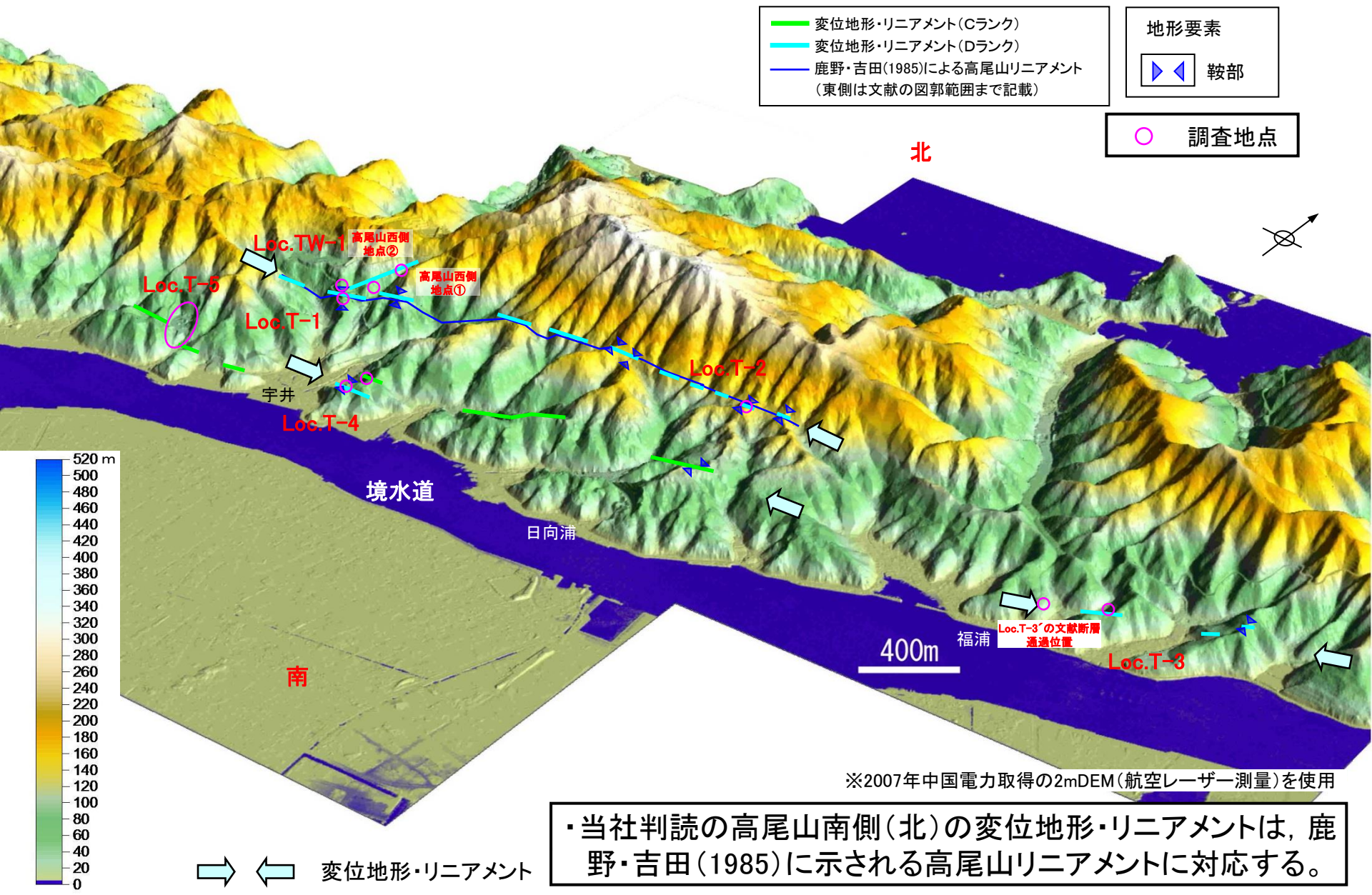
変位地形・リニアメント及びその他の地形群一覧表(宇井～福浦)

番号	変位地形・リニアメント及びその他の地形群の判読内容			活断層研究会編(1991), 中田ほか(2008), 原安委WG3(2009)及び今泉ほか編(2018)との対比
	変位地形・リニアメントのランク	地形要素	理由	
⑫	—	3箇所の鞍部, 1本の谷の右屈曲, 1箇所の風隙。しかし, その他の尾根・谷に明瞭な屈曲は認められない。尾根高度はわずかに北上がりであるが, 鞍部の連続性は悪く, 明瞭な地形要素は認められない。	連続性は悪く, 明瞭な地形要素はなく, 系統的な屈曲地形及び高度差も認められないことから変動地形の可能性はない。	—
⑬	D(高尾山南側(南))	隣り合う2本の谷, 1本の尾根が右屈曲。東延長に1箇所の鞍部。尾根高度はわずかに北が高い。なお, 西延長の尾根線⑬に右屈曲は認められない。	系統的な右屈曲が局地的に認められるが, 地形群の長さは非常に短いことからDランクとした。	・原安委WG(2009)の推定活断層及び今泉ほか編(2018)の活断層に対応

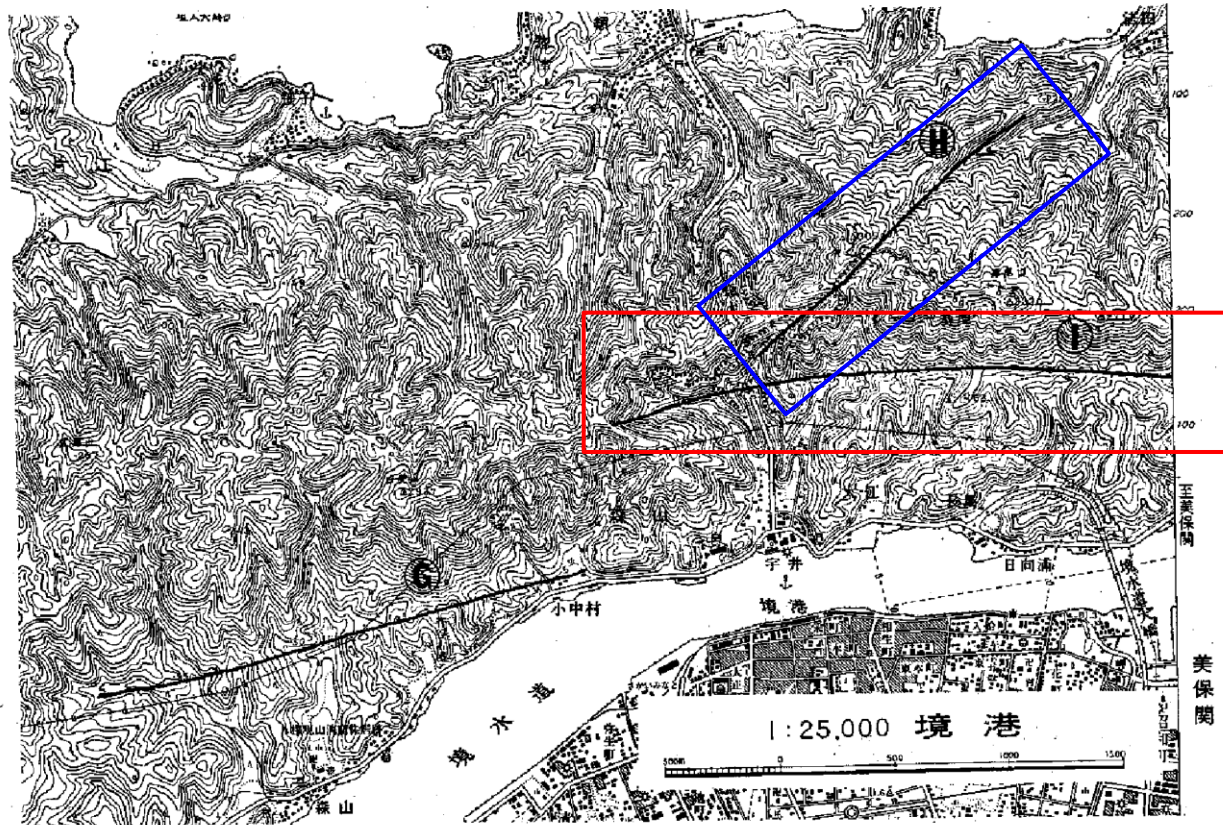
(注)原安委WG3(2009):原子力安全委員会ワーキンググループ3第17回会合参考資料第2号(2009)

下線部:縦ずれ変位に起因する地形に関する記載箇所

# 1. 宍道断層の評価 (2) 地質調査(宍道断層の東側) 宇井～福浦(変動地形学的調査)



# 宇井～福浦(変位地形・リニアメントの成因)



第29図 境水道北側のリニアメント (国土地理院発行2万5千分の1「境港」の一部を使用)

⑥：森山リニアメント

⑦：法田リニアメント

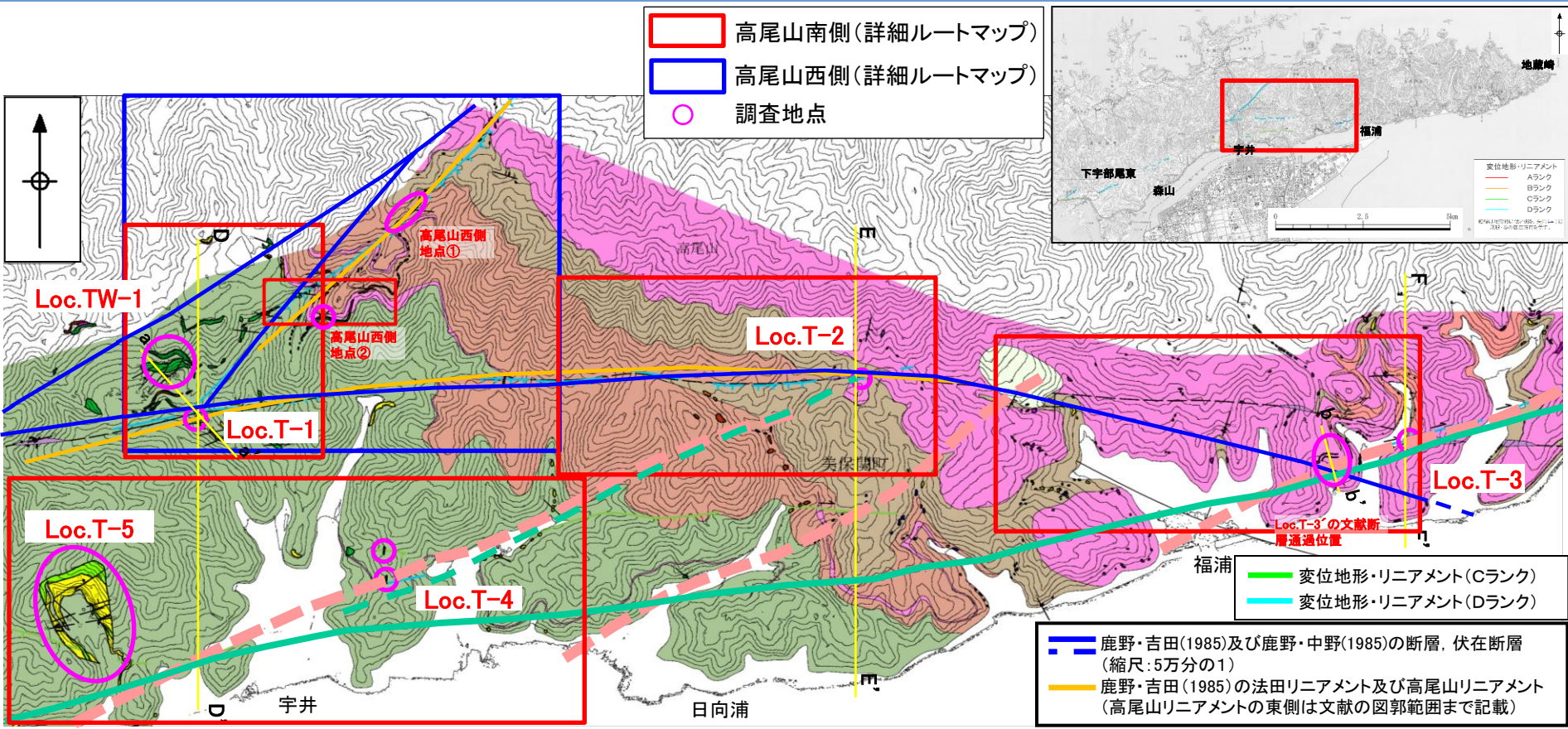
⑧：高尾山リニアメント

鹿野・吉田(1985)より引用・加筆

- ・鹿野・吉田(1985)によると、高尾山リニアメントの成因について、「地質断層とリニアメントが一致するものの、リニアメントに沿って確実に断層変位地形と認められるものがないこと及び断層両側の地層の浸食に対するコントラストが大きいことなどから、リニアメントは組織地形であると判断される。」とされている。
- ・法田リニアメントについては、「北東-南西方向のリニアメント。このリニアメントは地質の上では古浦層を切る断層に一致し、断層の走向はほぼNE-SW、傾斜は50-70° NWであり、正断層である。地質断層と一致し、明瞭なリニアメントとして認められるものの断層変位地形は伴っていない。」とされている。

# 1. 宍道断層の評価 (2) 地質調査(宍道断層の東側)

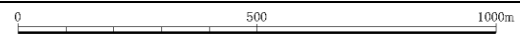
## 宇井～福浦(地表地質踏査(地質図))



— 今泉ほか編(2018)による宍道(鹿島)断層  
 - - 同上の推定活断層  
 - - 原子力安全委員会のワーキンググループ3  
 第17回会合参考資料第2号(2009)に記載された  
 推定活断層の位置

・高尾山南側及び高尾山西側における詳細ルートマップを作成した。  
 ・D-D'断面図付近では、文献調査及び変動地形学的調査の結果、Loc.T-1において断層が認められる。

- 沖積層
  - 地すべり堆積物
  - デイサイト・玄武岩・安山岩(貫入岩)
  - デイサイト(溶岩・火砕岩)
  - 砂岩・泥岩
  - 砂岩
  - 流紋岩質火砕岩
  - 礫岩・火山円礫岩
- 古浦層



- 地質境界線
- 断層
- - 断層(推定)
- ✳ 向斜軸

- 露頭位置
- 層理面の走向・傾斜
  - 断層面の走向・傾斜
- 露頭岩種
- 貫入岩
  - 泥岩
  - 砂岩
  - 砂岩・泥岩互層
  - 礫岩
  - 安山岩質火砕岩
  - デイサイト(溶岩・火砕岩)
  - 流紋岩質火砕岩

— 変位地形・リニアメント(Cランク)  
 — 変位地形・リニアメント(Dランク)

— 鹿野・吉田(1985)及び鹿野・中野(1985)の断層, 伏在断層(縮尺:5万分の1)  
 — 鹿野・吉田(1985)の法田リニアメント及び高尾山リニアメント(高尾山リニアメントの東側は文献の図郭範囲まで記載)

# 1. 宍道断層の評価 (2) 地質調査(宍道断層の東側) (参考) 地表地質踏査(ルート図)

露頭位置  
層理面の走向・傾斜  
断層面の走向・傾斜

露頭岩種

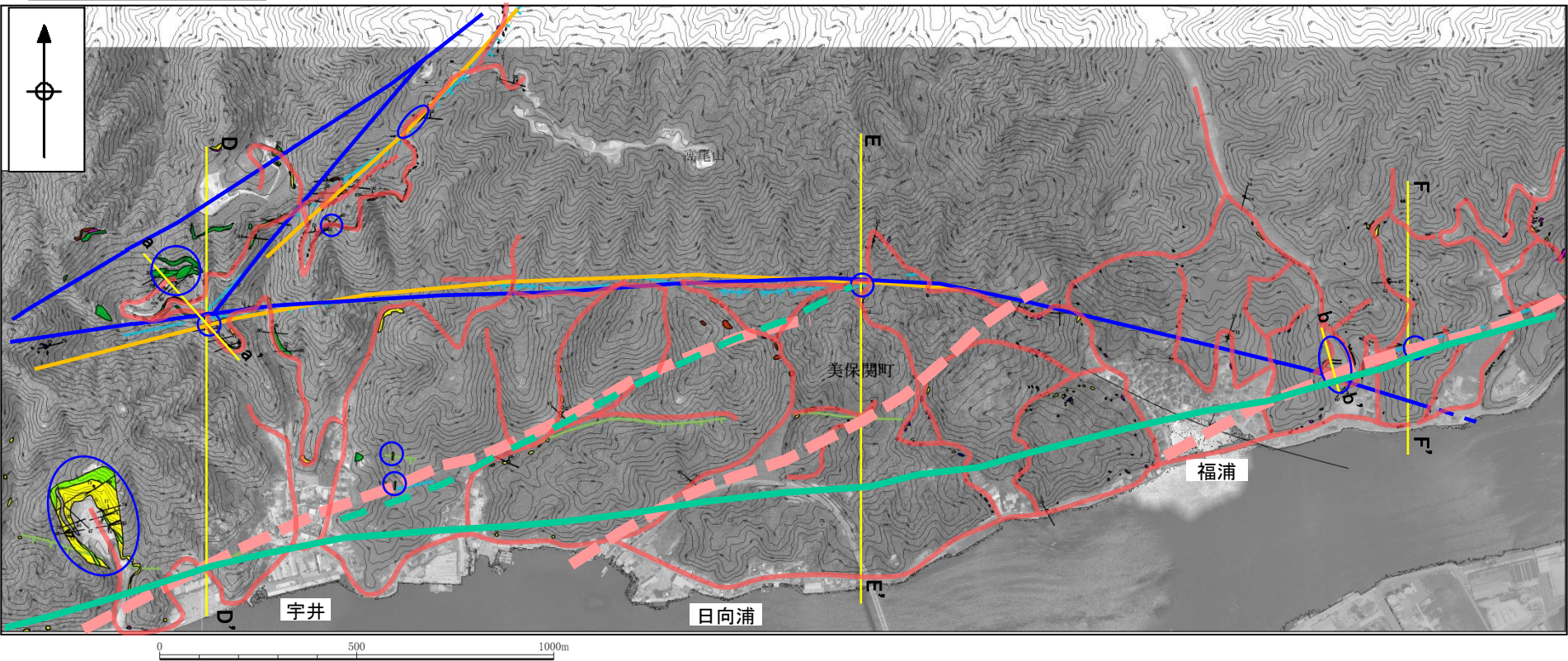
- 貫入岩
- 泥岩
- 砂岩
- 砂岩・泥岩互層
- 礫岩
- 安山岩質火砕岩
- デイサイト(溶岩・火砕岩)
- 流紋岩質火砕岩

○ 調査地点

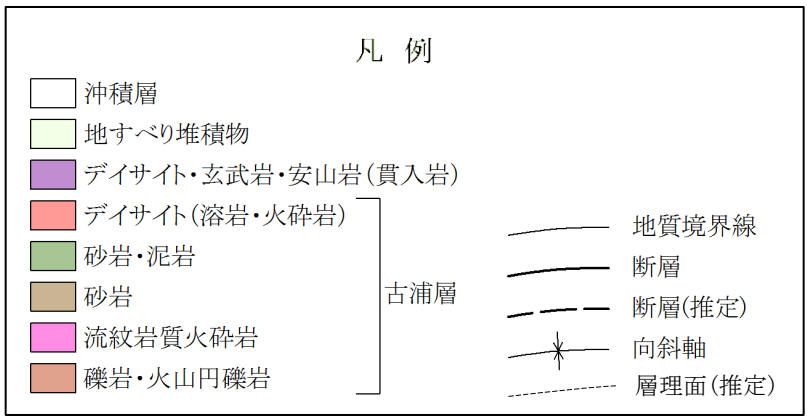
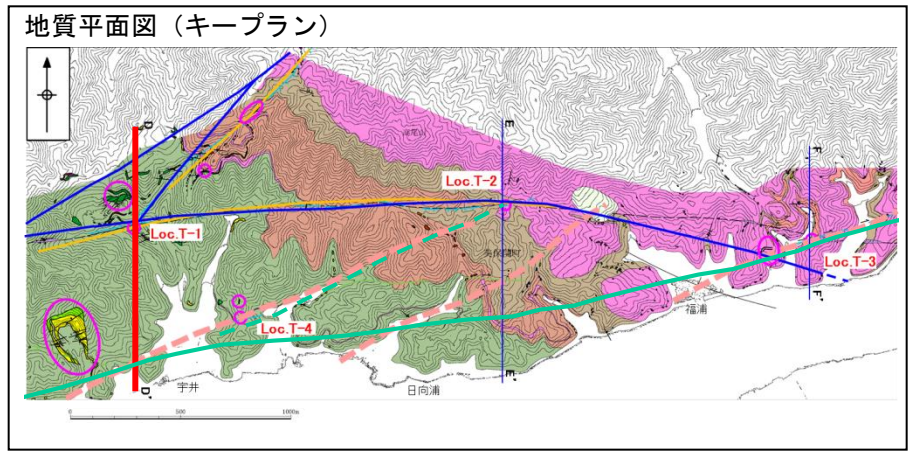
└───┘ 主な踏査ルート

変位地形・リニアメント(Cランク)  
変位地形・リニアメント(Dランク)

今泉ほか編(2018)による宍道(鹿島)断層  
 同上の推定活断層  
 原子力安全委員会のワーキンググループ3第17回  
 会合参考資料第2号(2009)に記載された推定活断層の位置  
 鹿野・吉田(1985)及び鹿野・中野(1985)の断層, 伏在断層  
 (縮尺:5万分の1)  
 鹿野・吉田(1985)の法田リニアメント及び高尾山リニアメント  
 (高尾山リニアメントの東側は文献の図郭範囲まで記載)



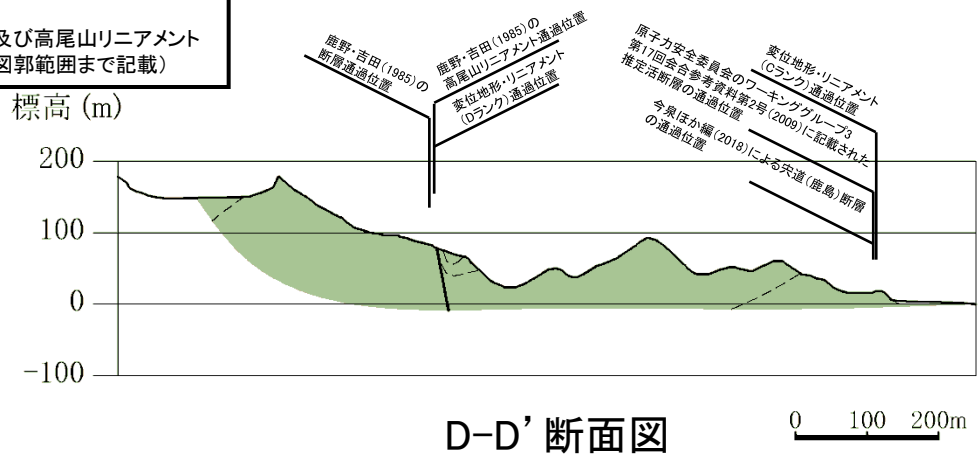
1. 宍道断層の評価 (2) 地質調査(宍道断層の東側)  
宇井付近(地表地質踏査(地質断面図))



- 今泉ほか編(2018)による宍道(鹿島)断層
- 同上の推定活断層
- 原子力安全委員会のワーキンググループ3第17回  
会合参考資料第2号(2009)に記載された推定活断層の位置
- 鹿野・吉田(1985)及び鹿野・中野(1985)の断層, 伏在断層  
(縮尺: 5万分の1)
- 鹿野・吉田(1985)の法田リニアメント及び高尾山リニアメント  
(高尾山リニアメントの東側は文献の図郭範囲まで記載)

調査地点

- 変位地形・リニアメント(Cランク)
- 変位地形・リニアメント(Dランク)



D-D' 断面図

・ D-D' 断面図では、北側の変位地形リニアメント及び文献断層の通過位置付近において、古浦層の砂岩・泥岩が分布し、断層が認められる。

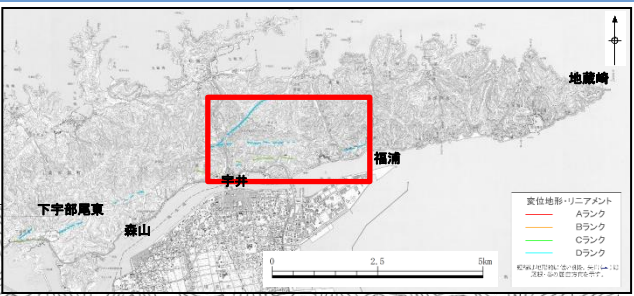
# 1. 宍道断層の評価 (2)地質調査(宍道断層の東側) 宇井～福浦(地表地質踏査(地質図))

**宇井～福浦(高尾山西側)**

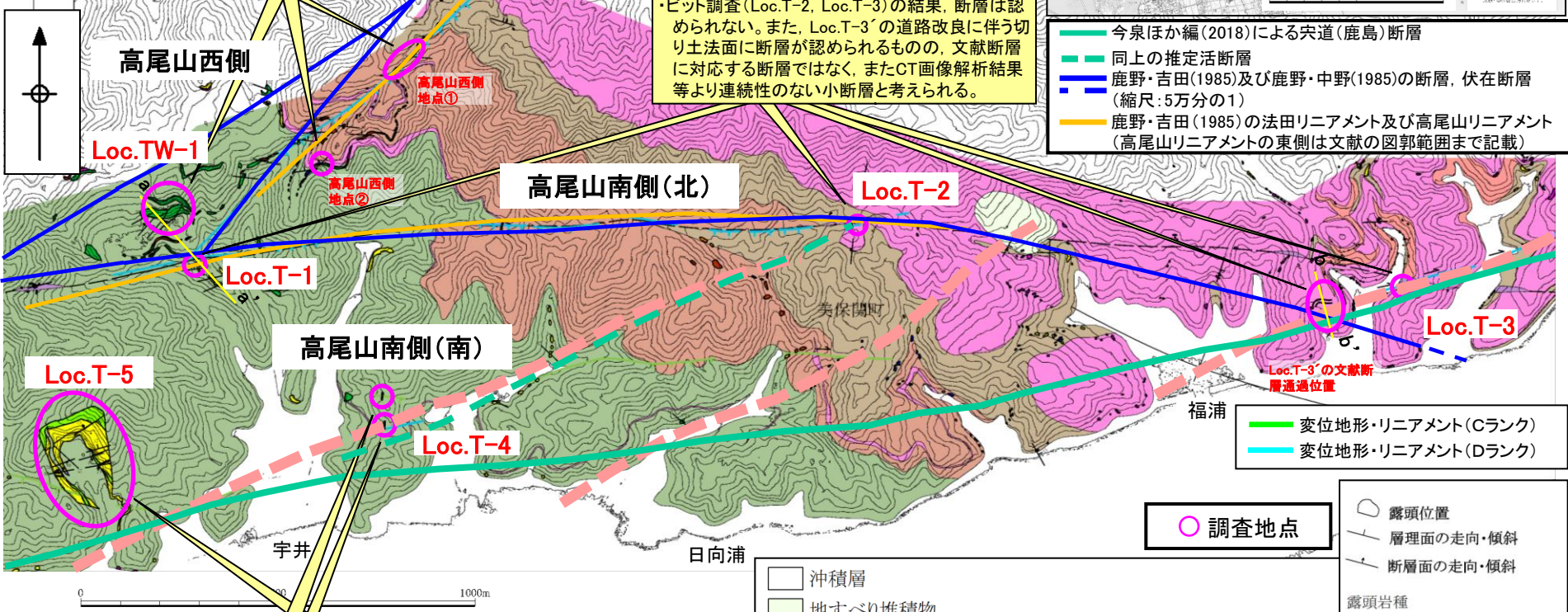
- ・地表地質踏査の結果、変位地形・リニアメント等の通過位置付近では礫岩等が連続分布しており断層は認められない。
- ・鹿野・吉田(1985)及び鹿野・中野(1985)の断層とほぼ同走向の断層が、道路沿い及びLoc.TW-1において認められる。
- ・道路沿いの断層は正断層変位を示す。上載地層が存在しないため、最新活動時期の確定には至っていないもの、断層面は密着しており、破碎は認められない。
- ・Loc.TW-1における2条の正断層(a断層, b断層)は、いずれも固結・密着しており、変位量が大きいa断層は、上部の泥岩に変形は認められないことから、これらの断層は後期更新世以降の断層活動は認められないと考えられる。

**宇井～福浦(高尾山南側(北))**

- ・鹿野・吉田(1985)によると、当該付近のリニアメントは組織地形であると判断されている。
- ・地表地質踏査(Loc.T-1)の結果、正断層センスを有する断層が認められる。上載地層が存在しないため、最新活動時期の確定には至っていないもの、断層面は凹凸が著しい。また、縦ずれ優勢の条線が認められるが、現在の応力場を東西圧縮応力場として推定されるすべり角の計算結果とは対応しない。
- ・ピット調査(Loc.T-2, Loc.T-3)の結果、断層は認められない。また、Loc.T-3の道路改良に伴う切り土法面に断層が認められるものの、文献断層に対応する断層ではなく、またCT画像解析結果等より連続性のない小断層と考えられる。



今泉ほか編(2018)による宍道(鹿島)断層  
 同上の推定活断層  
 鹿野・吉田(1985)及び鹿野・中野(1985)の断層、伏在断層(縮尺:5万分の1)  
 鹿野・吉田(1985)の法田リニアメント及び高尾山リニアメント(高尾山リニアメントの東側は文献の図郭範囲まで記載)



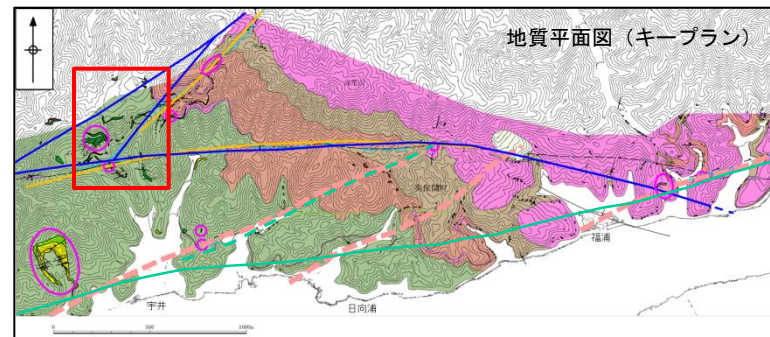
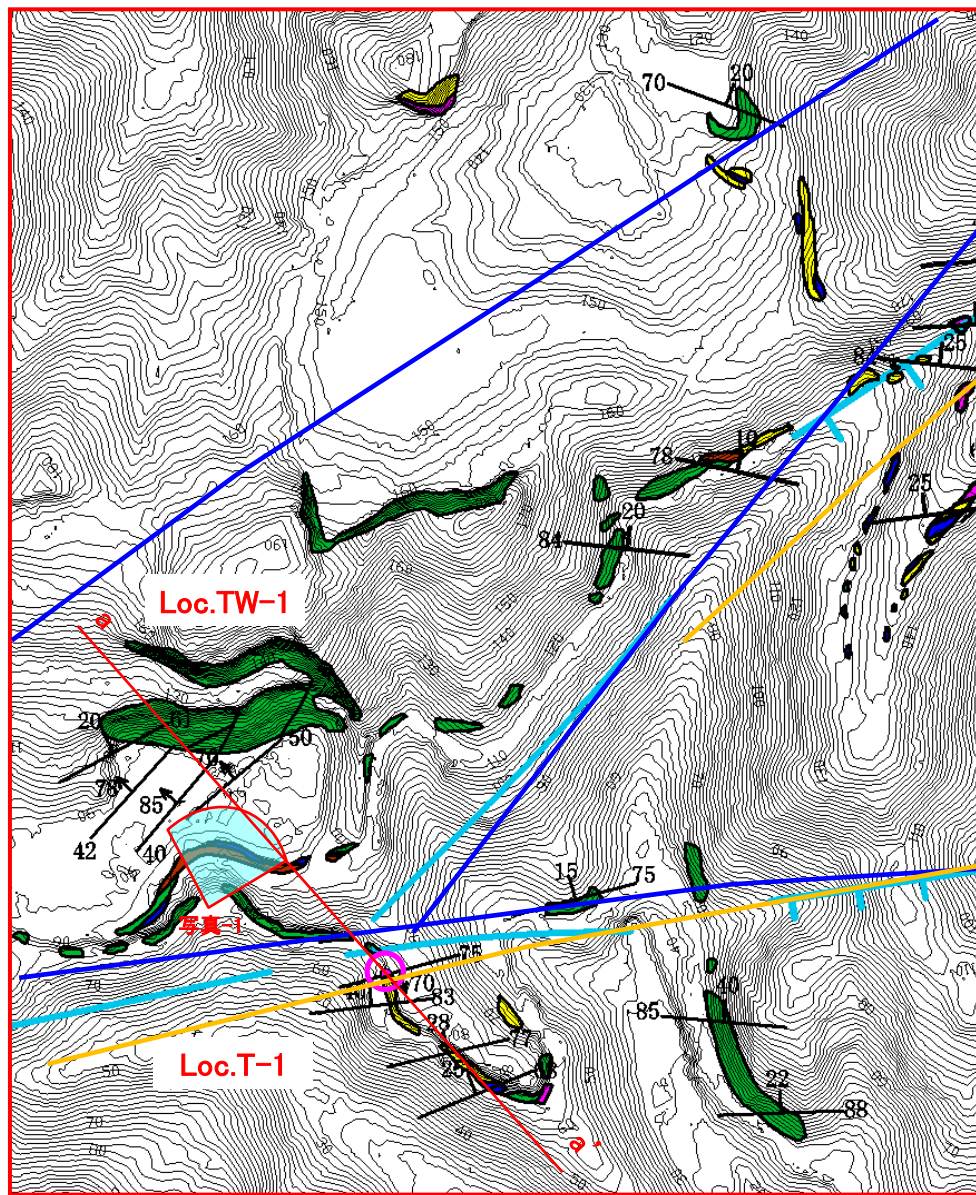
**宇井～福浦(高尾山南側(南))**

- ・ピット調査(Loc.T-4)の結果、断層は認められない。
- ・地表地質踏査の結果、Loc.T-5に2条の正断層(a断層, b断層)が認められる。上載地層が存在しないため、最新活動時期の確定には至っていないもの、これらの断層に対応する変位地形・リニアメントは認められず、また破碎幅の大きいa断層は固結・密着している。

--- 原子力安全委員会のワーキンググループ第3第17回  
会合参考資料第2号(2009)に記載された推定活断層の位置

- 沖積層
  - 地すべり堆積物
  - デイサイト・玄武岩・安山岩(貫入岩)
  - デイサイト(溶岩・火砕岩)
  - 砂岩・泥岩
  - 砂岩
  - 流紋岩質火砕岩
  - 礫岩・火山円礫岩
- 古浦層

- 調査地点
- 露頭位置
- 層理面の走向・傾斜
- 断層面の走向・傾斜
- 露頭岩種
- 貫入岩
- 泥岩
- 砂岩
- 砂岩・泥岩互層
- 礫岩
- 安山岩質火砕岩
- デイサイト(溶岩・火砕岩)
- 流紋岩質火砕岩
- 地質境界線
- 断層
- 断層(推定)
- 向斜軸



- 今泉ほか編(2018)による突道(鹿島)断層
- - - 同上の推定活断層
- 鹿野・吉田(1985)及び鹿野・中野(1985)の断層, 伏在断層 (縮尺:5万分の1)
- 鹿野・吉田(1985)の法田リニアメント及び高尾山リニアメント

— 変位地形・リニアメント(Dランク)

○ 調査地点

- 露頭位置
- 層理面の走向・傾斜
- 断層面の走向・傾斜

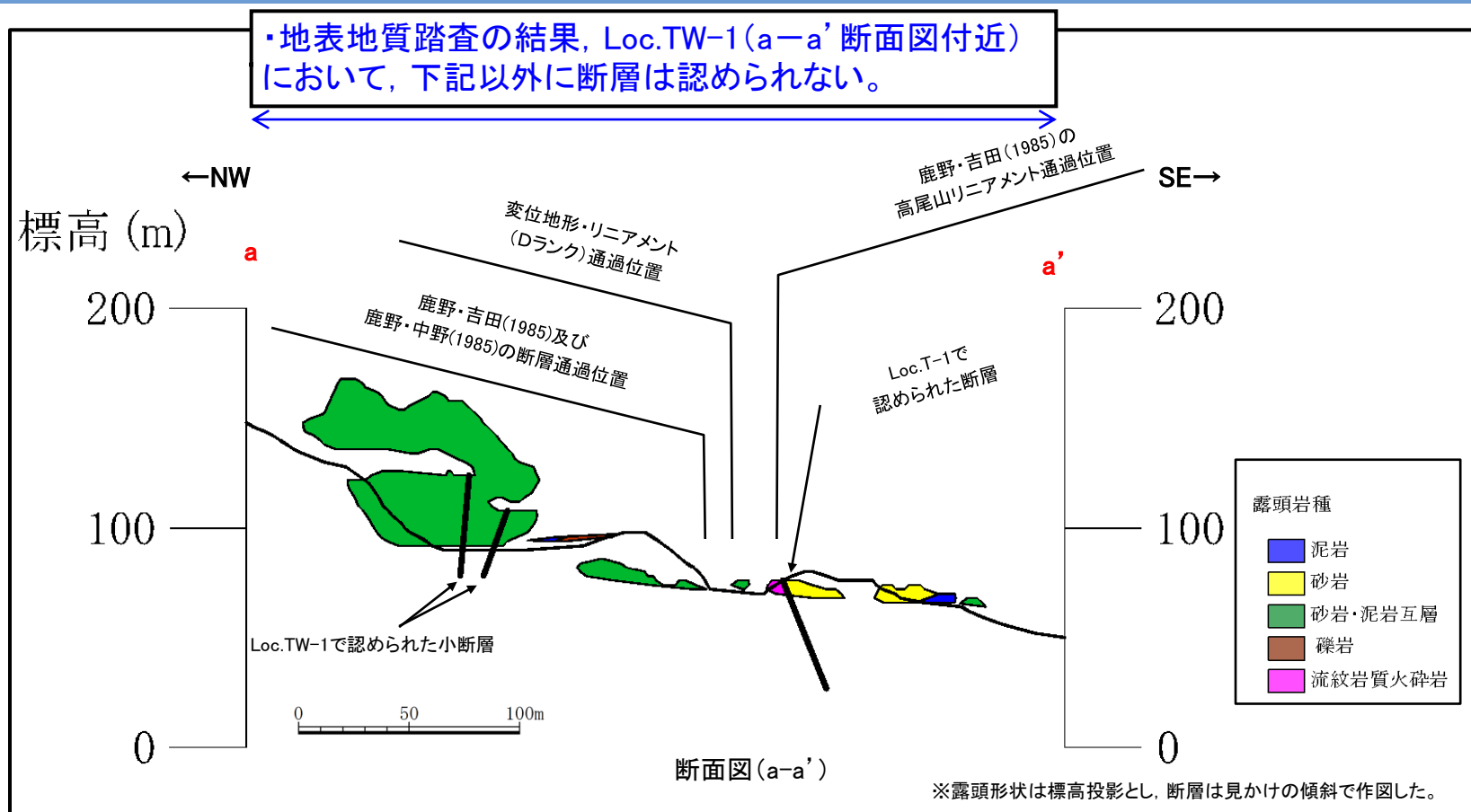
露頭岩種

- 泥岩
- 砂岩
- 砂岩・泥岩互層
- 礫岩
- 流紋岩質火砕岩

地表地質踏査の結果, a-a' 断面図に示す断層以外に, 断層は認められない。



## 地表地質踏査(地質断面図(Loc. TW-1))



・a-a' 断面図付近では, 文献断層及び変位地形・リニアメントの通過位置付近を含む幅広い地表地質踏査の結果, Loc.T-1で確認した断層及びTW-1で確認した断層以外に, 断層は認められない。

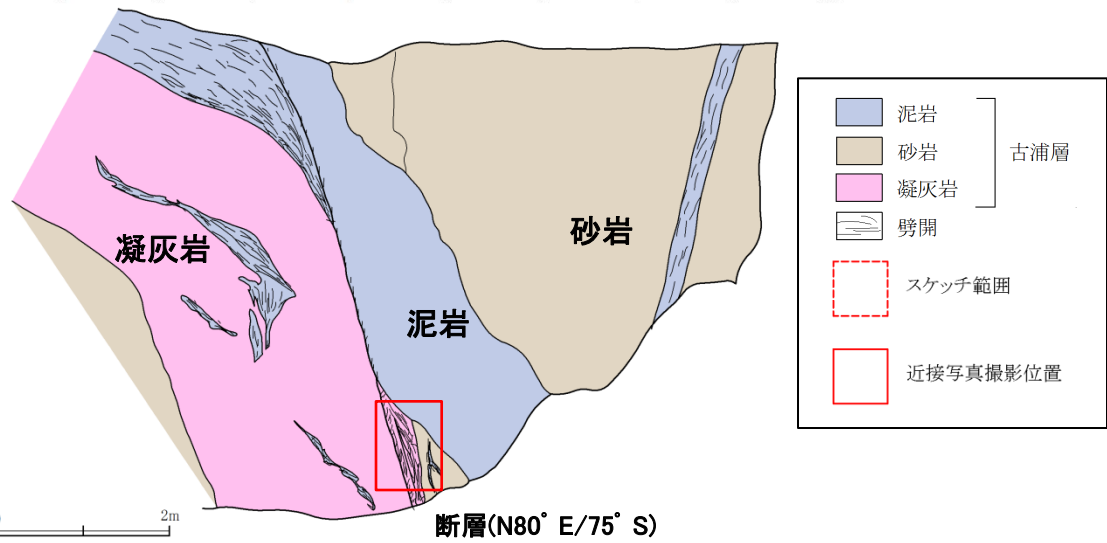
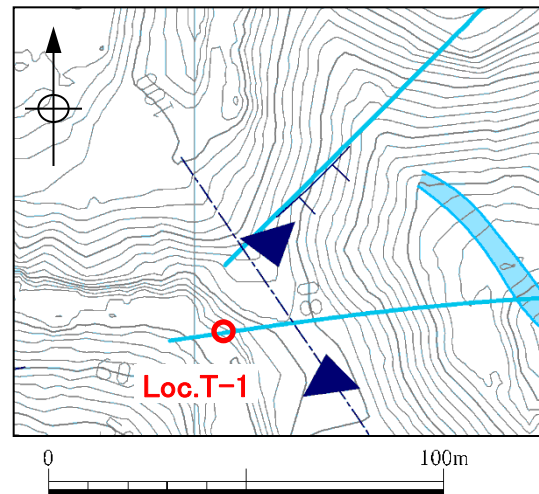
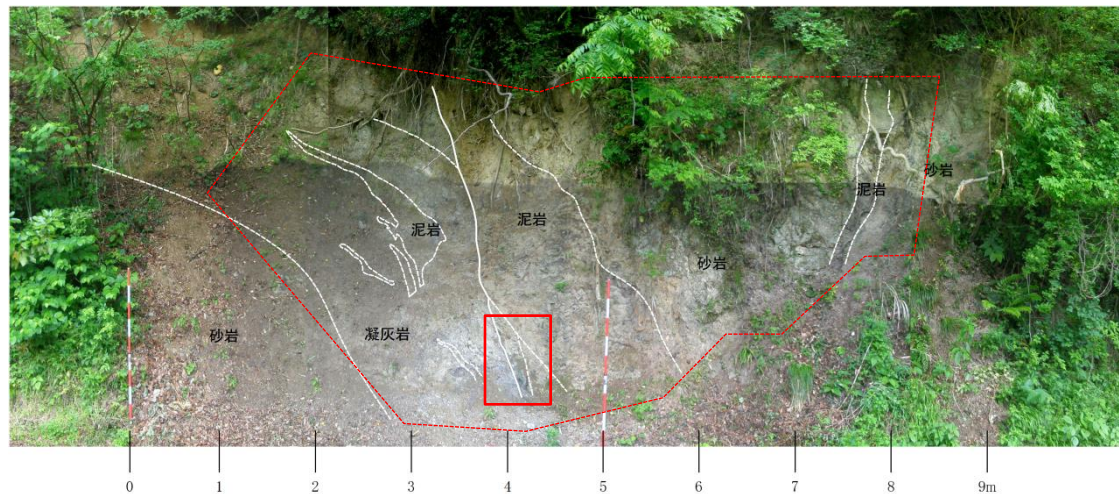
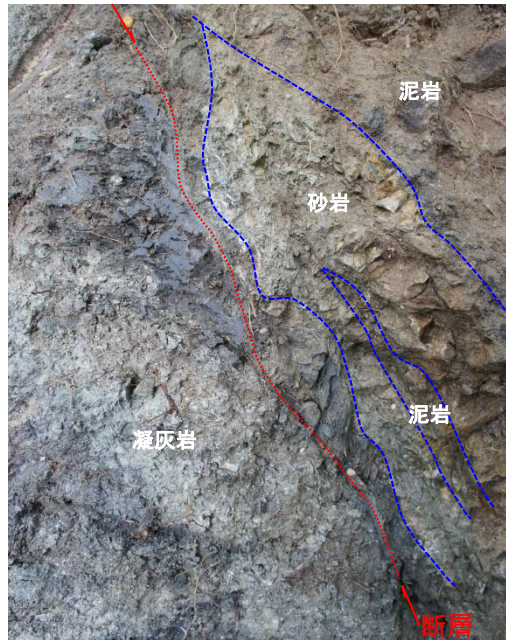
・変位地形・リニアメント及び高尾山南側に示された文献断層に対応する断層として, Loc.T-1において断層(N80° E/75° S)が認められたことから, 後期更新世以降の断層活動の有無を評価するため, はぎ取り調査(Loc.T-1)及び研磨片観察等を行った。

・Loc.TW-1における断層については, 主として2条の正断層変位を伴う小断層(N40° E/85° NW, N50° E/70° NW)であり, 上部の古浦層の泥岩または砂岩・泥岩互層に変位や変形は認められず, また, いずれの断層沿いにも, ガウジや角礫部は認められず固結・密着していることから, 後期更新世以降の断層活動は認められない(次頁参照)。また, これらの断層は, 後述する高尾山西側に示された文献断層とほぼ同走向であることから, 文献断層に対応する断層と考えられる。

# 1. 宍道断層の評価 (2) 地質調査(宍道断層の東側) 宇井～福浦(はぎ取り調査(Loc.T-1))

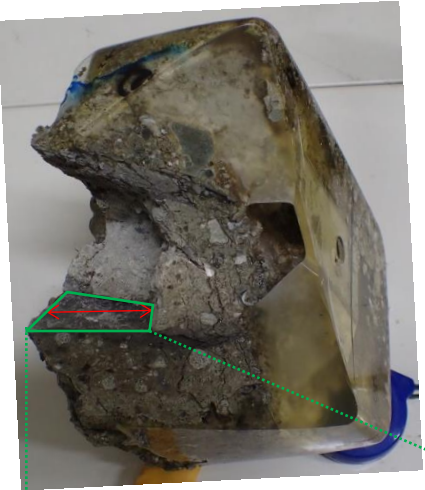
## 近接写真

(試料採取のためスケッチ時よりも掘り込んでいる)



- ・はぎ取り調査の結果、古浦層中に断層が認められ、その周辺には正断層センスの引きずり込み構造が認められる。
- ・幅6mm程度の灰色を呈する断層ガウジは見られるが、断層面は凹凸が著しい。

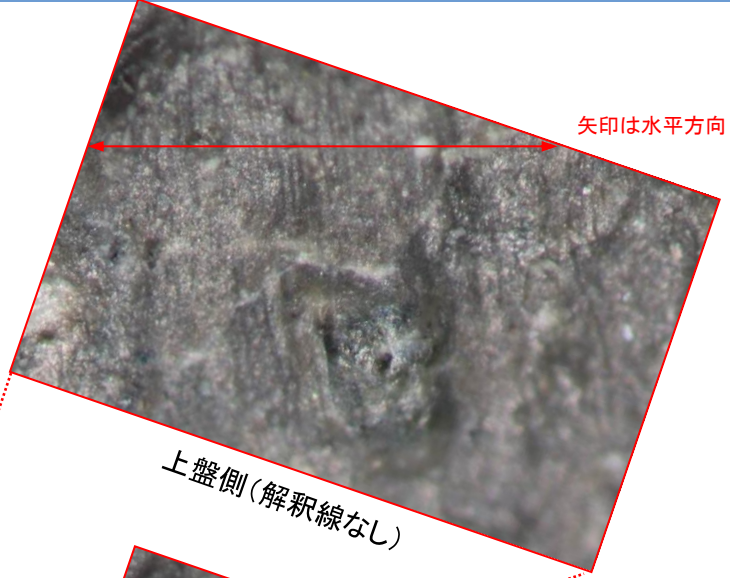
# 1. 宍道断層の評価 (2) 地質調査(宍道断層の東側) 宇井～福浦(断層面の実体顕微鏡観察(Loc.T-1))



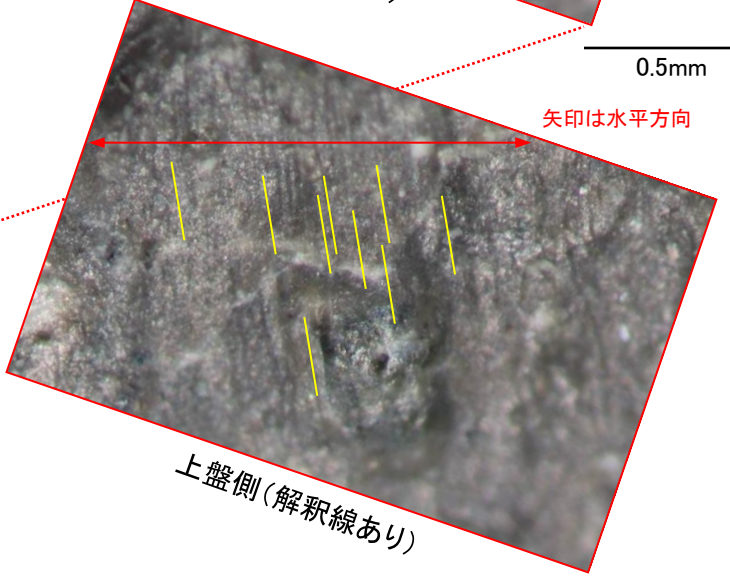
矢印は水平方向



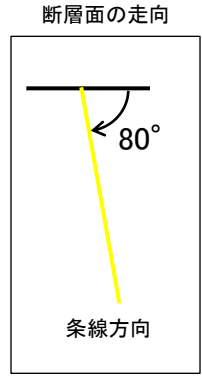
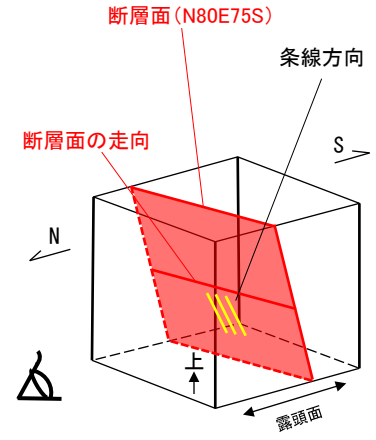
断層面を下から撮影  
矢印は水平方向



上盤側(解釈線なし)



上盤側(解釈線あり)



(注)上盤側を下から撮影したため、回転方向は見掛け右回転であるが、左回転となる。

・実体顕微鏡による条線観察の結果、上盤側に、縦ずれ(走向方向から80°左回転, T:S24W P:72)の条線が認められる。また、はぎ取り調査の結果では、正断層センスである。

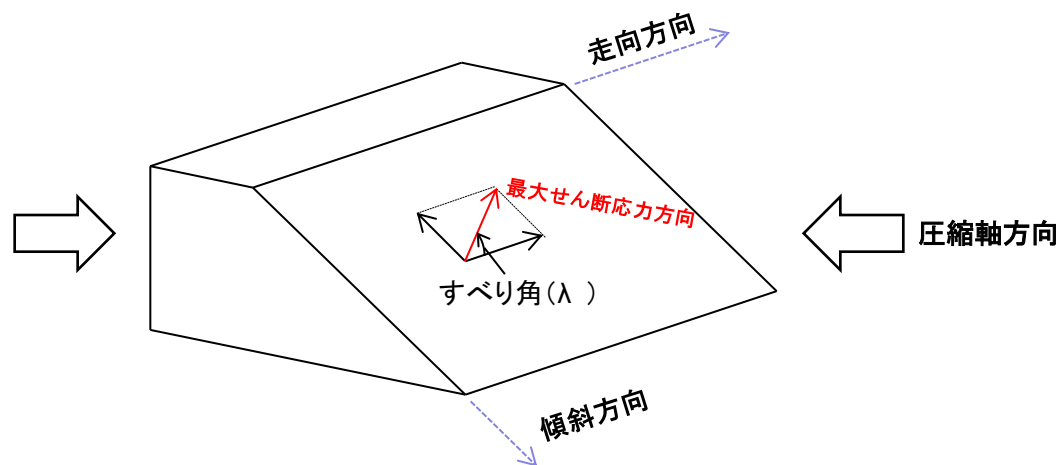
・条線観察結果は、現在の応力場を東西圧縮応力場として推定されるすべり角の計算結果と対応しない(次頁参照)。

## 1. 突道断層の評価 (2) 地質調査(突道断層の東側)

## Loc. T-1 (破碎部の条線方向と東西圧縮応力場で推定されるすべり角の比較検討)

## 【検討方法】

すべり角は断層面上の最大せん断応力方向と一致するという仮定に基づき、現在の応力場を東西圧縮応力場として推定されるLoc.T-1のすべり角を推定し、条線方向と比較検討した。



地点名	観察結果			計算値	検討結果
	走向	傾斜	条線方向	東西圧縮応力場で推定されるすべり角(λ 1)	
Loc.T-1	N80E (概ね東西系)	75S	80° 左回転 (λ =80° ) (正断層センス)	3° 右回転 (λ =357° ) (右横ずれ断層センス)	条線方向: 東西圧縮応力場で推定されるすべり角と対応しない。

1. 宧道断層の評価 (2) 地質調査(宧道断層の東側)

(参考) すべり角の推定に用いた計算方法

断層面を座標変換後の面として表し、現在の応力場に働く力が、変換後の面(断層面)において、どの方向に作用するのかを算出した。

ある面の、X軸まわりの回転角を $\omega$ 、Y軸まわりの回転角を $\phi$ 、Z軸まわりの回転角を $\kappa$  としたとき、座標変換マトリクスは以下のように与えられる。

$$R = \begin{bmatrix} Lx & Mx & Nx \\ Ly & My & Ny \\ Lz & Mz & Nz \end{bmatrix} = \begin{bmatrix} \cos\phi \cdot \cos\kappa & -\cos\phi \cdot \sin\kappa & \sin\phi \\ \cos\omega \cdot \sin\kappa + \sin\omega \cdot \sin\phi \cdot \cos\kappa & \cos\omega \cdot \cos\kappa - \sin\omega \cdot \sin\phi \cdot \sin\kappa & -\sin\omega \cdot \cos\phi \\ \sin\omega \cdot \sin\kappa - \cos\omega \cdot \sin\phi \cdot \cos\kappa & \sin\omega \cdot \cos\kappa + \cos\omega \cdot \sin\phi \cdot \sin\kappa & \cos\omega \cdot \cos\phi \end{bmatrix}$$

阿部ほか編(1991)によると、変換後の面に作用する応力成分 $\sigma z'$ 、 $\tau yz'$ 、 $\tau xz'$  は、上記の座標変換マトリクスと変換前の座標に作用する応力成分を用いて、以下の式から計算される。

$$\begin{Bmatrix} \sigma z' \\ \tau yz' \\ \tau xz' \end{Bmatrix} = \begin{bmatrix} Lx^2 & Mx^2 & Nx^2 & 2 \cdot Lx \cdot Mx & 2 \cdot Mx \cdot Nx & 2 \cdot Lx \cdot Nx \\ Lx \cdot Ly & Mx \cdot My & Nx \cdot Ny & Mx \cdot Ly + Lx \cdot My & Nx \cdot My + Mx \cdot Ny & Nx \cdot Ly + Lx \cdot Ny \\ Lx \cdot Lz & Mx \cdot Mz & Nx \cdot Nz & Mx \cdot Lz + Lx \cdot Mz & Nx \cdot Mz + Mx \cdot Nz & Nx \cdot Lz + Lx \cdot Nz \end{bmatrix} \begin{Bmatrix} \sigma X \\ \sigma Y \\ \sigma Z \\ \tau XY \\ \tau YZ \\ \tau ZX \end{Bmatrix}$$

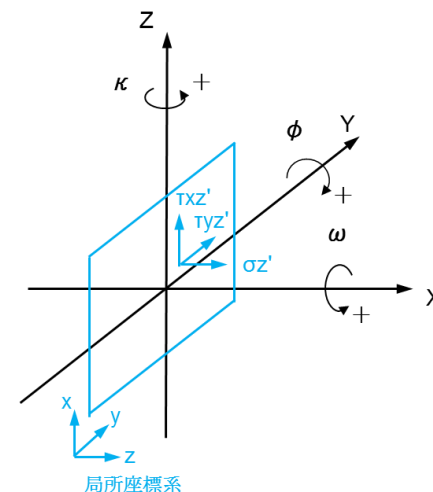
現在の応力場の方向を、「東西圧縮」と仮定し、面内に作用する応力を、 $\sigma X=-1$ 、 $\sigma Y=\sigma Z=\tau XY=\tau YZ=\tau ZX=0$ 、とすると、上式は以下の式となる。

$$\tau yz' = -Lx \cdot Ly = -(\cos\phi \cdot \cos\kappa) \cdot (\cos\omega \cdot \sin\kappa + \sin\omega \cdot \sin\phi \cdot \cos\kappa)$$

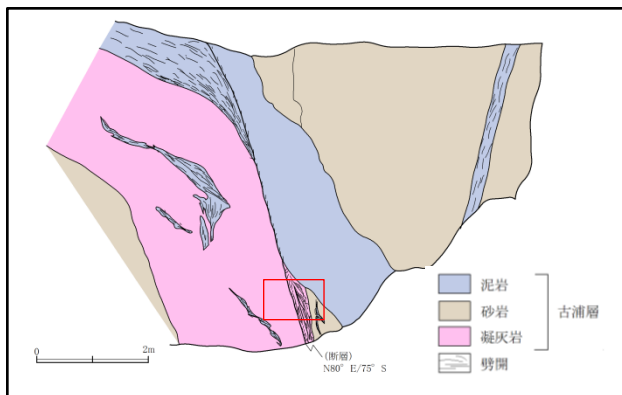
$$\tau xz' = -Lx \cdot Lz = -(\cos\phi \cdot \cos\kappa) \cdot (\sin\omega \cdot \sin\kappa - \cos\omega \cdot \sin\phi \cdot \cos\kappa)$$

したがって、すべり角 $\lambda$  は下式となる。

$$\lambda = \tan^{-1} \frac{\tau xz'}{\tau yz'}$$

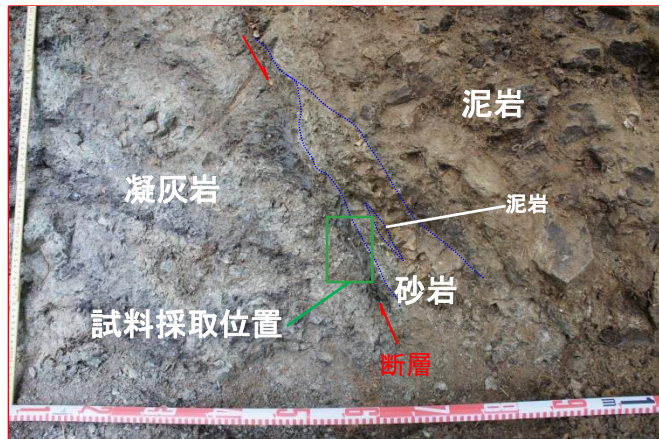


1. 宍道断層の評価 (2) 地質調査(宍道断層の東側)  
宇井～福浦(研磨片観察及びCT画像解析(Loc.T-1: 断層の走向方向))

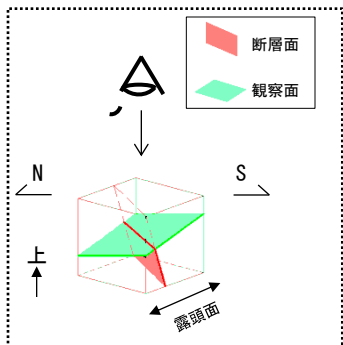
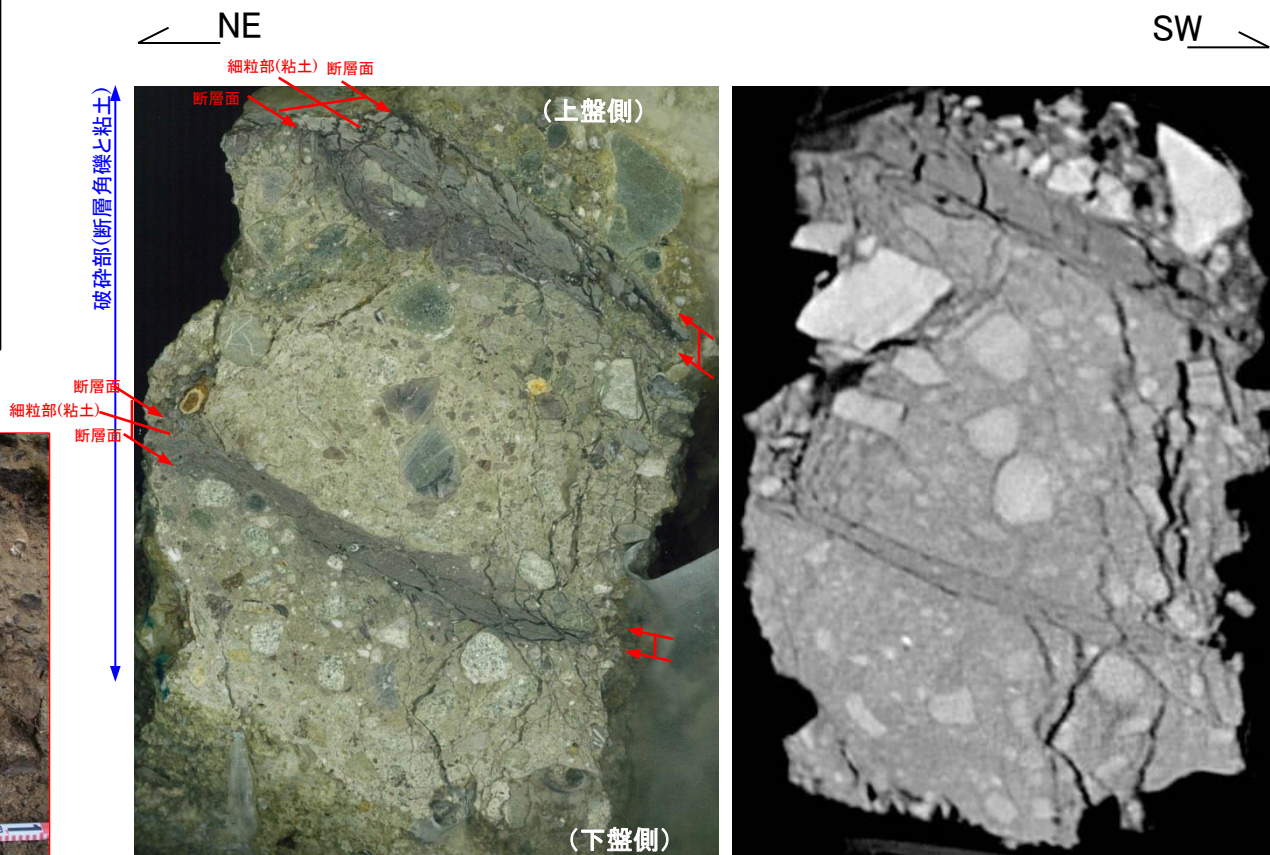


近接写真

(試料採取のためスケッチ時よりも掘り込んでいる)

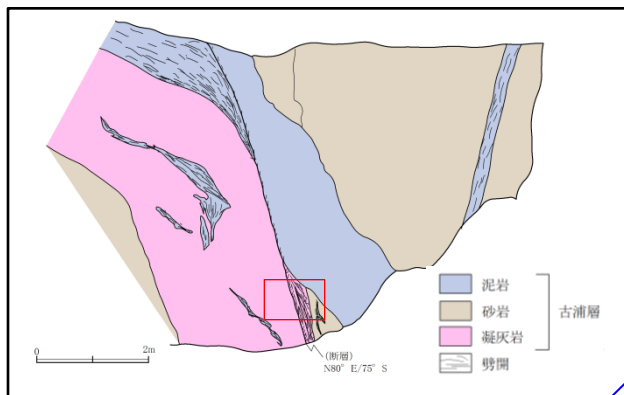


Loc.T-1 走向方向の研磨片観察及びCT画像解析(上方からみた画像)

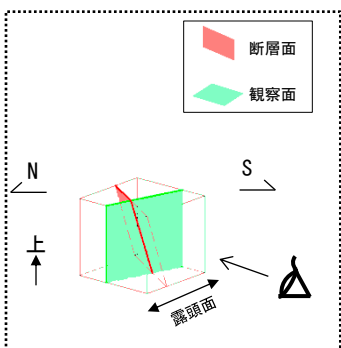
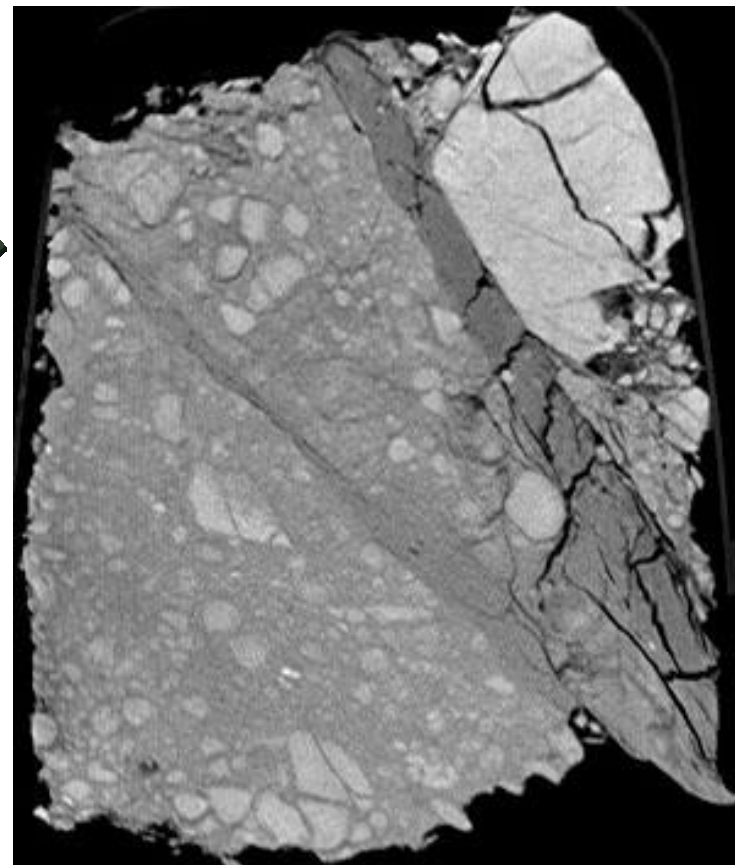
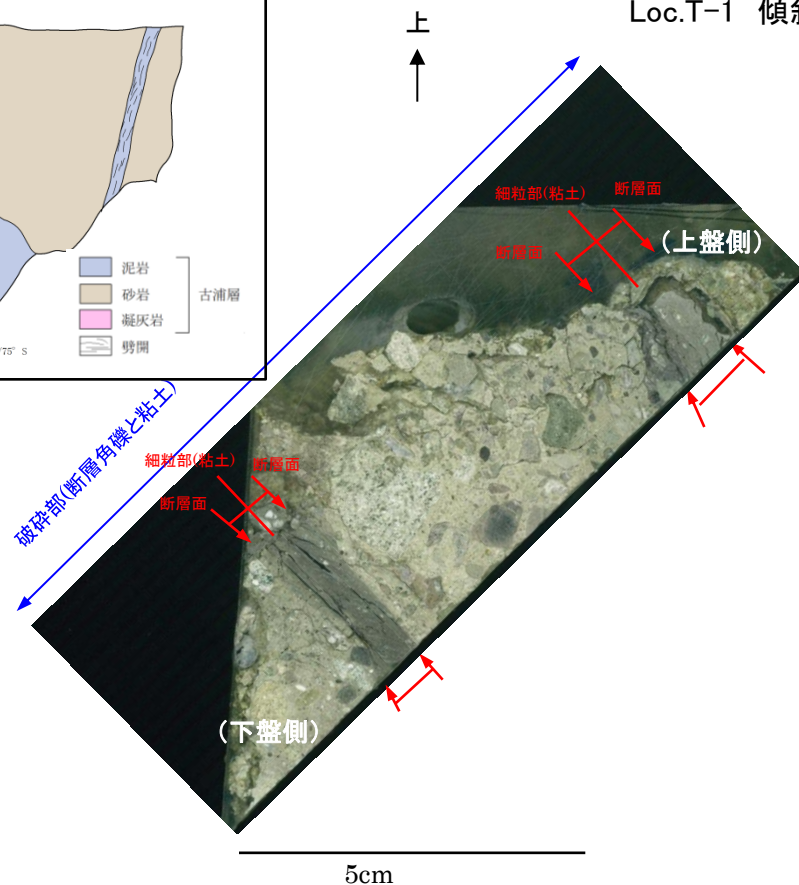


- ・研磨片観察及びCT画像解析の結果、直線性が比較的高い断层面(写真中央)について詳細観察を行った。
- ・CT画像解析の結果、細粒部で低密度部が認められる。
- ・研磨片観察の結果、幅6mm程度の灰色を呈する細粒部が見られるが、積層構造及び複合面構造は認められない。

1. 宍道断層の評価 (2) 地質調査(宍道断層の東側)  
宇井～福浦(研磨片観察及びCT画像解析(Loc.T-1:断層の傾斜方向))



Loc.T-1 傾斜方向の研磨片観察及びCT画像解析



- ・断層の走向方向と同様に、直線性が比較的高い断层面(写真中央)について詳細観察を行った。
- ・CT画像解析の結果、細粒部で低密度部が認められる。
- ・研磨片観察の結果、幅6mm程度の灰色を呈する細粒部が見られるが、積層構造及び複合面構造は認められない。

・研磨片観察等の結果、南講武の活断層に見られる複合面構造等の特徴は確認されない。

# Loc.TW-1 (露頭スケッチ)

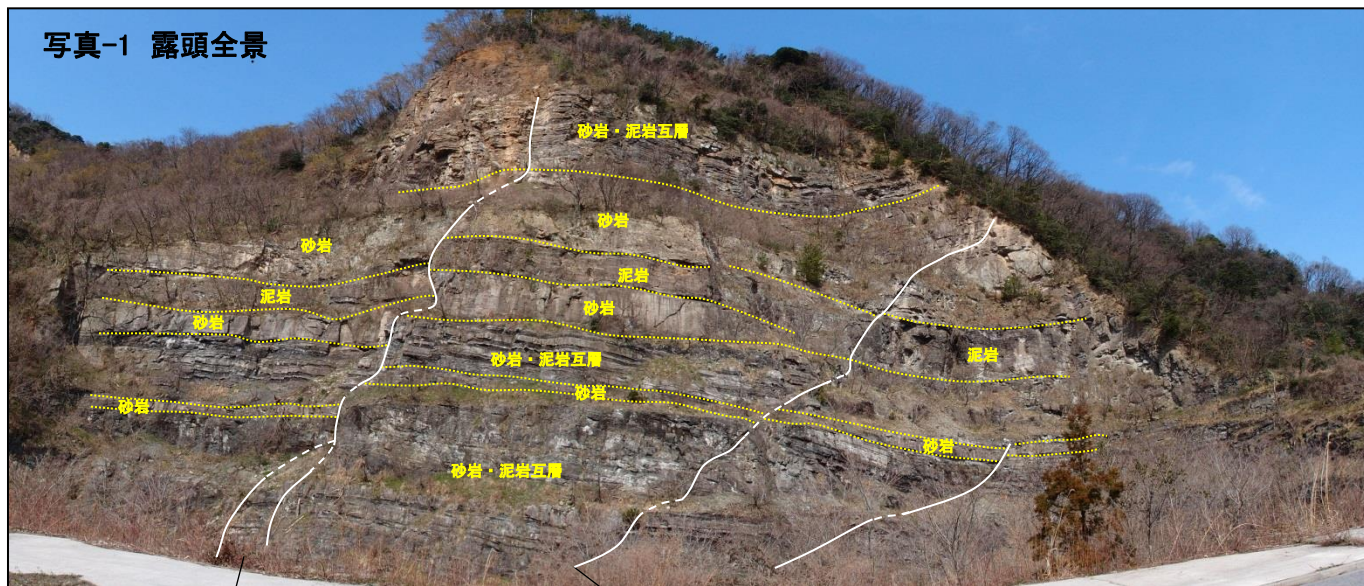
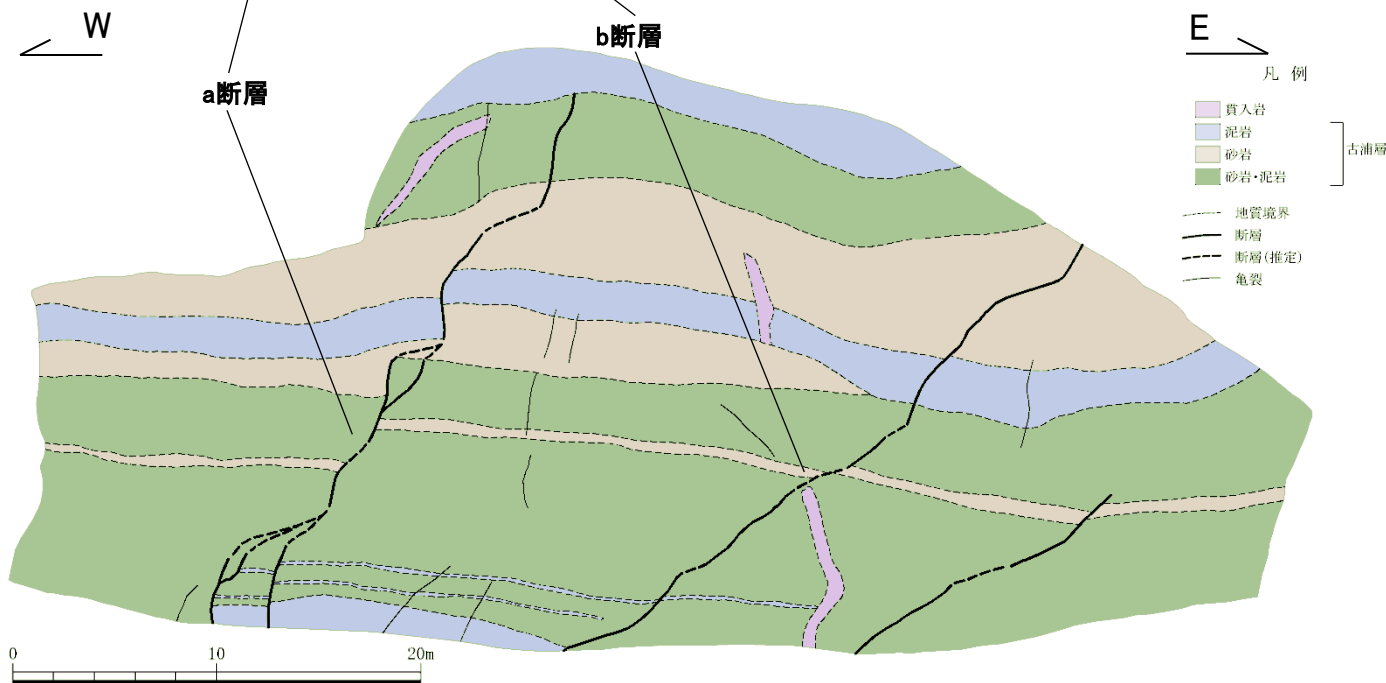
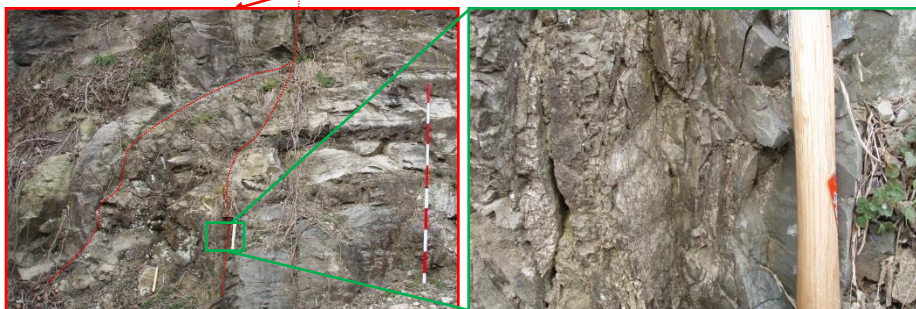


写真-1 露頭全景



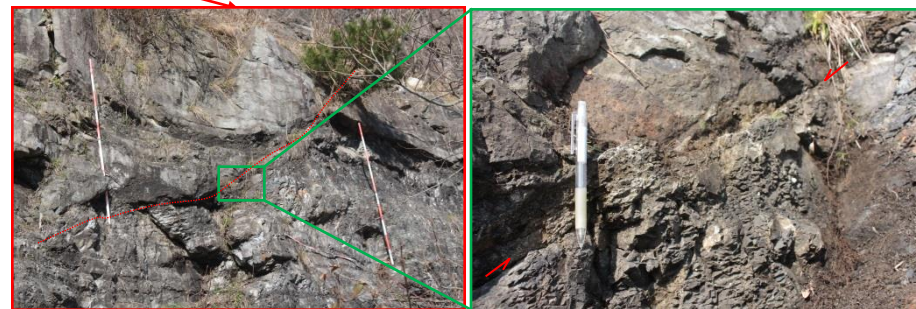
- ・Loc.TW-1は、古浦層の砂岩・泥岩及び貫入岩から成り、数条の小断層が認められる。これらの小断層のうち比較的連続性の良い断層は、a断層及びb断層の2条である。
- ・a断層は、N40E/85NWの走向傾斜を示し、古浦層砂岩・泥岩に正断層変位を与えているが、上部の古浦層泥岩に変位や変形は認められず不明瞭となる。
- ・b断層は、N50E/70NWの走向傾斜を示し、下部の古浦層砂岩に僅かな正断層変位を与えている。

# Loc.TW-1(露頭写真)



【a断層】

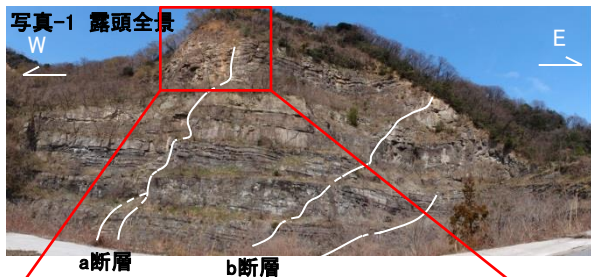
- ・ N40E/85NWの走向傾斜を示す。
- ・断層沿いには、ガウジや角礫部は認められず、固結・密着している。



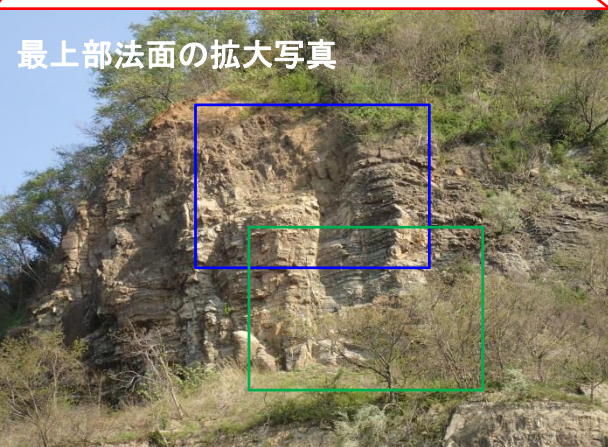
【b断層】

- ・ N50E/70NWの走向傾斜を示す。
- ・断層沿いには、ガウジや角礫部は認められず、固結・密着している。

- ・ Loc.TW-1において、比較的連続性の良い小断層としてa断層及びb断層が認められる。
- ・ a断層は、N40E/85NWの走向傾斜を示し、古浦層砂岩・泥岩に正断層変位を与えているが、上部の古浦層泥岩に変位や変形は認められず不明瞭となる。
- ・ b断層は、N50E/70NWの走向傾斜を示し、下部の古浦層砂岩に僅かな正断層変位を与えている。
- ・ いずれの断層沿いにも、ガウジや角礫部は認められず、固結・密着している。



最上部法面の拡大写真



- ・a断層は、上部の古浦層泥岩中では不明瞭となる。
- ・泥岩に変位や変形は認められない。



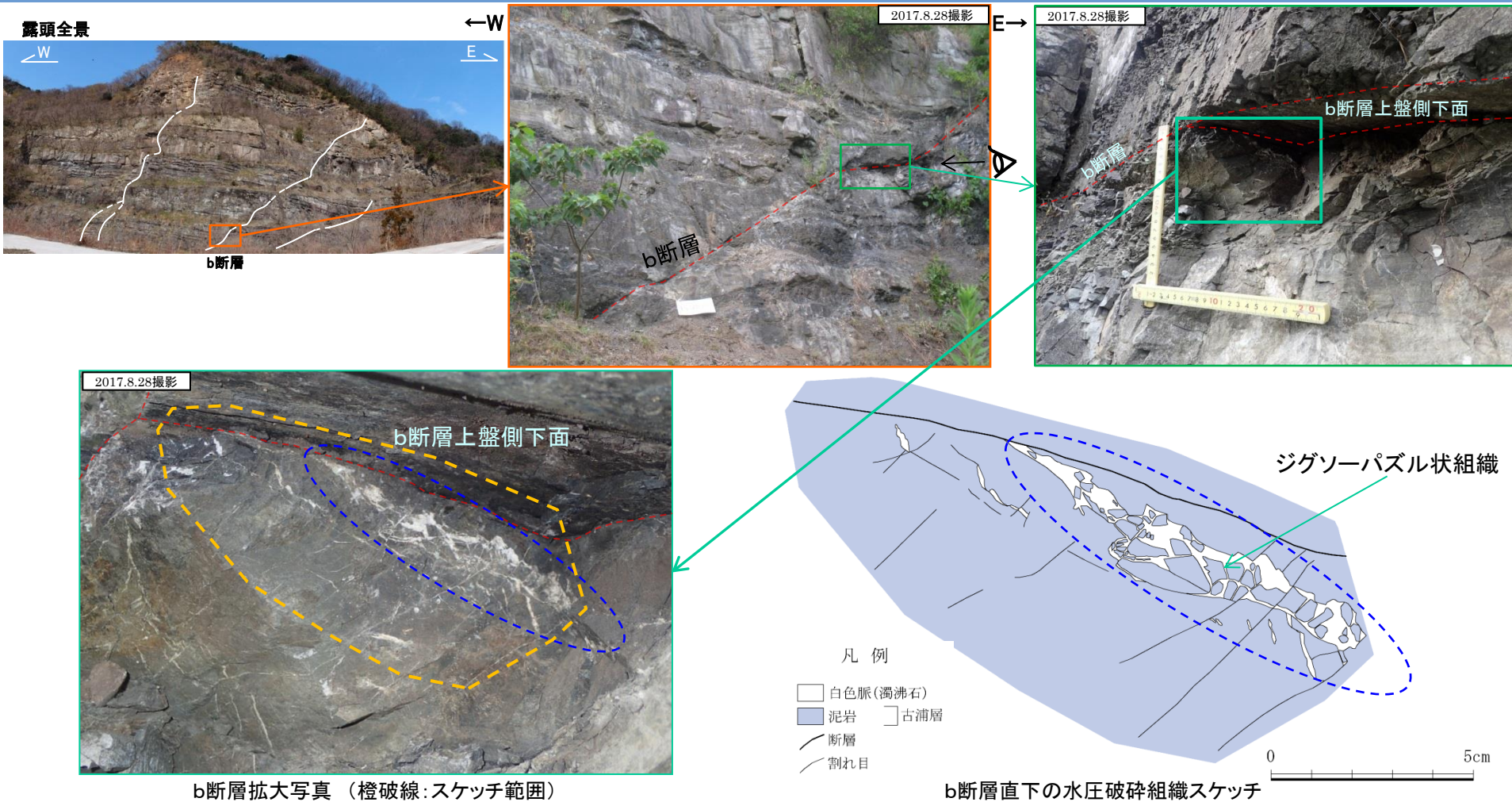
- ・a断層を境に、砂岩及び砂岩・泥岩互層との境界に変位は認められない。

・a断層及びb断層の走向傾斜及び性状は類似し、ほぼ同時期に活動したと考えられることから、変位量が大きいa断層を代表として法面上部の詳細観察を行った。

・a断層は、法面上部で地層に変位・変形を与えず、最上部の古浦層泥岩中で不明瞭となり、消滅している。

・以上のことから、これらの断層は性状等も踏まえると後期更新世以降の断層活動は認められないと考えられる。

# 1. 突道断層の評価 (2) 地質調査(突道断層の東側) Loc.TW-1 ( b断層直下の鉱物脈)



- ・b断層は固結・密着している。b断層直下には、角張って不規則な形態を有する岩片の周囲を充填するように白色脈が認められる。この白色脈はb断層に接し、変位・変形を受けず固結・密着している。
- ・角張った岩片と白色脈がなす組織は、ジグソーパズル状組織(次頁参照)を示すことから水圧破碎によって形成されたと考えられる。白色脈は、水圧破碎時に破断面に沿って注入された流体から晶出したと考えられる。
- ・白色脈はX線回折分析の結果、濁沸石であることが確認された。

以上のことから、b断層は固結・密着し、またb断層に接する水圧破碎組織は変位・変形を受けず固結・密着しているため、濁沸石形成後活動していないと考えられる。

## (参考) 水圧破碎の指標となる組織

水圧破碎に伴い破断面に沿って流体が注入されて形成される組織について、狩野・村田(1998)<sup>(36)</sup>は以下のとおりとしている。

- ・水圧破碎とは、間隙水圧がその岩石内の最小主応力と引張強度の和よりも大きな場合に岩石内に亀裂が発生する現象であり、地層内では異常間隙水圧状態にある未固結の地層が、水圧破碎によって破壊された周囲のより脆性的な地層中に注入されていく。
- ・水圧破碎は引張破碎組織の一種であり、脆性的な破壊と延性的な流動組織が混在している。水圧破碎による破断面の特徴は、三次元的に方向性が不明瞭で、枝分かれし角張った不規則な形態を有していることである。(中略)破壊のされはじめは不規則角礫状の破碎によって、三次元的なジグソーパズル状組織が形成される。



図X.3-11 水圧破碎による不規則な角礫状破碎組織

いずれも明色部が砂岩、暗色部が泥質基質。

A: ジグソーパズル状組織、北西アラスカの白亜系コデアック層。

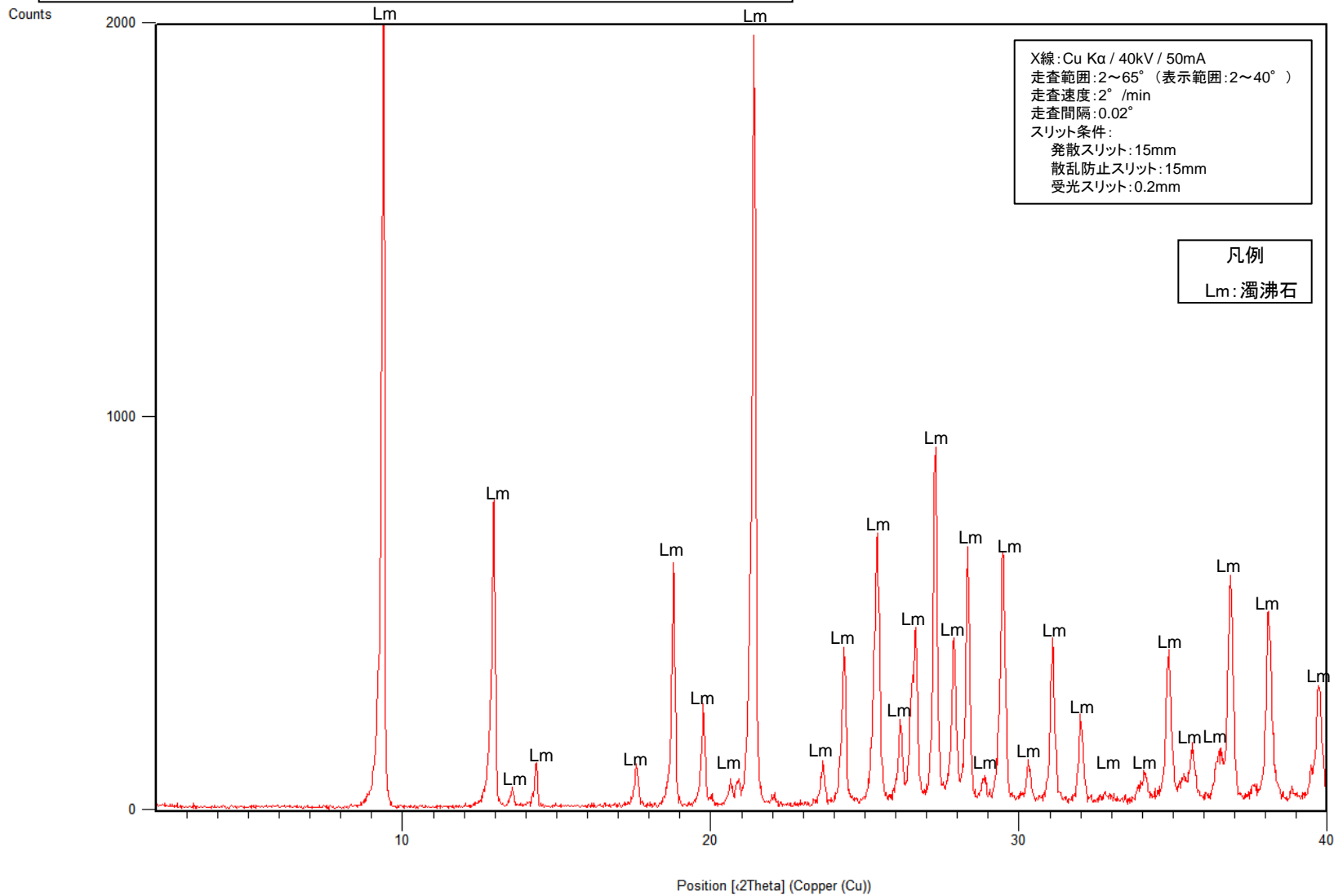
B: 泥質基質中の不規則角礫状砂岩岩塊、ニュージーランド北島の中生代 Waipapa Melange。

水圧破碎による不規則な角礫状破碎組織

狩野・村田(1998)より引用・加筆

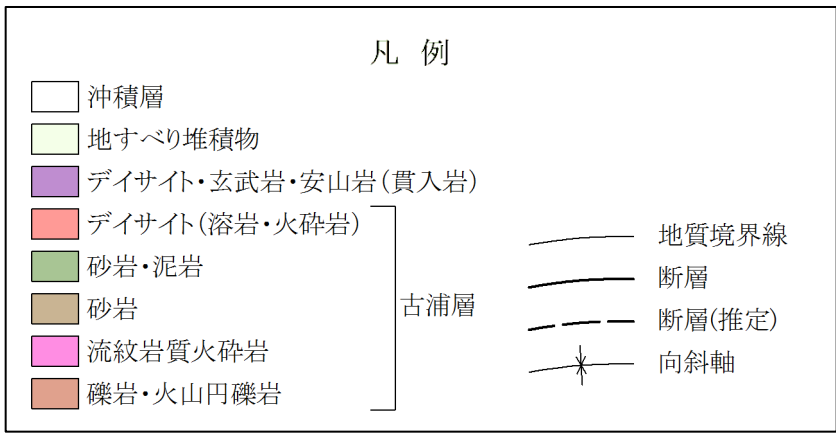
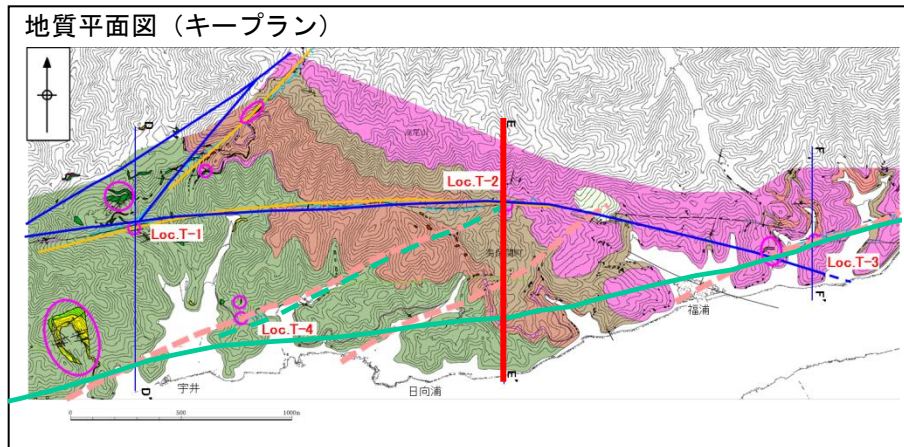
# (参考) X線チャート

Loc.TW-1 (b断層直下の白色脈) 不定方位



・b断層下盤に認められる白色脈は分析の結果、濁沸石であった。

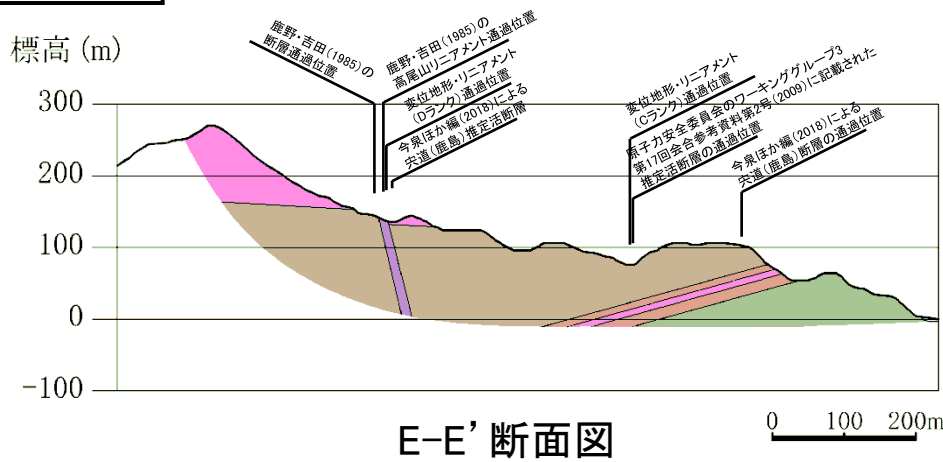
# 日向浦付近(地表地質踏査(地質断面図))



- 原子力安全委員会のワーキンググループ3第17回会合参考資料第2号(2009)に記載された推定活断層の位置
- 鹿野・吉田(1985)及び鹿野・中野(1985)の断層, 伏在断層(縮尺: 5万分の1)
- 鹿野・吉田(1985)の法田リニアメント及び高尾山リニアメント(高尾山リニアメントの東側は文献の図郭範囲まで記載)
- 今泉ほか編(2018)による宍道(鹿島)断層, 推定活断層

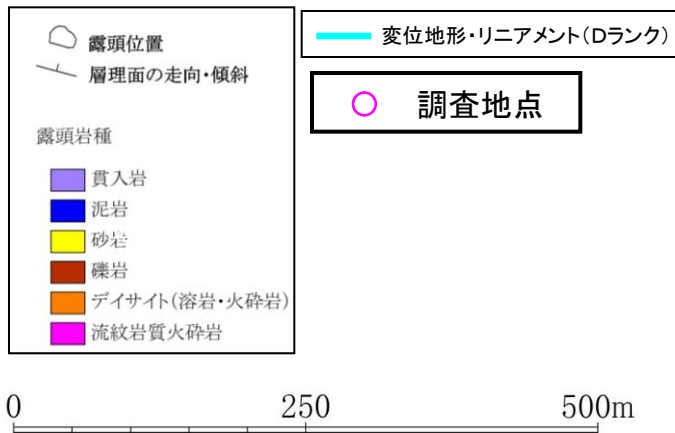
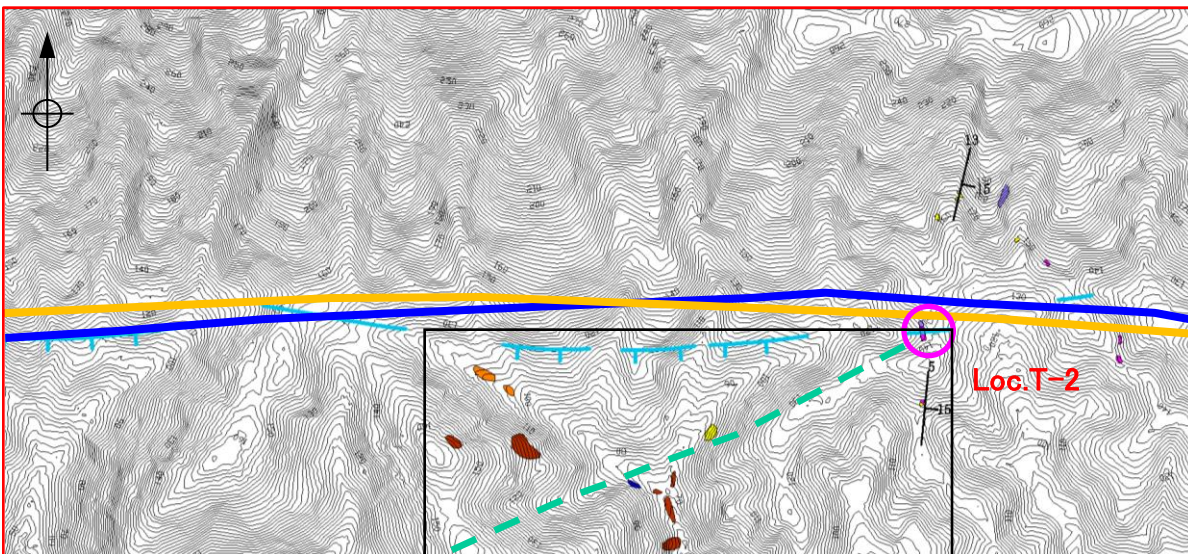
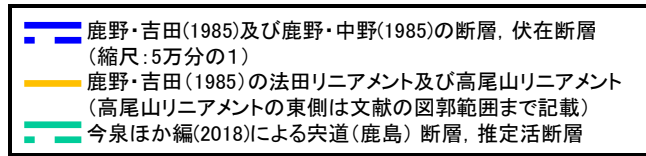
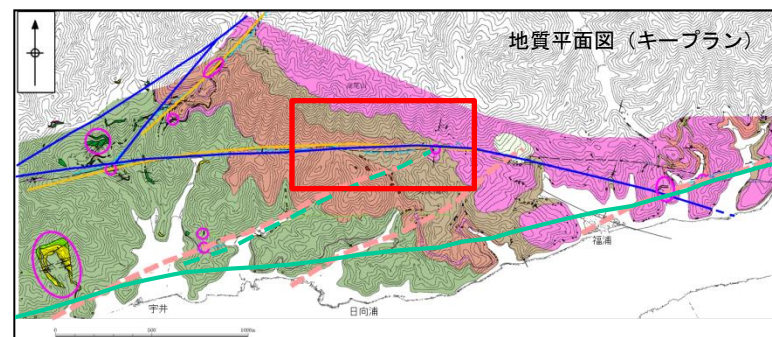
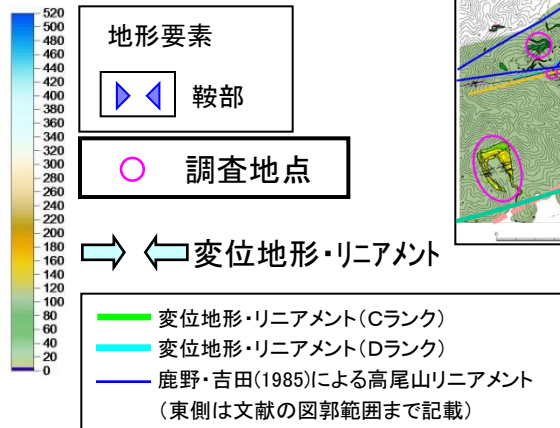
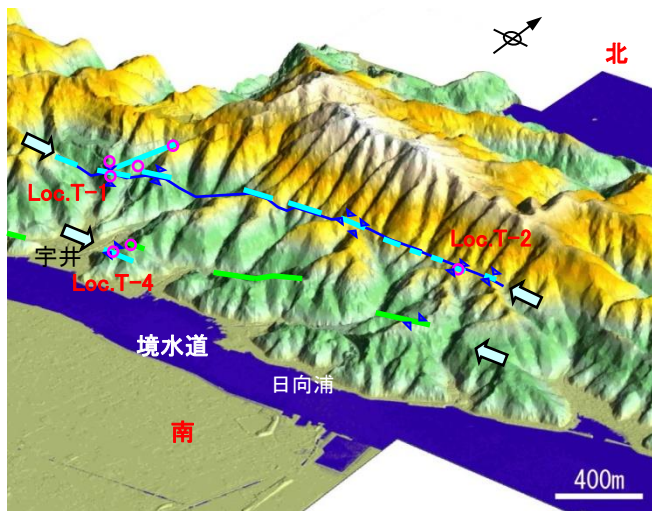
調査地点

- 変位地形・リニアメント(Cランク)
- 変位地形・リニアメント(Dランク)



・E-E' 断面図では, 北側の変位地形リニアメント及び文献断層の通過位置付近において, 古浦層の砂岩等が分布し貫入岩が認められるが, 断層は認められない。

# 地表地質踏査(詳細ルートマップ(Loc. T-2付近))



・Loc.T-2付近では、変位地形・リニアメントと文献断層の通過位置がほぼ一致し、Loc.T-1と同様な地形要素が認められることを踏まえ、地形的に断層が延長する可能性が高い鞍部において、ピット調査(Loc.T-2)を実施した。